

UNIVERSIDAD DE ZARAGOZA

TRABAJO FINAL DE MÁSTER

Generación de un Modelo de Orden Reducido para el Cálculo Detallado del Viento en entornos con Orografía Compleja

Author:

Jaime MILLA VAL

Director:

Carlos MONTAÑÉS BERNAL

Ponente:

Pedro MATEO COLLAZOS

Máster en Modelización e Investigación Matemática, Estadística y Computación

10 de septiembre de 2020

Resumen

This Master's Thesis aims to develop a methodology to build a reduced order model (ROM) from numerical weather prediction simulations (NWP) to obtain equivalent results to those given by computational fluid dynamics (CFD) technics. The ROM is built by fitting supervised learning regressor models to CFD products from NWP results. The proposed ROM is used over a complex terrain located in the Pyrenees mountains of the Aragon (Spain) region. The obtained results capture fairly well the general trend of the test data. The 85 % percentile of absolute errors in the horizontal components of the wind is ~ 2 [m/s] while for the vertical one is $\sim 0,8$ [m/s]. These results seem to be strongly affected by altitude. The numerical weather predictions simulations take around 2,5 min while CFD require ~ 40 min. Once the ROM is trained, using it is nearly instantaneous so the computational advantage of using this methodology is huge.

Agradecimientos

Quería agradecer a todas las personas que me han ayudado a lo largo de la realización de este trabajo. Destacar el apoyo y recursos prestados por la empresa NablaDot S.L y la oportunidad que me han brindado para poder trabajar junto a ellos. En general agradecer a todos los compañeros que aquí me he encontrado por sus consejos y ayuda.

Especialmente destacar el apoyo proporcionado por Carlos Montañés a lo largo de todo el proceso tanto en la concepción, desarrollo y redacción de este trabajo. Su inestimable contribución ha permitido sin ninguna duda llevar a buen término el proyecto.

También agradecer enormemente a Miguel Cámara por su experiencia y paciencia a la hora de enseñarme a usar OpenFOAM. Su apoyo técnico en la creación de la malla ha sido, sin duda, crucial para poder realizar este trabajo.

Finalmente agradecer a mis padres, mi hermano y mis amigos que siempre han estado a mi lado para darme aliento, especialmente cuando el desarrollo de este proyecto se hacía más duro. Muchas gracias a todos.

Índice general

Resumen	I
Agradecimientos	II
1. Introducción	1
2. Fundamentos	3
2.1. Modelo de predicción climática	3
2.2. Modelo CFD	4
2.3. Modelo de orden reducido	5
2.3.1. Aprendizaje supervisado	6
2.3.1.1. Bosques aleatorios - RF	7
2.3.1.2. K vecinos próximos - KNn	7
2.3.1.3. Máquinas de vector soporte - SVM	8
2.3.1.4. Gradiente estocástico descendente - SGD	9
2.3.2. Interpolación mediante triangulación de Delaunay	10
3. Metodología	11
3.1. Simulación de mesoescala	11
3.1.1. Selección de eventos	12
3.2. Simulación de CFD	14
3.3. ROM	14
4. Caso aplicado	16
4.1. Comparación de regresores	18
4.2. Influencia de la altura	20
4.3. Influencia del número de eventos de entrenamiento	22
4.4. Recursos computacionales	23
5. Conclusiones	25
A. Estudio paramétrico de WRF	26
B. Códigos	31
B.1. Código principal	31
B.2. Clase auxiliar	38
B.3. Selección de eventos significativos	54
C. Resultados CFD	59
Bibliografía	102

Capítulo 1

Introducción

Uno de los principales temas de investigación dentro del campo de la dinámica de fluidos geofísica es el estudio de modelos numéricos y de laboratorio para los flujos atmosféricos. Estos incluyen aplicaciones que van desde la determinación de vientos cerca de la superficie para energía eólica [20, 31] a aplicaciones aeroespaciales para altitudes elevadas de las físicas de la atmósfera [56, 85]. Concretamente, el estudio de flujos de viento sobre terrenos complejos ha atraído especial interés no solo para la energía eólica [17, 42, 55, 90] sino también para aplicaciones relacionadas con la dispersión de partículas y contaminantes [16, 22, 23, 79]. Para las áreas de la geofísica y la meteorología, entender cómo se comportan estos flujos de aire, sobre todo los turbulentos, es de gran importancia [29]. Por ejemplo, conocer cómo estos flujos se mueven alrededor de edificios o ciudades es cada vez más importante para legisladores urbanísticos o ingenieros medioambientales a la hora de diseñar nuevos espacios urbanos que proporcionen un ambiente confortable y saludable [13]. Las simulaciones numéricas son una de las principales herramientas para comprender estos flujos y han demostrado su importancia en un amplio rango de investigaciones como física de la atmósfera [87], dispersión de contaminantes [5, 41, 74] y planificación urbanística [30, 51]. [92]

Entender los detalles del flujo del aire de manera local y específica es crítico para hacer predicciones a corto plazo de la variabilidad del viento; estos son necesarios para aplicaciones como energía eólica u otras industrias o defensa, en las que se requiere una predicción del viento detallada. Las técnicas de Fluidodinámica computacional (CFD) son capaces de modelar los detalles de las corrientes alrededor de geografías concretas y estructuras creadas por el hombre. Por otro lado, los modelos numéricos de predicción climática (NWP) proporcionan información sobre la variabilidad geofísica a una escala mayor [94]. Idealmente se buscaría un procedimiento que aunara las ventajas de ambos métodos. Unos de los principales inconvenientes de esto es el alto requerimiento computacional de la CFD. La solución a ello podría pasar por el uso de algún tipo de técnica que reduzca o evite estos requisitos computacionales tan elevados. Además, el acoplamiento entre estos dos métodos no es una cuestión trivial.

Una de las técnicas para reducir el coste computacional de la CFD sería el modelado de orden reducido, que está cobrando cierta relevancia para aplicaciones dentro de la ingeniería [26, 39]. Ofrecen una habilidad única para parametrizar ecuaciones diferenciales parciales dependientes del tiempo para problemas de flujo. La construcción de estos métodos está asociada con el cálculo de soluciones de alta fidelidad una única vez para un determinado conjunto de parámetros. Más adelante se aplican métodos “acaparadores” (*greedy*) como: teselaciones de centroide de Voronoi, descomposiciones de Taylor, Lagrange, Hermite, descomposición ortogonal apropiada (POD) o generalizada (PGD). De esta manera se obtiene una base/modos que representan el sistema. Particularmente, esta nueva base se puede proyectar sobre las ecuaciones que gobiernan el problema mediante aproximaciones de Galerkin. Así se obtienen resultados de alta fidelidad con una precisión aceptable en un tiempo relativamente reducido [70]. Uno de los primeros usos que se le dio a estos métodos en el campo “ingenieril” consistió en identificar la estructura de un flujo con tamaños y distancias variables [7, 11]. Más adelante fueron usadas para analizar la capa límite con características turbulentas [6, 71]. También se aplican en [1, 2] para analizar la estructura turbulenta alrededor de perfiles cilíndricos. En [9] se emplean POD para estudiar las estelas

de turbinas eólicas. Esta técnica también es usada para generar un modelo de velocidad-presión acoplada parametrizando las ecuaciones de Navier-Stokes [78]. Varios autores [43, 76, 77, 89] han contribuido a este método para poder aplicarlo a flujos con número de Reynolds moderado-alto. Existen casos en los que mezclan estas técnicas con herramientas de *Machine Learning* como redes neuronales [82, 92]. Otro estudio explora la posibilidad de la predicción meteorológica a través análisis estadísticos y bosques aleatorios en una localización concreta [3].

Con respecto al acoplamiento entre simulaciones NWP y CFD también ha habido diferentes estudios. Aquí el principal problema radica en los diferentes modelos de turbulencia que se usa en los dos tipos de simulación. Por lo general transformar la energía cinética y su ratio de dispersión de un modelo a otro no es trivial y necesita del diseño y definición de modelos específicos [79]. En este sentido, en [94] se presenta un estudio preliminar para este acoplamiento, centrándose en el campo de la energía, mientras que [59] lo hace en entornos urbanos. Otros estudios [80, 93] exploran no solo el acoplamiento NWP-CFD sino también el CFD-NWP y modelos mixtos.

El objetivo de este proyecto es desarrollar una metodología para obtener un *modelo de orden reducido* (ROM), de forma que a partir de simulaciones NWP permita obtener resultados equivalentes a los de CFD. Mientras que con NWP se simularía un periodo temporal amplio (que puede abarcar días en el caso de predicción o incluso hasta años para reanálisis meteorológico), el modelo CFD se utilizaría sólo para calcular una selección concreta de instantes dentro de este intervalo. Para obtener resultados con la resolución del modelo CFD sin tener que realizar simulaciones adicionales en instantes complementarios, los datos NWP se ajustan mediante un modelo de regresión a las simulaciones CFD realizadas. Ejemplos de estos modelos pueden ser: bosques aleatorios , K-vecinos próximos, máquinas de vector soporte o gradientes estocásticos descendentes. El tiempo computacional requerido por las simulaciones NWP y la aplicación del ROM es muy inferior a las demandadas por la CFD. Por ello, lograr un modelo como el que se busca supondría obtener resultados tan fidedignos y detallados como los de CFD evitando su alto coste computacional. Esto además podría abrir las puertas a simulaciones en tiempo real con alto grado de detalle. Poder aplicar esta metodología a terrenos con orografía compleja o entornos urbanos abre la posibilidad a realizar estudios más detallados sobre estas regiones para el campo de la energía eólica. Además no sólo se restringe a las aplicaciones energéticas, también podría aplicarse al conocimiento más profundo, o potencialmente en tiempo real, de la dispersión de contaminantes o servir como herramienta de apoyo para proyectos urbanísticos. En la industria del ocio se podría aplicar en diferentes aspectos como: planificación de eventos culturales al aire libre o estaciones de esquí, por ejemplo. También en el ámbito de la seguridad a la hora de planificar rutas de vuelo para helicópteros en misiones de rescate de alta montaña. En este trabajo se aplica la metodología desarrollada en una región con orografía compleja situada en el Pirineo aragonés para evaluar su eficacia.

La estructura general de este trabajo es la siguiente: en el capítulo 2 se exponen los fundamentos teóricos básicos de los principales elementos empleados; en el capítulo 3 se describe la metodología desarrollada para la construcción de los ROM; finalmente, en el capítulo 4 se presenta una aplicación práctica de esta metodología a una zona concreta del Pirineo aragonés y se realiza un pequeño análisis paramétrico respecto a la forma de construir el ROM.

Capítulo 2

Fundamentos

En este capítulo se presentan los fundamentos teóricos de los tres elementos principales en los que se basa el trabajo desarrollado: modelo de predicción climática (sección 2.1), simulaciones CFD (sección 2.2) y el ROM, para el cual se exponen diferentes alternativas descritas en la sección 2.3.

2.1. Modelo de predicción climática

Históricamente los meteorólogos han estudiado la dinámica de la atmósfera desde dos puntos de vista claramente separados por sus escalas espaciales y temporales. Uno sería la microescala que trata de explicar el comportamiento de la superficie más cercana del entorno que habita el hombre, con escalas espaciales de unos cuantos metros y temporales del orden de minutos. Fenómenos como la difusión de plumas de chimeneas o la interacción viento-estructuras se encontrarían en este tipo de escala. Por otro lado, la macroescala se centraría en predecir la evolución atmosférica de patrones a nivel planetario, teniendo escalas espaciales mayores a un millar de kilómetros y temporales de semanas. Las olas baroclínicas¹ se enmarcarían en esta escala. El término mesoescala entonces recogería todos los estados intermedios entre la macro- y microescala. Se corresponde con fenómenos de escalas espaciales de ~ 1000 km a ~ 2 km y temporales de unos cuantos días. La mesoescala comprende pues los fenómenos de la parte de la cascada de energía² que involucra la transferencia de energía desde las escalas integrales de la turbulencia a nivel atmosférico (borrascas, huracanes) hasta las escalas locales (sistemas de cúmulos, tormentas).

Esta escala es la que se resuelve y simula con WRF. WRF por sus siglas en inglés *Weather Research and Forecasting* es un sistema predicción climática numérica de mesoescala diseñado tanto para predicción operativa como para análisis atmosférico [40]. ARW (*Advanced Research WRF*) [72] es una configuración de WRF y será la usada en este trabajo en su versión 4.1. A continuación se describirán brevemente las ecuaciones que se resuelven y cómo se lleva a cabo la simulación con este modelo.

El modelo de mesoescala requiere de datos de entrada (condiciones iniciales y de contorno) proporcionados por modelos atmosféricos globales³ (como el GFS del NOAA o el IFS del ECMWF). Se genera una malla sobre la localización escogida. En la dirección horizontal esta malla suele ser una cuadrícula regular, y en la vertical se emplea una coordenada $\eta \in [0, 1]$. Esta variable se emplea porque permite adaptar los niveles verticales a la orografía del terreno, se define en términos de presiones como:

¹La inestabilidad baroclínica es el mecanismo dominante en dar forma a las borrascas y anticiclones para latitudes medias [32].

²La cascada de energía es el proceso mediante el cual los torbellinos más grandes transfieren energía a escalas más pequeñas, dando lugar a vórtices cada vez menores hasta que los más pequeños disipan esta energía térmicamente (disipación viscosa) [19].

³Un modelo atmosférico global es un modelo compuesto por cuatro modelos separados (modelo atmosférico, oceánico, terrestre y de hielo marítimo), que funcionan conjuntamente para proporcionar una imagen precisa de las condiciones climatológicas. Fuente: [GFS](#).

$$\eta = \frac{p_d - p_t}{p_s - p_t} \quad (2.1)$$

donde p_t y p_s los valores que toma p_d en el límite superior del dominio y en la superficie respectivamente. Por otro lado, p_d se podría asociar con la componente hidrostática de la presión del aire seco, sin embargo en ARW se modifica este valor para minimizar la influencia del terreno más rápidamente en alturas más elevadas (consultar [72] para más detalles). En la figura 2.1 podemos ver un esquema de cómo se comporta η .

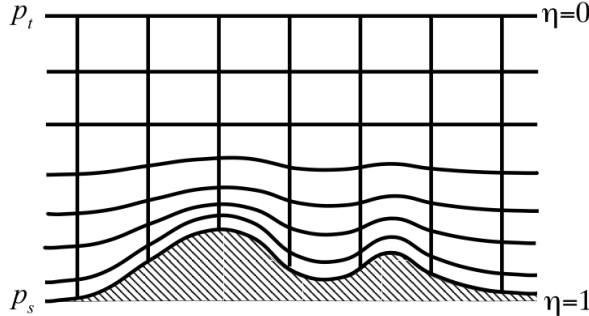


Figura 2.1: Coordenada vertical η de ARW. Fuente: [72].

El solver de las dinámicas de ARW integra las ecuaciones de Euler (flujo no viscoso) compresibles y no hidrostáticas derivadas usando variables que tienen propiedades de conservación. Se presentan a continuación de manera breve:

$$\begin{aligned} \frac{\partial \mathcal{U}_u}{\partial t} + (\nabla \cdot \mathcal{U} u) + \mu_d \alpha \frac{\partial P}{\partial x} + (\alpha/\alpha_d) \frac{\partial P}{\partial \eta} \frac{\partial \phi}{\partial x} &= F_{\mathcal{U}_u} \\ \frac{\partial \mathcal{U}_v}{\partial t} + (\nabla \cdot \mathcal{U} v) + \mu_d \alpha \frac{\partial P}{\partial y} + (\alpha/\alpha_d) \frac{\partial P}{\partial \eta} \frac{\partial \phi}{\partial y} &= F_{\mathcal{U}_v} \\ \frac{\partial \mathcal{U}_w}{\partial t} + (\nabla \cdot \mathcal{U} w) - g[(\alpha/\alpha_d) \frac{\partial P}{\partial \eta} - \mu_d] &= F_{\mathcal{U}_w} \\ \frac{\partial \Theta_m}{\partial t} + (\nabla \cdot \mathcal{U} \theta_m) &= F_{\Theta_m} \\ \frac{\partial \mu_d}{\partial t} + (\nabla \cdot \mathcal{U}) &= 0 \\ \frac{\partial \phi}{\partial t} + \mu_d^{-1}[(\mathcal{U} \cdot \nabla \phi) - g \mathcal{U}_w] &= 0 \\ \frac{\partial Q_m}{\partial t} + (\nabla \cdot \mathcal{U} q_m) &= F_{Q_m} \end{aligned} \quad (2.2)$$

Las ecuaciones se presentan a título informativo, para consultar en profundidad el trasfondo y significado de estas el lector puede consultar la documentación original [72].

2.2. Modelo CFD

Un modelo CFD calcula el flujo fluido, considerando los fenómenos físicos y químicos involucrados (tales como la turbulencia, la transferencia de calor o las reacciones químicas) resolviendo las ecuaciones de Navier-Stokes sobre una malla computacional del dominio discretizado.

Se emplea el método de volúmenes finitos [25, 37, 84, 88] para representar y evaluar las ecuaciones en derivadas parciales que representan los procesos físicos en ecuaciones algebraicas. Esta aproximación es especialmente útil cuando se trabaja con mallas no estructuradas como es el caso del presente trabajo [44]. La herramienta que se emplea para realizar las simulaciones CFD es OpenFOAM [88] que se trata de un software libre elaborado principalmente en C++. Se ha utilizado la [versión 6](#) de la rama

gestionada por *The OpenFOAM Foundation*. La resolución de la malla computacional para este caso es del orden de metros (frente a los ~ 2 km que se emplean en mesoscala, ver sección 2.1). Se trata de una malla no estructurada y se compone de poliedros de diverso número de caras que ocupan todo el espacio, adaptándose al relieve o la estructura a simular (en el caso aplicado, a un terreno montañoso).

La ecuación general de conservación que se resuelve y sirve para modelizar diferentes procesos físicos, como por ejemplo el transporte de partículas debido a la velocidad del flujo, fuentes de calor, etc, es la ecuación de Navier-Stokes. Para una variable genérica ϕ tiene la forma:

$$\underbrace{\frac{\partial(\rho\phi)}{\partial t}}_{\text{Term. Temporal}} + \underbrace{\nabla \cdot (\rho \mathbf{U} \phi)}_{\text{Term. Convectivo}} = \underbrace{\nabla \cdot (\Gamma_\phi \nabla \phi)}_{\text{Term. Difusivo}} + \underbrace{S_\phi}_{\text{Term. Fuente}} \quad (2.3)$$

donde ρ es la densidad del fluido, \mathbf{U} es el vector velocidad, Γ_ϕ es el coeficiente difusivo para la variable ϕ (por ejemplo la viscosidad para la ecuación de conservación de momento) y S_ϕ el término fuente, que aglomera toda aportación (o sustracción) de la cantidad ϕ que no se pueden expresar en los términos especificados en la ecuación (2.3) (calor por radiación en una llama, por ejemplo) [44].

Las hipótesis bajo las que se resuelve el flujo son:

- Se considera un flujo **incompresible**, es decir, $\rho = \text{cte.}$
- Se asume **estado estacionario**.
- Se resuelven las ecuaciones promediadas (modelo RANS, *Reynolds-Averaged Navier-Stokes* [52]). Para cerrar algunos de los términos resultantes del promediado en la ecuación de cantidad de movimiento, es necesario aplicar un modelo de turbulencia. En concreto se ha utilizado el modelo de **Spalart-Allmaras** [75].
- Se asume flujo **isotermo**. Puesto que el objetivo final del proyecto es desarrollar un modelo de orden reducido, se busca simplificar lo máximo posible la CFD y no se resuelve la transferencia de energía.

En el caso estudiado, el solver empleado para resolver el acoplamiento presión-velocidad es **simpleFoam** [53] que es la implementación en OpenFOAM del algoritmo numérico **SIMPLE** por sus siglas en inglés *Semi-Implicit Method for Pressure Linked Equations* [15].

Las ecuaciones que se han resuelto para los casos simulados, una vez aplicadas las hipótesis antes mencionadas son dos, continuidad:

$$\nabla \cdot \mathbf{U} = 0 \quad (2.4)$$

y conservación de momento:

$$\rho \nabla \cdot (\mathbf{U} \otimes \mathbf{U}) = -\nabla P + \nabla \tau' + \rho \mathbf{g} \quad (2.5)$$

donde \mathbf{g} es la aceleración de la gravedad, P es la presión y τ' es el tensor de esfuerzos viscosos, que para flujo incompresible se expresa como:

$$\tau' = \mu (\nabla \mathbf{U} + (\nabla \mathbf{U})^T) - \frac{2}{3} \mu (\nabla \cdot \mathbf{U}) \mathbf{I} \quad (2.6)$$

con μ es la viscosidad e \mathbf{I} la matriz identidad.

2.3. Modelo de orden reducido

El objetivo buscado es ajustar los resultados obtenidos con WRF a los producidos por la CFD mediante la creación de un modelo de orden reducido (ROM). Ambas clases de datos se tratan de valores reales continuos; por ello se explora construir el ROM mediante diferentes opciones: técnicas de aprendizaje supervisado (apartado 2.3.1) e interpolación directa mediante triangulaciones de Delaunay (apartado 2.3.2). En la literatura científica encontramos [3] que emplea una técnica algo parecida a la

expuesta aquí. El autor de este artículo entrena un bosque aleatorio sobre unos datos de WRF para su uso en predicción meteorológica.

Se denominan a los datos de entrenamiento, los obtenidos con WRF, como $x_i \in \mathbb{R}^m$ con $i = 1, 2, \dots, n$ y a las variables objetivo, las producidas por la CFD, $y_i \in \mathbb{R}^k$. El número de muestras que tenemos en los datos de entrenamiento es n , el número de características/propiedades descriptivas de los datos (*features*, variables independientes) lo denominamos m (número de variables de las simulaciones mesoscala empleados) y el de los valores objetivo (*labels*, variables dependientes) k (número de productos de la simulación CFD que se quieren predecir). De manera similar se denomina $x_l \in \mathbb{R}^m$ con $l = 1, 2, \dots, p$ a las variables independientes e $y_l \in \mathbb{R}^k$ a las dependientes del conjunto de test siendo p el número de datos dentro de este conjunto. Se llama \hat{y} a las variables objetivo generadas por el ROM.

Adicionalmente se emplea la métrica R^2 para medir el ajuste a los datos logrado por los modelos. Esta representa la proporción de varianza de y_l que se explica por las variables dependientes en los modelos. R^2 puede tomar valores en el intervalo $(-\infty, 1]$. El mejor valor que se puede obtener es $R^2 = 1$ e indicaría un ajuste perfecto. Viene definido por:

$$R^2 = 1 - \frac{\sum_{l=1}^p (y_l - \hat{y}_l)^2}{\sum_{l=1}^p (y_l - \bar{y})^2} \quad (2.7)$$

donde $\bar{y} = \frac{1}{p} \sum_{l=1}^p y_l$.

2.3.1. Aprendizaje supervisado

Para construir el ROM se han explorado diferentes técnicas de regresión de aprendizaje supervisado, que se detallan en las secciones 2.3.1.1 a 2.3.1.4. Para ello, se ha usado la librería de Python *scikit-learn* [57]. Para decidir qué estimadores emplear se han tenido en cuenta las pautas que presenta esta misma librería y que se pueden consultar en la figura 2.2.

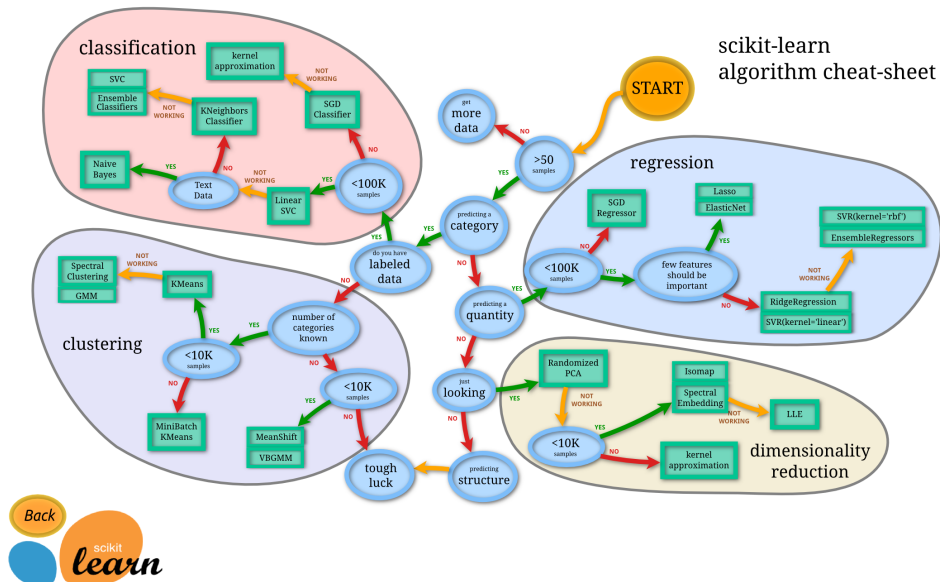


Figura 2.2: Diagrama de decisión de estimadores. Fuente [64].

Para ajustar este tipo de modelos suele necesitarse la definición de una función objetivo que represente cómo de bien se ajusta el modelo a los datos de entrenamiento. En general la función objetivo consta de dos partes:

$$\text{obj} = L + \Omega \quad (2.8)$$

donde L se denomina la pérdida o error de entrenamiento y Ω es el término de regularización que controla la complejidad del modelo y evita el sobreajuste. Una de las opciones más frecuentes es tomar

L como el error medio cuadrático definido como [91]:

$$L = \sum_i (y_i - \hat{y}_i)^2 \quad (2.9)$$

A la hora de entrenar estos modelos suele ser conveniente un procesamiento previo de las variables independientes. Muchos estimadores pueden comportarse de manera inadecuada si la distribución de las variables independientes no se asemeja a una distribución normal (por ejemplo las máquinas de vector soporte al emplear un kernel de base radial). Por ello de manera previa al ajuste de cualquiera de los métodos anteriormente mencionados, se realiza un escalado de los datos descriptivos, sustrayendo la media de la variable y dividiendo por su desviación estándar. Así, las variables independientes quedarían:

$$z = \frac{x - \bar{x}}{\sigma} \quad (2.10)$$

donde z son las variables independientes tras su escalado, \bar{x} la media de estas y σ su desviación estándar (para cada una de sus componentes) [67].

2.3.1.1. Bosques aleatorios - RF

Los bosques aleatorios (RF) son un tipo de estimador de “conjunto”. Este conjunto está formado por árboles de decisión, que son estimadores individuales construidos a partir de muestras con reemplazamiento del conjunto de entrenamiento. Además, al dividir cada nodo durante la construcción del árbol, la mejor partición se encuentra de entre todas las características de los datos o de una subsección aleatoria de ellas. El propósito de estas dos fuentes de aleatoriedad es disminuir la varianza del estimador global. De hecho, árboles de decisión individuales exhiben típicamente una gran varianza y tienden a sobreajustarse. Esta aleatoriedad en el bosque induce de alguna forma errores en la predicción desacoplados, y tomando su media pueden llegar a cancelarse. Los bosques aleatorios consiguen una reducción en la varianza aumentando ligeramente su sesgo en algunos casos. En la práctica, esta reducción en la varianza es significativa, teniendo como resultado final un mejor modelo. [65]

Un árbol de decisión consiste en ir dividiendo los datos de entrada en función de alguna de sus características. De esta manera se van creando subgrupos (llamados subnodos) a los que se les asigna una categoría o un valor \hat{y}_i . Así, la homogeneidad o pureza de los subnodos va aumentando, lo que conlleva una reducción de L . Existen muchos criterios para hacer estas divisiones, muchas de ellas relacionadas con la pureza de los subnodos, como lo son: índice Gini, χ^2 , ganancia de la información y reducción en la varianza. En la implementación de *scikit-learn* el criterio que se sigue es el de reducir L en cada división, que es equivalente al de reducción de la varianza [65]. Por otro lado, si se itera la creación de subnodos hasta el final se obtiene un modelo sobreajustado en el que cada elemento de los datos de entrenamiento constituiría un subnodo. Para evitar esto estaría Ω en la función objetivo. Sin embargo, en la práctica muchas veces se desprecia este término y para solventar este problema se emplean técnicas heurísticas. Alguna de estas técnicas consisten en establecer un límite al cambio de la pureza al realizar una división, imponer que cada subnodo final tenga un número mínimo de elementos de los datos de entrenamiento o limitar la profundidad del árbol. [4, 91]

2.3.1.2. K vecinos próximos - KNn

El principio detrás del método de K vecinos próximos (KNn) es encontrar un número de muestras dentro de los datos de entrenamiento más cercanos en distancia al punto que se quiere predecir y derivarlo de estos. La distancia se calcula en función de las características de estos datos y puede ser, en general, cualquier tipo de métrica: la distancia Euclídea estándar es la opción más común y la que se usa en este trabajo. Las regresiones basadas en vecinos se pueden usar en casos en los que los valores objetivos de los datos sean continuos. Estos valores son asignados al punto predicho a partir de la media de los valores de sus vecinos más próximos. El método más básico usa pesos uniformes: esto es, cada punto de los considerados como más próximos contribuyen uniformemente a la predicción final. Sin

embargo resulta ventajoso pesar cada punto de manera que los más cercanos contribuyan más que los alejados. En la implementación que se emplea en el trabajo se pesarán estos puntos proporcionalmente al inverso de su distancia con el punto requerido. [66]

2.3.1.3. Máquinas de vector soporte - SVM

Una máquina de vector soporte (SVM) construye un hiperplano o conjunto de ellos en un espacio con alta dimensionalidad, que puede ser usado para clasificación o regresión. La idea que subyace en los SVM es buscar uno o varios hiperplanos que separen de forma óptima las características (clases en los problemas de clasificación) de los puntos entrenados, que se han podido proyectar a un espacio de dimensión superior. En este contexto buscar la separación óptima se refiere a buscar el hiperplano que tenga la máxima distancia o margen con los puntos (de ambas clases, en clasificación) que estén más cerca del mismo. A estos puntos se los denominan vectores soporte.

Concretamente, en las aplicaciones de regresión, el objetivo se traduce en encontrar $w \in \mathbb{R}^m$ y $b \in \mathbb{R}$ teniendo un error mínimo para las predicciones dadas por: $w^T \phi(x) + b$, minimizando:

$$\begin{aligned} & \min_{w,b,\xi,\xi^*} \underbrace{\frac{1}{2} w^T w}_{L} + \underbrace{C \sum_{i=1}^n \xi_i + \xi_i^*}_{\Omega} \\ & \text{s.a. : } y_i - w^T \phi(x_i) - b \leq \varepsilon + \xi_i, \\ & \quad w^T \phi(x_i) + b - y_i \leq \varepsilon + \xi_i^*, \\ & \quad \xi_i, \xi_i^* \geq 0, i = 1, \dots, n \end{aligned} \tag{2.11}$$

Intuitivamente, se maximiza el margen (de anchura 2ε) del hiperplano (minimizando $\|w\|^2 = w^T w$) a la vez que se penalizan las muestras cuya predicción se vaya más de ε de su valor real. Estas muestras penalizan la función objetivo con ξ_i o ξ_i^* dependiendo si la predicción se encuentra por encima o por debajo de su valor real. Se resuelve su problema dual que viene dado por:

$$\begin{aligned} & \min_{\alpha, \alpha^*} \frac{1}{2} (\alpha - \alpha^*)^T Q (\alpha - \alpha^*) + \varepsilon l^T (\alpha + \alpha^*) - y^T (\alpha - \alpha^*) \\ & \text{s.a. : } l^T (\alpha - \alpha^*) = 0 \\ & \quad 0 \leq \alpha_i, \alpha_i^* \leq C, i = 1, \dots, n \end{aligned} \tag{2.12}$$

Donde l es un vector con todas sus componentes iguales a la unidad, Q es una matriz $n \times n$ semidefinida positiva, $Q_{i,j} \equiv K(x_i, x_j) = \phi(x_i)^T \phi(x_j)$ denominada kernel. Aquí los vectores de entrenamiento se transforman implícitamente a un espacio de dimensión superior por la función ϕ . La predicción viene dada por:

$$\sum_{i \in SV} (\alpha - \alpha^*) K(x_i, x) + b \tag{2.13}$$

Siendo SV los vectores soporte, es decir, aquellos puntos que caen justo en el margen del hiperplano. Algunas de las opciones del kernel, $K(x_i, x_j)$, son:

- Lineal: $\langle x_i, x_j \rangle$.
- Polinomial: $(\gamma \langle x_i, x_j \rangle + r)^d$.
- Función de base radial: $\exp(-\gamma \|x_i - x_j\|^2)$.
- Sigmoidea: $\tanh(\gamma \langle x_i, x_j \rangle + r)$.

Donde $\langle \cdot, \cdot \rangle$ representa el producto escalar convencional. Tanto ε , C , γ , r y d son hiperparámetros del modelo que hay que ajustar, así como el kernel que se emplea. [12, 69, 73]

2.3.1.4. Gradiente estocástico descendente - SGD

El gradiente estocástico descendente es un simple pero a la vez eficiente método para ajustar clasificadores o regresores lineales bajo una función de pérdida convexa. El objetivo es encontrar una función lineal $f(x) = w^T x + b$ que nos dé los valores \hat{y} con parámetros del modelo $w \in \mathbb{R}^m$ y $b \in \mathbb{R}$. Para encontrar estos parámetros, se minimiza el error de entrenamiento regularizado, E , definido por la siguiente expresión:

$$E(w, b) = \underbrace{\frac{1}{n} \sum_{i=1}^n \mathcal{L}(y_i, f(x_i))}_L + \underbrace{\alpha R(w)}_\Omega \quad (2.14)$$

donde \mathcal{L} es una función de pérdida que mide el error del ajuste del modelo y R es el término de regularización que penaliza la complejidad del modelo; $\alpha > 0$ es un hiperparámetro no negativo que controla la intensidad de la regularización. Diferentes elecciones de \mathcal{L} dan como resultado diferentes regresores:

- Hinge: equivalente a la clasificación por SVM. $\mathcal{L}(y_i, f(x_i)) = \max(0, 1 - y_i f(x_i))$.
- Perceptron: $\mathcal{L}(y_i, f(x_i)) = \max(0, -y_i f(x_i))$.
- Huber modificado: $\mathcal{L}(y_i, f(x_i)) = \max(0, 1 - y_i f(x_i))^2$ si $y_i f(x_i) > 1$, y $\mathcal{L}(y_i, f(x_i)) = -4y_i f(x_i)$ en otro caso.
- Log: equivalente a una regresión logística. $\mathcal{L}(y_i, f(x_i)) = \log(1 + \exp -y_i f(x_i))$.
- Mínimos cuadrados: regresión lineal (Ridge o Lasso dependiendo de R). $\mathcal{L}(y_i, f(x_i)) = \frac{1}{2}(y_i - f(x_i))^2$.
- Huber: menos sensible a *outliers* que mínimos cuadrados. Es equivalente a mínimos cuadrados cuando $|y_i - f(x_i)| \leq \varepsilon$, y $\mathcal{L}(y_i, f(x_i)) = \varepsilon |y_i - f(x_i)| - \frac{1}{2}\varepsilon^2$ en otro caso.
- Insensible a epsilon: equivalente a una regresión por SVM. $\mathcal{L}(y_i, f(x_i)) = \max(0, |y_i - f(x_i)| - \varepsilon)$.

Algunas elecciones comunes para el término de regularización R son:

- Norma $L2$: $R(w) := \frac{1}{2} \sum_{j=1}^m w_j^2 = \|w\|_2^2$.
- Norma $L1$: $R(w) := \sum_{j=1}^m |w_j|$.
- Red elástica: $R(w) = \frac{\rho}{2} \sum_{j=1}^m w_j^2 + (1 - \rho) \sum_{j=1}^m |w_j|$, una combinación convexa de $L2$ y $L1$ regulada por ρ ; se hace igual a $L2$ para $\rho = 1$ y a $L1$ para $\rho = 0$.

El gradiente estocástico descendente es un método de optimización para problemas sin restricciones. Al contrario que el gradiente descendente, SGD approxima el verdadero gradiente de $E(w, b)$ considerando una muestra concreta de todos los datos de entrenamiento a la vez. En la implementación de *scikit-learn* se emplea una rutina SGD de primer orden. El algoritmo itera sobre las muestras de los datos de entrenamiento y para cada una actualiza los parámetros de acuerdo a la regla:

$$w \leftarrow w - \eta \left[\alpha \frac{\partial R(w)}{\partial w} + \frac{\partial \mathcal{L}(w^T x_i + b, y_i)}{\partial w} \right] \quad (2.15)$$

donde η es el ritmo de aprendizaje que controla el tamaño de los pasos en el espacio de parámetros. b se actualiza de manera similar pero sin el término de regularización. El ritmo de aprendizaje η puede ser constante o decaer gradualmente. Para regresión, el esquema seguido para η es el escalado inverso dado por:

$$\eta^{(t)} = \frac{\eta_0}{t^\theta} \quad (2.16)$$

donde t es el paso temporal del proceso (hay un total de $n \times n_iter$ pasos temporales). Tanto η_0 , θ y n_iter son hiperparámetros del modelo. [68][95]

2.3.2. Interpolación mediante triangulación de Delaunay

Este método consiste en construir una triangulación de Delaunay con los elementos x_i de los datos de entrenamiento, para después realizar una interpolación lineal con los puntos correspondientes al punto requerido de esta triangulación.

Una triangulación de Delaunay es una subdivisión de un objeto m -dimensional en m -símplices o símplices⁴, de manera que ningún punto se encuentre dentro de la hiper-esfera circunscrita de ningún simplex [18]. Las propiedades de este tipo de triangulación maximizan el ángulo mínimo de todos los ángulos de los simplex generados. Esto minimiza los simplex estrechos o retorcidos, que a su vez mejora la calidad de la interpolación [10]. Se usa el algoritmo QHull [8] para construir la triangulación. Este se basa en una propiedad matemática que estipula que cada simplex en la triangulación de Delaunay de un conjunto de puntos m -dimensional corresponde a una faceta de la envoltura convexa de la proyección de los puntos a un paraboloide $(m+1)$ -dimensional, y viceversa [14].

La localización del punto requerido para la interpolación dentro de la triangulación es esencial. Para ello, el punto se proyecta en el paraboloide $(m+1)$ -dimensional y usa el algoritmo QHull [8] para realizar una búsqueda directa de la faceta de la envoltura convexa en $m+1$ dimensiones que lo contiene. En el espacio original m -dimensional, esta faceta corresponde a un simplex de la triangulación de Delaunay que contiene el punto buscado.

Se realiza una interpolación lineal del punto con los vértices del simplex que lo contiene, basándose en coordenadas baricéntricas. Un sistema de coordenadas baricéntricas permite expresar la localización de un punto relativo a los vértices de un m -simplex [83]. Sea $\lambda = (\lambda_1, \lambda_2, \dots, \lambda_{m+1})$ las coordenadas baricéntricas del punto objetivo y $\psi = (\psi_1, \psi_2, \dots, \psi_{m+1})$ los valores de una característica/propiedad de los datos en los vértices del m -simplex. Entonces el valor de la característica del punto buscado se interpola según:

$$\hat{\psi} = \lambda \cdot \psi^T \quad (2.17)$$

Con todo esto, la predicción final sería $\hat{y}_i = (\hat{\psi}_1, \hat{\psi}_2, \dots, \hat{\psi}_k)$, con cada $\hat{\psi}$ dada por la expresión (2.17). Este método puede fallar si el punto requerido se encuentra fuera de la triangulación (no contenido por ningún simplex). Para intentar evitar esto, es conveniente introducir puntos a la triangulación que expandan lo máximo su alcance y eviten este problema. En el desarrollo de la metodología general se añaden estos puntos mediante los “casos frontera”.

Nótese que pueden encontrarse ciertas similitudes con el método KNn (sección 2.3.1.2). Mientras que en KNn existen ciertos hiperparámetros para ajustar el modelo, en la interpolación mediante triangulaciones de Delaunay no se tiene ninguno; esta es la razón principal por la que no se incluye dentro de las técnicas de aprendizaje supervisado. Por otro lado, en KNn se obtiene el valor final con cierto número de vecinos más próximos, mientras que con Delaunay se hace con los vértices del m -simplex. No se asegura que estos vértices a su vez sean los puntos más próximos al punto requerido, aunque nada impediría que lo fueran.

La metodología para emplear este método para el ROM se describe en [36] y [58] y un ejemplo de aplicación se puede encontrar en [46]. Para el proceso de interpolación y la generación se emplea la implementación de la librería de Python *SciPy* [86].

⁴Un simplex o símplice es un objeto m -dimensional definido por la envoltura convexa de $m+1$ vértices. Por ejemplo, en dos dimensiones, un simplex es un triángulo; en tres es un tetraedro.

Capítulo 3

Metodología

En esta sección se presentan los bloques principales que constituyen la metodología desarrollada en el proyecto. Una de las ventajas que presenta este método es su modularidad. Cada bloque que conforma el proceso tiene un amplio rango de modificación sin tener que alterar directamente el resto. Por ejemplo, se pueden cambiar las físicas que se resuelven en las simulaciones de mesoscala en función de la región que se trate; también se pueden cambiar los modelos de turbulencia en las simulaciones CFD adaptándose a entornos urbanos o montañosos. Esta segmentación, además de una mayor flexibilidad para adaptarse al problema concreto que se trate, proporciona una trazabilidad tanto de errores como mejoras en los resultados finales. Los elementos más importantes son los siguientes y se esquematizan en la figura 3.1:

1. Simulación de mesoscala y selección de eventos¹ representativos (sección 3.1).
2. Simulación de estos eventos con CFD (sección 3.2).
3. Construcción del ROM (sección 3.3).
4. Una vez construido el ROM, la forma de operar consiste en introducir el resultado de una simulación de mesoscala a este para obtener los resultados finales.

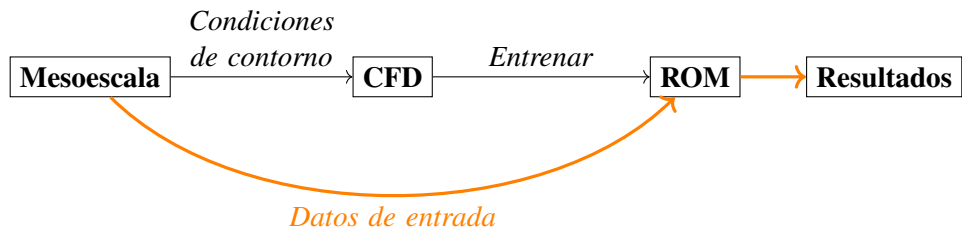


Figura 3.1: Esquema general de la metodología.

3.1. Simulación de mesoscala

La función principal de las simulaciones mesoscala dentro del proceso de la construcción del ROM es la de proporcionar condiciones iniciales y de contorno a las simulaciones CFD. Las simulaciones con WRF se pueden enfocar a dos objetivos principalmente: reanálisis de eventos temporales pasados o predicción. En ambos casos, los software disponibles para la simulación de mesoscala (como [WRF](#))

¹Se entiende como “evento” al estado meteorológico concreto de una fecha o un instante determinado, por ejemplo, las condiciones meteorológicas del día 1 de mayo del 2018 a las 16:00.

requieren datos de entrada (condiciones iniciales y de contorno) proporcionados por modelos atmosféricos globales, tales como el [GFS](#) o [IFS](#). Estos datos, por lo general, se encuentran disponibles online y son de acceso gratuito.

La simulación de mesoescala se centra sobre la región de interés. La idea general es realizarla sobre un periodo de tiempo suficientemente grande como para capturar los eventos más representativos y que con mayor frecuencia se dan históricamente en la región. Una selección de estos eventos más característicos (este proceso se detalla en la sección [3.1.1](#)) se simularían entonces con CFD. De esta manera se tienen simulaciones detalladas de las condiciones meteorológicas más habituales que se puedan dar en la región de estudio. Con ello, el ROM es entrenado con los eventos que mejor definen la climatología que se da en la localización de interés. De esta manera, el ROM podría aplicarse a instantes temporales fuera del periodo simulado por WRF durante su construcción. En el caso aplicado que se desarrolla en este proyecto, se realizan simulaciones WRF de reanálisis sobre un año natural (en concreto el 2018). Podría considerarse este periodo algo reducido para obtener una representación fidedigna de las condiciones meteorológicas históricas que mejor describen esta localización. Sin embargo, al igual que ocurre con las simulaciones CFD, se ha tomado este periodo temporal en aras de simplificar el proceso y hacer la aplicación de la metodología global más rápida (además de menos exigente en recursos computacionales, sólo las simulaciones WRF ya ocupan 175 Gb).

Otro aspecto importante a considerar es la frecuencia, dentro del periodo temporal simulado con WRF, con la que se almacenan resultados de un evento específico. Esta frecuencia puede ser variable pero no muy elevada ni muy baja por un motivo principalmente. Tiene que ser correcta para muestrear el periodo de tiempo total adecuadamente; si se almacenan resultados cada minuto es lógico pensar que las condiciones meteorológicas han cambiado poco en este intervalo de tiempo, por lo que se tendrán resultados de estas simulaciones prácticamente idénticas; por el contrario, si las simulaciones almacenadas son semanales, es altamente probable que se esté perdiendo información en este periodo y cambios significativos en sus condiciones meteorológicas. A todo ello se le suman aspectos algo más técnicos como el tiempo de procesamiento posterior de los resultados (aumenta cuantos más eventos se almacenen) o la memoria que ocupa en disco (cada evento de las simulaciones WRF realizadas para el caso aplicado de este proyecto ocupan aproximadamente ~ 20 Mb). Al final esta frecuencia de almacenamiento se determina de manera heurística teniendo en cuenta estos factores. En la aplicación de la metodología que se lleva a cabo en este trabajo, se almacenan eventos de WRF cada hora.

Para la construcción del ROM se emplean simulaciones de WRF de reanálisis. Sin embargo, a la hora de emplearlo, los datos de entrada pueden ser tanto de reanálisis para estudiar instantes pretéritos como productos WRF de predicción que darían resultados de tiempos futuros. De manera adicional, en el apéndice [A](#) se presenta un breve estudio llevado a cabo en el contexto de este TFM de los efectos que tienen algunos de los parámetros de operación de WRF, como las diferentes físicas que se resuelven o la resolución espacial empleada en su dominio.

3.1.1. Selección de eventos

En este apartado se expone el proceso de selección de los eventos de las simulaciones WRF que se simularán en CFD para construir finalmente el ROM. Se busca que el ROM opere de forma adecuada bajo cualquier condición meteorológica que se pueda dar en la zona de estudio. En definitiva, para generar el ROM, lo que se hace es ajustar algún tipo de modelo de regresión. Para que estos modelos devuelvan resultados aceptables lo óptimo es entrenarlos con datos lo más semejantes a estas condiciones. Por ello, escoger eventos que representen y describan lo mejor posible las condiciones meteorológicas que se dan en la región de estudio es primordial. Por un lado, se puede pensar, para ahorrarse el proceso de selección de eventos, en seleccionarlos todos. De esta manera seguro que se entrenaría adecuadamente el ROM. Sin embargo, el inconveniente principal de esto es que habría que realizar una gran cantidad de simulaciones CFD (una por cada evento) que requieren un elevado tiempo de cómputo. Esto es precisamente lo que se trata de evitar con el desarrollo de la metodología presentada en el proyecto.

Debido a lo anterior, los eventos que resultarían óptimos para entrenar estos modelos de regresión son aquellos que cubren lo mejor posible el espacio de condiciones meteorológicas posibles (y

especialmente las más frecuentes) de la zona de estudio. Estos modelos, en general, no se comportan especialmente bien en los límites del espacio de fases definido por sus datos de entrenamiento, y pueden llegar incluso a fallar si se les requiere algún punto que se encuentre fuera del espacio de fases recorrido. Por ello los eventos extremos (por ejemplo, en los que se den velocidades del viento máximas) también cobran relevancia a la hora de caracterizar el periodo. Además, estos eventos cobran especial interés en aplicaciones como cálculos de esfuerzos sobre edificios o condiciones seguras de operación de un teleférico en una pista de esquí, por ejemplo.

En la metodología propuesta en este trabajo se determinan los eventos que se escogen para simular en CFD (y posteriormente entrenar el ROM) siguiendo el siguiente procedimiento que explora de manera sistemática los eventos simulados con WRF y tiene en cuenta los requerimientos expuestos con anterioridad:

1. Se calcula el módulo y dirección del viento a 50 m sobre la superficie en el centro del dominio de estudio y se descartan aquellos eventos con una velocidad inferior a 2 [m/s]. La razón para ello es que las situaciones de calma tienen (a priori) poco interés desde el punto de vista de aplicaciones del modelo, por lo que recorrer esta parte del espacio de fases es en principio poco útil.
2. Se calcula la rosa de los vientos en este punto; esto es, se agrupan los resultados en intervalos discretos de velocidad y dirección de viento (ver figura 4.2). El número de direcciones escogido es 64 y el de velocidades 10. Estas cantidades se eligen de manera que los intervalos discreticen lo máximo posible el rango de valores de velocidad y dirección pero manteniendo un valor estadístico relevante (con esta elección las direcciones principales superan los 150 eventos).
3. Se recorren estos intervalos, para cada dirección, seleccionando los eventos extremos (aquellos con velocidad máxima) hasta un máximo de 64 (un evento extremo por cada posible intervalo de dirección).
4. Se exploran los intervalos de velocidad en función de su frecuencia mayor (independientemente de su dirección), escogiendo un evento perteneciente a cada uno de estos. En este proceso se prohíben los intervalos adyacentes a los ya seleccionados para forzar una mayor exploración de todo el espacio. El comienzo de esta desestimación de intervalos lo marca el intervalo de velocidad con mayor frecuencia (el primero que se elige). Por ejemplo, si se selecciona el intervalo de velocidad 5 para el intervalo de dirección 24, el intervalo de velocidad 5 queda prohibido para las direcciones 23 y 25, así como los intervalos de velocidad 4 y 6 para la dirección 24.
5. Por último, los “casos frontera” son unos eventos artificiales que se seleccionan especialmente para dar mayor soporte a la interpolación mediante triangulaciones de Delaunay (sección 2.3.2). Para generarlos se recorren 16 intervalos de dirección equiseparados comenzando por el primero. De cada una de estas direcciones se escoge un evento perteneciente al intervalo de velocidad más frecuente independientemente de los eventos seleccionados en los puntos anteriores. La idea es identificar las condiciones meteorológicas más frecuentes para cada una de estas direcciones y modificar la intensidad de viento. Seguidamente se dividen los valores de velocidad del viento por la velocidad máxima de cada uno de los eventos. Más adelante, se obtiene la velocidad máxima de todos los eventos seleccionados previamente, se eleva un 10% y se multiplica este valor a los campos de velocidad de los eventos de estas 16 direcciones. Al ser físicamente posibles, se dejan para el resto de modelos de regresión además de la interpolación mediante triangulaciones de Delaunay.

Esta metodología ha sido desarrollada e implementada en Python por el autor de este trabajo. El código se puede consultar en el apéndice B.3.

3.2. Simulación de CFD

Las simulaciones CFD que se emplean resuelven el campo de velocidades de la región de interés con una resolución espacial alta, teniendo en cuenta detalles de la orografía que se escapan del alcance de las simulaciones de mesoscala. El dominio WRF se ha definido de tal forma que el dominio CFD se encuentra centrado sobre este; esto se debe a que los resultados de la simulación WRF tienen mejor calidad (no afectan tanto las condiciones de contorno del dominio) en los puntos centrales de la región a simular. Se simulan los eventos determinados en el apartado anterior (sección 3.1.1) y los resultados obtenidos son usados como valores objetivo para entrenar el ROM. Se plantean dos retos principales para llevar a cabo estas simulaciones CFD. El primero es referente a la malla computacional empleada y cómo se construye. El segundo radica en especificar de manera adecuada las condiciones de contorno de las simulaciones CFD para simular unas u otras condiciones meteorológicas determinadas por las simulaciones de WRF.

Los dominios (mallas computacionales) para las simulaciones CFD de este tipo (simulaciones de viento sobre un terreno) suelen ser en general rectangulares y se extienden aguas abajo para resolver las estelas y que no interfieran con las condiciones de contorno en la salida [59, 94]. Si además se quiere estudiar el viento con diferentes direcciones, es normal emplear una malla computacional orientada para cada una de estas. Esto obliga a realizar diferentes mallas para cada dirección y luego desechar todas las zonas de estos dominios que no sean comunes. La creación de este tipo de mallas computacionales no es sencilla, requiere tiempo y habilidad, además añade complejidad y tiempo de cálculo al proceso total. Lo que se propone en esta metodología es crear un dominio cuyos límites en el plano horizontal sean circulares o quasi-circulares haciéndolo válido para cualquier dirección. Esta forma de operar presenta una ventaja principal frente a los métodos más extendidos explicados anteriormente; se evita un tiempo y esfuerzo sustancial al no tener que generar un gran número de mallas para las diferentes direcciones del viento. Por otro lado, señalar que la parte exterior del dominio simulado es descartado para eliminar posibles resultados espurios causados por la cercanía a las condiciones de contorno y dejar que el flujo se desarrolle correctamente de acuerdo a la orografía local.

En relación al segundo reto que se plantea en esta sección, determinar condiciones de contorno a una simulación CFD no es una tarea trivial. Una elección estándar de estas condiciones de contorno pasa por fijar un valor determinado para la velocidad de entrada, un perfil de velocidades en altura o estipular unos valores de la presión [54]. Lo que se busca es capturar lo mejor posible las condiciones meteorológicas de un evento determinado. Para transmitir esto a las simulaciones CFD se opta por una condición de contorno que tenga en cuenta el flujo de viento simulado en el interior del dominio y se adapte a él. Esta condición exige unos valores iniciales para la velocidad en las celdas que conforman el dominio de simulación. Por ello es necesario obtener los valores de las simulaciones WRF e introducirlos a OpenFOAM de manera adecuada.

Para ello, primero se extraen los datos WRF así como las coordenadas de su malla computacional. Por otra parte, se obtienen las coordenadas de las celdas del dominio CFD y se transforman a las mismas que tiene WRF (por lo general los sistemas de coordenadas que emplean ambos software no coinciden). Por último, se interpolan los datos WRF a las celdas que conforman los contornos en el plano horizontal del dominio CFD. Todo este proceso se ha implementado por el autor de este trabajo en Python. El código resultante se puede consultar en el apéndice B.2. En cuanto a la condición de contorno para la turbulencia, se ha impuesto una intensidad turbulenta genérica para todos los eventos en aras de simplificar el proceso.

3.3. ROM

El ROM se compone de modelos de regresión que toman como valores objetivo los resultados del modelo CFD y como valores descriptores los de WRF. Una aproximación para entrenar los modelos de regresión pasa por construir uno único al que se introduzca directamente variables descriptivas para definir la localización del punto (latitud, longitud y altura, por ejemplo). Durante el desarrollo de la

metodología se exploró esta posibilidad, pero se descartó debido a la baja calidad de los resultados obtenidos. Se hace fehaciente el hecho de que este modelo único no es capaz de distinguir correctamente la localización espacial de los puntos requeridos a través de variables descriptivas. Por ello se opta por construir modelos de regresión para cada localización sobre una “malla puente” que no requieran variables descriptivas para incluir la localización espacial. De esta manera, se construyen de manera independiente tantos regresores como puntos tenga esta malla. Sin embargo, haciéndola suficientemente densa, los resultados finales se pueden obtener en cualquier localización del dominio mediante interpolaciones. Notar que la elección del modelo de regresión no se restringe a los expuestos en las secciones 2.3.1 y 2.3.2 sino que el procedimiento es lo suficientemente flexible como para admitir un tipo diferente como podrían ser las redes neuronales. No obstante, en la aplicación de esta metodología (capítulo 4) se comparan los resultados obtenidos con un ROM construido a partir de los diferentes métodos de regresión expuestos en la sección 2.3. A continuación se expone el proceso para elaborar la malla puente, las ventajas que proporciona y cómo se tratan los datos de las simulaciones de WRF y CFD.

La malla puente se construye sobre la región de estudio; horizontalmente se constituye por puntos equidistantes y verticalmente se compone de niveles η' definidos como:

$$h(\eta') = \eta' \cdot (h_t - h_s) + h_s \quad (3.1)$$

donde $h(\eta')$ nos da la altura para un nivel η' dado, h_t es la altura máxima de la malla computacional CFD y h_s es la elevación del terreno para del que se calcula su altura; $\eta' \in [0, 1]$, de forma que $\eta' = 0$ se corresponde con la altura del terreno y con $\eta' = 1$ a la máxima. En la figura 4.5 se presenta un ejemplo de una malla de este tipo. La similitud con la malla computacional empleada por WRF es alta. De hecho, horizontalmente las dos se construyen de la misma manera, la diferencia esencial está en los niveles verticales. En WRF estos se definen en función de las presiones, por lo que cada evento tiene unos niveles verticales diferentes. Sin embargo los niveles η' son constantes.

Tanto las simulaciones mesoescala como las de CFD se calculan sobre mallas computacionales diferentes y por lo tanto los resultados de cada una no coinciden espacialmente. La malla puente definida anteriormente sirve de soporte para establecer concordancia espacial entre WRF y CFD y poder entrenar los modelos de regresión en los puntos que la conforman. Estos datos se interpolan de manera similar al proceso que se sigue en la sección 3.2 para establecer condiciones de contorno a las simulaciones CFD. Mencionar que en el caso aplicado que se desarrolla en el trabajo (capítulo 4) las variables empleadas de los resultados de las simulaciones (tanto WRF como CFD) son las componentes de la velocidad en las tres direcciones espaciales. Sin embargo, esto no restringe a 3 el número de variables objetivo o descriptoras ni que tengan que ser componentes de la velocidad; otras variables como la presión o temperatura podrían añadirse a estos conjuntos indistintamente.

Una pregunta que puede surgir en todo el proceso es la de por qué no usar la malla computacional de la CFD como malla puente directamente. Uno de los motivos es el de establecer cierta independencia entre los diferentes elementos de la metodología; es decir, que la resolución de estas simulaciones no defina la cantidad de regresores que se entrena ni su localización. Además, la creación de una malla puente según la manera descrita asegura que esta sea una malla estructurada, lo que favorece las interpolaciones sobre ella.

En el apéndice B.1 se presenta el código principal implementado en Python por el autor de este proyecto que se encarga de construir el ROM.

Capítulo 4

Caso aplicado

En este capítulo se presentan los resultados de aplicar la metodología expuesta en el capítulo 3 a un caso práctico.

La región geográfica sobre la que se centra el caso aplicado es el Pirineo aragonés, más concretamente entre los valles del Aragón y Tena, en el paraje conocido como sierra de la Partacua. Se ha escogido esta localización porque la orografía del terreno es compleja (la zona cuenta con numerosas paredes, canales y corredores con desniveles del orden de 600 m en distancias horizontales menores de 200 m) y resulta adecuada para poner a prueba la metodología de manera exigente.

El intervalo temporal de análisis es el año 2018 completo, con una resolución de 1 hora entre eventos. Los datos de entrada para WRF se han obtenido del conjunto ds090.0 [50] generados mediante reanálisis con el modelo global GFS. Se construyen 4 dominios rectangulares anidados para realizar las simulaciones WRF (ver figura 4.1). La relación de tamaño entre ellos es de 1 : 3, y el más pequeño (del que se obtienen los productos que son empleados por la CFD) tiene una extensión de ~ 81 km en la dirección este-oeste y ~ 54 km en la norte-sur con una resolución espacial de ~ 900 m.

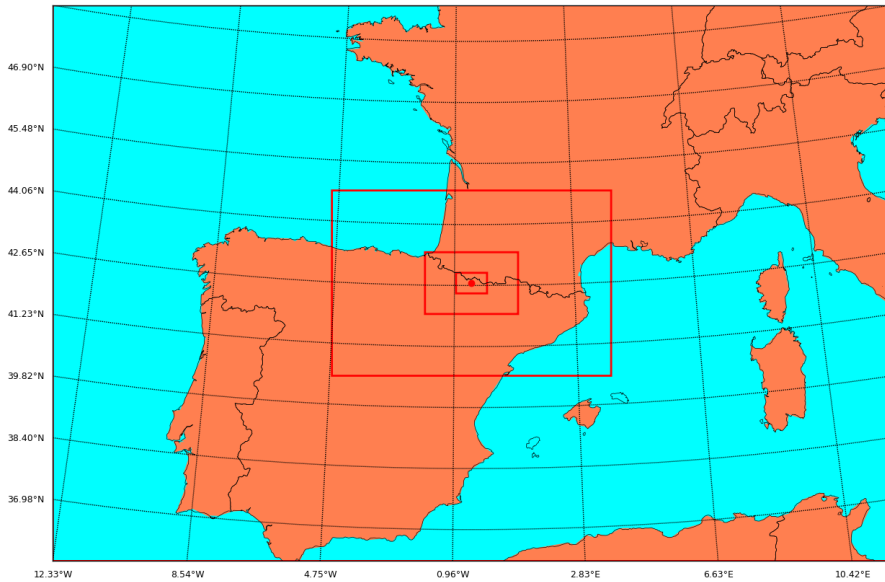


Figura 4.1: Dominio de las simulaciones de WRF.

Para escoger los eventos que se simulan en CFD se sigue el procedimiento descrito en la sección 3.1.1. La rosa de los vientos se realiza con 64 intervalos para la dirección del viento y 10 para su módulo. En total se han seleccionado 193 eventos significativos (más 16 casos *frontera*), que son los que se simulan con CFD. En la figura 4.2 se presentan la rosa de los vientos y la velocidad y dirección de estos eventos.

La figura 4.3 muestra el dominio del último anidamiento de la simulación de mesoescala, donde los

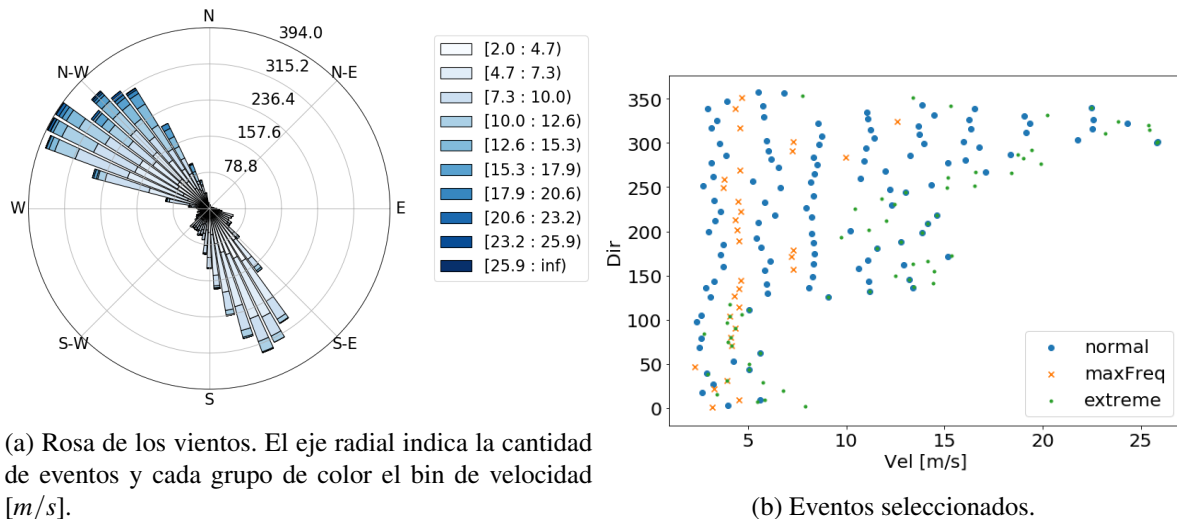


Figura 4.2: Selección de eventos de WRF para el caso aplicado.

puntos verdes indican los nodos de la malla. En esta imagen, el círculo azul delimita el dominio CFD. Concretamente, la malla computacional CFD se encuentra centrada en las coordenadas $42,7^{\circ}N - 0,36^{\circ}O$

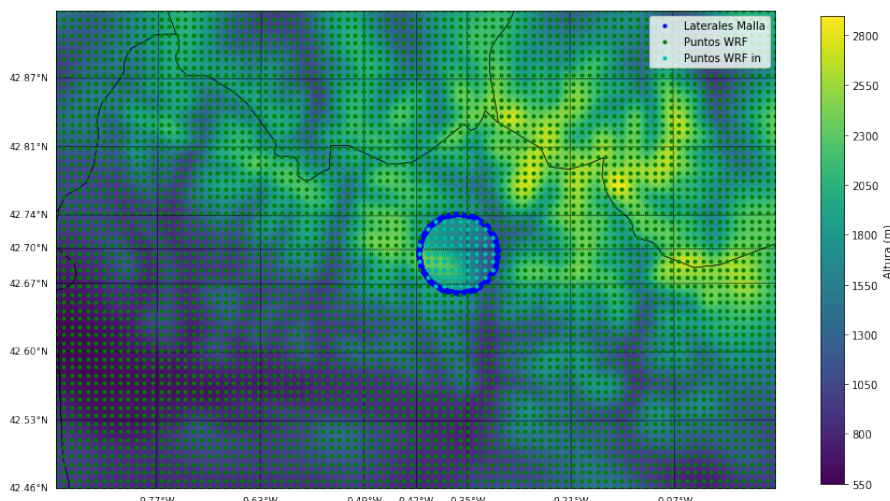


Figura 4.3: Localización del dominio CFD dentro del de WRF.

y consta de unas 250000 celdas¹. La malla está refinada cerca de la superficie, donde la resolución llega a los 12 m, haciéndose más gruesa según la distancia al suelo aumenta. El dominio se define como una figura cilíndrica de radio 9,8 km cuyos laterales se componen de 16 caras planas, con una altura de 5 km sobre el nivel del mar (la altura mínima de la superficie en el dominio CFD es de ~ 1400 m y la máxima de ~ 2700 m). La cara inferior se adapta a la orografía del terreno. En la figura 4.4 se presentan imágenes con el dominio CFD empleado. Con el fin de minimizar la influencia de las condiciones de contorno en los resultados finales, se descarta la solución obtenida en la corona externa (~ 1 km desde los laterales) y en los ~ 500 m superiores del dominio. Adicionalmente a los 193 + 16 eventos significativos seleccionados con anterioridad se simulan en CFD 80 más; se tratan de eventos totalmente aleatorios dentro del año escogido para probar el ROM final sobre estos. En el apéndice C se pueden consultar los resultados detallados obtenidos de estas simulaciones.

¹Esta cantidad de celdas para resolver un dominio CFD de estas dimensiones es claramente escasa para obtener unos resultados que cumplan con los estándares generales de la CFD. Sin embargo, el tamaño de la malla está estrechamente relacionada con el tiempo y memoria requerida por una simulación, por lo que se ha reducido este número para simplificar la aplicación de la metodología.

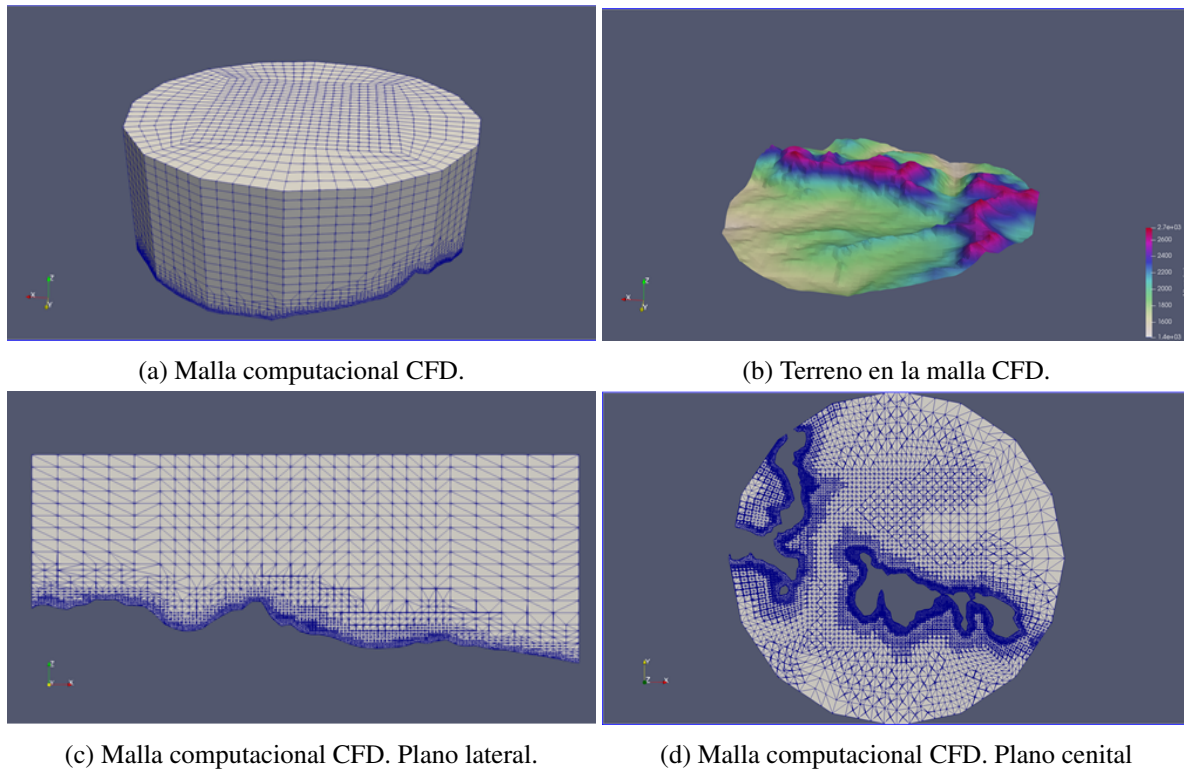


Figura 4.4: Malla computacional para las simulaciones CFD.

La malla puente sobre la que se define el ROM consta de 21 puntos de diámetro y tres niveles η' ($\eta' = \{0, 0.5, 1\}$). En la imagen 4.5 se presenta la malla puente empleada.

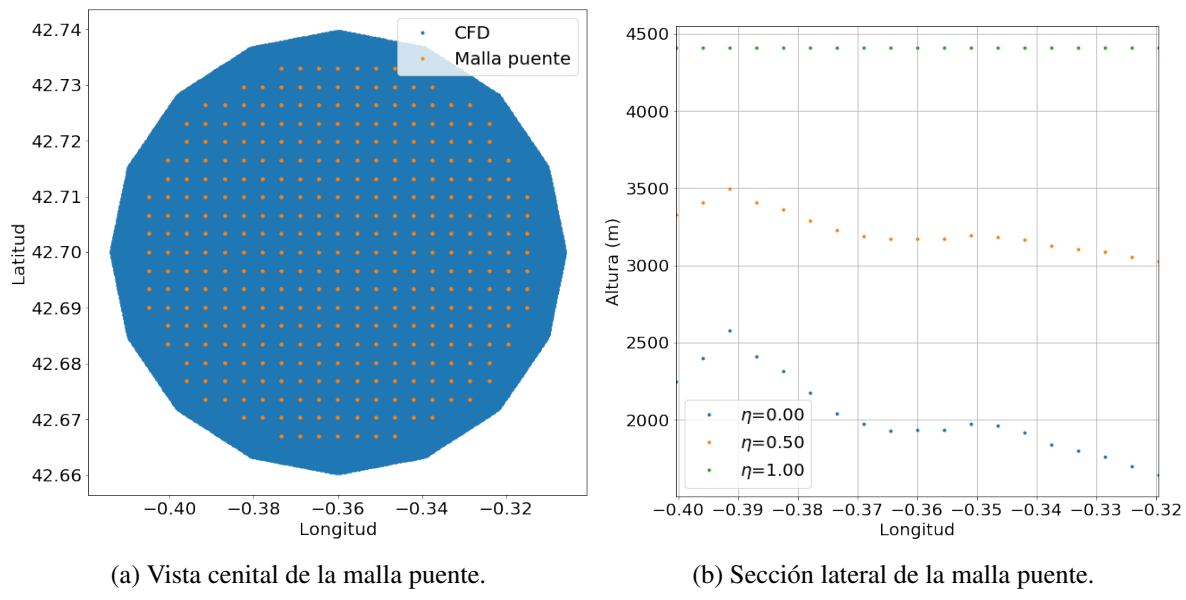


Figura 4.5: Malla puente.

4.1. Comparación de regresores

En esta sección se analiza cuáles son los resultados obtenidos por cada regresor explicado en las secciones 2.3.1 y 2.3.2. De todos ellos se ha explorado de manera sucinta su espacio de hiperparámetros

y se escogen los siguientes:

- **RF:** número de árboles= 500, profundidad del bosque= 50 y el criterio calidad de separación de los nodos: error cuadrático medio (equivalente a reducción de varianza).
- **KNn:** Número de vecinos próximos= 5, Norma para la distancia: L2 y Pesos: inverso de la distancia.
- **SVM:** Kernel: función de base radial, $\varepsilon = 0,5$ y $C = 1$.
- **SGD:** \mathcal{L} : Huber, $\varepsilon = 0,5$, R : norma L2, $\alpha = 1e-3$, $\eta_0 = 0,1$, $\theta = 0,1$ y $n_iter = 1000$

Todos ellos se entranan con los $193 + 16$ eventos simulados en CFD. En la figura 4.6 se presentan los valores de R^2 para cada una de las componentes del viento (U_x, U_y, U_z) obtenidos por los diferentes regresores.

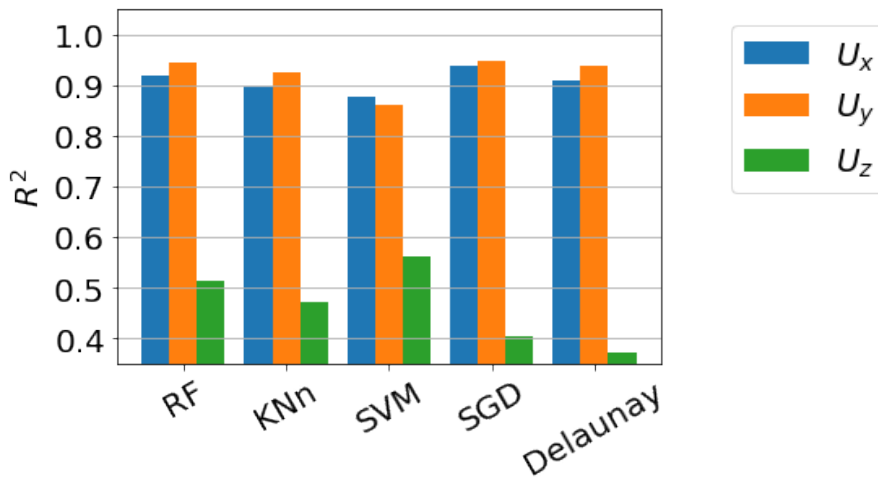


Figura 4.6: Valores de R^2 para cada una de las componentes del viento para diferentes regresores.

Los valores de R^2 para las componentes de viento U_x y U_y son en general bastante similares entre los diferentes modelos y satisfactorios (mayores a 0,85) en todos los casos ,si bien SVM se encontraría algo por debajo. Para la componente U_z sin embargo, R^2 obtiene valores mucho menores (por debajo de 0,57) lo que indica que esta componente no ha sido capturada tan bien por los modelos; en este caso es SVM el que mejor se comporta.

Para estudiar en más detalle los resultados obtenidos, en la figura 4.7 se muestran los productos finales para cada uno de los regresores frente a los valores reales de los casos test. Se aprecia que se capture la tendencia general de los datos aunque se observa una dispersión notable en los resultados obtenidos. De la exploración directa de esta imagen se ve que SVM está afectado por algún tipo de sesgo (inclinación de la nube de puntos con respecto a la diagonal). La dispersión y la presencia de outliers parece independiente del modelo de regresión empleado y es similar en todos ellos.

La figura 4.8 presenta diferentes percentiles de los errores absolutos obtenidos en cada componente para los distintos regresores. De nuevo se observa un comportamiento similar para U_x y U_y con todos los regresores; en esta ocasión KNn arroja los peores resultados en comparación al resto. Los errores absolutos para el percentil 85 % son de $\sim 2,5$ [m/s], teniendo en cuenta el rango de valores para estas componentes (valores absolutos de hasta 30 m/s), se puede considerar que los resultados obtenidos en estas variables son aceptables. Destacar en este caso el desempeño del modelo SGD con el que se obtienen errores menores de ~ 2 [m/s]. En términos absolutos, los errores para U_z son menores ($\sim 0,8$ [m/s]) que para el resto de componentes. Sin embargo su rango de valores hace que este error sea mucho más significativo, obteniendo unos resultados, pese a ser tolerables, algo peores a los de U_x y U_y .

En general se observa que los comportamientos de los modelos están claramente diferenciados para las componentes U_x y U_y por un lado y U_z por otro. Esto podría indicar que una elección diferente de

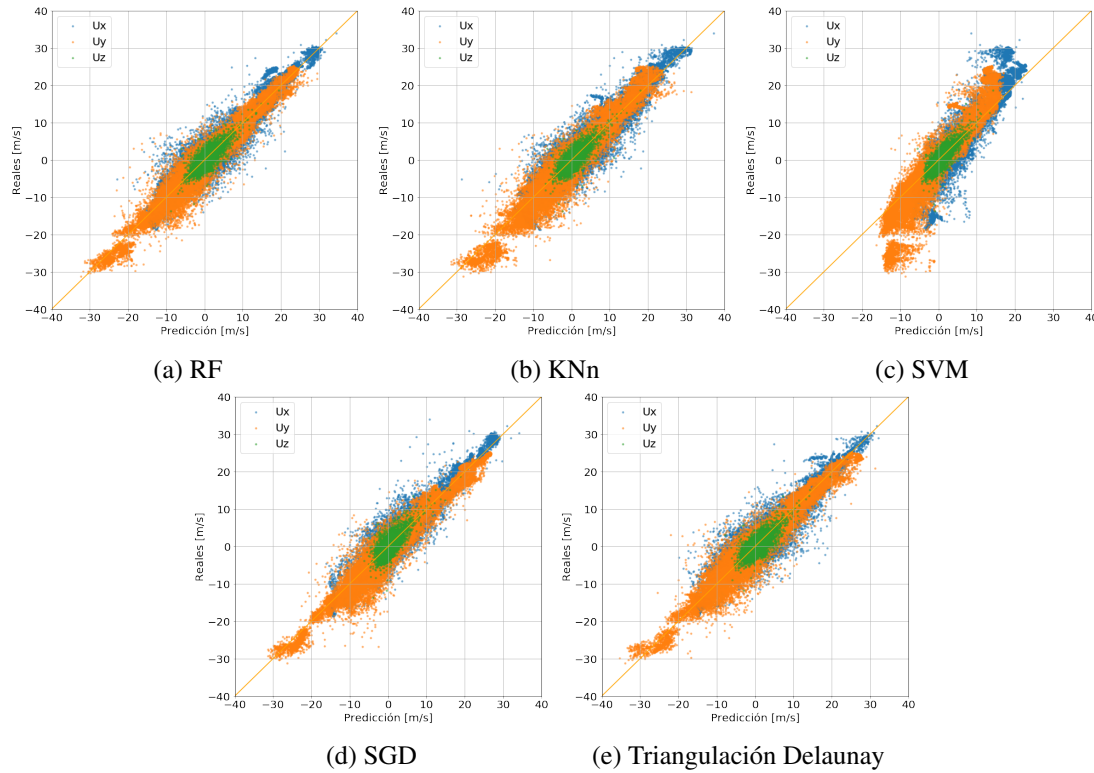


Figura 4.7: Resultados obtenidos por el ROM (eje Y) frente a los valores reales (eje X) para diferentes regresores.

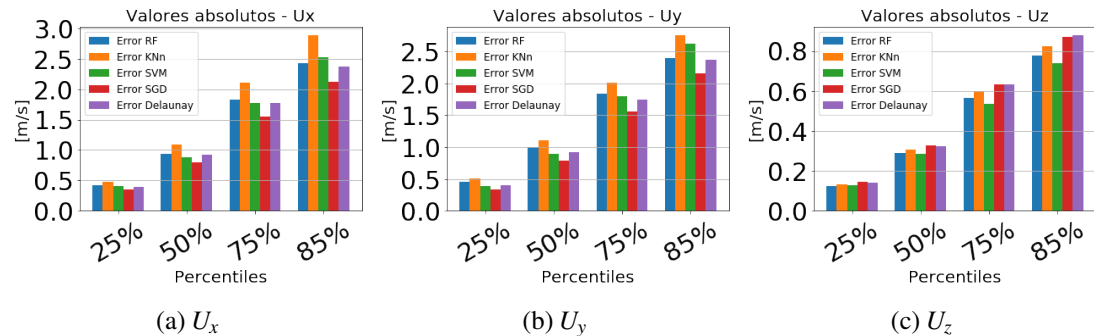


Figura 4.8: Valores de los percentiles del error absoluto para cada una de las componentes del viento determinadas con los diferentes regresores.

modelos de regresión (o los mismos con otros hiperparámetros) para cada uno de estos grupos podría ser beneficioso para el producto final del ROM. Por otro lado, una exploración más exhaustiva de hiperparámetros de los modelos potencialmente permitiría un rendimiento superior del ROM. Otra posible mejora del ROM pasa por la adición de más variables independientes (como la helicidad o vorticidad) además del campo de velocidades de WRF que se usa actualmente.

4.2. Influencia de la altura

Con el objetivo de explorar en más profundidad estos resultados, se estudia la influencia que pudiera tener η' sobre ellos. Para ello se estudia el caso particular del modelo SGD y se analizan los resultados de manera independiente para los tres niveles η' . En la figura 4.9 se encuentran los valores R^2 obtenidos para los tres valores de η' empleando el modelo SGD. En esta imagen se aprecia que las altitudes bajas ($\eta' = 0$) favorecen el ajuste de la componente U_z mientras que para U_x y U_y no resulta una condición tan

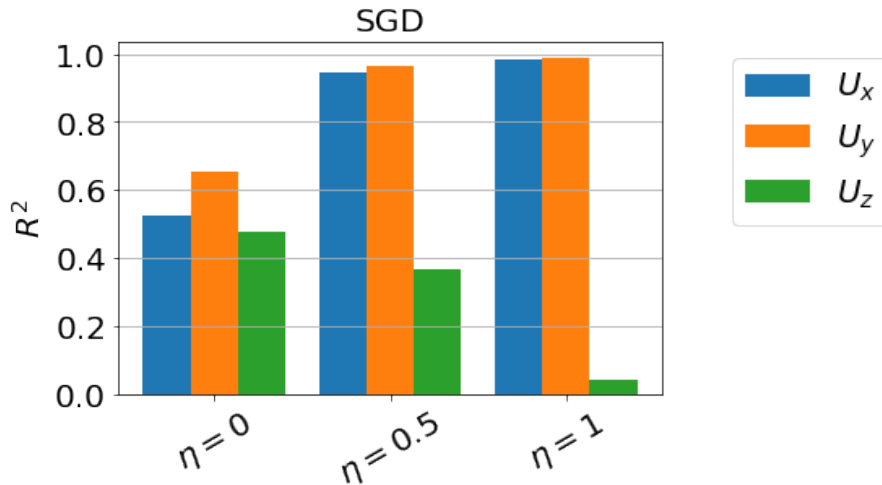


Figura 4.9: Valores de R^2 para cada una de las componentes del viento para diferentes valores de η' con el regresor SGD.

conveniente. Este comportamiento se invierte a medida que se sube en altura, haciendo que el valor de R^2 para la componente vertical de la velocidad sea casi 0. En la imagen 4.10 se presentan los resultados obtenidos en este caso y puede encontrarse una razón a este valor tan bajo para R^2 , dado que los valores predichos por el modelo para $\eta' = 1$ en la componente U_z son prácticamente constantes sin atender a los valores de las variables independientes.

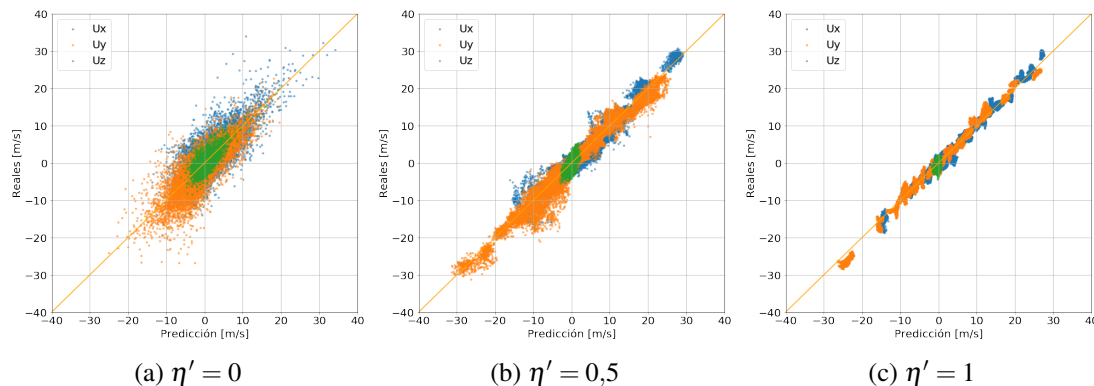


Figura 4.10: Resultados obtenidos por el ROM (eje Y) frente a los valores reales (eje X) para diferentes valores de η' con el regresor SGD.

También se observan ciertas concentraciones de las predicciones (alineamiento parcial de manera vertical de algunos puntos de la gráfica) para otras componentes del viento. Esto podría indicar que los eventos seleccionados para el entrenamiento en estas alturas tienen las velocidades algo más concentradas y no forman un espectro tan continuo como en altitudes menores. De esta manera el modelo se encuentra influenciado altamente por estos valores más discretizados y no captura de manera tan eficiente valores de la velocidad diferentes. Otra posible selección de eventos de entrenamiento podría ayudar a solventar este inconveniente. Por otro lado, se observa claramente en la figura que el origen principal de la dispersión de los resultados y los *outliers* se concentra en las predicciones para $\eta' = 0$. A medida que se sube en altura esta dispersión va desapareciendo y los puntos se acercan más a la diagonal, obteniendo unas predicciones más acertadas a la realidad.

Para estudiar los errores de cada componente se exponen los percentiles del error absoluto en la figura 4.11. Aquí se ve de manera fehaciente que el error del modelo se concentra primordialmente en los niveles de altura más bajos.

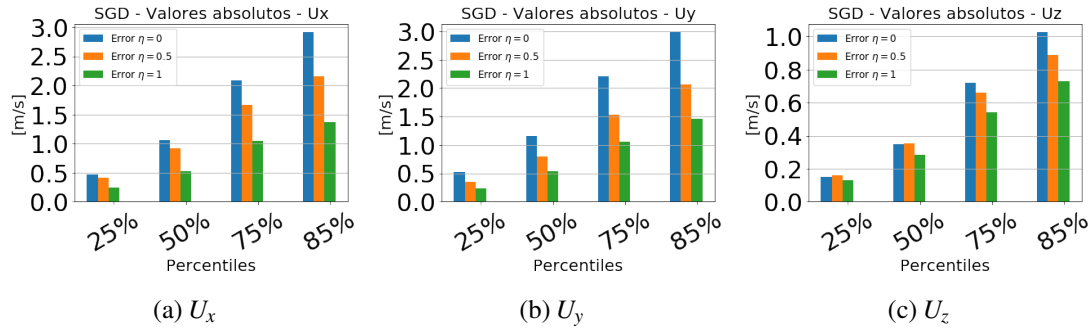


Figura 4.11: Valores de los percentiles del error absoluto para cada una de las componentes del viento determinadas para diferentes valores de η' con el regresor SGD.

Un estudio pormenorizado del nivel $\eta' = 0$ ayudaría enormemente a la subsiguiente mejora del rendimiento global del ROM. Entre las razones por las que se concentra el error en las alturas más bajas, una sería una posible dependencia espacial con algún punto de la malla puente (una localización especialmente compleja del punto en cuestión, como el fondo de un valle por ejemplo). Otra posibilidad es que uno o varios eventos test correspondan a unas condiciones excepcionalmente anómalas que no estén representadas por los datos de entrenamiento. También es posible que en este nivel inferior, los detalles de la orografía hagan que la diferencia entre los campos de velocidad obtenidos por WRF y CFD sean máximas, y que el modelo de regresión propuesto sea insuficiente para capturarlas.

4.3. Influencia del número de eventos de entrenamiento

Se expone en esta sección la influencia en los resultados finales del número de eventos utilizados para el entrenamiento del ROM, empleando de manera particular el regresor SGD. Se construye el ROM empleando el regresor SGD entrenándolo con diferente número de eventos: 16 (casos frontera), 50, 100, 150 y 209 (todos los disponibles). En la figura 4.12 se encuentran los valores R^2 obtenidos en este caso. Exceptuando la situación en la que se entrena el regresor sólo con los casos frontera, no

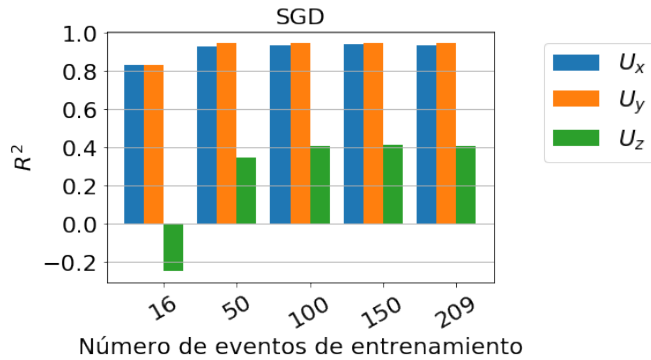


Figura 4.12: Valores de R^2 para cada una de las componentes del viento para diferentes valores del número de eventos de entrenamiento con el regresor SGD.

se aprecia una diferencia significativa en el resto. Con un valor negativo para R^2 se hace evidente que entrenar el modelo únicamente con los casos frontera no es efectivo. Este hecho se corrobora también en la imagen 4.13, que presenta los resultados obtenidos frente a los test para estas condiciones (en la figura 4.7d se encuentran los resultados para 209 eventos de entrenamiento). De nuevo, excluyendo el caso con 16 eventos de entrenamiento, las gráficas son prácticamente idénticas (incluyendo la figura 4.7d). En la situación con 16 eventos de entrenamiento se observa que el error y la dispersión asociadas a esa predicción son mayores que en el resto. La figura 4.14 muestra los percentiles del error absoluto

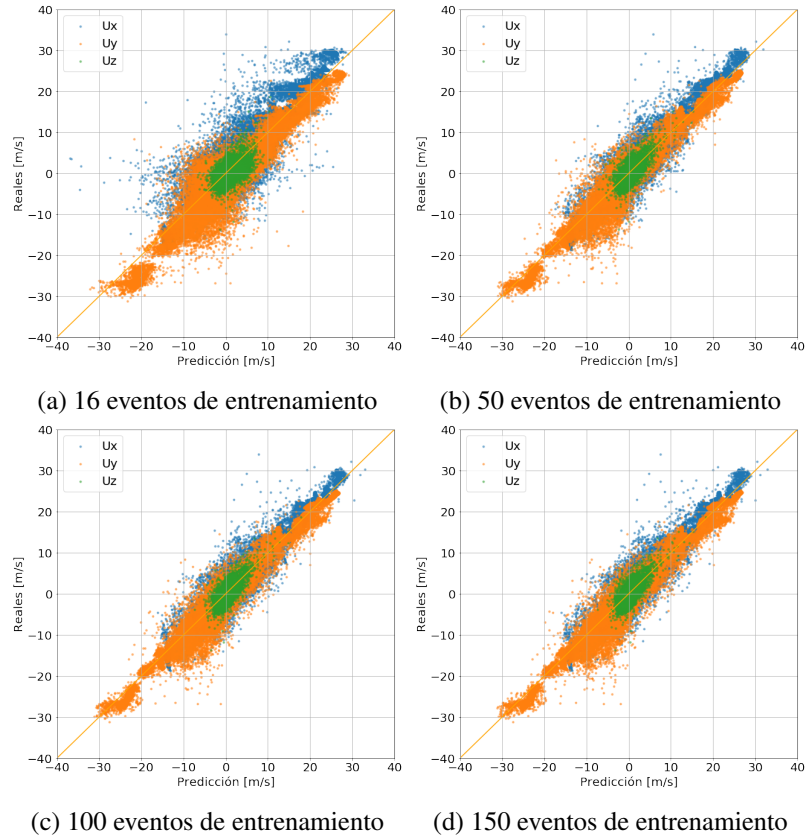


Figura 4.13: Resultados obtenidos por el ROM (eje Y) frente a los valores reales (eje X) para diferentes valores del número de eventos de entrenamiento con el regresor SGD.

obtenido.

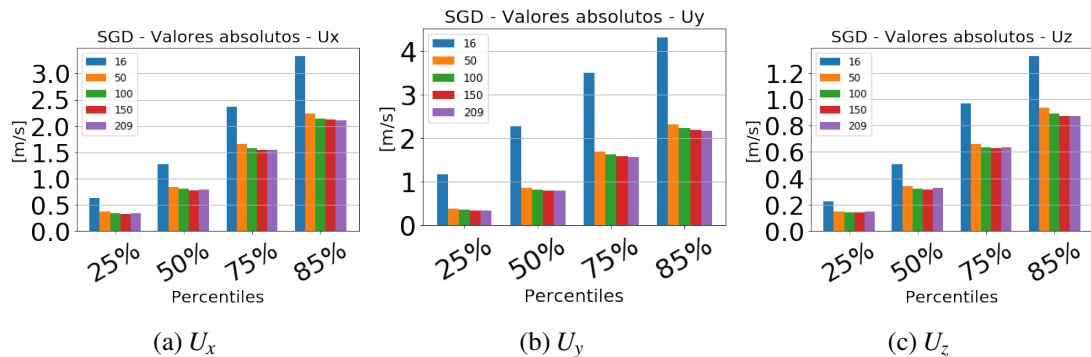


Figura 4.14: Valores de los percentiles del error absoluto para cada una de las componentes del viento determinadas para diferentes valores del número de eventos de entrenamiento con el regresor SGD.

Esta pone en evidencia que el número de eventos con los que se entrena el ROM no es significativo en los resultados finales a partir de 50-100 eventos de entrenamiento para tres variables independientes.

4.4. Recursos computacionales

Los procedimientos propuestos en la metodología expuesta en este trabajo son por lo general exigentes computacionalmente. Se detalla a continuación el tiempo de cálculo requerido para cada paso de la aplicación de la metodología.

- Se ha realizado una simulación (transitoria) de reanálisis de un año en WRF empleando 6 procesadores que lleva en total 15 días y medio cuyos resultados ocupan en disco ~ 175 Gb. Cada hora volcada de esta simulación toma aproximadamente $\sim 2,5$ min y ocupa ~ 20 Mb.²
- Respecto a la CFD, se han ejecutado un total de 289 (209 eventos de entrenamiento y 80 para test). Para la malla de 250000 celdas que se ha empleado, realizándola en 6 núcleos, una única simulación toma ~ 40 min por lo que el proceso total ha requerido unos 8 días. Almacenar el campo de velocidades de cada simulación ocupa en disco 10 Mb, casi 3 Gb en total.²
- La selección de eventos significativos se ha completado en ~ 40 min con picos en el uso de RAM de ~ 40 Gb (notar que analizar los 8785 resultados producidos por la simulación WRF supone manejar una gran cantidad de datos).²
- El procesamiento de todos los resultados procedentes de las simulaciones WRF y CFD, la construcción de malla puente y el acondicionamiento de los datos para su posterior uso por los modelos de regresión ha costado ~ 5 h.³
- Finalmente, ajustar (con los 209 eventos de entrenamiento) y obtener los resultados con cada uno de los regresores requiere de tiempos de cómputo diferentes. Para RF se necesitan 22 min, para KNn unos 4 min, en el caso de SVM y SGD alrededor de 2 min y para el más rápido de todos, las interpolaciones mediante triangulaciones de Delaunay, 1 min 40 s. Es lógico que RF sea el que más tiempo requiere, ya que según la configuración escogida se entrena 500 árboles de decisión para generar el bosque.³

Las ventajas computacionales de aplicar el método propuesto para la construcción del ROM se hacen patentes con estos resultados. A partir de una simulación de mesoescala, bien de predicción o reanálisis (con un coste computacional de unos 2,5 min por hora simulada), se pueden obtener de forma prácticamente instantánea mediante el ROM, resultados equivalentes a los del modelo CFD (cuyo coste computacional está entorno a los 40 minutos por evento). Si además se tiene en consideración que la malla CFD típica para la explotación de este modelo (y consecuentemente el coste computacional de resolver el flujo en ella) es del orden de 100 veces superior, la conveniencia de esta herramienta es patente.

²Se ha empleado una máquina con 64 Gb de RAM y un procesador Intel(R) Core(TM) i7-5820K a 3,30 GHz con 6 núcleos y 15360 Kb de memoria caché.

³Se ha empleado una máquina con 32 Gb de RAM y un procesador Intel(R) Core(TM) i7-2600K a 3,40 GHz con 4 núcleos y 8192 Kb de memoria caché.

Capítulo 5

Conclusiones

En este proyecto se ha desarrollado e implementado una metodología para construir un modelo de orden reducido a partir de simulaciones de mesoscala y CFD. Este modelo devuelve resultados detallados del campo de velocidades a partir de simulaciones de mesoscala, empleando diferentes tipos de modelos de regresión. Esta metodología consiste en realizar simulaciones WRF de un periodo temporal amplio identificando los eventos más significativos que se dan en la localización de estudio. Estos eventos se emplean como condiciones de contorno para realizar simulaciones CFD con las que entrenar el ROM.

Se ha aplicado la metodología propuesta sobre una región con orografía compleja del Pirineo aragonés. Los resultados obtenidos son aceptables y se logra capturar la tendencia general de los datos de entrenamiento. Los valores de R^2 obtenidos para los diferentes regresores son muy cercanos a la unidad para las componentes U_x y U_y , y algo inferiores para U_z . El percentil 85 % de los errores absolutos de las predicciones obtenidas es de ~ 2 [m/s] para las componentes horizontales del viento y de $\sim 0,8$ [m/s] para la componente vertical. Un análisis de los resultados por alturas ha permitido identificar que la principal fuente de error del modelo radica en los puntos con altitudes más bajas. Se ha realizado un análisis de sensibilidad para estudiar la influencia del número de eventos del entrenamiento en los resultados y las conclusiones son que el número de eventos con los que se entrena el ROM no es significativo a partir de 50 – 100 eventos.

En referencia a los recursos computacionales, se requieren unos 2,5 min para obtener resultados WRF correspondientes a un evento, mientras que son necesarios ~ 40 min (la malla computacional empleada es realmente grosera y en una aplicación comercial este tiempo se incrementaría notablemente) para realizar una simulación directa con CFD. El uso del ROM una vez entrenado es prácticamente instantáneo, por lo que las ventajas computacionales de aplicar el método propuesto para la construcción del ROM son fehacientes.

No obstante, el ROM obtenido de la aplicación de la metodología propuesta tiene un gran margen de perfeccionamiento. Una de las posibles mejoras de este método pasan por ampliar el número de variables independientes para los regresores que conforman el ROM y no restringirse al campo de velocidades generado por WRF. Además, explorar el espacio de hiperparámetros de los diferentes modelos de regresión empleados de manera más exhaustiva y probar regresores diferentes (como redes neuronales) puede resultar ventajoso en los resultados finales obtenidos. Asimismo, identificar de manera más concreta las fuentes de error y *outliers* (detección de eventos test anómalos o localizaciones espaciales complejas) ayudaría a la hora de adoptar estrategias concretas de mejora. Como trabajo futuro resultaría interesante evaluar esta metodología en un entorno urbano. Por otro lado, las *Physics Informed Neural Networks* (PINNs) [60, 61, 62] son un tipo de redes neuronales que son entrenadas para resolver tareas de entrenamiento supervisado respetando las leyes físicas subyacentes a ecuaciones diferenciales parciales no lineales como es el caso de las ecuaciones de Navier-Stokes (2.3). La aplicación de las PINNs para el problema que se plantea resolver en este proyecto resulta realmente atractiva para ser explorada en el futuro.

Apéndice A

Estudio paramétrico de WRF

Dentro de los los elementos principales de la metodología desarrollada en este proyecto, el software que se emplea para llevar a cabo las simulaciones de mesoscala es WRF (sección 2.1). En el presente capitulo se explora la influencia de diferentes esquemas de resolución de las físicas de este software así como la influencia de la resolución espacial de su malla computacional y los datos de entrada de modelos globales para una simulación de reanálisis.

Las métricas que se emplean para evaluar los resultados obtenidos son las siguientes:

$$\begin{aligned} STD &= \left[\frac{\sum_i (m_i - o_i)^2}{N} \right]^{1/2} \\ STD \% &= \frac{N \cdot [\sum_i (m_i - o_i)^2]^{1/2}}{\sum_i o_i} \cdot 100 \\ BIAS &= \frac{\sum_i (m_i - o_i)}{N} \\ BIAS \% &= \frac{\sum_i (m_i - o_i)}{\sum_i o_i} \cdot 100 \end{aligned} \tag{A.1}$$

Donde STD es la desviación estándar, $BIAS$ el sesgo, $STD\%$ la desviación estándar y $BIAS\%$ el sesgo relativo. N el número de datos a comparar, o_i y m_i los valores observados (reales) y los modelados respectivamente.

Las simulaciones corresponden a un mes, más concretamente del 2 al 31 de mayo del 2016. La región sobre la que se realizan se encuentra centrada en Zaragoza debido a que los valores reales con los que se compara se obtienen de su aeropuerto¹. Se emplean cuatro dominios cuadrados anidados concéntricamente, con resoluciones espaciales de 27, 9, 3 y 1 km respectivamente. La relación de tamaño entre ellos es de 3 : 1 y el lado el dominio más pequeño es de 51 km. Se presenta en la figura A.1 una imagen de estos. Los productos de las simulaciones WRF que se evalúan son: la temperatura y humedad relativa a 2 m sobre el terreno, la velocidad del viento y su dirección a 10 m sobre el terreno y la presión sobre el nivel del mar. Estos valores son interpolados a la localización concreta del aeropuerto (41,666° N - 1,042° W).

WRF implementa gran variedad de físicas para resolver diferentes fenómenos atmosféricos. En esta ocasión analizaremos la influencia que tienen cinco de ellas y las diferentes aproximaciones que se usan para resolverlas. Las diferentes selecciones de esquemas para resolver las físicas son similares a los que se encuentran en [63] y se pueden consultar a continuación:

- **Capa límite planetaria (PBL):** La capa límite planetaria es la parte más baja de la atmósfera y su comportamiento se encuentra influenciado de manera directa por su contacto con la superficie. Las diferentes implementaciones exploradas para su resolución son: 1 - Yonsei University Scheme [34]; 5 - Mellor–Yamada Nakanishi Niino Level 2.5 [48, 49].

¹Identificación del aeropuerto: LEZG, ZARAGOZA AB, USAF:081600

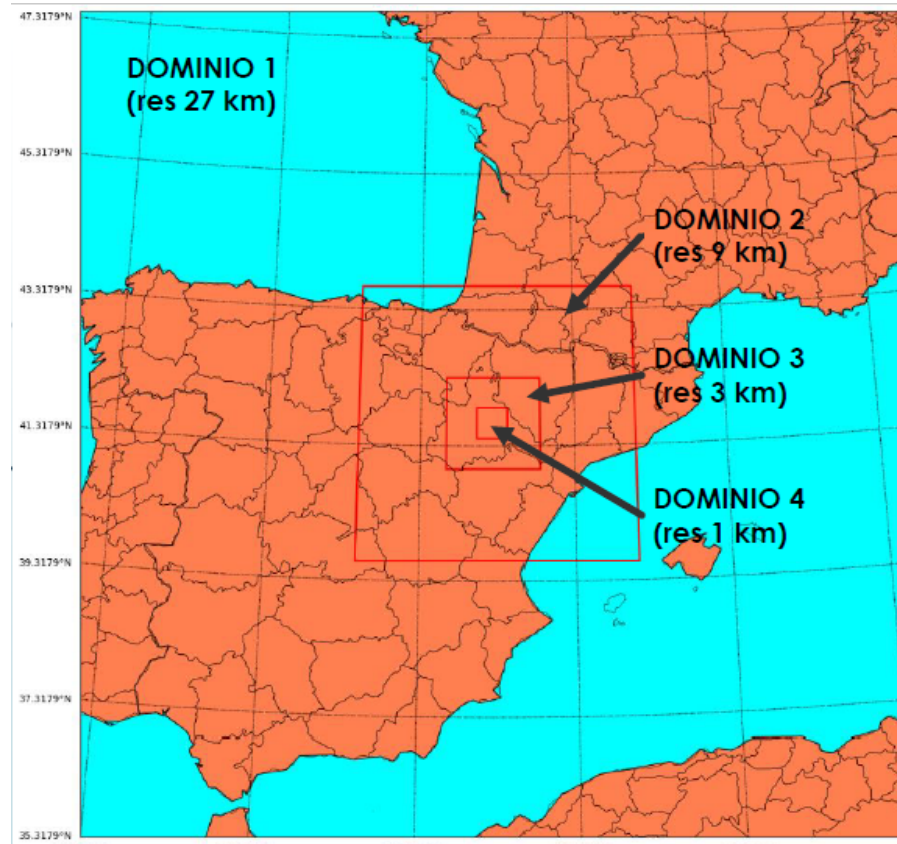


Figura A.1: Dominios de las simulaciones WRF realizadas para análisis paramétrico.

- **Micro físicas (MPH):** La microfísica de las nubes es la rama de la ciencia atmosférica que se ocupa de estudiar las diferentes partículas que conforman una nube. Las diferentes implementaciones exploradas para su resolución son: 3 - WRF Single-moment 3-class [33]; 8 - Thompson [81]; 10 - Morrison 2-moment [47].
- **Parametrización de cúmulos (CMS):** resuelve las dinámicas relacionadas con las nubes cúmulus. Las diferentes implementaciones exploradas para su resolución son: 1 - Kain–Fritsch [38]; 5 - Grell 3D Ensemble [27, 28].
- **Radiación de onda corta (SWR):** modela los efectos causados por la energía de la radiación solar en la atmósfera. Las diferentes implementaciones exploradas para su resolución son: 1 - Dudhia [21]; 4 - RRTMG [35]; 24 - Faster RRTMG.
- **radiación de onda larga (LWR):** modela los efectos causados por la energía de la reemisión de radiación terrestre en la atmósfera. Las diferentes implementaciones exploradas para su resolución son: 1 - RRTM [45]; 24 - Faster RRTM.

Para realizar las simulaciones, WRF requiere datos de entrada proporcionados por un modelo global. En este análisis paramétrico se estudian los resultados obtenidos con dos conjuntos de datos de entrada diferentes: el ds090.0 [50] y el ds627.0 [24]. El tamaño en disco de ambos es significativamente diferente; los datos necesarios para ejecutar la simulación de un mes del conjunto ds090.0 ocupan ~ 400 Mb mientras que los de ds627.0 tienen un tamaño de ~ 16 Gb. En la tabla A.1 se recogen las diferentes selecciones de físicas que se han hecho, los datos de entrada empleados, el tiempo que a tomado realizar la simulación para cada una de ellas y el tamaño que ocupan en disco.

²Se ha empleado una máquina con 64 Gb de RAM y un procesador Intel(R) Core(TM) i7-6800K a 3,40 GHz con 6 núcleos y 15360 Kb de memoria caché.

Nombre	PBL	MPH	CMS	SWR	LWR	Tiempo [h] ²	Tamaño [Gb]	Datos entrada
Comp05	1	3	1	1	1	~ 11	~ 4,1	ds090.0
Comp06	1	8	5	4	1	~ 20	~ 5,5	ds090.0
Comp07	5	10	5	24	24	~ 22	~ 7	ds090.0
Comp08	5	3	1	1	1	~ 13	~ 4,9	ds090.0
Comp09	5	3	5	1	1	~ 12	~ 4,9	ds090.0
Comp10	1	8	5	24	1	~ 20	~ 5,5	ds090.0
Comp11	1	8	5	24	1	~ 18	~ 5,5	ds627.0

Cuadro A.1: Conjuntos de físicas sobre las que se realiza el análisis, tiempos de cómputo, tamaño de los resultados y datos de entrada empleados para las simulaciones.

Por lo general, los resultados que se comparan se toman del dominio más pequeño con un 1 km de resolución (se denota con el sufijo “_d4”). Sin embargo, la configuración de físicas de *Comp10* es la que resulta más óptima en el trabajo [63] y por ello se evalúa con esta la influencia de la resolución de la malla computacional usada. Para ello se comparan también los resultados de los dominios con resoluciones de 3 y 9 km (marcadas por los sufijos “_d3” y “_d2” respectivamente). Adicionalmente se repite el mismo análisis para la resolución del dominio usado pero empleando los datos de entrada del conjunto ds627.0. En la figura A.2 se presentan los resultados obtenidos por las simulaciones de los diferentes productos seleccionados junto con los valores reales (puntos rojos, “Data Stations” en las gráficas). Por otro lado, en la figura A.3 se muestran los valores de las métricas definidas en (A.1).

Se aprecia que, por lo general, las simulaciones *comp10_d4* y *comp11_d4* obtienen los mejores resultados para los diferentes productos comparados. Por otro lado, resoluciones menores de la malla computacional tienen un impacto positivo en los resultados finales. Sin embargo los diferentes datos de entrada no tienen influencia significativa. A partir de los resultados del análisis realizado en este capítulo, las físicas correspondientes a *Comp10*, los datos de entrada correspondientes a ds090.0 y la resolución espacial de 0,9 km son usados para las simulaciones WRF llevadas a cabo en la aplicación de la metodología propuesta en este proyecto.

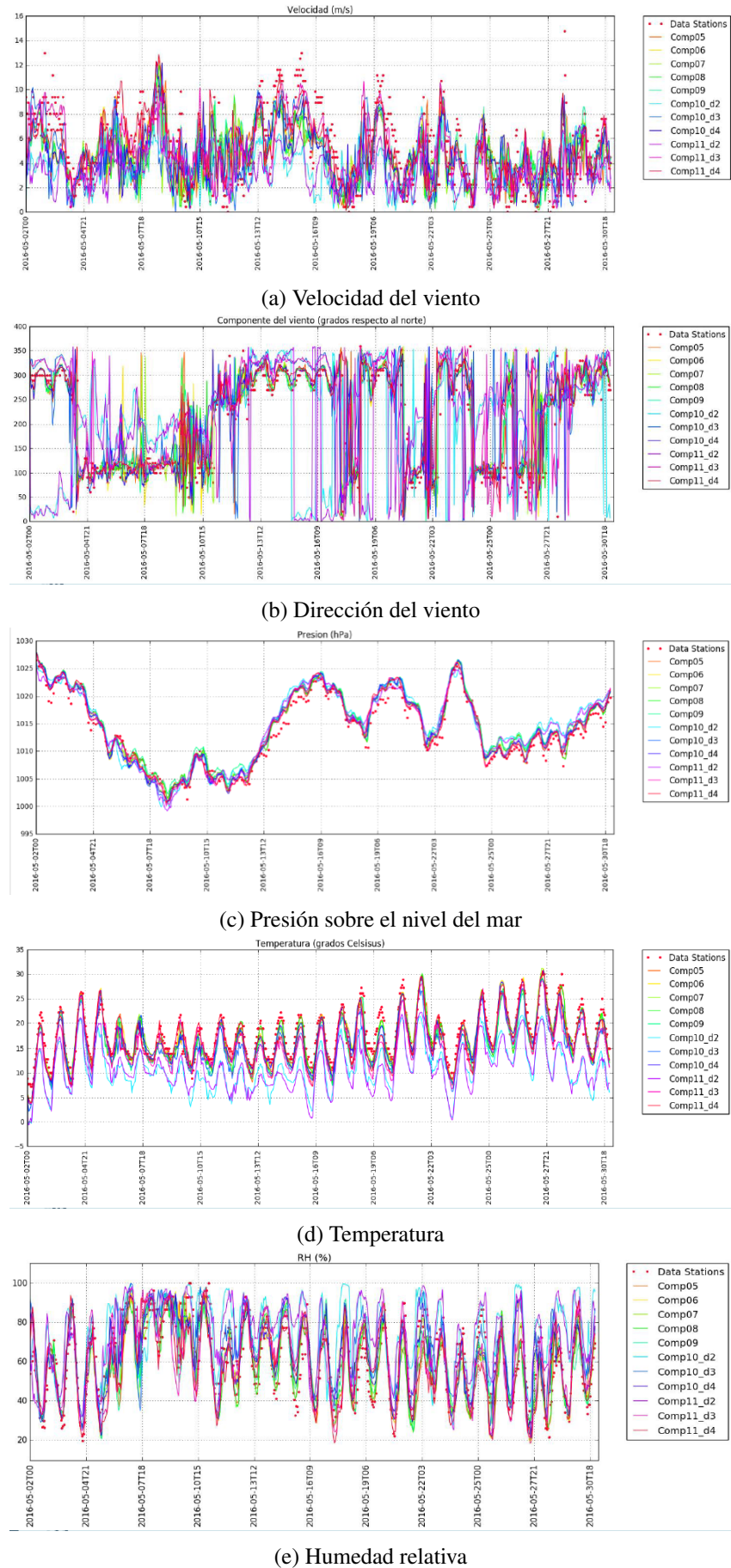


Figura A.2: Resultados obtenidos por las simulaciones junto con los valores reales.

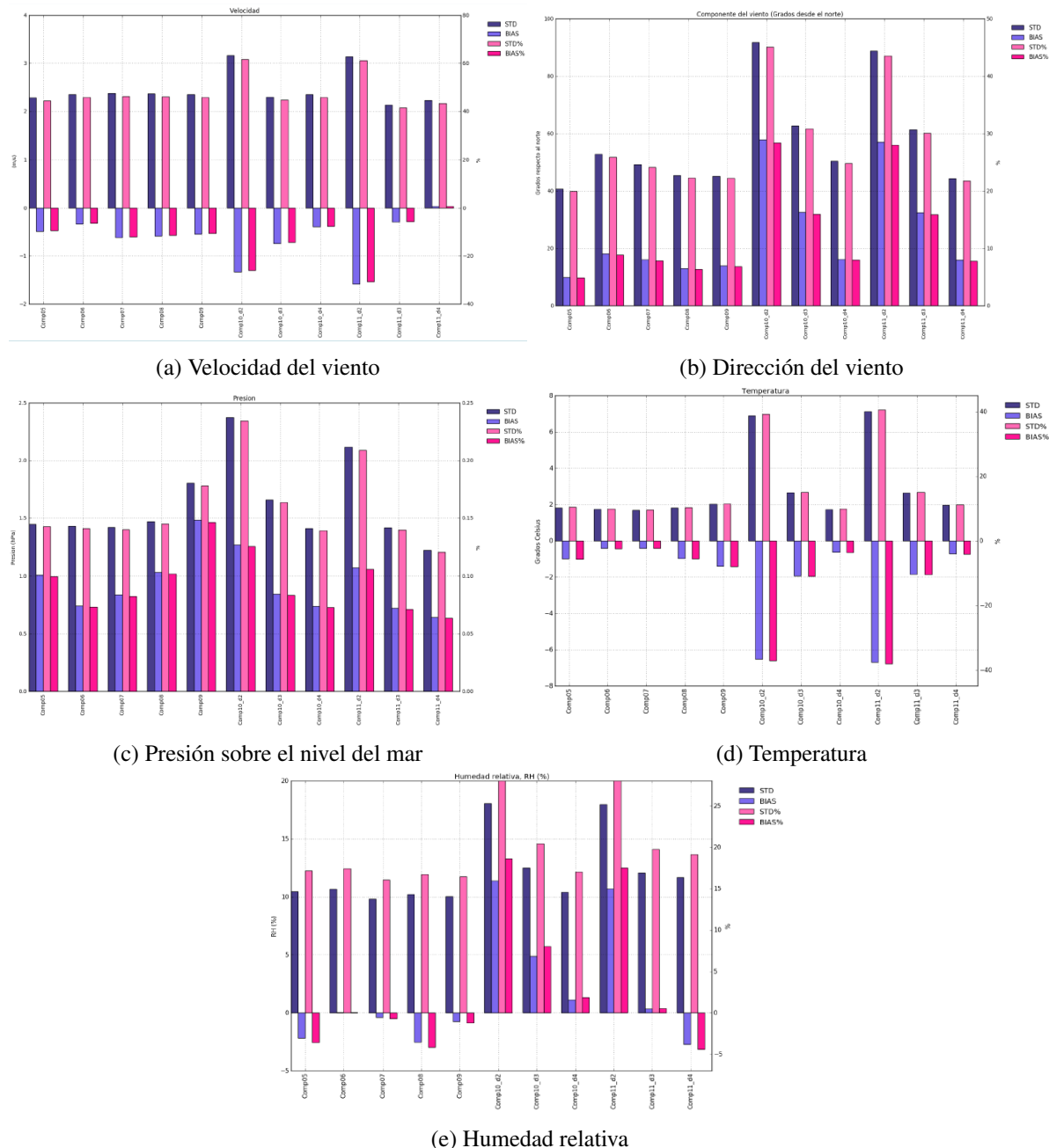


Figura A.3: Valores de *STD*, *BIAS*, *STD%* y *BIAS%* para las simulaciones realizadas con las diferentes configuraciones.

Apéndice B

Códigos

En este apéndice se adjuntan los diferentes códigos implementados en Python que se emplean para el desarrollo de este proyecto.

B.1. Código principal

Se presenta a continuación el código principal desarrollado en Python para la construcción del ROM y las gráficas de resultados.

```
1 #!/usr/bin/env python
2 # coding: utf-8
3
4 from scipy.interpolate import LinearNDInterpolator
5 # Funciones y definiciones auxiliares
6 from ROM_class import *
7
8 import resource
9 soft, hard = resource.getrlimit(resource.RLIMIT_NOFILE)
10 resource.setrlimit(resource.RLIMIT_NOFILE, (hard, hard))
11
12 tiki = ROM(pathOpen='/home/jmilla/000home_nodos/openfam6/Casos/casoFinal/',
13             pathWRF='/home/jmilla/000home_nodos/wrf/Domains/000Agn02018/')
14 path_rsm = ('/home/jmilla/000home_nodos/Script_AnalizaEstadistica/'
15             +'Resultados/v2_20171231_20190101/')
16
17 tiki.fechas_datos_sim = tiki.lee_Resumen(path_rsm)
18
19 # =====
20 tiki.fechas_datos_test_idx = [3573, 3837, 2802,
21                               1395, 663, 5944, 5205,
22                               7289, 1038, 2012, 3685,
23                               8700, 3782, 2499, 6634, 7815, 193, 6231, 4849, 4595, 7508, 7214,
24                               6900, 381, 1174, 1248, 8262, 6359, 3958, 5868, 6296, 5437, 4219,
25                               4195, 5100, 7262, 5284, 6166, 3783, 6518, 8459, 3835, 2682, 3369,
26                               3790, 2232, 305, 5579, 3084, 455, 3779, 2924, 7426, 7485, 6547,
27                               7338, 3713, 5922, 7656, 3583, 41, 8400, 3753, 6873, 6247, 27,
28                               3236, 2144, 3478, 5607, 2637, 8181, 3351, 4428, 5937, 3905, 3049,
29                               3114, 8396, 2857
30                         ]
31
32 tiki.fechas_datos_test = (np.array(tiki.dates).astype(str)
33                           [tiki.fechas_datos_test_idx].tolist())
34
35 tiki.fechas_datos_sim = np.append(tiki.fechas_datos_sim,
36                                   tiki.fechas_datos_test).tolist()
37 tiki.fechas_datos_sim_idx = (np.append(tiki.fechas_datos_sim_idx,
38                                         tiki.fechas_datos_test_idx)
39                                         .astype(int).tolist())
40
41 # =====
42 # los casos boundary!!!
43 tiki.fechas_datos_boun_idx = (np.array([
44     5735, 1571,
45     3803, 8726, 3825, 4500, 3871, 3536,
46     2849, 6135, 3757, 7464, 5821, 363,
47     7923, 5654
48   ])*9999*1e4).astype(int).tolist()
49
50 tiki.fechas_datos_boun = []
51 for kk in tiki.fechas_datos_boun_idx:
52   tiki.fechas_datos_boun.append('boundary'+np.array(tiki.dates).astype(str)
53                                 [int(kk-9999*1e4)])
54
55 tiki.fechas_datos_sim = np.append(tiki.fechas_datos_sim,
56                                   tiki.fechas_datos_boun).tolist()
57 tiki.fechas_datos_sim_idx = (np.append(tiki.fechas_datos_sim_idx,
58                                         tiki.fechas_datos_boun_idx)
59                                         .astype(int).tolist())
```

```

60 # =====
61 tiki.rutas_datos_sim = tiki.genera_rutaSim()
62
63 tiki.elimina_fechas()
64
65 df_var = tiki.genera_df_var(lat=tiki.CentroLatSTL, lon=tiki.CentroLonSTL)
66 full_data_backup = tiki.dame_full_data(df_var=df_var, radio=1)
67
68 malla_puente_tot = tiki.crea_malla_puente(n_pts=25, n_niveles_eta=3)
69 maskCFDin = tiki.dame_maskCFDin(malla_puente_tot)
70 malla_puente = tiki.actualiza_malla_puente(malla_puente_tot[maskCFDin],
71                                            offset=10)
72
73
74 def pinta_mp_vert(tiki):
75     latitudicas = tiki.malla_puente.Lat.unique()
76     longitudicas = tiki.malla_puente.Lon.unique()
77     n_pts = len(latitudicas)
78     plt.figure(figsize=(10,10))
79     auxiliarico = tiki.malla_puente.loc[tiki.malla_puente.Lat
80                                         == latitudicas[n_pts//2]]
81     for etiki in auxiliarico.Eta.unique():
82         plt.plot(auxiliarico.loc[auxiliarico.Eta==etiki].Lon,
83                  auxiliarico.loc[auxiliarico.Eta==etiki].Altura,
84                  '.', label='$\eta$=%3.2f'%etiki);
85     plt.legend()
86     plt.xlim(auxiliarico.Lon.min(), auxiliarico.Lon.max())
87     # plt.ylim(auxiliarico.Altura.min(), auxiliarico.Altura.max()*1.05)
88     plt.grid()
89     plt.xlabel('Longitud', fontsize=20)
90     plt.ylabel('Altura (m)', fontsize=20)
91     plt.xticks(fontsize=20)
92     plt.yticks(fontsize=20)
93     plt.legend(fontsize=20)
94 pinta_mp_vert(tiki)
95
96 tiki.dame_full_data_mp(df_var,
97                        ['Ux', 'Uy', 'Uz', 'u', 'v', 'wa'],
98                        parallel=False)
99
100 (tiki.full_data_mp.loc[:, 'uvmet_interp_29:50_u'] =
101   tiki.full_data_mp.loc[:, 'uvmet_interp_29:50_u'].astype(float))
102 (tiki.full_data_mp.loc[:, 'uvmet_interp_29:50_v'] =
103   tiki.full_data_mp.loc[:, 'uvmet_interp_29:50_v'].astype(float))
104
105 def separa_train_test_mp(aux_train, fechas_test, fechas_train_drop):
106
107     aux_fecha = np.array([], dtype=int)
108     for kk in fechas_test:
109         aux_fecha = np.append(aux_fecha, aux_train.loc[aux_train.Fecha==kk]
110                               .index.to_numpy())
111     assert len(aux_fecha)>1
112     aux_test = aux_train.loc[aux_fecha]
113
114     aux_fecha = np.array([], dtype=int)
115     for kk in fechas_train_drop:
116         aux_fecha = np.append(aux_fecha, aux_train.loc[aux_train.Fecha==kk]
117                               .index.to_numpy())
118     aux_train = aux_train.drop(index=aux_fecha)
119
120     return aux_train, aux_test
121
122 from scipy.spatial import Delaunay
123
124 def pinta_tri(aux1, aux2, tri, aux_train, aux_test, features):
125     fig = plt.figure(figsize = (7,5))
126     plt.triplot(tri.points[:,aux1], tri.points[:,aux2], tri.simplices[:,[aux1,aux2]])
127
128     plt.plot(aux_train.loc[:,features].to_numpy()[:,aux1],
129             aux_train.loc[:,features].to_numpy()[:,aux2], '.')
130     plt.plot(aux_test.loc[:,features].to_numpy()[:,aux1],
131             aux_test.loc[:,features].to_numpy()[:,aux2], '.')
132
133     plt.xlabel(features[aux1])
134     plt.ylabel(features[aux2])
135
136 def saca_prediccion_mp(tri, aux_train, aux_test, features, labels, tol=1e-10):
137     fn = LinearNDInterpolator(tri, aux_train.loc[:, labels], fill_value=np.nan, tol=tol)
138     predictions = fn(aux_test.loc[:,features])
139
140     mask_nonan = ~np.isnan(predictions[:,0])
141
142     return predictions, mask_nonan
143
144 def evalua_prediccion_mp(aux_test, predictions, labels, mask_nonan, modvel=True):
145     from sklearn.metrics import r2_score
146     copy = aux_test.loc[:,labels].copy()
147
148
149     error = np.abs(aux_test.loc[mask_nonan,labels]
150                   -predictions[mask_nonan])
151
152
153     if modvel:
154         vel = np.sqrt(np.power(aux_test.loc[:,labels[0]].to_numpy(),2) +
155                       np.power(aux_test.loc[:,labels[1]].to_numpy(),2))
156
157         direc = np.rad2deg(np.arctan2(aux_test.loc[:,labels[0]].to_numpy(),
158                                      aux_test.loc[:,labels[1]].to_numpy()))

```

```

159     direc[direc<0] = direc[direc<0] + 360
160     veldir = pd.DataFrame(np.vstack((vel, direc, aux_test
161                               .loc[:,labels[2:]].to_numpy()
162                               .transpose()).transpose(),
163                               columns=list(np.append(['Vel', 'Dir'],
164                               labels[2:]))))
165
166
167     vel = np.sqrt(np.power(predictions[:,0],2) +
168                   np.power(predictions[:,1],2))
169
170     direc = np.rad2deg(np.arctan2(predictions[:,0],
171                               predictions[:,1]))
172     direc[direc<0] = direc[direc<0] + 360
173     veldir_p = pd.DataFrame(np.vstack((vel, direc, predictions[:,2:],
174                               .transpose()).transpose(),
175                               columns=list(np.append(['Vel', 'Dir'],
176                               labels[2:]))))
176
177     error = np.abs(veldir.loc[mask_nonan]
178                   -veldir_p.loc[mask_nonan])
179
180     error.loc[error.Dir>180, 'Dir'] = 360-error.loc[error.Dir>180,
181                                         'Dir']
182
183     if modvel:
184         aaa = np.array([np.mean(error), np.var(error), np.max(error),
185                         r2_score(veldir.loc[mask_nonan,:],
186                                   veldir_p.loc[mask_nonan,:],
187                                   multioutput='raw_values')])
188         print('Mean error:', np.mean(error),
189               '\nVar error:', np.var(error),
190               '\nMax error:', np.max(error),
191               '\nR2 score:', r2_score(veldir.loc[mask_nonan,:],
192                                     veldir_p.loc[mask_nonan,:],
193                                     multioutput='raw_values'),
194               sep='\n')
195     else:
196         aaa = np.array([np.mean(error), np.var(error), np.max(error),
197                         r2_score(aux_test.loc[mask_nonan,labels],
198                                   predictions[mask_nonan],
199                                   multioutput='raw_values')])
200         print('Mean error:', np.mean(error),
201               '\nVar error:', np.var(error),
202               '\nMax error:', np.max(error),
203               '\nR2 score:', r2_score(aux_test.loc[mask_nonan,labels],
204                                     predictions[mask_nonan],
205                                     multioutput='raw_values'),
206               sep='\n')
207
208     fig = plt.figure(figsize = (10,10))
209     if modvel:
210         for kk in veldir.columns:
211             plt.scatter(veldir_p.loc[:,kk],
212                         veldir.loc[:,kk],
213                         marker='.', label=kk, alpha=0.5)
214
215         plt.xlim([-50,360])
216         plt.ylim([-50,360])
217
218     else:
219         kkk=0
220         for kk in labels:
221             plt.scatter(predictions[:,kk],
222                         aux_test.loc[:,[kk]],
223                         marker='.', label=kk, alpha=0.5)
224             kkk+=1
225
226         plt.xlim([-40,40])
227         plt.ylim([-40,40])
228
229         plt.grid()
230         plt.plot(np.arange(-100,360),np.arange(-100,360), c='orange')
231         plt.legend(fontsize=20)
232         plt.xticks(fontsize=20)
233         plt.yticks(fontsize=20)
234         plt.legend(fontsize=20)
235         plt.xlabel('Predicción [m/s]', fontsize=20)
236         plt.ylabel('Reales [m/s]', fontsize=20)
237
238
239     error['Lat'] = aux_test.loc[mask_nonan,'Lat']
240     error['Lon'] = aux_test.loc[mask_nonan,'Lon']
241     error['Eta'] = aux_test.loc[mask_nonan,'Eta']
242     error['Fecha'] = aux_test.loc[mask_nonan,'Fecha']
243
244     return aaa,error
245
246 n_events_tri = 193
247 features = ['u', 'v', 'w']
248 labels = ['Ux', 'Uy', 'Uz']
249 # features = ['uvmet_interp_29:50_u',
250 #               'uvmet_interp_29:50_v',
251 #               'w_interp_29:50']
252
253 np.random.seed(1234)
254 aux_indx = np.random.choice(np.arange(len(tiki.fechas_datos_test)),
255                             int(len(tiki.fechas_datos_test)*1),
256                             replace=False)
257 fechas_test = np.array(tiki.fechas_datos_test)[aux_indx]
```

```

258
259     aaa = np.setdiffid(np.setdiffid(tiki.fechas_datos_sim,
260                         tiki.fechas_datos_test),
261                         tiki.fechas_datos_boun)
262     nnn = len(aaa)-n_events_tri
263     aux_idx = np.random.choice(np.arange(len(aaa)),
264                         nnn,
265                         replace=False)
266     fechas_train_drop = np.append(tiki.fechas_datos_test,
267                         aaa[aux_idx])
268
269     lat = tiki.full_data_mp.Lat.unique()[0]
270     lon = tiki.full_data_mp.Lon.unique()[0]
271     eta = tiki.full_data_mp.Eta.unique()[2]
272     dt_in = tiki.full_data_mp.loc[(tiki.full_data_mp.Lat==lat) &
273                                     (tiki.full_data_mp.Lon==lon) &
274                                     (tiki.full_data_mp.Eta==eta)]
275
276     dt_in = tiki.full_data_mp
277
278     print('Test: ', len(fechas_test))
279     print('Train: ', len(np.setdiffid(tiki.fechas_datos_sim, fechas_train_drop)))
280
281     from sklearn.experimental import enable_hist_gradient_boosting # noqa
282     from sklearn.ensemble import HistGradientBoostingRegressor
283
284     from sklearn.linear_model import SGDRegressor
285     from sklearn.svm import SVR
286     from sklearn.ensemble import RandomForestRegressor
287     from sklearn.ensemble import AdaBoostRegressor
288     from sklearn.ensemble import GradientBoostingRegressor
289     from sklearn.neighbors import KNeighborsRegressor
290     from sklearn.neural_network import MLPRegressor
291
292     from sklearn.model_selection import train_test_split
293     from sklearn.pipeline import make_pipeline
294     from sklearn.decomposition import PCA
295     from sklearn.preprocessing import StandardScaler
296     from sklearn.metrics import r2_score
297
298     from sklearn.dummy import DummyRegressor
299     from sklearn.metrics import mean_absolute_error
299
300     dmy = DummyRegressor('median')
301     scaler = StandardScaler()
302
303     rfr = RandomForestRegressor(n_estimators=500,
304                                 criterion="mse",
305                                 max_depth=50,
306                                 max_features="auto",
307                                 bootstrap=True,
308                                 oob_score=False,
309                                 n_jobs=-1,
310                                 random_state=0,
311                                 verbose=0)
312
313     sgd = SGDRegressor(loss='huber',
314                         penalty='L2',
315                         alpha=1e-3,
316                         fit_intercept=True,
317                         max_iter=1000,
318                         tol=1e-3,
319                         shuffle=True,
320                         epsilon=0.5,
321                         random_state=0,
322                         learning_rate='invscaling',
323                         eta0=0.1,
324                         power_t=0.1,
325                         early_stopping=False,
326                         validation_fraction=0.1,
327                         n_iter_no_change=5,
328                         warm_start=False,
329                         average=False)
330
331     svm = SVR(kernel='rbf',
332                 gamma='auto',
333                 tol=0.1,
334                 C=1,
335                 epsilon=0.5,
336                 shrinking=True,
337                 max_iter=-1,
338                 cache_size=2000)
339
340     KNn = KNeighborsRegressor(n_neighbors=5,
341                               weights='distance',
342                               algorithm='auto',
343                               p=2,
344                               leaf_size=30,
345                               n_jobs=-1)
346
347     from sklearn.multioutput import MultiOutputRegressor
348
349     regr = make_pipeline(scaler, MultiOutputRegressor(sgd, n_jobs=-1))
350     # regr = make_pipeline(scaler, rfr)
351
352     np.random.seed(1234)
353     aaa = 0
354     stats_cum = 0
355     error_cum = 0
356     del aaa

```

```

357     del stats_cum
358     del error_cum
359     for kk in np.arange(1):
360         aux_indx = np.random.choice(np.arange(len(tiki.fechas_datos_test)),
361                                     int(len(tiki.fechas_datos_test)*1),
362                                     replace=False)
363         fechas_test = np.array(tiki.fechas_datos_test)[aux_indx]
364
365         acm_pred = []
366         acm_maskNoNaN = np.array([], dtype=np.bool)
367         acm_test = pd.DataFrame([])
368
369         for lat in tiki.full_data_mp.Lat.unique():
370             for lon in tiki.full_data_mp.Lon.unique():
371                 for eta in tiki.full_data_mp.Eta.unique():
372                     dt_in = tiki.full_data_mp.loc[(tiki.full_data_mp.Lat==lat) &
373                                         (tiki.full_data_mp.Lon==lon) &
374                                         (tiki.full_data_mp.Eta==eta)]
375
376                 if not len(dt_in):
377                     break
378                 aux_train, aux_test = separa_train_test_mp(dt_in, fechas_test,
379                                                 fechas_train_drop)
380
381                 # tri = Delaunay(aux_train.loc[:,features] ,
382                 #                  qhull_options="Qbb Qc Qz Qx Q12 Qs")
383                 # predictions, mask_nonan = saca_prediccion_mp(tri,
384                 #                                              aux_train,
385                 #                                              aux_test,
386                 #                                              features,
387                 #                                              labels,
388                 #                                              )
389                 regr.fit(aux_train.loc[:,features], aux_train.loc[:,labels])
390                 predictions = regr.predict(aux_test.loc[:,features])
391                 mask_nonan = ~np.isnan(predictions[:,0])
392
393                 try:
394                     acm_pred = np.vstack((acm_pred, predictions))
395                 except ValueError:
396                     acm_pred = predictions
397
398                 acm_maskNoNaN = np.append(acm_maskNoNaN, mask_nonan)
399                 acm_test = acm_test.append(aux_test)
400
401                 stats, error = evalua_prediccion_mp(acm_test, acm_pred,
402                                                 labels, acm_maskNoNaN, modvel=False)
403
404                 error_aux = np.full((len(acm_maskNoNaN),3),
405                                     np.nan)
406                 error_aux[acm_maskNoNaN] = error.iloc[:,0:3]
407
408                 try:
409                     error_cum = np.concatenate((error_cum,
410                                     [error_aux]), axis=0)
411                     stats_cum = np.concatenate((stats_cum,
412                                     [stats]), axis=0)
413                 except NameError:
414                     error_cum = np.array([error_aux])
415                     stats_cum = np.array([stats])
416
417 N = 5
418 ind = np.arange(N) # the x locations for the groups
419 width = 0.27 # the width of the bars
420
421 fig = plt.figure()
422 ax = fig.add_subplot(111)
423
424 yvals = [0.8306, 0.9285, 0.9355, 0.9373, 0.9368]
425 rects1 = ax.bar(ind, yvals, width)
426 zvals = [0.8326, 0.9439, 0.9483, 0.9491, 0.9492]
427 rects2 = ax.bar(ind+width, zvals, width)
428 kvals = [-0.2514, 0.3452, 0.4054, 0.4131, 0.4034]
429 rects3 = ax.bar(ind+width*2, kvals, width)
430
431 ax.set_ylabel('$R^2$', fontsize=20)
432 ax.set_xticks(ind*width*1.5)
433 ax.set_xticklabels(['16', '50', '100', '150', '209'],
434                      fontsize=20, rotation=30)
435 ax.legend((rects1[0], rects2[0], rects3[0]), ('$U_x$', '$U_y$', '$U_z$'),
436            fontsize=20, loc=2, frameon=1, bbox_to_anchor=(1.1, 1))
437
438 plt.xticks(fontsize=20)
439 plt.yticks(fontsize=20)
440 ax.grid(axis='y')
441 plt.xlabel('Número de eventos de entrenamiento', fontsize=20)
442 plt.title('SGD', fontsize=20);
443
444 N = 3
445 ind = np.arange(N) # the x locations for the groups
446 width = 0.27 # the width of the bars
447
448 fig = plt.figure()
449 ax = fig.add_subplot(111)
450
451 yvals = [0.5260, 0.9462, 0.9859]
452 rects1 = ax.bar(ind, yvals, width)
453 zvals = [0.6545, 0.9663, 0.9884]
454 rects2 = ax.bar(ind+width, zvals, width)
455 kvals = [0.4771, 0.3681, 0.0424]
456 rects3 = ax.bar(ind+width*2, kvals, width)

```

```

456 ax.set_ylabel('$R^2$', fontsize=20)
457 ax.set_xticks(ind+width)
458 ax.set_xticklabels(['$\eta=0$', '$\eta=0.5$', '$\eta=1$'],
459     fontsize=20, rotation=30)
460 ax.legend((rects1[0], rects2[0], rects3[0]), ('$U_x$', '$U_y$', '$U_z$'),
461     fontsize=20, loc=2, frameon=1, bbox_to_anchor=(1.1, 1))
462
463 plt.xticks(fontsize=20)
464 plt.yticks(fontsize=20)
465 ax.grid(axis='y')
466 plt.title('SGD', fontsize=20);
467
468 N = 5
469 ind = np.arange(N) # the x locations for the groups
470 width = 0.27 # the width of the bars
471
472 fig = plt.figure()
473 ax = fig.add_subplot(111)
474
475 yvals = [0.9189, 0.8975, 0.8755, 0.9368, 0.9089]
476 rects1 = ax.bar(ind, yvals, width)
477 zvals = [0.9445, 0.9252, 0.8603, 0.9492, 0.9395]
478 rects2 = ax.bar(ind+width, zvals, width)
479 kvals = [0.5131, 0.4710, 0.5608, 0.4035, 0.3730]
480 rects3 = ax.bar(ind+width*2, kvals, width)
481
482 ax.set_ylabel('$R^2$', fontsize=20)
483 ax.set_xticks(ind+width)
484 ax.set_xticklabels(['RF', 'KNN', 'SVM', 'SGD', 'Delaunay'],
485     fontsize=20, rotation=30)
486 ax.legend((rects1[0], rects2[0], rects3[0]), ('$U_x$', '$U_y$', '$U_z$'),
487     fontsize=20, loc=2, frameon=1, bbox_to_anchor=(1.1, 1))
488
489 plt.xticks(fontsize=20)
490 plt.yticks(fontsize=20)
491 plt.ylim(0.35,1.05)
492 ax.grid(axis='y')
493
494 perc = [0.25, 0.5, 0.75, 0.85]
495 perc_str = ['25%', '50%', '75%', '85%']
496 perc_str.append('Test')
497 col = 'Uz'
498
499 N = 4
500 ind = np.arange(N) # the x locations for the groups
501 width = 0.15 # the width of the bars
502
503 fig = plt.figure()
504 ax = fig.add_subplot(111)
505
506 yvals = [error_RF.loc[:, col].abs().describe(percentiles=[perc[0]]).loc[perc_str[0]],
507     error_RF.loc[:, col].abs().describe(percentiles=[perc[1]]).loc[perc_str[1]],
508     error_RF.loc[:, col].abs().describe(percentiles=[perc[2]]).loc[perc_str[2]],
509     error_RF.loc[:, col].abs().describe(percentiles=[perc[3]]).loc[perc_str[3]]]
510 rects1 = ax.bar(ind, yvals, width)
511 zvals = [error_KNN.loc[:, col].abs().describe(percentiles=[perc[0]]).loc[perc_str[0]],
512     error_KNN.loc[:, col].abs().describe(percentiles=[perc[1]]).loc[perc_str[1]],
513     error_KNN.loc[:, col].abs().describe(percentiles=[perc[2]]).loc[perc_str[2]],
514     error_KNN.loc[:, col].abs().describe(percentiles=[perc[3]]).loc[perc_str[3]]]
515 rects2 = ax.bar(ind+width, zvals, width)
516 kvals = [error_SVM.loc[:, col].abs().describe(percentiles=[perc[0]]).loc[perc_str[0]],
517     error_SVM.loc[:, col].abs().describe(percentiles=[perc[1]]).loc[perc_str[1]],
518     error_SVM.loc[:, col].abs().describe(percentiles=[perc[2]]).loc[perc_str[2]],
519     error_SVM.loc[:, col].abs().describe(percentiles=[perc[3]]).loc[perc_str[3]]]
520 rects3 = ax.bar(ind+width*2, kvals, width)
521 kvals = [error_SGD.loc[:, col].abs().describe(percentiles=[perc[0]]).loc[perc_str[0]],
522     error_SGD.loc[:, col].abs().describe(percentiles=[perc[1]]).loc[perc_str[1]],
523     error_SGD.loc[:, col].abs().describe(percentiles=[perc[2]]).loc[perc_str[2]],
524     error_SGD.loc[:, col].abs().describe(percentiles=[perc[3]]).loc[perc_str[3]]]
525 rects4 = ax.bar(ind+width*3, kvals, width)
526 kvals = [error_DEL.loc[:, col].abs().describe(percentiles=[perc[0]]).loc[perc_str[0]],
527     error_DEL.loc[:, col].abs().describe(percentiles=[perc[1]]).loc[perc_str[1]],
528     error_DEL.loc[:, col].abs().describe(percentiles=[perc[2]]).loc[perc_str[2]],
529     error_DEL.loc[:, col].abs().describe(percentiles=[perc[3]]).loc[perc_str[3]]]
530 rects5 = ax.bar(ind+width*4, kvals, width)
531
532 ax.set_ylabel('Im/s', fontsize=20)
533 ax.set_xticks(ind+width*2)
534 ax.set_xticklabels(perc_str, fontsize=20, rotation=30)
535 ax.legend((rects1[0], rects2[0], rects3[0], rects4[0], rects5[0]),
536     ('Error RF', 'Error KNN', 'Error SVM', 'Error SGD', 'Error Delaunay'),
537     fontsize=12)
538
539 plt.xticks(fontsize=20)
540 plt.yticks(fontsize=20)
541 plt.xlabel('Percentiles', fontsize=20)
542 plt.title('Valores absolutos - '+col, fontsize=20)
543 ax.grid(axis='y')
544
545 perc = [0.25, 0.5, 0.75, 0.85]
546 perc_str = ['25%', '50%', '75%', '85%']
547 perc_str.append('Test')
548 col = 'Uz'
549
550 N = 4
551 ind = np.arange(N) # the x locations for the groups
552 width = 0.15 # the width of the bars
553
554 fig = plt.figure()

```

```

555 | ax = fig.add_subplot(111)
556 |
557 | yvals = [error_SGD_16.loc[:, col].abs().describe(percentiles=[perc[0]]).loc[perc_str[0]],
558 |           error_SGD_16.loc[:, col].abs().describe(percentiles=[perc[1]]).loc[perc_str[1]],
559 |           error_SGD_16.loc[:, col].abs().describe(percentiles=[perc[2]]).loc[perc_str[2]],
560 |           error_SGD_16.loc[:, col].abs().describe(percentiles=[perc[3]]).loc[perc_str[3]]]
561 | rects1 = ax.bar(ind, yvals, width)
562 |
563 | yvals = [error_SGD_50.loc[:, col].abs().describe(percentiles=[perc[0]]).loc[perc_str[0]],
564 |           error_SGD_50.loc[:, col].abs().describe(percentiles=[perc[1]]).loc[perc_str[1]],
565 |           error_SGD_50.loc[:, col].abs().describe(percentiles=[perc[2]]).loc[perc_str[2]],
566 |           error_SGD_50.loc[:, col].abs().describe(percentiles=[perc[3]]).loc[perc_str[3]]]
567 | rects2 = ax.bar(ind+width, yvals, width)
568 |
569 | zvals = [error_SGD_100.loc[:, col].abs().describe(percentiles=[perc[0]]).loc[perc_str[0]],
570 |           error_SGD_100.loc[:, col].abs().describe(percentiles=[perc[1]]).loc[perc_str[1]],
571 |           error_SGD_100.loc[:, col].abs().describe(percentiles=[perc[2]]).loc[perc_str[2]],
572 |           error_SGD_100.loc[:, col].abs().describe(percentiles=[perc[3]]).loc[perc_str[3]]]
573 | rects3 = ax.bar(ind+width*2, zvals, width)
574 |
575 | kvals = [error_SGD_150.loc[:, col].abs().describe(percentiles=[perc[0]]).loc[perc_str[0]],
576 |           error_SGD_150.loc[:, col].abs().describe(percentiles=[perc[1]]).loc[perc_str[1]],
577 |           error_SGD_150.loc[:, col].abs().describe(percentiles=[perc[2]]).loc[perc_str[2]],
578 |           error_SGD_150.loc[:, col].abs().describe(percentiles=[perc[3]]).loc[perc_str[3]]]
579 | rects4 = ax.bar(ind+width*3, kvals, width)
580 |
581 | kvals = [error_SGD.loc[:, col].abs().describe(percentiles=[perc[0]]).loc[perc_str[0]],
582 |           error_SGD.loc[:, col].abs().describe(percentiles=[perc[1]]).loc[perc_str[1]],
583 |           error_SGD.loc[:, col].abs().describe(percentiles=[perc[2]]).loc[perc_str[2]],
584 |           error_SGD.loc[:, col].abs().describe(percentiles=[perc[3]]).loc[perc_str[3]]]
585 | rects5 = ax.bar(ind+width*4, kvals, width)
586 |
587 | ax.set_ylabel('[m/s]', fontsize=20)
588 | ax.set_xticks(ind+width*2)
589 | ax.set_xticklabels(perc_str, fontsize=20, rotation=30)
590 | ax.legend((rects1[0], rects2[0], rects3[0], rects4[0], rects5[0]),
591 |             ('16', '50', '100', '150', '209'),
592 |             fontsize=12)
593 |
594 | plt.xticks(fontsize=20)
595 | plt.yticks(fontsize=20)
596 | plt.xlabel('Percentiles', fontsize=20)
597 | plt.title('SGD - Valores absolutos - '+col, fontsize=20)
598 | ax.grid(axis='y')
599 |
600 | perc = [0.25, 0.5, 0.75, 0.85]
601 | perc_str = ['25%', '50%', '75%', '85%']
602 | perc_str.append('Test')
603 | col = 'Uz'
604 |
605 | N = 4
606 | ind = np.arange(N) # the x locations for the groups
607 | width = 0.15 # the width of the bars
608 |
609 | fig = plt.figure()
610 | ax = fig.add_subplot(111)
611 |
612 | yvals = [error_SGD_0.loc[:, col].abs().describe(percentiles=[perc[0]]).loc[perc_str[0]],
613 |           error_SGD_0.loc[:, col].abs().describe(percentiles=[perc[1]]).loc[perc_str[1]],
614 |           error_SGD_0.loc[:, col].abs().describe(percentiles=[perc[2]]).loc[perc_str[2]],
615 |           error_SGD_0.loc[:, col].abs().describe(percentiles=[perc[3]]).loc[perc_str[3]]]
616 | rects1 = ax.bar(ind, yvals, width)
617 |
618 | zvals = [error_SGD_05.loc[:, col].abs().describe(percentiles=[perc[0]]).loc[perc_str[0]],
619 |           error_SGD_05.loc[:, col].abs().describe(percentiles=[perc[1]]).loc[perc_str[1]],
620 |           error_SGD_05.loc[:, col].abs().describe(percentiles=[perc[2]]).loc[perc_str[2]],
621 |           error_SGD_05.loc[:, col].abs().describe(percentiles=[perc[3]]).loc[perc_str[3]]]
622 | rects2 = ax.bar(ind+width, zvals, width)
623 |
624 | kvals = [error_SGD_1.loc[:, col].abs().describe(percentiles=[perc[0]]).loc[perc_str[0]],
625 |           error_SGD_1.loc[:, col].abs().describe(percentiles=[perc[1]]).loc[perc_str[1]],
626 |           error_SGD_1.loc[:, col].abs().describe(percentiles=[perc[2]]).loc[perc_str[2]],
627 |           error_SGD_1.loc[:, col].abs().describe(percentiles=[perc[3]]).loc[perc_str[3]]]
628 | rects3 = ax.bar(ind+width*2, kvals, width)
629 |
630 | ax.set_ylabel('[m/s]', fontsize=20)
631 | ax.set_xticks(ind+width*2)
632 | ax.set_xticklabels(perc_str, fontsize=20, rotation=30)
633 | ax.legend((rects1[0], rects2[0], rects3[0]),
634 |             ('Error $\eta=0$', 'Error $\eta=0.5$', 'Error $\eta=1$'),
635 |             fontsize=12)
636 |
637 | plt.xticks(fontsize=20)
638 | plt.yticks(fontsize=20)
639 | plt.xlabel('Percentiles', fontsize=20)
640 | plt.title('SGD - Valores absolutos - '+col, fontsize=20)
641 | ax.grid(axis='y')
642 |
643 | perc = [0.25, 0.5, 0.75, 0.85]
644 | perc_str = ['25%', '50%', '75%', '85%']
645 | perc_str.append('Test')
646 | col = 'Uz'
647 |
648 | N = 4
649 | ind = np.arange(N) # the x locations for the groups
650 | width = 0.17 # the width of the bars
651 |
652 | fig = plt.figure()
653 | ax = fig.add_subplot(111)
654 |
655 | yvals = [(error_RF.loc[:, col]/acm_test.loc[:, col]).abs().describe(percentiles=[perc[0]]).loc[perc_str[0]],
656 |           (error_RF.loc[:, col]/acm_test.loc[:, col]).abs().describe(percentiles=[perc[1]]).loc[perc_str[1]],
657 |           (error_RF.loc[:, col]/acm_test.loc[:, col]).abs().describe(percentiles=[perc[2]]).loc[perc_str[2]],
658 |           (error_RF.loc[:, col]/acm_test.loc[:, col]).abs().describe(percentiles=[perc[3]]).loc[perc_str[3]]]
659 | rects1 = ax.bar(ind, yvals, width)

```

```

654 zvals = [(error_KNn.loc[:, col]/acm_test.loc[:, col]).abs().describe(percentiles=[perc[0]]).loc[perc_str[0]],
655     (error_KNn.loc[:, col]/acm_test.loc[:, col]).abs().describe(percentiles=[perc[1]]).loc[perc_str[1]],
656     (error_KNn.loc[:, col]/acm_test.loc[:, col]).abs().describe(percentiles=[perc[2]]).loc[perc_str[2]],
657     (error_KNn.loc[:, col]/acm_test.loc[:, col]).abs().describe(percentiles=[perc[3]]).loc[perc_str[3]]]
658 rects2 = ax.bar(ind+width, zvals, width)
659 kvals = [(error_SVM.loc[:, col]/acm_test.loc[:, col]).abs().describe(percentiles=[perc[0]]).loc[perc_str[0]],
660     (error_SVM.loc[:, col]/acm_test.loc[:, col]).abs().describe(percentiles=[perc[1]]).loc[perc_str[1]],
661     (error_SVM.loc[:, col]/acm_test.loc[:, col]).abs().describe(percentiles=[perc[2]]).loc[perc_str[2]],
662     (error_SVM.loc[:, col]/acm_test.loc[:, col]).abs().describe(percentiles=[perc[3]]).loc[perc_str[3]]]
663 rects3 = ax.bar(ind+width*2, kvals, width)
664 kvals = [(error_SGD.loc[:, col]/acm_test.loc[:, col]).abs().describe(percentiles=[perc[0]]).loc[perc_str[0]],
665     (error_SGD.loc[:, col]/acm_test.loc[:, col]).abs().describe(percentiles=[perc[1]]).loc[perc_str[1]],
666     (error_SGD.loc[:, col]/acm_test.loc[:, col]).abs().describe(percentiles=[perc[2]]).loc[perc_str[2]],
667     (error_SGD.loc[:, col]/acm_test.loc[:, col]).abs().describe(percentiles=[perc[3]]).loc[perc_str[3]]]
668 rects4 = ax.bar(ind+width*3, kvals, width)
669 kvals = [(error_DEL.loc[:, col]/acm_test.loc[:, col]).abs().describe(percentiles=[perc[0]]).loc[perc_str[0]],
670     (error_DEL.loc[:, col]/acm_test.loc[:, col]).abs().describe(percentiles=[perc[1]]).loc[perc_str[1]],
671     (error_DEL.loc[:, col]/acm_test.loc[:, col]).abs().describe(percentiles=[perc[2]]).loc[perc_str[2]],
672     (error_DEL.loc[:, col]/acm_test.loc[:, col]).abs().describe(percentiles=[perc[3]]).loc[perc_str[3]]]
673 rects5 = ax.bar(ind+width*4, kvals, width)
674
675 ax.set_ylabel('Error relativo', fontsize=20)
676 ax.set_xticks(ind+width*2)
677 ax.set_xticklabels(perc_str, fontsize=20, rotation=30)
678 ax.legend((rects1[0], rects2[0], rects3[0], rects4[0], rects5[0]),
679             ('RF', 'KNn', 'SVM', 'SGD', 'Delaunay'),
680             fontsize=12)
681
682 plt.xticks(fontsize=20)
683 plt.yticks(fontsize=20)
684 plt.xlabel('Percentiles', fontsize=20)
685 plt.title('Error relativo - ' + col, fontsize=20)
686 plt.ylim(0,4.6)
687 ax.grid(axis='y')

```

B.2. Clase auxiliar

A continuación se incluye la clase implementada en Python que gestiona la comunicación de información entre los software usados (WRF y OpenFOAM).

```

1 #!/usr/bin/env python
2 # coding: utf-8
3
4 from __future__ import print_function
5
6 import numpy as np
7 import matplotlib.pyplot as plt
8 import pandas as pd
9
10 import subprocess
11 import shapefile
12 import time
13 import os
14 import fnmatch
15 import calendar
16 import sys
17
18 if sys.version_info[0] == 2:
19     os.environ['PROJ_LIB'] = ('/home/jmilla/anaconda2/pkgs/' +
20                             '+proj4-5.2.0-he1b5a44_1004/share/proj')
21 elif sys.version_info[0] == 3:
22     os.environ['PROJ_LIB'] = '/home/jmilla/anaconda3/share/proj'
23 else:
24     raise Exception("Version de Python: "+str(sys.version_info[0]))
25
26 from netCDF4 import Dataset
27 from matplotlib.path import Path
28 from matplotlib.patches import PathPatch
29 from wrf import (to_np, getvar, get_basemap, ALL_TIMES, interplevel)
30 from scipy.interpolate import LinearNDInterpolator
31 from IPython.display import display,HTML
32
33 class simulacionCFD:
34     """
35         Clase para manipular:
36         - Interpolación y acople de datos WRF para la simulacion OpenFOAM
37         - Recolección de datos de la simulacion resultante
38     """
39
40     def __init__(self,
41                  pathWRF = '/home/jmilla/wrf/Domains/',
42                  CentroLatSTL = 42.7,
43                  CentroLonSTL = -0.36,
44                  pathOpen = '/home/jmilla/openfoam5/Casos/casoTest/'):
45         # Para tiempos de ejecución
46         TIME_INI = time.time()
47
48         self.bound_coef = {}
49
50         # parent path de TODOS los datos de wrf
51         self.pathWRF = pathWRF
52         # Centro del .stl
53         self.CentroLatSTL = CentroLatSTL

```

```

54 self.CentroLonSTL = CentroLonSTL
55 # path del caso de openFoam en los que escribimos los datos de wrf
56 self.pathOpen = pathOpen
57
58 self.DatosWRF(self.pathWRF)
59
60 self.rutas_datos_sim = [self.pathOpen+'1000_date40/',
61                         self.pathOpen+'1000_date80/',
62                         self.pathOpen+'1000_date120/',
63                         self.pathOpen+'1000_date160/']
64 self.fechas_datos_sim = (np.array(self.dates).astype(str)[[40, 80, 120, 160]
65 .tolist()])
66
67 # datos malla y puntos de interpolacion
68 self.MallaPtsInterpolacion(self.pathOpen+'/system/',
69                             self.pathOpen+'/0/')
70
71 print("\n inicializacion en %.1f s\n"%(time.time()-TIME_INI))
72
73
74 def MallaPtsInterpolacion (self, ruta_blockMeshDict, ruta_Cfile):
75     # datos malla y puntos de interpolacion
76     self.__lee_blockMeshDict(self.pathOpen+'/system/')
77     self.__lee_CoordCeldas(self.pathOpen+'/0/')
78     self.__sacaBasemapRadio()
79     self.__coordMalla()
80     self.__maskWRFin()
81
82 def __sacaBasemapRadio (self):
83     # Cogemos una variable cualquiera, lo que queremos es el basemap para
84     # sacar relacion entre coordenadas (lat, lon) y puntos en el mapa
85     # (plano)
86
87     d1 = self.d[0]
88     self.data = getvar(d1, "ter")
89
90     self.m = get_basemap(self.data)
91     self.lons = to_np(self.data.XLONG)
92     self.lats = to_np(self.data.XLAT)
93
94     self.xx, self.yy = self.m(self.lons, self.lats)
95
96     # convertToMeters seria el radio de nuestro circulo
97     self.R = (self.convertToMeters * (np.max(self.yy)- np.min(self.yy)))
98         / (self.data.shape[0]*d1.DY)
99     self.CentroXMap = self.m(self.CentroLonSTL, self.CentroLatSTL)[0]
100    self.CentroYMap = self.m(self.CentroLonSTL, self.CentroLatSTL)[1]
101
102    dTheta = np.arange(16)+3
103    x = self.R*np.cos(np.deg2rad(22.5*dTheta)) + self.CentroXMap
104    y = self.R*np.sin(np.deg2rad(22.5*dTheta)) + self.CentroYMap
105
106    self.circcoord = np.array(self.m(x, y, inverse=True))
107
108    # En coordenadas del mapa (planas, no esfericas como lat-lon)
109    self.CentroLonSTL_map, self.CentroLatSTL_map = self.m(
110        self.CentroLonSTL, self.CentroLatSTL)
111
112 def __coordMalla (self):
113     # Coordenadas de los puntos interpolados, es decir, los de la malla
114     # de la simulacion CFD
115
116     # Coordenadas del internal field
117     interpCoordLonLat_int = np.array(self.m(
118         (self.R*(self.centroCellsXint-self.centroX)
119          /self.convertToMeters+ self.CentroXMap),
120         (self.R*(self.centroCellsYint-self.centroY)
121          /self.convertToMeters+ self.CentroYMap),
122         inverse=True))
123     self.interpCoord_int = np.vstack((interpCoordLonLat_int[::-1,:],
124                                         self.centroCellsZint)).transpose()
125
126     self.Radio_CFDregion_map = max(np.sqrt((
127         self.m(self.interpCoord_int[:,1], self.interpCoord_int[:,0])[0]
128         -self.CentroLonSTL_map)**2
129         +(self.m(self.interpCoord_int[:,1], self.interpCoord_int[:,0])[1]
130         -self.CentroLatSTL_map)**2)))
131
132     # Coordenadas de los laterales (interpCoord, con z,
133     # se calcula mas adelante)
134     self.interpCoordLonLat = []
135     for indice in np.arange(len(self.centroCellsX)):
136         self.interpCoordLonLat.append(np.array(self.m(
137             (self.R*(self.centroCellsX[indice]-self.centroX)
138               /self.convertToMeters+ self.CentroXMap),
139             (self.R*(self.centroCellsY[indice]-self.centroY)
140               /self.convertToMeters+ self.CentroYMap),
141             inverse=True)))
142
143     # Coordenadas del terreno
144     interpCoordLonLat_ter = np.array(self.m(
145         (self.centroCellsX_ter-self.centroX)
146           /self.convertToMeters+ self.CentroXMap),
147         (self.R*(self.centroCellsY_ter-self.centroY)
148           /self.convertToMeters+ self.CentroYMap),
149           inverse=True))
150     self.interpCoord_ter = np.vstack((interpCoordLonLat_ter[::-1,:],
151                                         self.centroCellsZ_ter)).transpose()
152

```

```

153 def __maskWRFin (self):
154     """
155     Calcula la mask (shape: south_north, west_east) de los datos de wrf
156     para quedarnos con los que estan dentro del dominio de la CFD
157     """
158     self.dist_centroWRF_map = np.sqrt(
159         (self.m.to_np(self.data.XLONG), to_np(self.data.XLAT))[0]
160         -self.CentroLonSTL_map)**2
161     +(self.m.to_np(self.data.XLONG), to_np(self.data.XLAT))[1]
162     -self.CentroLatSTL_map)**2)
163
164     self.maskWRFin = self.dist_centroWRF_map<=self.Radio_CFDregion_map
165
166 def __lee_blockMeshDict (self, ruta_blockMeshDict):
167     with open(ruta_blockMeshDict+'blockMeshDict', 'r') as fichero:
168         for linea in fichero.readlines():
169             if 'convertToMeters' in linea:
170                 self.convertToMeters = float(linea.split()[1]
171                                         .replace(';', '')) 
172             if 'alturaReal' in linea:
173                 self.alturaMalla = float(linea.split(' ')[1]
174                                         .replace(';', '')) 
175             if 'centroX #' in linea:
176                 self.centroX = float(linea.split('!')[1].split('//')[0])
177             if 'centroY #' in linea:
178                 self.centroy = float(linea.split('!')[1].split('//')[0])
179
180 def __lee_CoordCeldas (self, ruta_Cfile):
181     # Se requiere llamar al comando 'postProcess -func writeCellCentres'
182     # para tener los ficheros Cx, Cy, Cz con las coordenadas de las celdas
183
184     with open(ruta_Cfile+'Cx', 'r') as fichero:
185         texto = np.array(fichero.readlines())
186         self.centroCellsX = []
187         self.centroCellsX_ter = []
188         for taca in np.arange(len(texto)):
189             if 'internalField' in texto[taca]:
190                 taca += 1
191                 numCells = int(texto[taca])
192                 taca += 2
193                 self.centroCellsXint = np.array(
194                     texto[taca+np.arange(numCells)]).astype(float)
195                 taca += numCells
196             if 'lateral' in texto[taca]:
197                 taca += 4
198                 numCells = int(texto[taca])
199                 taca += 2
200                 aux = np.array([texto[taca+np.arange(numCells)]]
201                               .astype(float))
202                 self.centroCellsX.append(aux)
203                 taca += numCells
204             if '_wall' in texto[taca]:
205                 taca += 4
206                 numCells = int(texto[taca])
207                 taca += 2
208                 aux = np.array([texto[taca+np.arange(numCells)]]
209                               .astype(float))
210                 self.centroCellsX_ter = np.append(self.centroCellsX_ter, aux)
211                 taca += numCells
212
213     with open(ruta_Cfile+'Cy', 'r') as fichero:
214         texto = np.array(fichero.readlines())
215         self.centroCellsY = []
216         self.centroCellsY_ter = []
217         for taca in np.arange(len(texto)):
218             if 'internalField' in texto[taca]:
219                 taca += 1
220                 numCells = int(texto[taca])
221                 taca += 2
222                 self.centroCellsYint = np.array(
223                     texto[taca+np.arange(numCells)]).astype(float)
224                 taca += numCells
225             if 'lateral' in texto[taca]:
226                 taca += 4
227                 numCells = int(texto[taca])
228                 taca += 2
229                 aux = np.array([texto[taca+np.arange(numCells)]]
230                               .astype(float))
231                 self.centroCellsY.append(aux)
232                 taca += numCells
233             if '_wall' in texto[taca]:
234                 taca += 4
235                 numCells = int(texto[taca])
236                 taca += 2
237                 aux = np.array([texto[taca+np.arange(numCells)]]
238                               .astype(float))
239                 self.centroCellsY_ter = np.append(self.centroCellsY_ter, aux)
240                 taca += numCells
241
242     with open(ruta_Cfile+'Cz', 'r') as fichero:
243         texto = np.array(fichero.readlines())
244         self.centroCellsZ = []
245         self.centroCellsZ_ter = []
246         for taca in np.arange(len(texto)):
247             if 'internalField' in texto[taca]:
248                 taca += 1
249                 numCells = int(texto[taca])
250                 taca += 2
251                 self.centroCellsZint = np.array(

```

```

252             texto[taca+np.arange(numCells)]).astype(float)
253             taca += numCells
254         if 'lateral' in texto[taca]:
255             taca += 4
256             numCells = int(texto[taca])
257             taca += 2
258             aux = np.array([texto[taca+np.arange(numCells)]]
259                           ).astype(float)
260             self.centroCellsZ.append(aux)
261             taca += numCells
262         if '_wall' in texto[taca]:
263             taca += 4
264             numCells = int(texto[taca])
265             taca += 2
266             aux = np.array([texto[taca+np.arange(numCells)]]
267                           ).astype(float)
268             self.centroCellsZ_ter = np.append(self.centroCellsZ_ter, aux)
269             taca += numCells
270
271     # Tanto en X, Y, Z debemos tener el mismo numero de celdas...
272     assert (len(self.centroCellsX) ==
273             len(self.centroCellsY) ==
274             len(self.centroCellsZ))
275     assert (len(self.centroCellsXint) ==
276             len(self.centroCellsYint) ==
277             len(self.centroCellsZint))
278     assert (len(self.centroCellsX_ter) ==
279             len(self.centroCellsY_ter) ==
280             len(self.centroCellsZ_ter))
281
282     def printParametros(self):
283         print("%-35s%" "Path datos WRF:" +self.pathWRF)
284         print("%-35s%" "Fecha inicio/final datos WRF:"
285               +str(self.dates[0]) + " > " +str(self.dates[-1]))
286         print("%-35s%" "# datos temporales WRF:" +str(len(self.d)))
287         print("%-35s%" "Centro Lat/Lon del .atl:" + "%6.3f" %(self.CentroLatSTL,
288                                                               self.CentroLonSTL))
289         print("%-35s%" "Path caso OpenFOAM:" +self.pathOpen)
290         print("%-35s%" "Path resultados simulacion:", *self.rutas_datos_sim,
291               sep='\n - ')
292         print("%-35s%" "Fechas resultados simulacion:", *self.fechas_datos_sim,
293               sep='\n - ')
294
295     def printFechas(self):
296         """
297             Printea un calendario en html con las fechas de WRF resaltadas
298             Las fechas de la simulacion las subraya
299         """
300         for fch in self.dates:
301             t = fch.item()
302
303             try:
304                 if oldM != t.month:
305                     display(HTML(ss))
306
307                     # create HTML Calendar month
308                     cal = calendar.HTMLCalendar()
309                     ss= cal.formatmonth (t.year,t.month)
310             except NameError:
311
312                 # create HTML Calendar month
313                 cal = calendar.HTMLCalendar()
314                 ss= cal.formatmonth (t.year,t.month)
315
316                 if str(fch) in self.fechas_datos_sim:
317                     # Subrayamos las fechas de la simulacion
318                     ss = ss.replace('>%<%t.day,
319                                     ' bgcolor="#66ff66"><b><u>%i</u></b><%t.day)
320
321                 else:
322                     # add cell's backgroundcolor and bold html tags around date
323                     ss = ss.replace('>%<%t.day,
324                                     ' bgcolor="#66ff66"><b>%i</b><%t.day)
325
326             oldM = t.month
327
328             display(HTML(ss))
329             del oldM
330
331     def DatosWRF (self, rutaWRF='/home/jmilla/wrf/Domains/'):
332         ruta_filesWRF = self.__filesWRF(rutaWRF)
333         # d contiene los datos de wrf
334         self.d = self._ruta_datos(ruta_filesWRF)
335         self.dates = np.array(getvar(self.d, "Times", timeidx=ALL_TIMES),
336                               dtype="datetime64[h]")
337
338     def __filesWRF (self, rutaWRF, drop=6):
339         """
340             Recorre todos los subdirectorios de rutaWRF y busca, lista y ordena
341             todos los ficheros que empiecen por wrfout_d04.*.
342             Por defecto quita los "drop" primeros ficheros que encuentra, ya que
343             suponemos que son los de inicializacion del primer periodo de las
344             simulaciones de WRF
345         """
346         files_name = []
347         full_files_name = []
348         for (dirpath, dirnames, filenames) in os.walk(rutaWRF, followlinks=True):
349             # Recorremos carpetas por orden alfabetico (para poder descartar
350             # las primeras 6-7 h de simulacion de cada semana)
351             dirnames.sort()

```

```

351     for filee in filenames:
352         if fmmatch.fmatchcase(filee, 'wrfout_d04_*'):
353             if filee in files_name:
354                 continue
355             files_name.append(filee)
356             full_files_name.append(dirpath+'!'+filee)
357
358     full_files_name = np.array(full_files_name)[np.argsort(files_name)]
359
360     return np.delete(full_files_name, np.s_[0:drop])
361
362 def __ruta_datos (self, files):
363     # Devuelve el dataset de los datos "files"
364     d1=[]
365     for filee in files:
366         d1.append(DataSet(filee))
367
368     return d1
369
370 def lee_Resumen(self, path_rsm):
371     with open(path_rsm+'Resumen.txt', 'r') as fichero:
372         record = False
373         id_events = np.array([], dtype=int)
374         for linea in fichero.readlines():
375             if record:
376                 ID = linea.split()[0]
377                 id_events = np.append(id_events, int(ID))
378                 if 'ID_evento' in linea:
379                     record = True
380             self.fechas_datos_sim_indx = id_events.tolist()
381     return (np.array(self.dates).astype(str)[self.fechas_datos_sim_indx]
382             .tolist())
383
384 def genera_rutaSim(self):
385     rut = []
386     for kk in self.fechas_datos_sim_indx:
387         rut.append(self.pathOpen+str(kk)+'/')
388
389     return rut
390
391 def elimina_fechas(self):
392     """
393     Elimina del dataset de wrf self.d las fechas que no coincidan con las de las
394     simulaciones, para hacer el proceso general mas eficiente
395     """
396
397     self.dates = np.array(getvar(self.d, "Times", timeidx=ALL_TIMES),
398                           dtype="datetime64[h]")
399
400     count = 0
401     for kk in self.dates.astype(str):
402         if 'boundary' in kk:
403             kk = kk.replace('boundary', '')
404         if kk in self.fechas_datos_sim:
405             count+=1
406         else:
407             del self.d[count]
408
409     self.dates = np.array(getvar(self.d, "Times", timeidx=ALL_TIMES),
410                           dtype="datetime64[h]")
411
412     assert len(self.d)==len(self.dates)==(len(self.fechas_datos_sim)-
413                                         len(self.fechas_datos_boun))
414
415     def Dime_fisicas (self, d):
416         print ("\tPBL=%d\tMPH=%d\tCMS=%d\tSWR=%d\tLWR=%d\t(%s,%s,%s,%s,%s,%s)"%
417               (d.BL_PBL_PHYSICS,
418                d.MP_PHYSICS,
419                d.CU_PHYSICS,
420                d.RA_SW_PHYSICS,
421                d.RA_LW_PHYSICS))
422
423     def interpolaYescribe (self, d1, ruta_escritura, mltp=1.0, boundary=False, fech_bound='None'):
424         """
425         Este metodo interpola los datos WRF referentes a "d1" (una fecha dada)
426         en la malla de la simulacion de OpenFOAM y escribe los resultados
427         en "ruta_escritura"
428         "-mlpt" es un multiplicador, para hacer test
429         """
430
431         # Para tiempos de ejecucion de interpolacion y escritura
432         TIME_INI = time.time()
433
434         # Creamos la carpeta, si no esta creada, donde se guarda los datos
435         try:
436             os.makedirs(ruta_escritura)
437         except OSError:
438             if not os.path.isdir(ruta_escritura):
439                 raise
440
441         # Sacamos la altura de los datos de wrf y las coordenadas de estos
442         z = getvar(d1, "z")
443
444         datosCoord = []
445         for kkk in np.arange(len(z)):
446             try:
447                 datosCoord = np.vstack((datosCoord,
448                                         np.vstack((np.array(self.lats).flatten(),
449                                                   np.array(self.lons).flatten(),
450                                                   np.array(z[kkk]).flatten())).transpose())))
451             except ValueError:

```

```

450         datosCoord = np.vstack((np.array(self.lats).flatten(),
451                               np.array(self.lons).flatten(),
452                               np.array(z[kkk]).flatten())).transpose()
453
454
455     # Ahora cogemos todos los datos, generamos las funciones de
456     # interpolacion y escribimos resultados
457
458     wspdZZZ = [getvar(d1, 'uvmet', timeidx=0)[0],
459                getvar(d1, 'uvmet', timeidx=0)[1],
460                getvar(d1, 'wa', timeidx=0)]
461
462     header = """/*-----* C++ -----*\\
463     | ===== |
464     | \\\  / F ield      | OpenFOAM: The Open Source CFD Toolbox |
465     | \\\  / O peration   | Version: 6 |
466     | \\\  / A nd          | Web: www.OpenFOAM.org |
467     | \\\  / M anipulation | |
468 /*-----*/"""
469
470
471     title = ['U [m s-1]', 'V [m s-1]', 'W [m s-1]']
472     assert len(title)==len(wspdZZZ)
473
474     # Datos internal field
475
476     fnU = LinearNDInterpolator(datosCoord,
477                                np.array(wspdZZZ[0]).flatten(),
478                                fill_value=0, rescale=True)
479     fnV = LinearNDInterpolator(datosCoord,
480                                np.array(wspdZZZ[1]).flatten(),
481                                fill_value=0, rescale=True)
482     fnW = LinearNDInterpolator(datosCoord,
483                                np.array(wspdZZZ[2]).flatten(),
484                                fill_value=0, rescale=True)
485
486     interpDatosUint = mltpl*fnU(self.interpCoord_int)
487     interpDatosVint = mltpl*fnV(self.interpCoord_int)
488     interpDatosWint = mltpl*fnW(self.interpCoord_int)
489
490     with open(ruta_escritura+'internalField', 'w') as fichero:
491         fichero.writelines(header)
492         fichero.writelines('internalField nonuniform List<vector>\n')
493         fichero.writelines('%d'%len(interpDatosUint)+'\n')
494         fichero.writelines('(\n')
495         for kk in np.arange(len(interpDatosUint)):
496             fichero.writelines("%4s(%8.4f %8.4f %8.4f)\n"
497                               '%',
498                               interpDatosUint[kk],
499                               interpDatosVint[kk],
500                               interpDatosWint[kk]))
501
502         fichero.writelines('); \n')
503
504     # Datos del lateral
505
506     interpDatos = np.array([])
507     datosLateral = {}
508     for kk in np.arange(len(self.interpCoordLonLat)):
509         interpCoord = np.vstack((self.interpCoordLonLat[kk][:,:-1,:],
510                               np.array([(self.centroCellsZ[kk]]))).transpose()
511
512         interpDatosU = mltpl*fnU(interpCoord[:,0,:])
513         interpDatosV = mltpl*fnV(interpCoord[:,0,:])
514         interpDatosW = mltpl*fnW(interpCoord[:,0,:])
515
516         interpListica = np.array([interpDatosU, interpDatosV, interpDatosW])
517         datosLateral[kk] = interpListica
518         try:
519             interpDatos = np.vstack((interpDatos, [interpListica]))
520         except ValueError:
521             interpDatos = np.array([interpListica])
522
523         if not boundary:
524             with open(ruta_escritura+'lateral'+ '%02d' %(kk+1)+ 'U', 'w') as fichero:
525                 fichero.writelines(header)
526                 fichero.writelines('    lateral'+ '%02d\n' %(kk+1))
527                 fichero.writelines('    (\n')
528                 fichero.writelines('        type           freestream;\n')
529                 fichero.writelines('        freestreamValue nonuniform List<vector>\n')
530                 fichero.writelines('        %d'%len(interpDatosU)+'\n')
531                 fichero.writelines('        (\n')
532                 for kkk in np.arange(len(interpDatosU)):
533                     fichero.writelines("%12s(%8.4f %8.4f %8.4f)\n"
534                                       '%',
535                                       interpDatosU[kkk],
536                                       interpDatosV[kkk],
537                                       interpDatosW[kkk]))
538
539             fichero.writelines('    ); \n')
540             fichero.writelines('}\n')
541
542     self.datosLateral = datosLateral
543
544     norm_max = np.array([])
545     norm_dic = {}
546     for kk in np.arange(len(self.interpCoordLonLat)):
547         norm_dic[kk] = np.linalg.norm(datosLateral[kk], axis=0)
548

```

```

549         norm_max = np.append(norm_max, np.max(norm_dic[kk]))
550
551     if not boundary:
552         try:
553             self.norm_max = np.max(np.append(self.norm_max, norm_max))
554         except AttributeError:
555             self.norm_max = np.max(norm_max)
556
557     if boundary:
558         for kk in np.arange(len(self.interpCoordLonLat)):
559             self.bound_coef[fech_bound] = (1.1*self.norm_max)/np.max(norm_max)
560             with open(ruta_escritura+'lateral'+'%02d'%(kk+1)+'U', 'w') as fichero:
561                 fichero.writelines(header)
562                 fichero.writelines('    lateral'+'%02d\n'%(kk+1))
563                 fichero.writelines('    {\n')
564                 fichero.writelines('        type          freestream;\n')
565                 fichero.writelines('        freestreamValue nonuniform List<vector>\n')
566                 fichero.writelines('        %d'%len(datosLateral[kk][0])+'\n')
567                 fichero.writelines('        (\n')
568                 for kkk in np.arange(len(datosLateral[kk][0,:])):
569                     fichero.writelines("%12s(%8.4f %8.4f %8.4f)\n"
570                                     '%(',
571                                     datosLateral[kk][0,kkk]*self.bound_coef[fech_bound],
572                                     datosLateral[kk][1,kkk]*self.bound_coef[fech_bound],
573                                     datosLateral[kk][2,kkk]*self.bound_coef[fech_bound]))
574
575                 fichero.writelines('        );\n')
576                 fichero.writelines('    }\n')
577
578     print("\ninterpolacion y escritura ejecutado en %.1f s\n"
579           %(time.time()-TIME_INI))
580
581 def uniformeYscribe (self, vel, ruta_escritura):
582     """
583     Este metodo establece velocidades uniformes de entrada
584     - vel contiene las tres componentes del viento que queremos meter
585     """
586
587     # Para tiempos de ejecucion de interpolacion y escritura
588     TIME_INI = time.time()
589
590     # Creamos la carpeta, si no esta creada, donde se guarda los datos
591     try:
592         os.makedirs(ruta_escritura)
593     except OSError:
594         if not os.path.isdir(ruta_escritura):
595             raise
596
597     header = '''/*----- C++ -----*/
598 | ====== | |
599 | \\\| / F ield | OpenFOAM: The Open Source CFD Toolbox | |
600 | \\\| / O peration | Version: 6 | |
601 | \\\| / A nd | Web: www.OpenFOAM.org | |
602 | \\\| / M anipulation | |
603 /*-----*/
604     ...
605
606     with open(ruta_escritura+'internalField', 'w') as fichero:
607         fichero.writelines(header)
608         fichero.writelines('\ninternalField uniform (%8.4f %8.4f %8.4f);\n'
609                           %(vel[0],vel[1], vel[2]))
610
611     # Datos del lateral
612
613     for kk in np.arange(len(self.interpCoordLonLat)):
614         with open(ruta_escritura+'lateral'+'%02d'%(kk+1)+'U', 'w') as fichero:
615             fichero.writelines(header)
616             fichero.writelines('    lateral'+'%02d\n'%(kk+1))
617             fichero.writelines('    {\n')
618             fichero.writelines('        type          freestream;\n')
619             fichero.writelines('        freestreamValue uniform (%8.4f %8.4f %8.4f);\n'
620                               %(vel[0],vel[1], vel[2]))
621             fichero.writelines('    }\n')
622
623     print("\nescritura valores uniformes ejecutado en %.1f s\n"
624           %(time.time()-TIME_INI))
625
626 def LanzaOF(self, subf=''):
627     """
628     Llama al script 'LanzaOF.sh' situado en la raiz del directorio del
629     caso de OpenFOAM para lanzar la simulacion de OpenFOAM
630     """
631
632
633     # Leemos 'decomposeParDict' para saber cuantos proc usar
634     with open(self.pathOpen+'system/decomposeParDict', 'r') as fichero:
635         for linea in fichero.readlines():
636             if 'numberOfSubdomains' in linea:
637                 numproc = int(linea.split()[1].replace(';', ''))  

638                 break
639
640     # Leemos 'controlDict' para poner label al final
641     with open(self.pathOpen+'system/controlDict', 'r') as fichero:
642         for linea in fichero.readlines():
643             if 'endTime' in linea:
644                 try:
645                     lastTime = int(linea.split()[1].replace(';', ''))  

646                 except ValueError:
647                     pass

```

```

648
649     subprocess.call(['sh',
650                     self.pathOpen+'LanzaOF.sh',
651                     str(numproc),
652                     str(lastTime),
653                     str(subf)])
654
655     def ploteaMapa (self,
656                     clipToSpain_flag=False,
657                     LateralesMalla_flag=True,
658                     CentroSTL_flag=True,
659                     PuntosWRF_flag=False,
660                     PuntosWRFin_flag=True,
661                     Estaciones_flag=False,
662                     # EstacionesName_flag=False,
663                     DatosSim_flag=False,
664                     ruta_shpFile="/home/jmilla/wrf/Domains/20180520/"
665                     +"shp_files/ne_10m_admin_1_states_provinces/"
666                     +"ne_10m_admin_1_states_provinces"),
667                     shpFile="ne_10m_admin_1_states_provinces.shp"):
668         # Aquí ploteamos diferentes puntos interesantes
669
670         # Para tiempos de ejecucion de ploteo
671         TIME_INI = time.time()
672
673         fig = plt.figure(figsize = (15,10))
674         ax = fig.add_subplot(111)
675
676         cs = self.m.contourf(self.xx, self.yy, self.data, 100)
677         plt.colorbar(shrink=0.8, label='Altura (m)')
678
679         if clipToSpain_flag:
680             sf = shapefile.Reader(ruta_shpFile)
681             vertices = []
682             codes = []
683             for shape_rec in sf.shapeRecords():
684                 if ((("ESP-5825" in shape_rec.record[3])
685                     |("ESP-5847" in shape_rec.record[3])
686                     |("ESP-5853" in shape_rec.record[3])
687                     |("ESP" in shape_rec.record[3])):
688
689                 pts = shape_rec.shape.points
690                 prt = list(shape_rec.shape.parts) + [len(pts)]
691                 for i in range(len(prt) - 1):
692                     for j in range(prt[i], prt[i+1]):
693                         vertices.append(self.m(pts[j][0], pts[j][1]))
694                         codes += [Path.MOVETO]
695                         codes += [Path.LINETO] * (prt[i+1] - prt[i] - 2)
696                         codes += [Path.CLOSEPOLY]
697                 clip = Path(vertices, codes)
698                 clip = PathPatch(clip, transform=ax.transData)
699
700                 for contour in cs.collections:
701                     contour.set_clip_path(clip)
702
703             self.m.readshapefile(ruta_shpFile, shpfile)
704             self.m.drawparallels([self.m.projparams['lat_0']],
705                                 labels=[1,0,0,0], fontsize=9, fmt=".2f")
706             self.m.drawparallels(np.linspace(min(self.m.boundarylats),
707                                         max(self.m.boundarylats), 8),
708                                 labels=[1,0,0,0], fontsize=9, fmt=".2f")
709             self.m.drawmeridians([self.m.projparams['lon_0']],
710                                 labels=[0,0,0,1], fontsize=9, fmt=".2f")
711             self.m.drawmeridians(np.linspace(self.m.boundarylonmin,
712                                         self.m.boundarylonmax, 8),
713                                 labels=[0,0,0,1], fontsize=9, fmt=".2f")
714
715             if LateralesMalla_flag:
716                 for taca in np.arange(len(self.interpCoordLonLat)-1):
717                     plt.plot(self.m(self.interpCoordLonLat[taca][0,0],
718                                   self.interpCoordLonLat[taca][1,0])[0],
719                                   self.m(self.interpCoordLonLat[taca][0,0],
720                                   self.interpCoordLonLat[taca][1,0])[1],
721                                   'b.')
722
723                 # Saco la ultima para poner la label
724                 plt.plot(self.m(self.interpCoordLonLat[taca+1][0,0],
725                               self.interpCoordLonLat[taca+1][1,0])[0],
726                               self.m(self.interpCoordLonLat[taca+1][0,0],
727                               self.interpCoordLonLat[taca+1][1,0])[1],
728                               'b.', label='Laterales Malla')
729
730             if DatosSim_flag:
731                 try:
732                     plt.plot(self.m(self.df_datos_sim.Lon.to_numpy(),
733                                   self.df_datos_sim.Lat.to_numpy())[0],
734                                   self.m(self.df_datos_sim.Lon.to_numpy(),
735                                   self.df_datos_sim.Lat.to_numpy())[1],
736                                   'y.', label='Datos sim')
737                 except AttributeError:
738                     self.datos_sim()
739                     plt.plot(self.m(self.df_datos_sim.Lon.to_numpy(),
740                                   self.df_datos_sim.Lat.to_numpy())[0],
741                                   self.m(self.df_datos_sim.Lon.to_numpy(),
742                                   self.df_datos_sim.Lat.to_numpy())[1],
743                                   'y.', label='Datos sim')
744
745             if CentroSTL_flag:
746                 plt.plot(self.m(self.CentroLonSTL, self.CentroLatSTL)[0],
747                           self.m(self.CentroLonSTL, self.CentroLatSTL)[1],

```

```

747         'ro', label='Centro .stl')
748
749     if PuntosWRF_flag:
750         plt.plot(self.m(to_np(self.data.XLONG).flatten(),
751                       to_np(self.data.XLAT).flatten())[0],
752                 self.m(to_np(self.data.XLONG).flatten(),
753                       to_np(self.data.XLAT).flatten())[1],
754                 'g.', label='Puntos WRF')
755
756     if PuntosWRFin_flag:
757         plt.plot(self.m(to_np(self.data.XLONG)[self.maskWRFin].flatten(),
758                       to_np(self.data.XLAT)[self.maskWRFin].flatten())[0],
759                 self.m(to_np(self.data.XLONG)[self.maskWRFin].flatten(),
760                       to_np(self.data.XLAT)[self.maskWRFin].flatten())[1],
761                 'c.', label='Puntos WRF in')
762
763     if Estaciones_flag:
764         try:
765             plt.plot(self.m(self.dfStations.Longitude.to_numpy(),
766                           self.dfStations.Latitude.to_numpy())[0],
767                     self.m(self.dfStations.Longitude.to_numpy(),
768                           self.dfStations.Latitude.to_numpy())[1],
769                     'm*', label='Estaciones')
770         except AttributeError:
771             self.__sacaDatosEstaciones()
772             plt.plot(self.m(self.dfStations.Longitude.to_numpy(),
773                           self.dfStations.Latitude.to_numpy())[0],
774                     self.m(self.dfStations.Longitude.to_numpy(),
775                           self.dfStations.Latitude.to_numpy())[1],
776                     'm*', label='Estaciones')
777
778     plt.legend()
779     plt.show()
780
781     print("\nploteo en %.1f s\n"
782           %(time.time()-TIME_INI))
783
784     def __sacaDatosEstaciones(self):
785         from selenium import webdriver
786         from selenium.webdriver.support import expected_conditions as EC
787         from selenium.webdriver.support.ui import WebDriverWait
788         from selenium.webdriver.support.ui import Select
789         from selenium.webdriver.common.by import By
790         from selenium.webdriver.common.keys import Keys
791         from selenium.webdriver.chrome.options import Options
792         from selenium.common.exceptions import NoSuchElementException
793
794         def decGrad(array):
795             return (array[:,0]+array[:,1]/60.0+array[:,2]/3600.0)*array[:,3]
796
797         chrome_options = Options()
798
799         driver = webdriver.Chrome(executable_path='/home/jmilla/Pruebas/'+
800                                   'Selenium/chromedriver'),
801             options=chrome_options)
802
803         wait = WebDriverWait(driver, 20)
804         tries = 0
805
806         driver.get('https://www.ogimet.com/display_stations.php?lang=en&tipo'+
807                   '=0R&isyn=&ocia=&nombra=&estado=Spain&Send=Send')
808
809         table = wait.until(EC.presence_of_all_elements_located(
810             (By.XPATH, '/html/body/table/tbody/tr[2]/td[2]/table/tbody')))
811
812         daticos = []
813         for tbl in table:
814             elements = tbl.find_elements_by_tag_name('tr')
815             for elmt in elements[1:]:
816                 casillas = elmt.find_elements_by_tag_name('td')
817                 daticos.append([casillas[0].text, casillas[1].text,
818                               casillas[2].text, casillas[3].text,
819                               casillas[4].text, casillas[5].text,
820                               casillas[6].text])
821
822         driver.quit()
823
824         dfStations = pd.DataFrame(daticos, columns=['WMO', 'ICAO', 'Name',
825                                     'Country', 'Latitude',
826                                     'Longitude', 'Altitude'])
827
828         prueba = (dfStations.Latitude
829                   .str.replace('N', ' ').str.replace('S', ' ')
830                   .str.replace('°', '-').str.replace('°', ' ')
831                   .str.replace(' ', '').str.split(' ', expand=True)
832                   .astype(float))
833
834         areNa = prueba.isna().loc[:,prueba.columns[-1]]
835         prueba.loc[areNa, prueba.columns[3]] = prueba.loc[areNa,
836                                         prueba.columns[2]]
837         prueba.loc[areNa, prueba.columns[2]] = 0
838         dfStations.Latitude = decGrad(prueba.to_numpy())
839
840         prueba = (dfStations.Longitude
841                   .str.replace('N', ' ').str.replace('E', ' ')
842                   .str.replace('S', ' ').str.replace('W', ' ')
843                   .str.replace('°', '-').str.replace('°', ' ')
844                   .str.replace(' ', '').str.split(' ', expand=True)
845                   .astype(float))
846
847         areNa = prueba.isna().loc[:,prueba.columns[-1]]
848         prueba.loc[areNa, prueba.columns[3]] = prueba.loc[areNa, prueba.columns[2]]
849         prueba.loc[areNa, prueba.columns[2]] = 0
850
851         dfStations.Longitude = decGrad(prueba.to_numpy())
852
853         dfStations.Altitude = dfStations.Altitude.astype(float)

```

```

846     self.dfStations = dfStations
847
848
849     def datos_sim (self, **kwargs):
850         # Recogemos los datos de las simulaciones
851         """
852             Si se le pasa un argumento llamado "radio" (float entre 0 y 1) criba
853             los datos que devuelve, y se queda con los datos dentro del "radio"
854             siendo 1 -> se queda con todos, 0 -> no se queda con ninguno
855         """
856         # Para tiempos de ejecucion
857         TIME_INI = time.time()
858
859         rutas_datos_sim = self.rutas_datos_sim
860         fechas_datos_sim = self.fechas_datos_sim
861
862         assert isinstance(rutas_datos_sim, list)
863         assert isinstance(fechas_datos_sim, list)
864         assert len(rutas_datos_sim) == len(fechas_datos_sim)
865
866         df_datos_sim = []
867         for kkk in range(len(rutas_datos_sim)):
868             aux = self.__datosU_sim(rutas_datos_sim[kkk],
869                                     fechas_datos_sim[kkk])
870
871             if kkk:
872                 df_datos_sim = df_datos_sim.append(aux, ignore_index=True)
873             else:
874                 df_datos_sim = aux.copy()
875
876         assert len(df_datos_sim)%len(fechas_datos_sim)==0
877
878         if "radio" in kwargs:
879             assert kwargs["radio"] >= 0
880             assert kwargs["radio"] <= 1
881             self.dist_centro_map = np.sqrt((self.m(
882                 df_datos_sim.Lon.to_numpy(), df_datos_sim.Lat.to_numpy())[0]
883                 -self.CentroLonSTL_map)**2
884                 +(self.m(
885                     df_datos_sim.Lon.to_numpy(), df_datos_sim.Lat.to_numpy())[1]
886                     -self.CentroLatSTL_map)**2)
887             df_datos_reducidos = df_datos_sim.loc[
888                 self.dist_centro_map<=kwargs["radio"]
889                 *self.Radio_CFDregion_map].copy()
890
891             # La cantidad de datos para cada fecha de simulacion deben ser
892             # los mismos
893             assert len(df_datos_reducidos) % len(fechas_datos_sim) == 0
894
895             self.df_datos_sim = df_datos_reducidos
896
897             print("\n{0} datos leidos en %.1f s\n"
898                  %(time.time()-TIME_INI))
899             return df_datos_reducidos
900
901         self.df_datos_sim = df_datos_sim
902         print("\n{0} datos leidos en %.1f s\n"
903             %(time.time()-TIME_INI))
904         return df_datos_sim
905
906     def __datosU_sim (self, ruta_datosU, fecha_sim):
907         # Para obtener los resultados de la simulacion
908         with open(ruta_datosU+'U', 'r') as fichero:
909             texto = np.array(fichero.readlines())
910             for taca in np.arange(len(texto)):
911                 if 'internalField' in texto[taca]:
912                     taca += 1
913                     numCells = int(texto[taca])
914                     Ucfd_intDF = (pd.Series(texto[taca]
915                                         +np.arange(numCells)))
916                                         .str.replace('(', '').str.replace(')', '')
917                                         .str.replace('\n', '')
918                                         ).str.split(' ')
919                                         expand=True).astype(float)
920                                         Ucfd_intDF.columns = ['Ux', 'Uy', 'Uz']
921                                         break
922
923             df = Ucfd_intDF.join(pd.DataFrame(self.interpCoord_int,
924                                         columns=['Lat', 'Lon',
925                                         'Altura']))
926             df.insert(6, "Fecha", fecha_sim)
927             return df

```

El código que se adjunta a continuación es una extensión de la clase de Python anterior y añade métodos para el manejo de los datos y su procesamiento para alimentar los modelos de regresión.

```

1 """
2 Definimos funciones para obtener el dataframe buscada, juntando los resultados
3 de la CFD con los de WRF
4 """
5
6 from common import *
7
8 import multiprocessing as mp
9
10 from sklearn.decomposition import PCA
11 from sklearn.preprocessing import StandardScaler

```

```

12
13     from scipy.spatial import Delaunay
14
15 def interpola_aux(dic):
16     """
17         Funcion global para la paralelizacion de la interpolacion
18     """
19     result_dic = {}
20     fn = LinearNDInterpolator(dic['tri'],
21                               dic['values'])
22     result = fn(dic['points'])
23     assert not np.isnan(result).any()
24     result_dic[dic['fecha']] = result
25     return result_dic
26
27 class ROM(simulacionCFD):
28     """
29         Estendemos la clase de simulacionCFD para recolectar los datos de manera adecuada
30         para poder alimentar modelos estadisticos, etc
31     """
32
33     def __variablesWRF (self):
34         """
35             Devuelve una lista con las variables de WRF que queremos que sean features
36             Tambien devuelve valores interpolados a cierta altura/nivel
37
38             d es el dataset con todos los tiempos de los datos WRF
39         """
40
41     # Para tiempos de ejecucion
42     TIME_INI = time.time()
43
44     d = self.d
45
46     def sacaVariableWRF (d, var):
47         if isinstance(var, list):
48             assert len(var)==2
49             return getvar(d, var[0], ALL_TIMES, units=var[1])
50         else:
51             return getvar(d, var, ALL_TIMES)
52
53     variables = [["uvmet", 'm s-1'], ["wa", 'm s-1']]
54
55     vvv = []
56     for var in variables:
57         vvv.append(sacaVariableWRF(d, var))
58
59     print("\nvariablesWRF en %.1f s\n"
60           %(time.time()-TIME_INI))
61
62     return vvv
63
64     def __interpolawRFToMesh (self, df, datos, fecha, z):
65         """
66             Interpolamos la variable de WRF "datos" en una "fecha" dada
67             a los puntos de la malla para que sean nuestras features
68             "df" es el panda con los datos de las simulaciones que devuelve
69             simulacionCFD.datos_sim()
70         """
71
72     coord = np.array([to_np(datos.XLAT).flatten(),
73                      to_np(datos.XLONG).flatten()]).transpose()
74     aaa = np.tile(coord, (z.shape[0],1))
75     kk = np.stack((aaa[:,0], aaa[:,1], to_np(z).flatten()), axis=-1)
76
77     fn = LinearNDInterpolator(kk,
78                               to_np(datos).flatten())
79
80     result = fn(df.loc[fecha == df.Fecha, ('Lat', 'Lon', 'Altura')])
81     assert not np.isnan(result).any()
82     return result
83
84     def indxTimeWRF(self, date):
85         """
86             Devuelve el indice de wrf que corresponde a la fecha 'date' (YYYY-mm-ddThh)
87         """
88         try:
89             indxwrf = int(np.nonzero(np.char.find(to_np(self.TimeWRF.astype(str)), date) == 0)[0])
90         except AttributeError:
91             aux = getvar(self.d, 'ter', timeidx=ALL_TIMES)
92             self.TimeWRF = aux.Time
93             indxwrf = int(np.nonzero(np.char.find(to_np(self.TimeWRF.astype(str)), date) == 0)[0])
94
95         return indxwrf
96
97     def indxLatLonWRF(self, lat, lon, verbose=False):
98         """
99             Nos da los indices de un punto de WRF correspondiente a la lat/lon
100            proporcionadas mas cercanas
101        """
102        # x,y son los indices en los arrays de las variables que nos indica el punto escogido
103        try:
104            bm_zz = get_basemap(self.lats_zz)
105            dummy1 = np.array(bm_zz(to_np(self.lats_zz), to_np(self.lons_zz)))
106            dummy2 = np.array(bm_zz(lat, lon))
107        except AttributeError:
108            self.lats_zz = getvar(self.d, "lat", timeidx=0)
109            self.lons_zz = getvar(self.d, "lon", timeidx=0)
110            bm_zz = get_basemap(self.lats_zz)

```

```

111     dummy1 = np.array(bm_zz(to_np(self.lats_zz), to_np(self.lons_zz)))
112     dummy2 = np.array(bm_zz(lat, lon))
113
114     x, y = np.unravel_index(np.argmin((dummy1[0]-dummy2[0])**2
115                                 +(dummy1[1]-dummy2[1])**2),
116                                 dummy1[0].shape)
117
118     if verbose:
119         print( "SOLICITADOS\tLatitud=% .4f Longitud=% .4f"%(lat,lon))
120         (lat_u,lon_u)=(self.lats_zz[x,y], self.lons_zz[x,y])
121         print( "EMPLEADOS\tLatitud=% .4f Longitud=% .4f"%(lat_u,lon_u))
122
123     return x,y
124
125 def dame_nombre_var(self, var, x, y):
126     nombre_var = var.name+'_'+str(x)+':'+str(y)
127
128     try:
129         nombre_var += ('_'+str(var.wspd_wdir.values))
130     except AttributeError:
131         try:
132             nombre_var += ('_'+str(var.u_v.values))
133         except AttributeError:
134             pass
135
136     return nombre_var
137
138 def genera_df_var(self, lat=42.7, lon=-0.36):
139     """
140     Genera un dataset para mandarlo posteriormente a dame_full_data
141     y cargar variables iguales para toda los puntos de la malla pero
142     diferentes para cada fecha
143     """
144
145     # [m]
146     z_agl = getvar(self.d, "height_agl", timeidx=ALL_TIMES)
147     nivelVel_m = 50
148
149     wa = getvar(self.d, "wa", ALL_TIMES, units='m s-1')
150     wa_interp = interplevel(wa, z_agl, nivelVel_m)
151     assert not np.isnan(wa_interp).any()
152
153     uvmet = getvar(self.d, "uvmet", ALL_TIMES, units='m s-1')
154     u_interp = interplevel(uvmet[0], z_agl, nivelVel_m)
155     assert not np.isnan(u_interp).any()
156     v_interp = interplevel(uvmet[1], z_agl, nivelVel_m)
157     assert not np.isnan(v_interp).any()
158
159     df_var = pd.DataFrame(columns=['Fecha'], data=self.fechas_datos_sim)
160     # Aquí indicamos las variables que queremos
161     var = [u_interp, v_interp, wa_interp]
162
163     x, y = self.idxLatLonWRF(lat=lat, lon=lon, verbose=False)
164     count = 0
165     for aux in var:
166         dummy1 = []
167         for dum in self.fechas_datos_sim:
168             if 'boundary' in dum:
169                 dum = dum.replace('boundary_', '')
170
171             idxwrf = self.idxTimeWRF(dum)
172             dummy1.append(to_np(aux[idxwrf,x,y]))
173             if 'boundary' in dum:
174                 df_var[self.dame_nombre_var(aux[0], x, y)] = self.bound_coef['boundary_'+dum]*dummy1
175             else:
176                 df_var[self.dame_nombre_var(aux[0], x, y)] = dummy1
177             count += 1
178
179     return df_var
180
181 def dame_full_data(self, df_var, radio=1):
182     """
183     Generamos un panda con los datos de la simulacion CFD y las features de
184     WRF
185     -"df" es el panda con los datos de las simulaciones que devuelve
186     simulacionCFD.datos_sim()
187     -"vvv" una lista con las variables de WRF deseadas, como lo devuelve
188     la funcion "variablesWRF"
189     -"dates" un numpy array con las fechas de TODAS las simulaciones WRF, del
190     mismo tipo que el atributo simulacionCFD.dates
191     -"df_var" es un panda del tipo que devuelve genera_df_var
192     """
193
194     # Para tiempos de ejecucion
195     TIME_INI = time.time()
196
197     vvv = self._variablesWRF()
198     df = self.datos_sim(radio=radio)
199     dates = self.dates
200     z = getvar(self.d, "z", timeidx=ALL_TIMES)
201
202     full_data = df.iloc[:, 0:-1].copy()
203
204     dicc = {'u': 'Ux', 'v': 'Uy', 'w': 'Uz'}
205
206     # --- Para agadir variables interpoladas a las celdas de CFD ---
207     for kkk in vvv:
208         print(kkk.name+' ['+kkk.units+']')
209
210         try:

```

```

210         lvl = '_'+str(kkk.level.values)
211     except AttributeError:
212         lvl = ''
213
214     if len(kkk.shape)>4:
215         try:
216             cols = kkk.u_v.values
217         except AttributeError:
218             cols = kkk.wspd_wdir.values
219
220     aux1 = None
221     aux2 = None
222     for dum in df.Fecha.unique():
223         if 'boundary' in dum:
224             dum = dum.replace('boundary_','')
225             indx = int(np.argwhere(dates.astype(str) == dum))
226             idxwrf = int(np.nonzero(np.char.find(to_np(z.Time.astype(str)), dum) == 0)[0])
227
228             if (aux1 is None) | (aux2 is None):
229                 aux1 = (self.bound_coef['boundary_']+dum)
230                 *self._interpolawRFtoMesh(df, kkk[0, indx], dum, z[idxwrf]))
231                 aux2 = (self.bound_coef['boundary_']+dum)
232                 *self._interpolawRFtoMesh(df, kkk[1, indx], dum, z[idxwrf]))
233             else:
234                 aux1 = np.append(aux1,
235                                 (self.bound_coef['boundary_']+dum)
236                                 *self._interpolawRFtoMesh(df, kkk[0, indx], dum, z[idxwrf])))
237                 aux2 = np.append(aux2,
238                                 (self.bound_coef['boundary_']+dum)
239                                 *self._interpolawRFtoMesh(df, kkk[1, indx], dum, z[idxwrf])))
240         else:
241             indx = int(np.argwhere(dates.astype(str) == dum))
242             idxwrf = int(np.nonzero(np.char.find(to_np(z.Time.astype(str)), dum) == 0)[0])
243
244             if (aux1 is None) | (aux2 is None):
245                 aux1 = self._interpolawRFtoMesh(df, kkk[0, indx], dum, z[idxwrf])
246                 aux2 = self._interpolawRFtoMesh(df, kkk[1, indx], dum, z[idxwrf])
247             else:
248                 aux1 = np.append(aux1,
249                                 self._interpolawRFtoMesh(df, kkk[0, indx], dum, z[idxwrf]))
250                 aux2 = np.append(aux2,
251                                 self._interpolawRFtoMesh(df, kkk[1, indx], dum, z[idxwrf]))
252
253         full_data[cols[0]+lvl] = aux1
254         full_data[cols[1]+lvl] = aux2
255     else:
256         aux1 = None
257         z = getvar(self.d, "z", timeidx=ALL_TIMES)
258         for dum in df.Fecha.unique():
259             if 'boundary' in dum:
260                 dum = dum.replace('boundary_','')
261                 indx = int(np.argwhere(dates.astype(str) == dum))
262                 idxwrf = int(np.nonzero(np.char.find(to_np(z.Time.astype(str)), dum) == 0)[0])
263
264                 if (aux1 is None):
265                     aux1 = (self.bound_coef['boundary_']+dum)
266                     *self._interpolawRFtoMesh(df, kkk[indx], dum, z[idxwrf]))
267                 else:
268                     aux1 = np.append(aux1,
269                                     (self.bound_coef['boundary_']+dum)
270                                     *self._interpolawRFtoMesh(df, kkk[indx], dum, z[idxwrf])))
271
272             else:
273                 indx = int(np.argwhere(dates.astype(str) == dum))
274                 idxwrf = int(np.nonzero(np.char.find(to_np(z.Time.astype(str)), dum) == 0)[0])
275
276                 if (aux1 is None):
277                     aux1 = self._interpolawRFtoMesh(df, kkk[indx], dum, z[idxwrf])
278                 else:
279                     aux1 = np.append(aux1,
280                                     self._interpolawRFtoMesh(df, kkk[indx], dum, z[idxwrf]))
281
282         full_data[kkk.name+lvl] = aux1
283
284     try:
285         del aux1, aux2
286     except UnboundLocalError:
287         pass
288
289 #     --- FIN de interpolacion variables celdas CFD ---
290
291 #     --- Agnadimos variables fijas para todas las celdas CFD y para cada fecha ---
292
293 rep = len(df.loc[self.fecha_datos_sim[0] == df.Fecha])
294 assert rep == (len(df)/len(df.Fecha.unique()))
295
296 for col in df_var.columns[1:]:
297     aux1 = None
298     for dum in df.Fecha.unique():
299         if (aux1 is None):
300             aux1 = np.repeat(df_var.loc[df_var.Fecha==dum, col], rep)
301         else:
302             aux1 = np.append(aux1,
303                             np.repeat(df_var.loc[df_var.Fecha==dum, col], rep))
304
305     full_data[col] = aux1
306
307 #     --- FIN variables fijas para todas las celdas CFD y para cada fecha ---
308

```

```

309     # Copiamos la columna de fechas al final
310     full_data[df.columns[-1]] = df[df.columns[-1]]
311
312     assert len(full_data) == len(df)
313
314
315     print("\ndame_full_data en %.1f s\n"
316          %(time.time()-TIME_INI))
317
318     self.full_data = full_data
319     return self.full_data
320
321
322 def dame_keep_data(self, toleranciaMetros=10):
323     """
324     Seleccionamos los puntos de la malla CFD de manera ordenada
325     alrededor de las lats, lons proporcionadas
326     -full_data_backup: lo que devuelve dame_full_data
327     """
328
329     lats = self.lats[self.maskWRFin]
330     lons = self.lons[self.maskWRFin]
331     full_data_backup = self.full_data
332
333     assert len(lats)==len(lons)
334     tolDeg = toleranciaMetros/111177.5
335
336     keep_data = []
337     for dia, dlo in zip(lats,lons):
338         keep_data = np.append(keep_data, (full_data_backup.loc[((
339             (full_data_backup.Lat>=dia-tolDeg)&
340             (full_data_backup.Lat<=dia+tolDeg)&
341             (full_data_backup.Lon>=dlo-tolDeg)&
342             (full_data_backup.Lon<=dlo+tolDeg))).index.to_numpy()]))
343
344     self.keep_data = pd.Index(keep_data).drop_duplicates()
345     self.full_data_keep = self.full_data.loc[self.keep_data]
346
347     return self.keep_data, self.full_data_keep
348
349 def actualiza_keep_data(self, keep_data):
350     """
351     Aquí podemos darle cualquier keep_data y quedarnos con esos datos
352     """
353     # p.ej keep_data podrian ser puntos aleatorios dentro del dominio
354     # np.random.seed(0)
355     # keep_data = np.random.choice(self.full_data.shape[0],
356     #                               int(self.full_data.shape[0]*0.025),
357     #                               replace=False)
358
359     # O todo los puntos haciendo que
360     # keep_data=self.full_data.index
361
362     self.keep_data = pd.Index(keep_data).drop_duplicates()
363     self.full_data_keep = self.full_data.loc[self.keep_data]
364
365     return self.keep_data, self.full_data_keep
366
367 def print_keep_data(self):
368     """
369     Simplemente informativo, sacamos por pantalla cuantos datos habia
370     originalmente y cuantos nos hemos quedado en la criba inicial
371     """
372
373     print("Shape original")
374     print(self.full_data.shape)
375     print("Shape cribado")
376     print(self.full_data_keep.shape)
377     print("")
378     print("Nos hemos quedado con un %.5.2f%% de los datos originales"%
379           (100*self.full_data_keep.shape[0]/self.full_data.shape[0]))
380
381 def pinta_puntos_data(self):
382     """
383     Pinta los puntos de full_data_keep
384     """
385     fig = plt.figure(figsize = (15,10))
386     ax = fig.add_subplot(111)
387
388     plt.scatter(x=self.full_data_keep.loc[self.fechas_datos_sim[1] == self.full_data_keep.Fecha, 'Lon'],
389                 y=self.full_data_keep.loc[self.fechas_datos_sim[1] == self.full_data_keep.Fecha, 'Lat'])
390     plt.show()
391
392 def dame_fechas_test(self, test_pr=0.3, **kwargs):
393     """
394     Nos dice las fechas que tenemos que dejar para el test
395
396     Si se le pasa un argumento llamado "fechas_drop" debe ser una lista
397     con las fechas que queremos que escoga para test.
398     Deben ser de la forma 'aaaa-mm-ddThh', ej: '2018-06-02T08'
399     Si es de alguna otra forma simplemente no encontrara esa fecha y
400     es como si ignorase esa entrada
401     """
402
403     fechas_drop = np.random.choice(self.fechas_datos_sim,
404                                    int(len(self.fechas_datos_sim)*test_pr),
405                                    replace=False).tolist()
406
407     if "fechas_drop" in kwargs:

```

```

408         assert isinstance(kwargs["fechas_drop"], list)
409         fechas_drop = kwargs["fechas_drop"]
410
411     print()
412     print("Las fechas test son:")
413     print(fechas_drop)
414     print()
415
416     self.fechas_drop = fechas_drop
417     return self.fechas_drop
418
419 def split_test_train(self, features, labels):
420     """
421     Hace la separación entre el train y el test set a partir de
422     las fechas de self.fechas_drop del metodo "dame_fechas_test"
423
424     features y labels son los indices (empezando por 0)
425     de las columnas de self.full_data_keep que queremos que sean
426     o labels o features
427     """
428
429     assert isinstance(features, list)
430     assert isinstance(labels, list)
431
432     self.features = features
433     self.labels = labels
434
435     auxIndx = pd.Index([])
436     for fchdrp in self.fechas_drop:
437         auxIndx = auxIndx.join(self.full_data_keep.index[self.full_data_keep.Fecha==fchdrp],
438                               how='outer')
439
440     self.train_features = (self.full_data_keep
441                           .drop('Fecha',axis=1)
442                           .drop(auxIndx, axis=0)
443                           .iloc[:,features])
444
445     self.test_features = (self.full_data_keep
446                           .drop('Fecha',axis=1)
447                           .loc[auxIndx]
448                           .iloc[:,features])
449
450     self.test_features_full = (self.full_data
451                               .drop('Fecha',axis=1)
452                               .loc[auxIndx]
453                               .iloc[:,features])
454
455     self.train_labels = (self.full_data_keep
456                           .drop('Fecha',axis=1)
457                           .drop(auxIndx, axis=0)
458                           .iloc[:,labels])
459
460     self.test_labels = (self.full_data_keep
461                           .drop('Fecha',axis=1)
462                           .loc[auxIndx]
463                           .iloc[:,labels])
464
465     self.test_labels_full = (self.full_data
466                               .drop('Fecha',axis=1)
467                               .loc[auxIndx]
468                               .iloc[:,labels])
469
470     self.train_fechas = (self.full_data_keep.Fecha
471                           .drop(auxIndx, axis=0))
472
473     self.test_fechas = (self.full_data_keep.Fecha
474                           .loc[auxIndx])
475
476     self.test_fechas_full = (self.full_data.Fecha
477                               .loc[auxIndx])
478
479     print("      %-20s %-20s"%"Train","Test")
480     print("features:  %-20s %-20s"%(str(self.train_features.shape),
481                                    str(self.test_features.shape)))
482     print("labels:   %-20s %-20s"%(str(self.train_labels.shape),
483                                    str(self.test_labels.shape)))
484     print("fechas:   %-20s %-20s"%(str(self.train_fechas.shape),
485                                    str(self.test_fechas.shape)))
486
487 def dame_maskCFDin (self, lat_lon_puente):
488     """
489     Devuelve una mask indicando los puntos que
490     estan dentro de la circunferencia inscrita en el polígono regular
491     de 16 lados que forman los laterales
492
493     lat_lon_puente es un array con shape (n_pts, 2)
494     la primera dimension para lat y la segunda para lon
495     """
496
497     aux1, aux2 = self.m(lat_lon_puente[:,1],lat_lon_puente[:,0])
498
499     self.maskCFDin= (np.sqrt((aux1-self.CentroLonSTL_map)**2
500                             + (aux2-self.CentroLatSTL_map)**2)
501                             <(self.R*np.cos(np.deg2rad(90/8.0)))*0.9)
502
503     return self.maskCFDin
504
505 def crea_malla_puente(self, n_pts=25,n_niveles_eta=10):
506     """
507     Crea una malla regular cuadrada con n_ptsxn_pts

```

```

507     la primera dimension para lat y la segunda para lon
508     y la tercera un nivel vertical eta
509     """
510
511     lats_puente = np.linspace(self.full_data.Lat.min(), self.full_data.Lat.max(), n_pts)
512     lons_puente = np.linspace(self.full_data.Lon.min(), self.full_data.Lon.max(), n_pts)
513     eta_puente = np.linspace(0,1,n_niveles_eta)
514     xv, yv, zv = np.meshgrid(lats_puente, lons_puente, eta_puente)
515     lat_lon_puente = np.stack((xv.flatten(), yv.flatten(), zv.flatten()),axis=1)
516
517     return lat_lon_puente
518
519 def altura_ter(self, lat, lon):
520     try:
521         inter = self.ter_interpolator(lat, lon)
522     except AttributeError:
523         self.ter_interpolator = LinearNDInterpolator(self.interpCoord_ter[:,0:2],
524                                                       values=self.interpCoord_ter[:,2])
525         inter = self.ter_interpolator(lat, lon)
526
527     assert not np.isnan(inter).any()
528     return inter
529
530 def interpolaVelInt(self, lat, lon, altura, fecha):
531     """
532     Interpol a partir de los puntos de la malla CFD a cualquier punto
533     (lat, lon, altura) dentro del dominio.
534     Da Ux, Uy, Uz
535     """
536     try:
537         df = self.df_datos_sim
538     except AttributeError:
539         df = self.datos_sim()
540
541     nd = LinearNDInterpolator(df.loc[df.Fecha==fecha,['Lat', 'Lon', 'Altura']],
542                               values=df.loc[df.Fecha==fecha,['Ux', 'Uy', 'Uz']])
543     inter = nd(lat, lon, altura)
544
545     assert not np.isnan(inter).any()
546     return inter
547
548 def altura2eta(self, lat, lon, eta, offset):
549     return eta*(np.max(self.interpCoord_int[:,2])*0.9-self.altura_ter(lat,lon)-offset)+self.altura_ter(lat,lon)+offset
550
551 def actualiza_malla_puente(self, malla_puente, offset=0):
552     aux=pd.DataFrame(malla_puente, columns=['Lat', 'Lon', 'Eta'])
553     aux['Altura'] = self.altura2eta(aux.Lat, aux.Lon, aux.Eta, offset)
554     self.malla_puente = aux
555     return self.malla_puente
556
557 def pinta_mp (self):
558     dum = self.full_data.Fecha.unique()[0]
559     plt.figure(figsize=(10,10))
560     plt.plot(self.full_data.loc[self.full_data.Fecha==dum,['Lon']].to_numpy(),
561              self.full_data.loc[self.full_data.Fecha==dum,['Lat']].to_numpy(), '.')
562
563     plt.plot(self.malla_puente.iloc[:,1], self.malla_puente.iloc[:,0], '.');
564     plt.legend(['CFD', 'Malla puente'], loc='lower right')
565     plt.xlabel('Longitud')
566     plt.ylabel('Latitud')
567
568 def interpola_a_mp(self, col_int, parallel=True):
569     """
570     Interpolamos las columnas de self.full_data a la
571     malla puente.
572     Opcion para lanzar esta interpolacion en paralelo
573     """
574
575     dum = self.full_data.Fecha.unique()[0]
576     tri_aux = Delaunay(self.full_data.loc[self.full_data.Fecha==dum,
577                                         ['Lat',
578                                         'Lon',
579                                         'Altura']].to_numpy())
580
581     dic_list = []
582     resultadicos = []
583     for dum in self.full_data.Fecha.unique():
584         dic = {}
585         dic['tri'] = tri_aux
586         dic['points'] = self.malla_puente.loc[:,['Lat',
587                                                 'Lon',
588                                                 'Altura']]
589         dic['values'] = self.full_data.loc[self.full_data.Fecha==dum,
590                                             col_int].to_numpy()
591         dic['fecha'] = dum
592
593         if parallel:
594             dic_list.append(dic)
595         else:
596             resultadicos.append(interpola_aux(dic))
597
598     if parallel:
599         pool = mp.Pool(processes=mp.cpu_count()-1)
600         resultadicos = pool.map(interpola_aux, dic_list)
601
602     self.interpAmp = dict((key,d[key]) for d in resultadicos for key in d)
603     return self.interpAmp
604
605 def dame_full_data_mp(self, df_var, columns, parallel):

```

```

606     full_data_mp = pd.DataFrame([])
607
608     # --- Agnadimos valores interpolados ---
609
610     self.interpola_a_mp(columns, parallel)
611
612     for kk in np.arange(len(columns)):
613         aux1 = None
614         for dum in self.full_data.Fecha.unique():
615             assert self.interpAmp[dum].shape[1] == len(columns)
616
617             if (aux1 is None):
618                 aux1 = self.interpAmp[dum][:,kk]
619
620             else:
621                 aux1 = np.append(aux1,
622                                 self.interpAmp[dum][:,kk])
623
624     full_data_mp[columns[kk]] = aux1
625
626     # --- FIN valores interpolados ---
627
628     # --- Agnadimos las coordenadas de la mp
629
630     for kk in np.arange(self.malla_puente.shape[1]):
631         aux1 = np.tile(self.malla_puente.to_numpy()[:,kk],
632                         len(self.full_data.Fecha.unique()))
633
634         full_data_mp[self.malla_puente.columns[kk]] = aux1
635
636
637     # --- FIN Agnadimos las coordenadas de la mp
638
639     #       --- Agnadimos variables fijas para la mp y para cada fecha ---
640
641     rep = self.malla_puente.shape[0]
642     aa = df_var.columns[1:].to_list()
643     aa.append(df_var.columns[0])
644
645     for col in aa:
646         aux1 = None
647         for dum in self.full_data.Fecha.unique():
648             if (aux1 is None):
649                 aux1 = np.repeat(df_var.loc[df_var.Fecha==dum, col], rep)
650             else:
651                 aux1 = np.append(aux1,
652                                 np.repeat(df_var.loc[df_var.Fecha==dum, col], rep))
653
654     full_data_mp[col] = aux1
655
656     #       --- FIN variables fijas para la mp y para cada fecha ---
657
658
659     self.full_data_mp = full_data_mp
660     return full_data_mp
661

```

B.3. Selección de eventos significativos

La implementación en Python que se ha realizado para la selección de eventos significativos se adjunta a continuación.

```

1 #!/usr/bin/env python
2 # coding: utf-8
3
4 # Este programa intenta determinar los instantes representativos de un punto en una simulacion de wrf,
5 # a partir, basicamente, de velocidades y direcciones mas frecuentes del viento
6
7 import subprocess
8 import os
9 import inspect
10 import sys
11
12 if sys.version_info[0] == 2:
13     os.environ['PROJ_LIB'] = ('/home/jmilla/anaconda2/pkgs/'
14                             +'proj4-5.2.0-he1b5a44_1004/share/proj')
15 elif sys.version_info[0] == 3:
16     os.environ['PROJ_LIB'] = '/home/jmilla/anaconda3/share/proj'
17 else:
18     raise Exception("Version de Python: "+str(sys.version_info[0]))
19
20 # Para poder abrir muchos ficheros
21 import resource
22 soft, hard = resource.getrlimit(resource.RLIMIT_NOFILE)
23 resource.setrlimit(resource.RLIMIT_NOFILE, (hard, hard))
24
25 import numpy as np
26 import pandas as pd
27 import time
28
29 import matplotlib.pyplot as plt
30 import matplotlib.cm as cm
31

```

```

32  from netCDF4 import Dataset
33
34  import mpl_toolkits.basemap
35  from mpl_toolkits.basemap import Basemap
36
37  from wrf import getvar, get_basemap, geo_bounds, ALL_TIMES, to_np, rh, disable_xarray
38  from wrf import xy_to_ll, ll_to_xy, vertcross, CoordPair, interplevel
39
40  from windrose import WindroseAxes
41
42  # Control de tiempos
43  inicio_analisis=time.time()
44
45  # Las cinco primeras variables se pueden leer de un archivo llamado Variables.txt si lee_archivo=1
46  lee_archivo=1
47
48  # Los ***** marcan los parametros de ajuste del programa, se puede editar lo que este dentro de ellos,
49  # no el nombre de las variables, pero si su contenido
50
51  # ****EDITABLE*****
52
53  # Ruta de los datos de los que se saca la estadistica
54  files = ["/home/jmilla/wrf/Domains/AllDates/wrfout_d04_"]
55
56  # Ruta del directorio en el que se guardaran los resultados del analisis
57  ruta_save_fig="/home/jmilla/Windows/Curso_2019-2020/TFM/Script_AnalizaEstadistica/Resultados"
58  # Ruta del directorio en el que se guardaran los .csv de cada evento escogido
59  # (Ojo, en cada ejecucion del programa borrara los .csv que se encuentre en el directorio especificado)
60  ruta_save_csv="/home/jmilla/Windows/Curso_2019-2020/TFM/Script_AnalizaEstadistica/CSV"
61
62  # Se especifica la fecha inicial y final de los datos del analisis (o un rango de fechas contenido en los datos WRF)
63  ini="2018-05-20T00"
64  fin="2018-06-03T00"
65
66  # Se puede pedir una lat,long especificas, pero para evitar que se salga del dominio, default es el punto central
67  # Para especificar lat y long, establecer un valor diferente a 999, aunque se recomienda no tocarlo, ya que no se
68  # interpolan, se coge un punto de la malla.
69  lat_s=42.7
70  lon_s=-0.36
71
72  # Altura de interpolacion (en m) de los datos, en esta altura se evaluara
73  # la frecuencia del modulo y direccion del viento
74  altura_interpol=50.0
75
76  # string que se pone delante del nombre de los productos del analisis, para diferenciarlos
77  NUM_test=str(altura_interpol)+"m_"
78
79  # Numero de bins de velocidad, que tendra la rosa de los vientos
80  n_bins=10
81  # vel minima permitida para los eventos
82  vel_min = 2
83
84  # Numero de direcciones que tendra la rosa de los vientos
85  n_direcc=64
86
87  # Numero maximo total de eventos significativos que se quieren determinar
88  # (finalmente se puede llegar a un numero inferior de eventos)
89  n_events=150
90  # n_events que seran eventos significativos extremos
91  n_events_extz=64
92
93  # ****FIN_EDITABLE****
94  dir_section = 360.0/n_direcc
95
96  if (lee_archivo):
97      f=open(os.path.dirname(os.path.abspath(inspect.getfile(inspect.currentframe())))
98          +"Variables.txt","r")
99      leido=f.readlines()
100     f.close()
101     ini=str(leido[4][5:-1]).replace("\n","");
102     fin=str(leido[5][5:-1]).replace("\n","");
103     files=[str(leido[7][8:-3])]
104     ruta_save_fig=str(leido[9][15:-2])
105     ruta_save_csv=str(leido[12][15:-2])
106     print(ini,fin)
107     print(files)
108     print(ruta_save_fig)
109
110    # Creamos la carpeta, si no esta creada, donde se guarda el resultado del analisis
111    try:
112        os.makedirs(ruta_save_fig)
113    except OSError:
114        if not os.path.isdir(ruta_save_fig):
115            raise
116    ruta_save_fig=ruta_save_fig+"/"
117
118
119    # Para datos de wrf de varias horas (en diferentes archivos), esta funcion los va cogiendo todos
120    # y los agrupa en un unico dataset, que agrupa todos los datos para todas las horas de la simulacion
121    def ruta_datos (files):
122        date_ini=np.datetime64(ini,"h")
123        date_fin=np.datetime64(fin,"h")
124        dates_aux=np.arange(date_ini,date_fin+1,dtype="datetime64[h]")
125
126        d1=[]
127        data_name=[]
128        dates=[]
129        for i in np.arange(0,len(dates_aux),1):
130            dates.append(str(dates_aux[i]).replace("T","_").replace(":", ""))

```

```

131         .replace("[", "").replace("]", "") + ":00:00")
132     data_name.append(files+dates[i])
133     d1=np.append(d1, Dataset(files+dates[i]))
134
135
136 print(files[0])
137 d1=ruta_datos(files[0])
138 print(files[0].split("/")[-len(files[0].split("/"))-2])
139
140 Times=getvar(d1, "Times", timeidx=ALL_TIMES)
141 Times=np.arange(to_np(Times[0]),to_np(Times[len(d1)-1]),dtype='datetime64[h]')
142 Times=np.append(Times,Times[len(Times)-1]+1)
143
144 # Si no se ha especificado lat y lon, coge el punto central
145 if (lat_s==999):
146     lat=d1[0].CEN_LAT
147 else:
148     lat=lat_s
149
150 if (lon_s==999):
151     lon=d1[0].CEN_LON
152 else:
153     lon=lon_s
154
155 lats_zz = getvar(d1, "lat", timeidx=0)
156 lons_zz = getvar(d1, "lon", timeidx=0)
157 bm_zz = get_basemap(lats_zz)
158 dummy1 = np.array(bm_zz(to_np(lats_zz), to_np(lons_zz)))
159 dummy2 = np.array(bm_zz(lat, lon))
160
161 x, y = np.unravel_index(np.argmin((dummy1[0]-dummy2[0])**2
162                                     +(dummy1[1]-dummy2[1])**2),
163                         dummy1[0].shape)
164
165 print("SOLICITADOS\tLatitud=% .4f Longitud=% .4f"%(lat,lon))
166 (lat_u,lon_u)=(lats_zz[x,y], lons_zz[x,y])
167 print("EMPLEADOS\tLatitud=% .4f Longitud=% .4f"%(lat_u,lon_u))
168
169 print(x,y)
170
171
172 # Obtenemos diferentes variables del wrf
173
174 # # Altura de cada punto de la grid
175 print("\z_agl")
176 z_agl = to_np(getvar(d1, "height_agl", timeidx=ALL_TIMES)[:, :, :, x, y])
177 print(z_agl.shape)
178
179 # Direccion y modulo del viento
180 print("vdir")
181 vdir=to_np(getvar(d1,"uvmet_wspd_wdir",timeidx=ALL_TIMES)[:, :, :, x, y])
182
183 velocidades=vdir[0]
184 print(velocidades.shape)
185 direcc=vdir[1]
186 print(direcc.shape)
187
188 # vel_interp = interplevel(velocidades, z_agl, altura_interp)
189 vel_interp = []
190 dir_interp = []
191 for alt, vel, a_dir in zip(z_agl, velocidades, direcc):
192     vel_interp = np.append(vel_interp,
193                           np.interp(altura_interp, alt, vel))
194     dir_interp = np.append(dir_interp,
195                           np.interp(altura_interp, alt, a_dir))
196 assert not np.isnan(vel_interp).all()
197 assert not np.isnan(dir_interp).all()
198 del velocidades
199 del direcc
200 del z_agl
201 del vdir
202
203 df_interp = pd.DataFrame(np.array([vel_interp, dir_interp]).transpose(),
204                           columns=['Vel', 'Dir'])
205 df_interp.drop(df_interp.loc[df_interp.Vel<vel_min].index, inplace=True)
206
207 # Saca la rosa de los vientos y el histograma de direcciones, en el punto especificado y para
208 # la altura de interpolacion dada
209 # Ademas recoge en variables esta informacion para su posterior uso
210
211 # Rosa de los vientos
212 ax = WindroseAxes.from_ax()
213 ax.bar(df_interp.Dir, df_interp.Vel, normed=0, opening=0.8,
214         bins=n_bins, edgecolor="black", cmap=cm.Blues, nsector=n_direcc)
215 ax.tick_params(axis='both', which='major', labelsize=20)
216 ax.set_legend()
217 ax.legend(loc=2, frameon=1, bbox_to_anchor=(1.1, 1), fontsize=20)
218 plt.savefig(ruta_save_fig+NUM_test+"Wind_rose.png"), bbox_inches='tight'
219
220 table = ax._info['table']
221 wd_freq = np.sum(table, axis=0)
222 bins=ax._info["bins"]
223
224 fig, ax = plt.subplots(figsize=(10,5))
225
226 # Histograma
227 width=5
228 idn=np.linspace(0.0,width*n_direcc,n_direcc)
229 ax.bar(idn, wd_freq, width=width)

```

```

230 | xticks=idn+width*0.5
231 | ax.set_xticks(xticks)
232 | ax.grid()
233 | plt.savefig((ruta_save_fig+NUM_test+"Wind_rose_hist.png"), bbox_inches='tight')
234 |
235 | def print_hist_dir(aux_dir):
236 |     # Histograma
237 |     fig, ax = plt.subplots(figsize=(10,5))
238 |     width=5
239 |     idn=np.linspace(0.0,width*n_bins,n_bins)
240 |     ax.bar(idn, table[:,aux_dir], width=width)
241 |     xticks=idn+width*0.5-width
242 |     ax.set_xticks(xticks)
243 |     ax.set_xticklabels(np.round(bins,2)[0:-1].astype(str))
244 |
245 |     plt.xlabel('Velocidad [m/s]')
246 |     plt.ylabel('Frecuencia')
247 |     plt.title('Direccion %6.2f'%(aux_dir*dir_section))
248 |
249 |     ax.grid()
250 |
251 | def dame_TimeID(v_min, v_max, d_min, d_max):
252 |     """
253 |     Devuelve los indices temporales de aquellos instantes
254 |     que tengan velocidad entre v_max y v_min y direccion entre d_max y d_min
255 |     """
256 |
257 |     assert d_max > 0
258 |
259 |     if d_min>360:
260 |         d_min = d_min - (d_min//360)*360
261 |     if d_max>360:
262 |         d_max = d_max - (d_max//360)*360
263 |
264 |     if d_min<0:
265 |         d_min = 360 + d_min
266 |     indx1 = dame_TimeID(v_min, v_max, d_min, 360)
267 |     indx2 = dame_TimeID(v_min, v_max, 0, d_max)
268 |
269 |     return np.append(indx1, indx2)
270 |
271 |     indx = df_interp.loc[(df_interp.Vel>=v_min)&
272 |                           (df_interp.Vel<v_max)&
273 |                           (df_interp.Dir>=d_min)&
274 |                           (df_interp.Dir<d_max)].index.to_numpy()
275 |
276 |     return indx
277 |
278 | def decide_Evento(indx, maxi=False):
279 |     """
280 |     De las velocidades que se le pasa se queda con la mayor si maxi=True
281 |     si maxi=False se queda con la intermedia
282 |
283 |     Devuelve un array, si indx es empty devuelve un array vacio
284 |     """
285 |
286 |     if len(indx) == 0:
287 |         return np.array([])
288 |     aux = df_interp.loc[indx].Vel.sort_values()
289 |     if maxi:
290 |         return aux.index[-1]
291 |     else:
292 |         return aux.index[int(len(aux)/2)]
293 |
294 | def escoge_EventExt():
295 |     sele = []
296 |     for dd in np.argsort(-wd_freq):
297 |         try:
298 |             a = np.nonzero(table[:,dd])[-1][-1]
299 |         except IndexError:
300 |             continue
301 |         indx = dame_TimeID(bins[a], bins[a+1],
302 |                             (dd-0.5)*dir_section, (dd+0.5)*dir_section)
303 |         sele = np.append(sele, decide_Evento(indx, maxi=True))
304 |
305 |         if len(sele)>=int(n_events_ext):
306 |             break
307 |
308 |     return sele.astype(int)
309 |
310 | selecc_ext = escoge_EventExt()
311 |
312 | def isBin_adyc(list_dir, direc):
313 |     result = True
314 |     if len(list_dir) == 0:
315 |         pass
316 |     else:
317 |         list_dir = np.array(list_dir)
318 |         result = (np.abs(list_dir-direc)>1).all()
319 |
320 | def escoge_EventFreq(n_each=1):
321 |     sele = []
322 |     for dd in np.arange(0,n_direcc,n_each):
323 |         try:
324 |             a = np.argsort(-table[:,dd])[0]
325 |         except IndexError:
326 |             continue
327 |         indx = dame_TimeID(bins[a], bins[a+1],
328 |                             (dd-0.5)*dir_section, (dd+0.5)*dir_section)

```

```

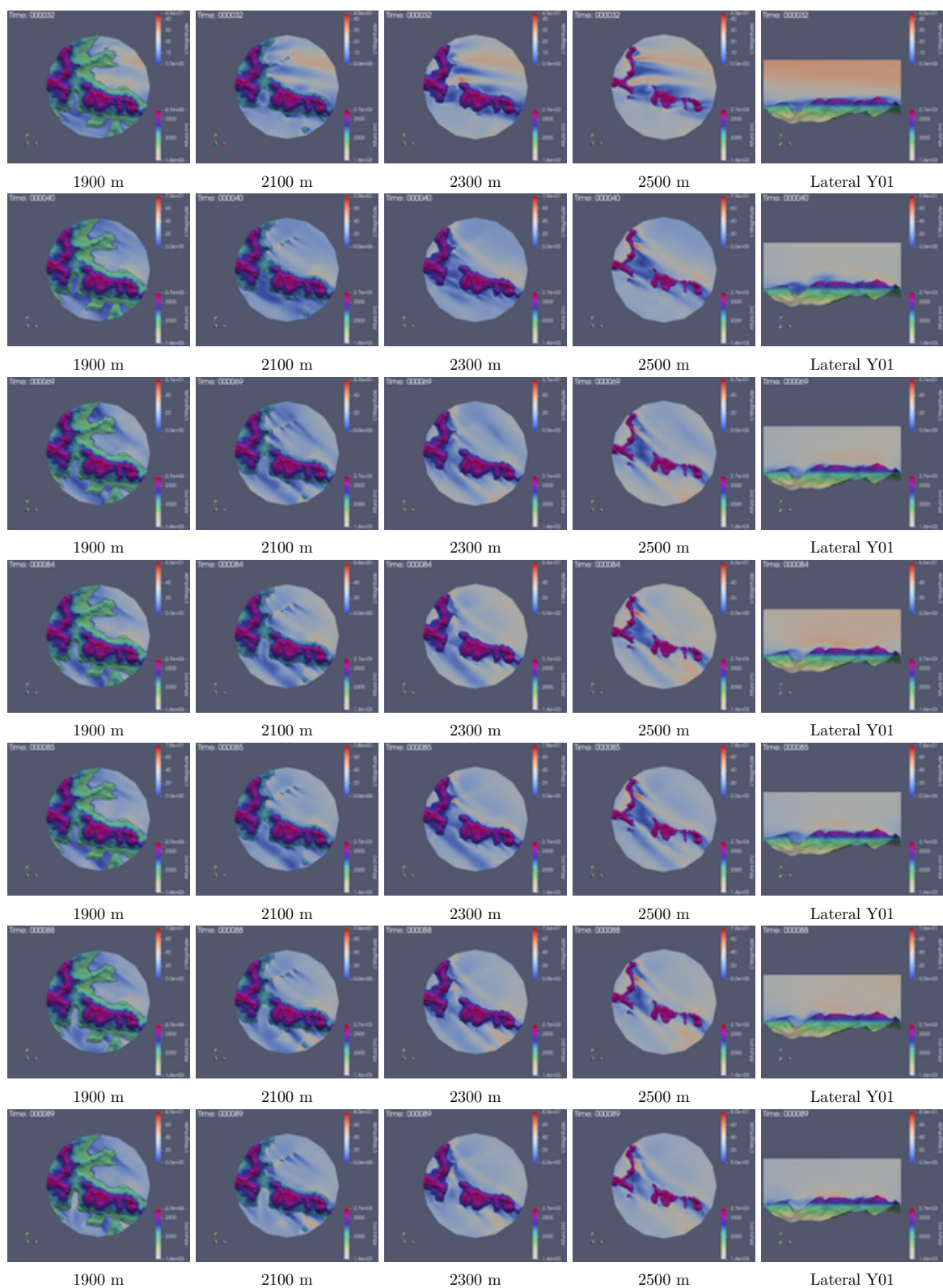
329     sele = np.append(sele, decide_Evento(indx, maxi=True))
330
331     if len(sele)>=int(n_events):
332         break
333
334     return sele.astype(int)
335
336 selecc_freq = escoge_EventFreq()
337
338 def escoge_EventNor():
339     sele = np.arange(0)
340     dir_sele = np.arange(0)
341     vel_sele = np.arange(0)
342     dic = {}
343     for kk in np.arange(-1, n_direcc+1):
344         dic[kk] = np.arange(0)
345     for a in np.argsort(-table, axis=None):
346         kk = a/n_direcc
347         dd = a/n_direcc
348         if (isBin_adyc(dic[dd], kk) |
349             (kk in dic[dd-1]) |
350             (kk in dic[dd+1]) | (table[kk,dd]==0)):
351             continue
352         dic[dd] = np.append(dic[dd], kk)
353         dir_sele = np.append(dir_sele, dd)
354         vel_sele = np.append(vel_sele, kk)
355         indx = dame_TimeID(bins[kk], bins[kk+1],
356                             (dd-0.5)*dir_section, (dd+0.5)*dir_section)
357         sele = np.append(sele, decide_Evento(indx, maxi=False))
358
359     if len(sele)>=int(n_events)-len(selecc_freq):
360         break
361
362     assert len(sele) == len(dir_sele) == len(vel_sele)
363     return sele.astype(int), dir_sele.astype(int), vel_sele.astype(int)
364
365 selecc_nor, a, aa = escoge_EventNor()
366
367 plt.figure(figsize=(10,13))
368 for kk in np.arange(n_bins):
369     plt.scatter(np.repeat(kk, len(np.nonzero(table[kk,:])[0])),
370                 np.nonzero(table[:,kk,:]),
371                 c='orange', marker='s', s=80)
372 plt.scatter(aa, a, marker='o')
373 plt.xticks(fontsize=20)
374 plt.yticks(fontsize=20)
375 plt.xlabel('Vel [bin]', fontsize=20)
376 plt.ylabel('Dir [bin]', fontsize=20)
377 plt.savefig(ruta_save_fig+NUM_test+"VelDirBins_Distr.png", bbox_inches='tight')
378
379 fig = plt.figure(figsize=(10,7))
380 plt.scatter(df_interp.loc[selecc_nor].Vel, df_interp.loc[selecc_nor].Dir,
381             label='normal')
382 plt.scatter(df_interp.loc[selecc_freq].Vel, df_interp.loc[selecc_freq].Dir,
383             marker='x', label='maxFreq')
384 plt.scatter(df_interp.loc[selecc_ext].Vel, df_interp.loc[selecc_ext].Dir,
385             marker='.', label='extreme', )
386
387 plt.xlabel('Vel [m/s]', fontsize=20)
388 plt.ylabel('Dir', fontsize=20)
389 plt.xticks(fontsize=20)
390 plt.yticks(fontsize=20)
391 plt.legend(fontsize=20)
392 plt.savefig(ruta_save_fig+NUM_test+"VelDir_Distr.png", bbox_inches='tight')
393
394 final_selec = pd.DataFrame(np.append(selecc_nor,
395                               np.append(selecc_ext,
396                                         selecc_freq)).drop_duplicates().to_numpy()[:,0]
397
398 with open(ruta_save_fig+"Resumen.txt","w") as outfile:
399     fmt=" - %-50s: %s\n"
400     outfile.write('{:!~34s}'.format(''))
401     outfile.write('{:~35}'.format('\n! RESUMEN ANALISIS ESTADISTICO v2!'))
402     outfile.write('{:~35}'.format('\n'))
403     outfile.write("\n\n")
404
405     outfile.write(fmt%("Fecha ini",ini[:-3]+ "_" +ini[-2:]+":00:00"))
406     outfile.write(fmt%("Fecha fin",fin[:-3]+ "_" +fin[-2:]+":00:00"))
407     outfile.write(fmt%("#Eventos temporales de entrada",len(Times)))
408     outfile.write(fmt%("#Eventos que superan el umbral de %.2f m/s"%vel_min,len(df_interp)))
409     outfile.write(fmt%("#Eventos totales",len(final_selec)))
410     outfile.write(fmt%("Tiempo total proceso","%.2f min"%(time.time()-inicio_analisis)/60.0))
411     outfile.write("ID_evento es el indice temporal de los eventos temporales de entrada\n")
412     outfile.write("\n\n")
413     fmt="%15s %15s %15s\n"
414     outfile.write(fmt%("ID_evento",
415                       "Fecha",
416                       "Velocidad(m/s)",
417                       "Direccion(deg)"))
418
419     for time_id in np.sort(final_selec):
420         outfile.write(fmt%(time_id,Times[time_id],
421                           "%.*f"%df_interp.loc[time_id].Vel,
422                           "%.*f"%df_interp.loc[time_id].Dir))
423
424 np.random.seed(1234)
425 np.random.choice(np.setdiff1d(df_interp.index.to_numpy(), final_selec), 80, replace=False)
426 escoge_EventFreq(n_each=n_direcc//16)

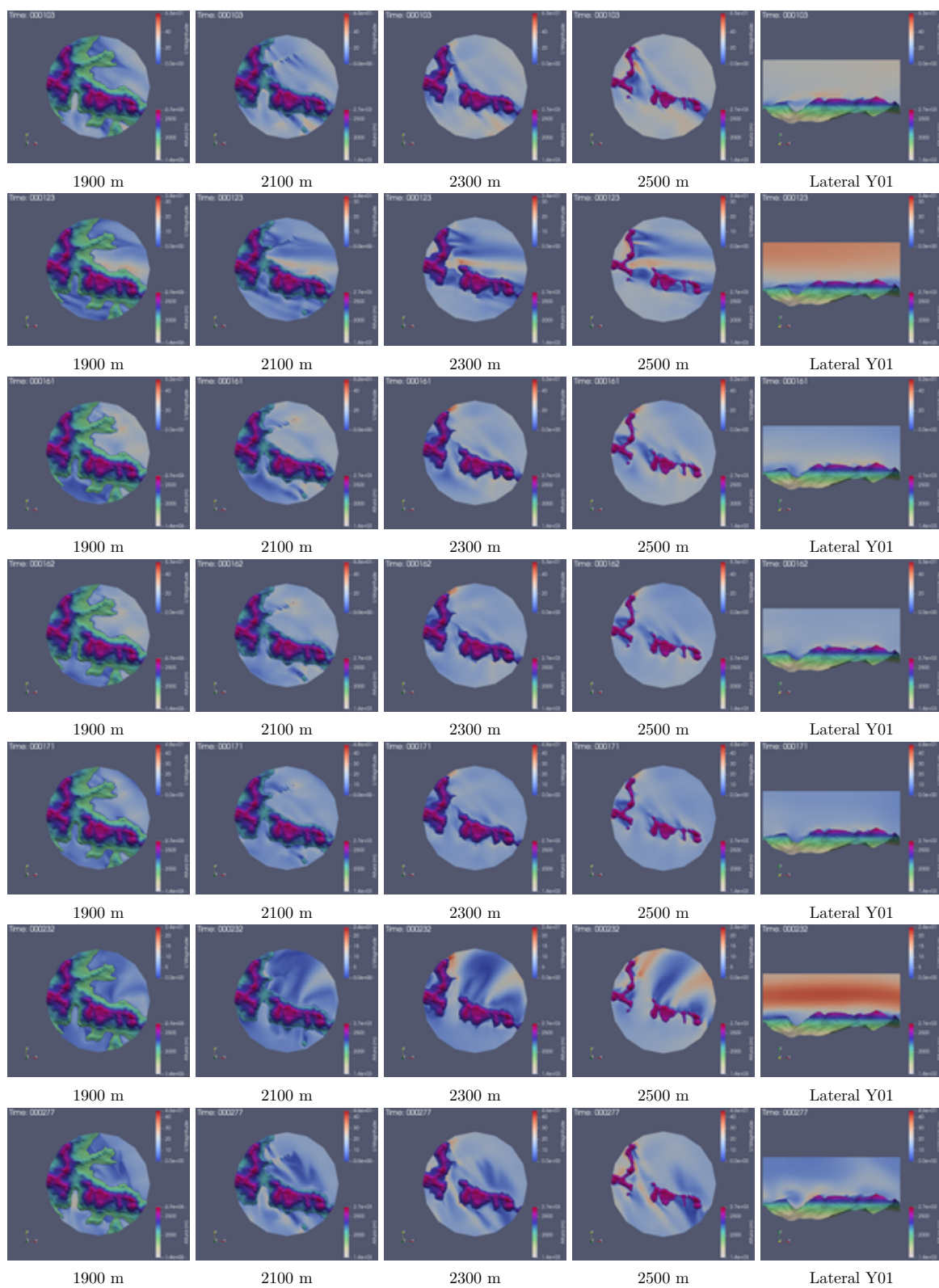
```

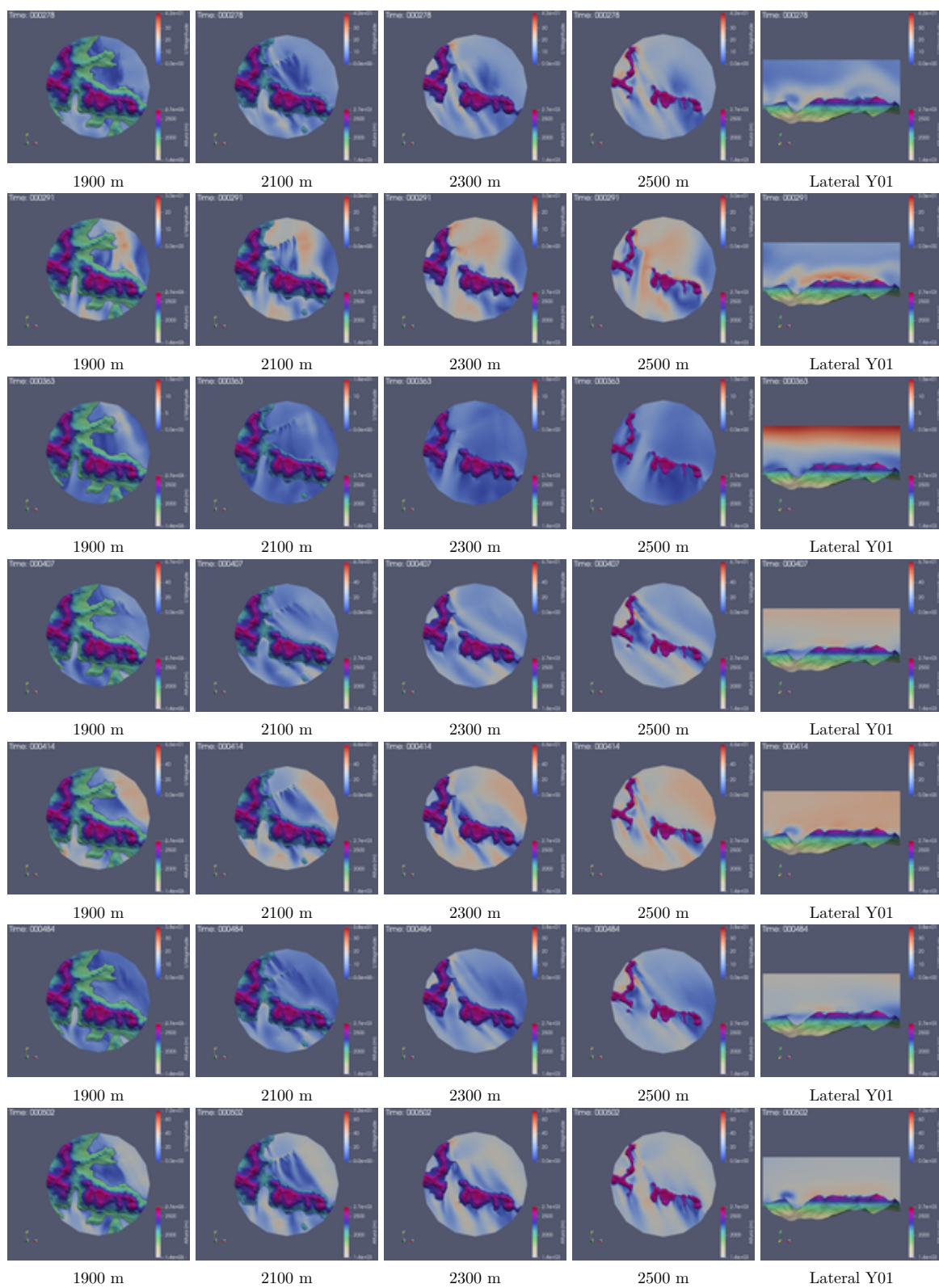
Apéndice C

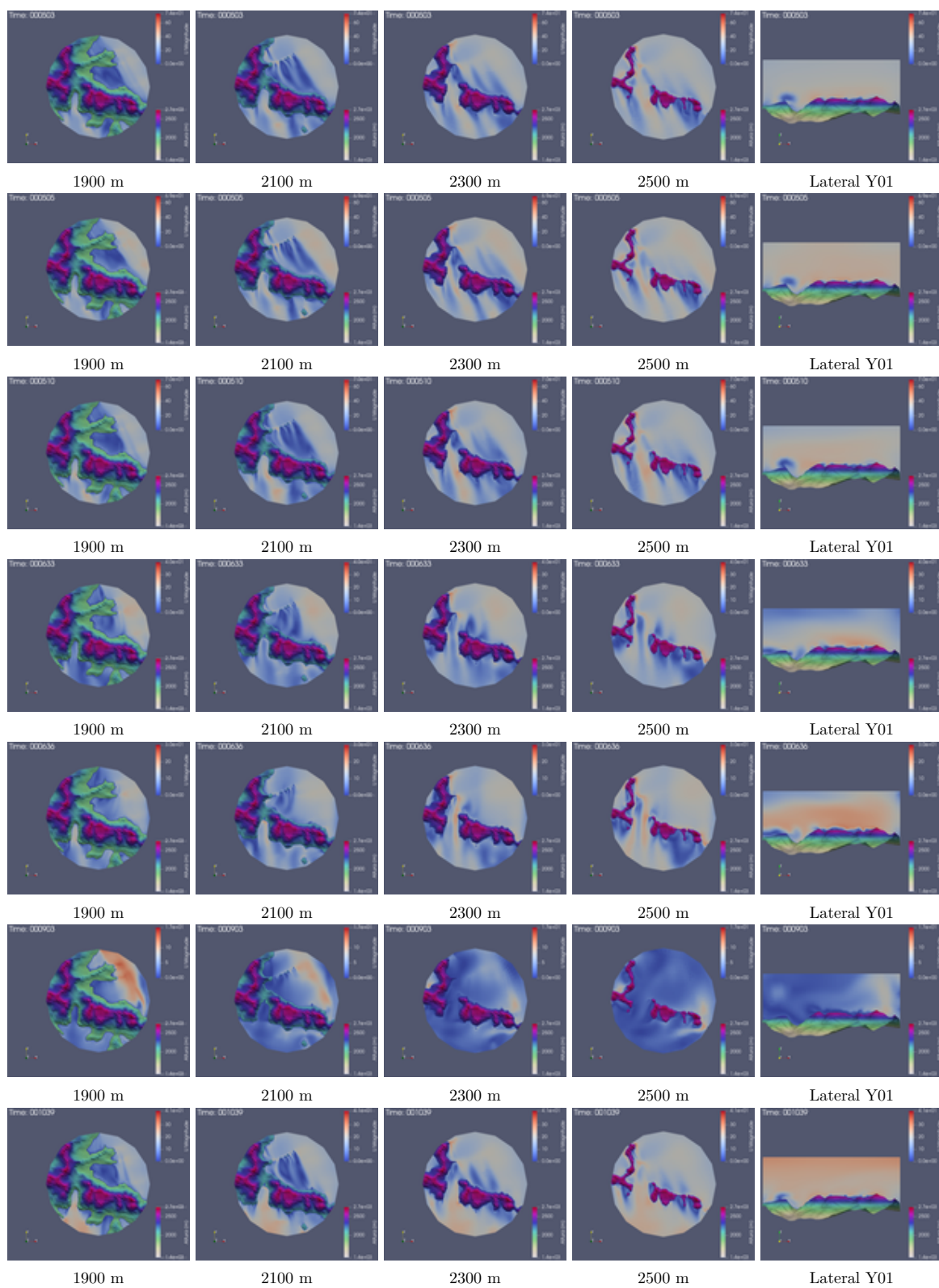
Resultados CFD

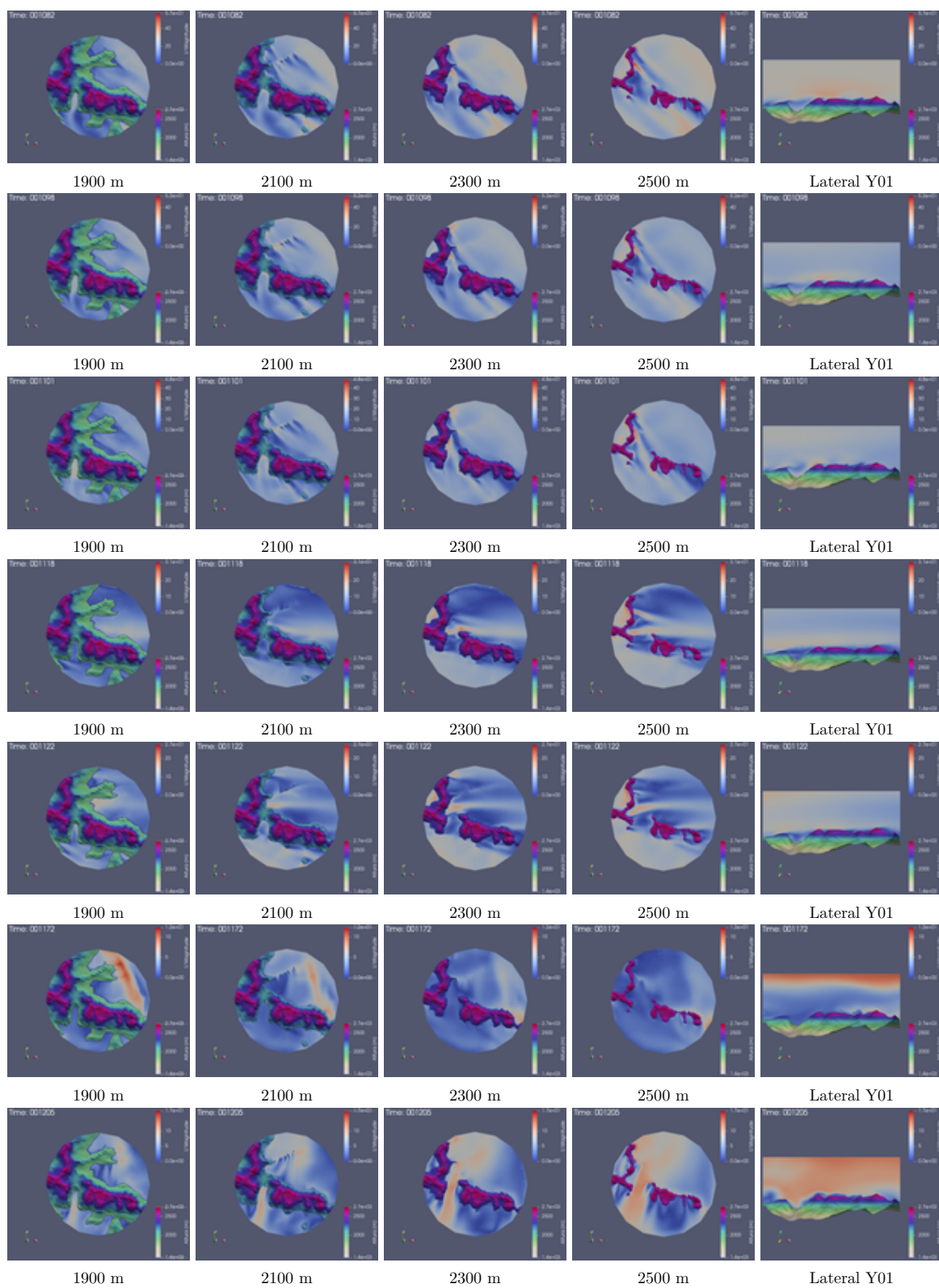
En las siguientes páginas se presentan algunas secciones (horizontales a diferentes alturas y una vertical) de los resultados obtenidos en las simulaciones CFD que se llevan a cabo en este proyecto empleando OpenFOAM (sección 2.2).

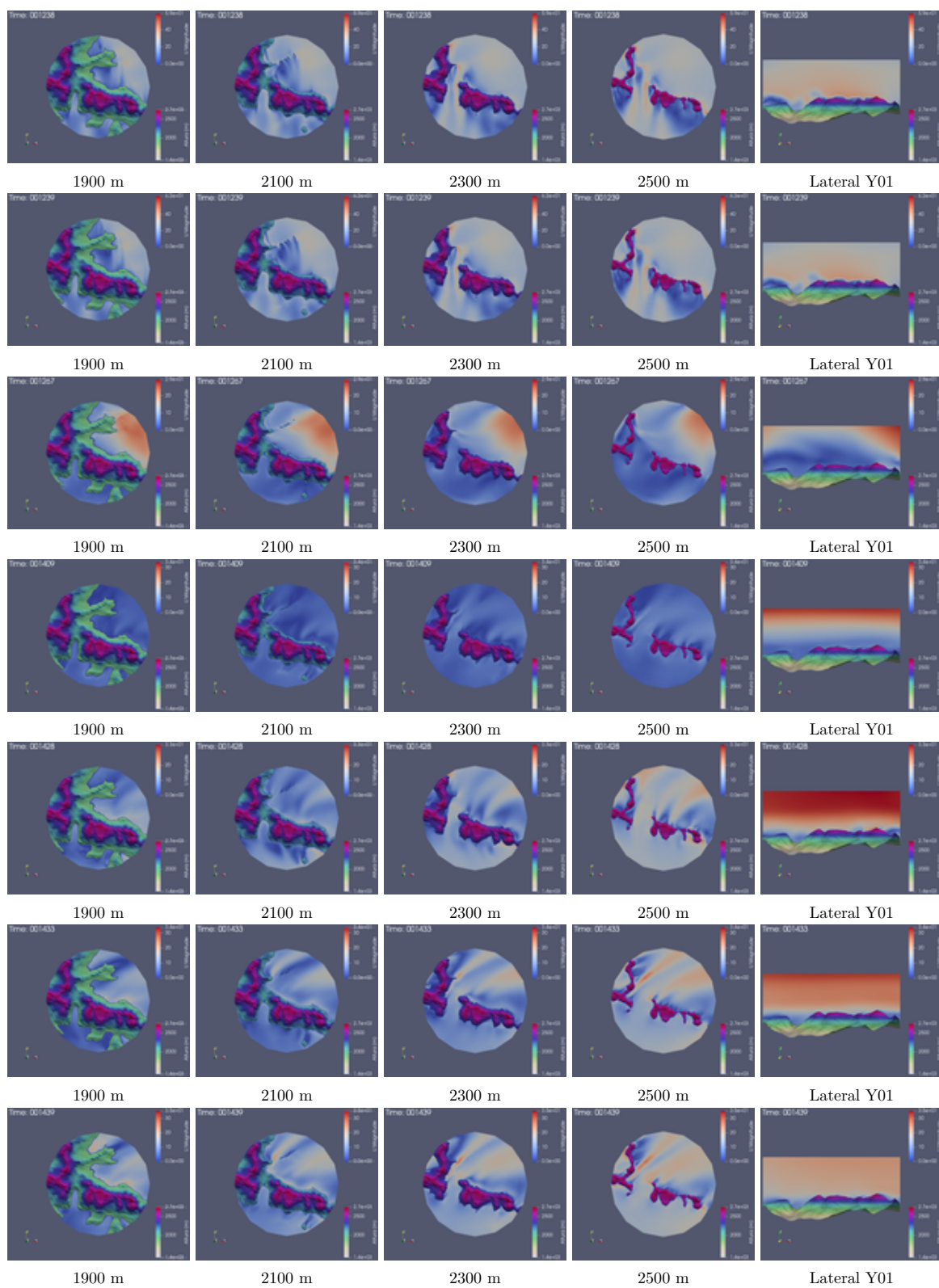


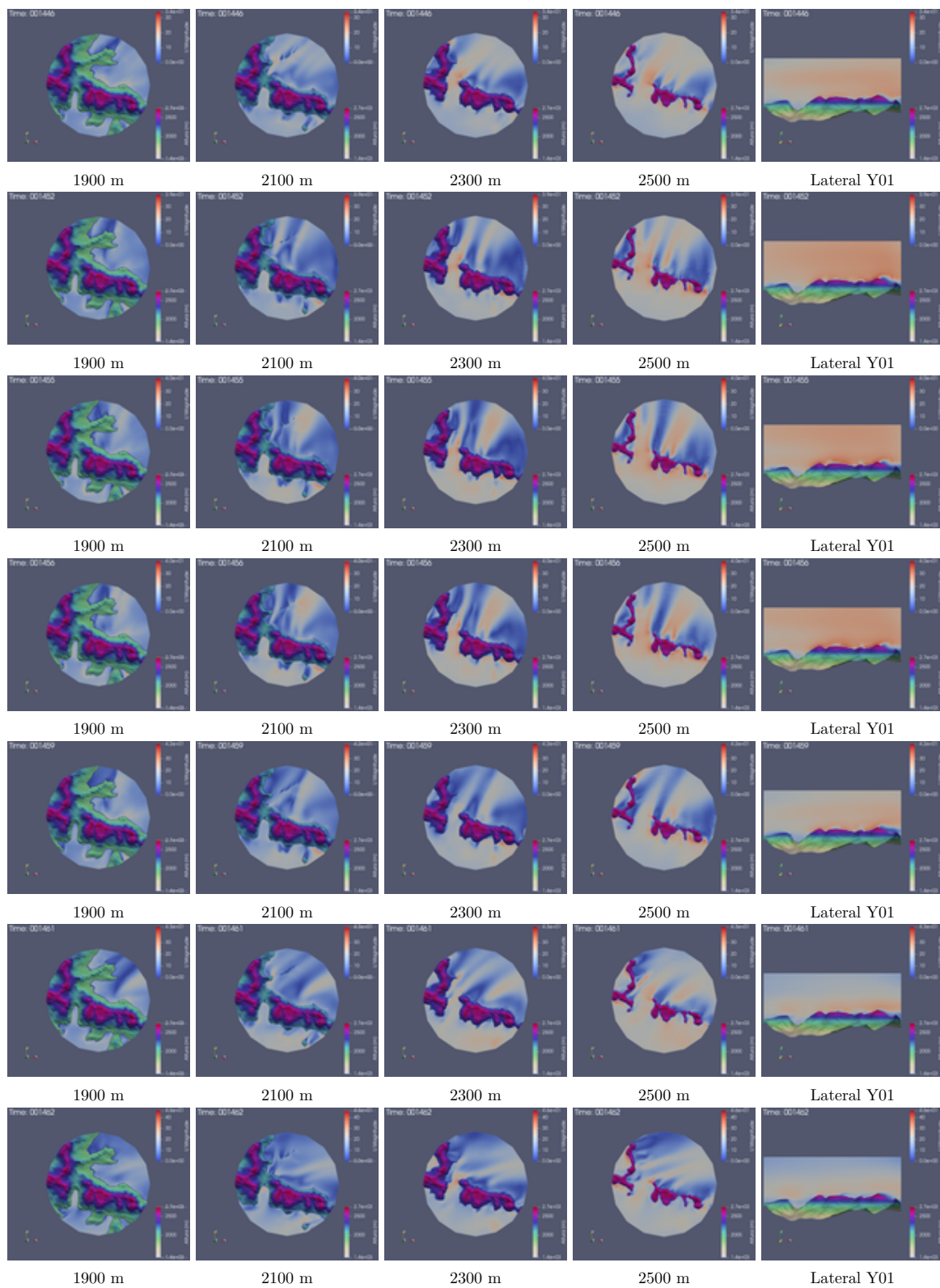


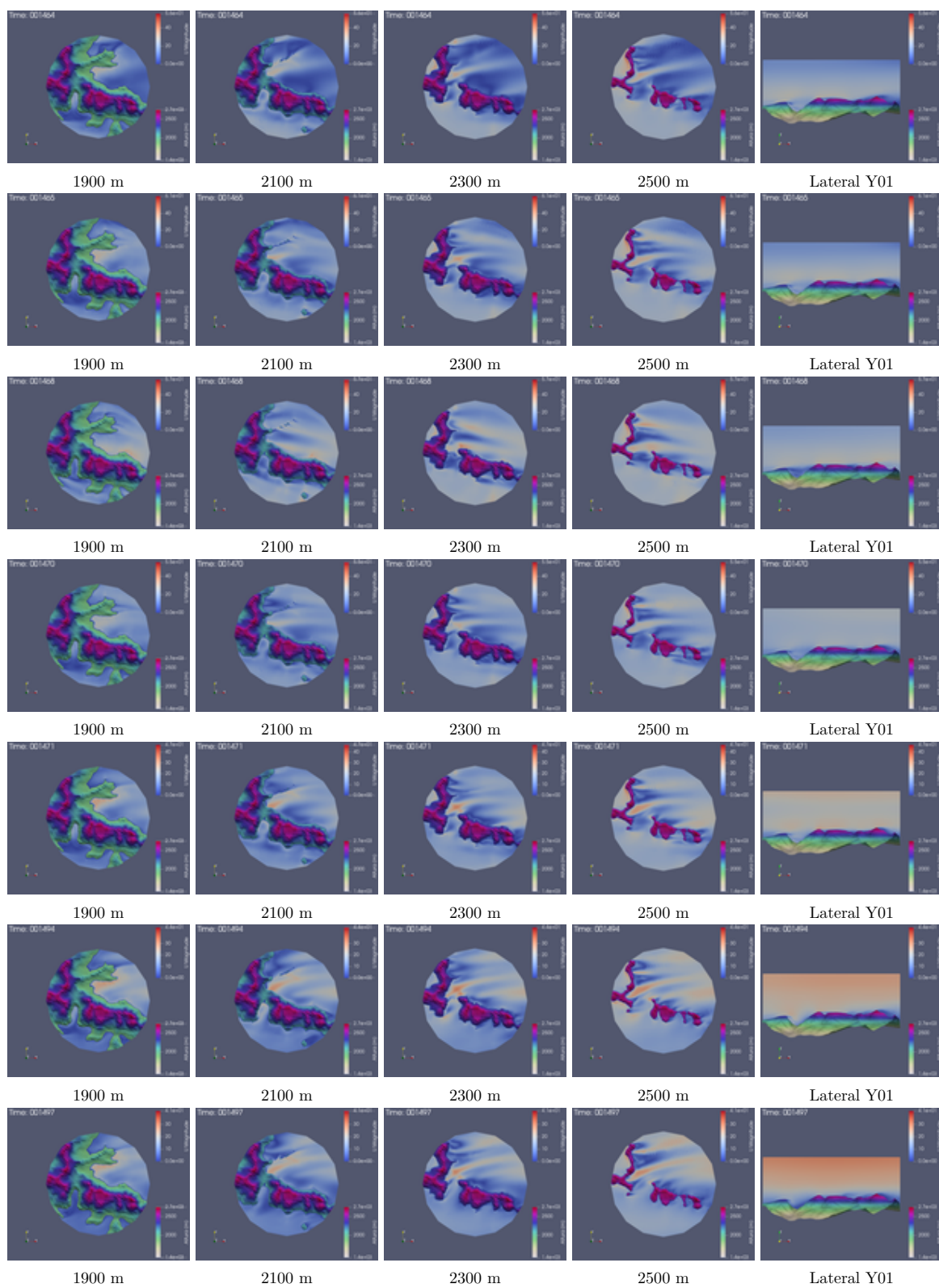


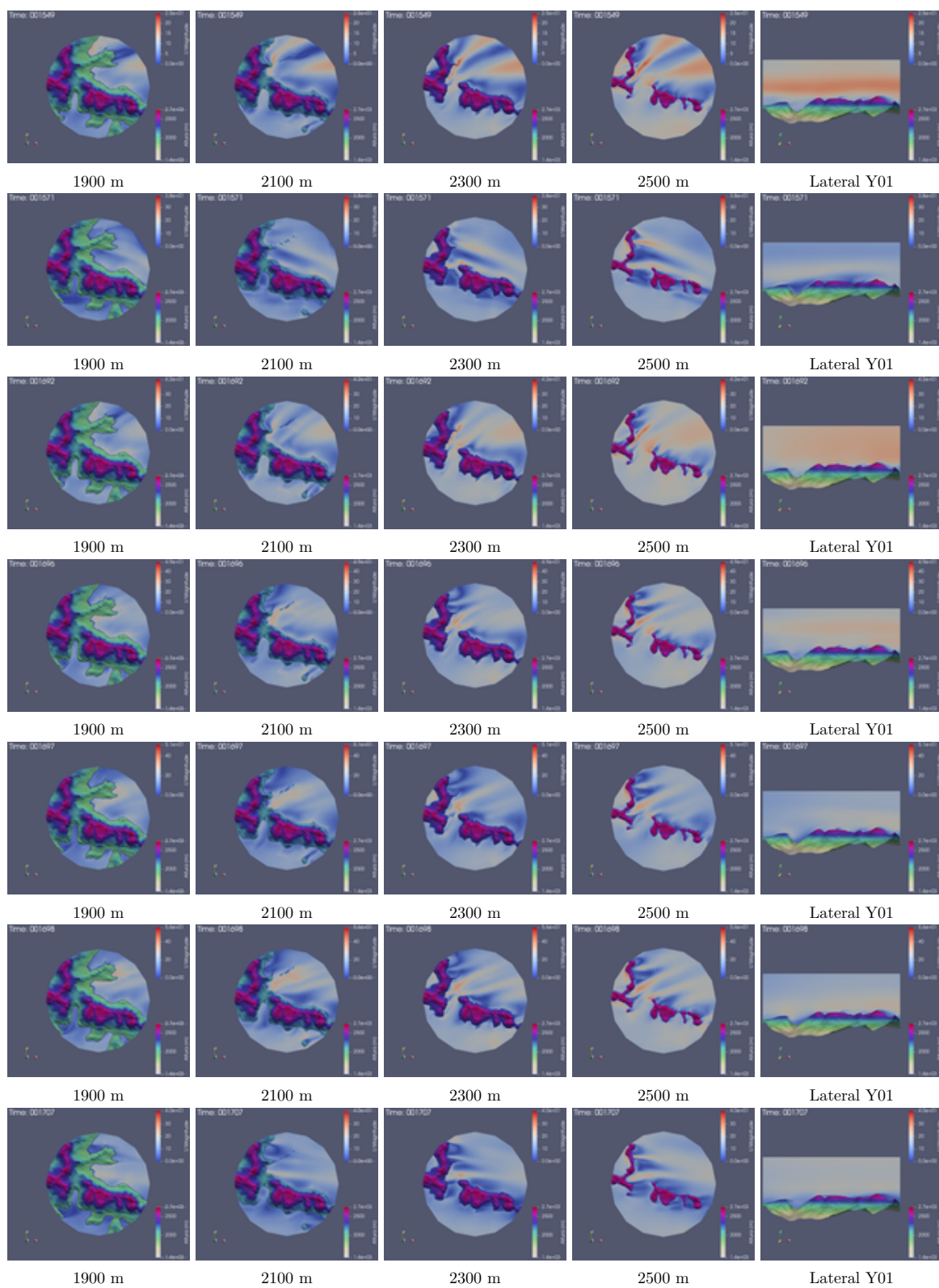


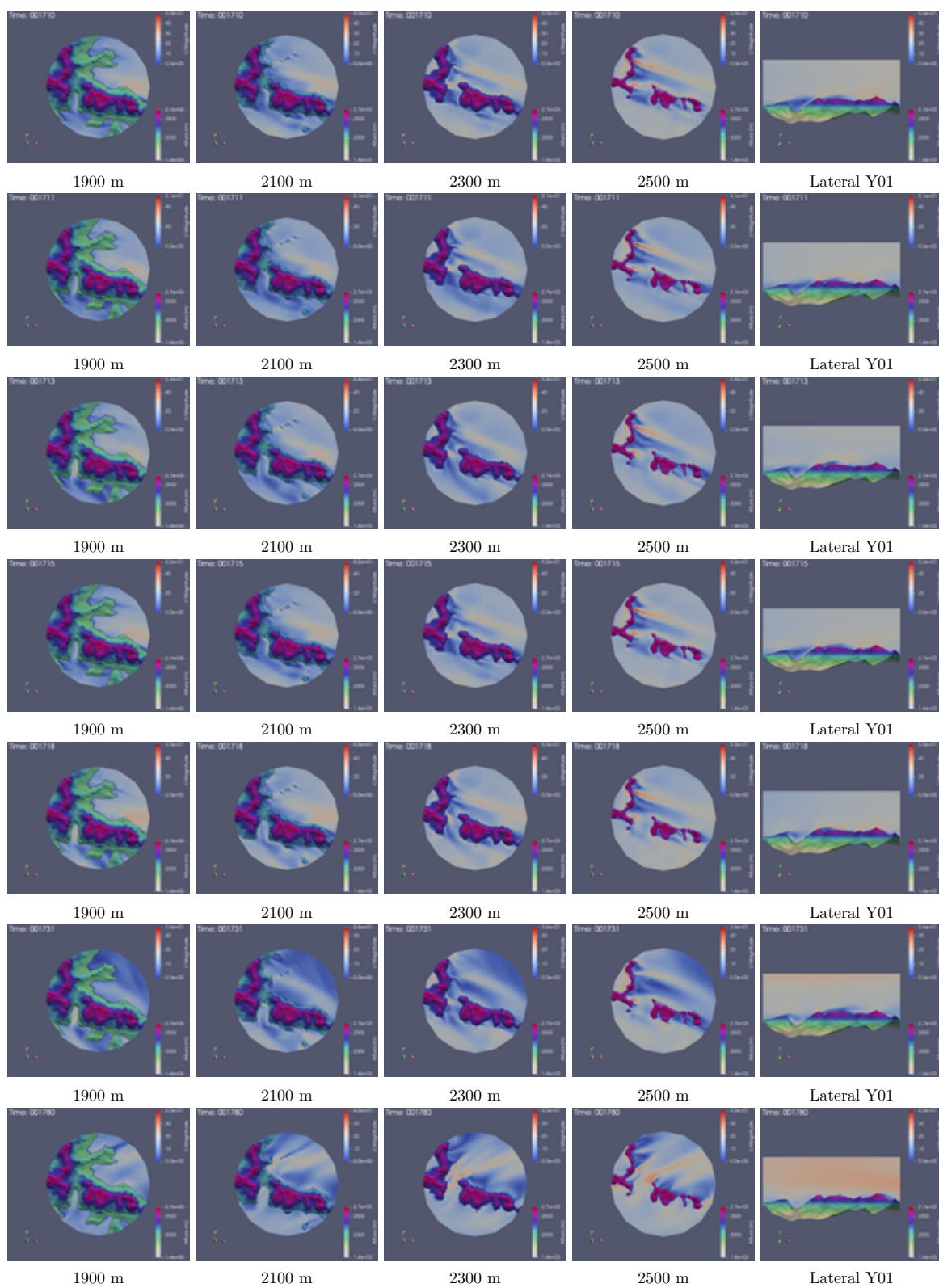


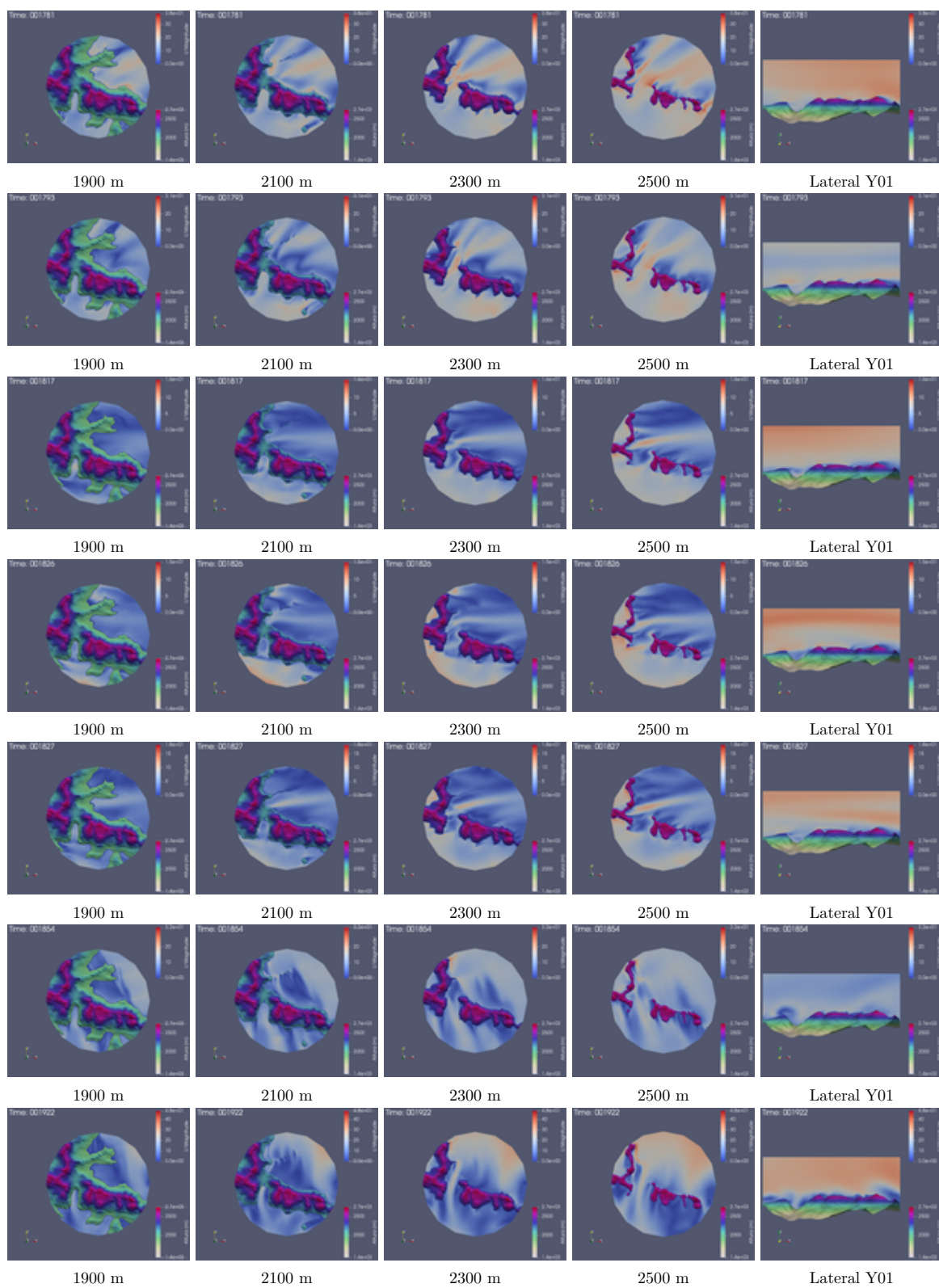


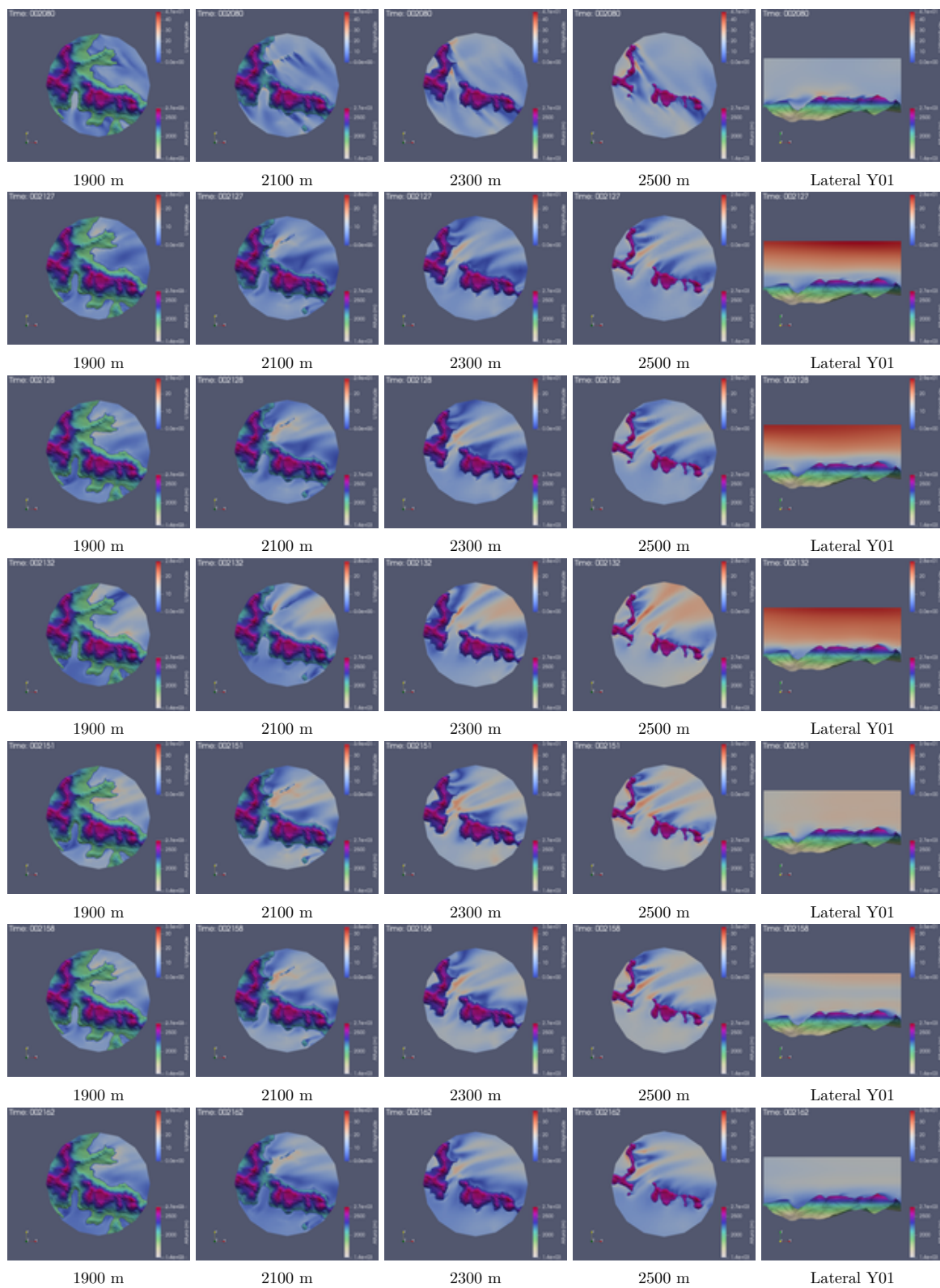


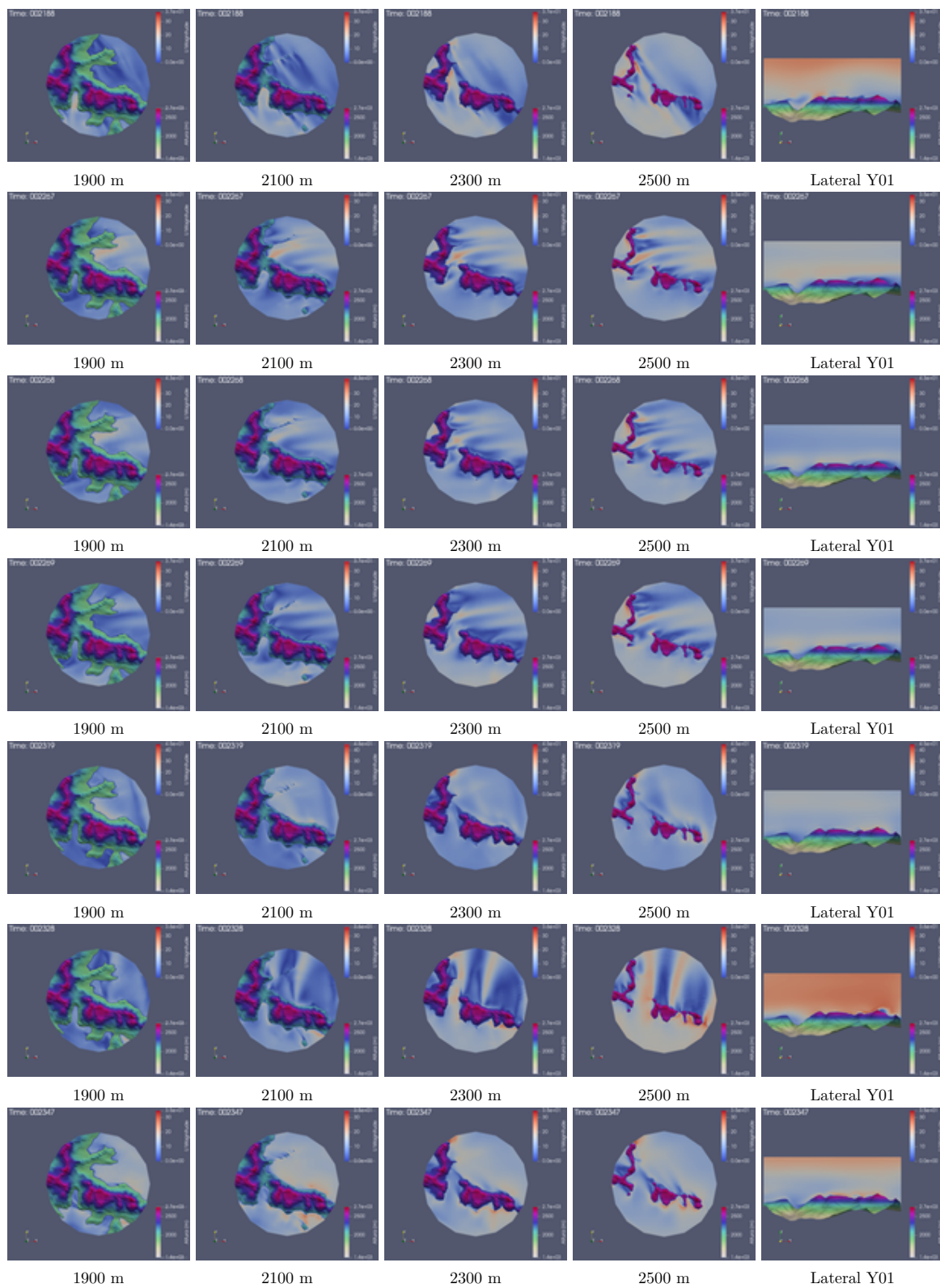


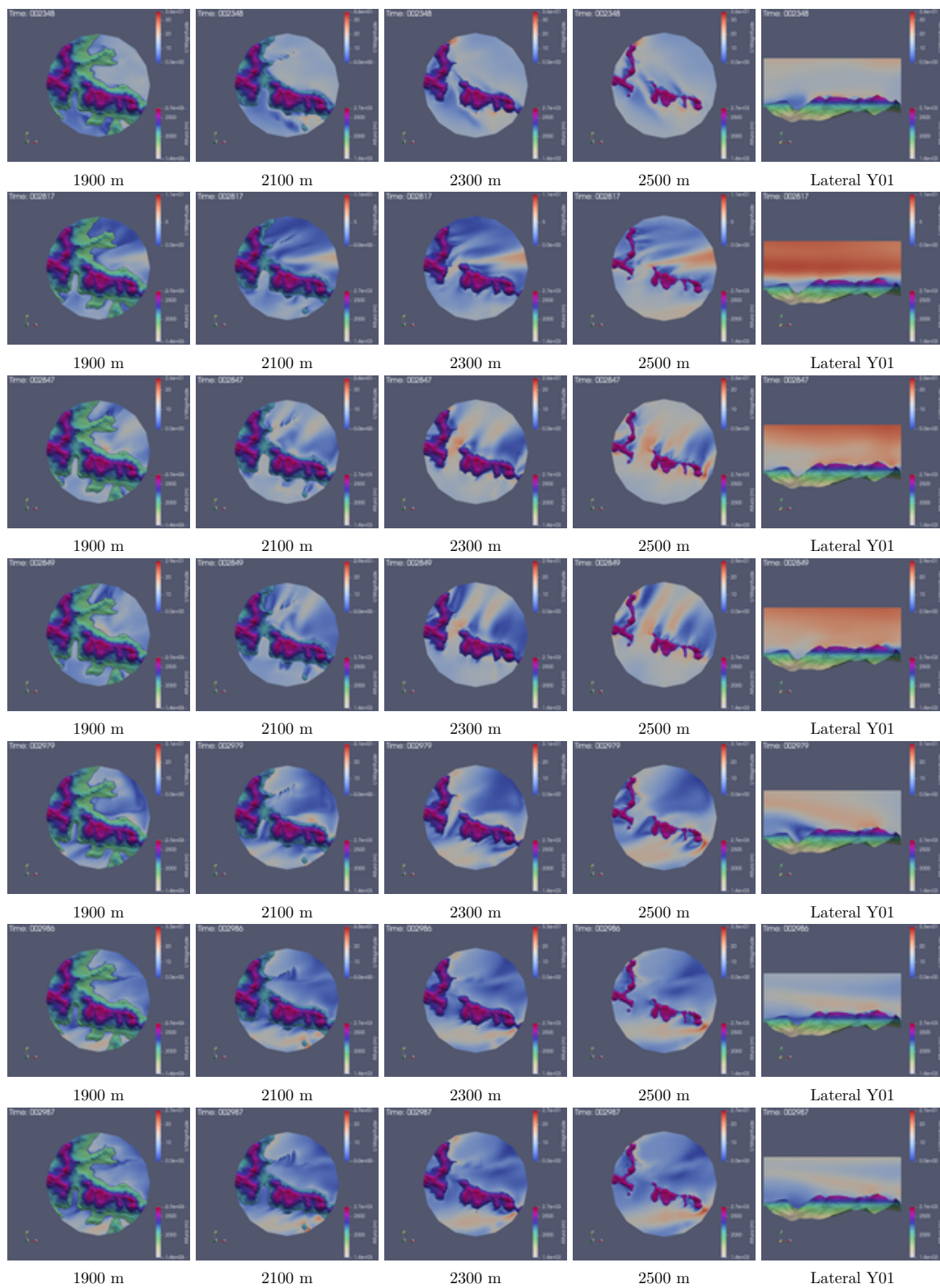


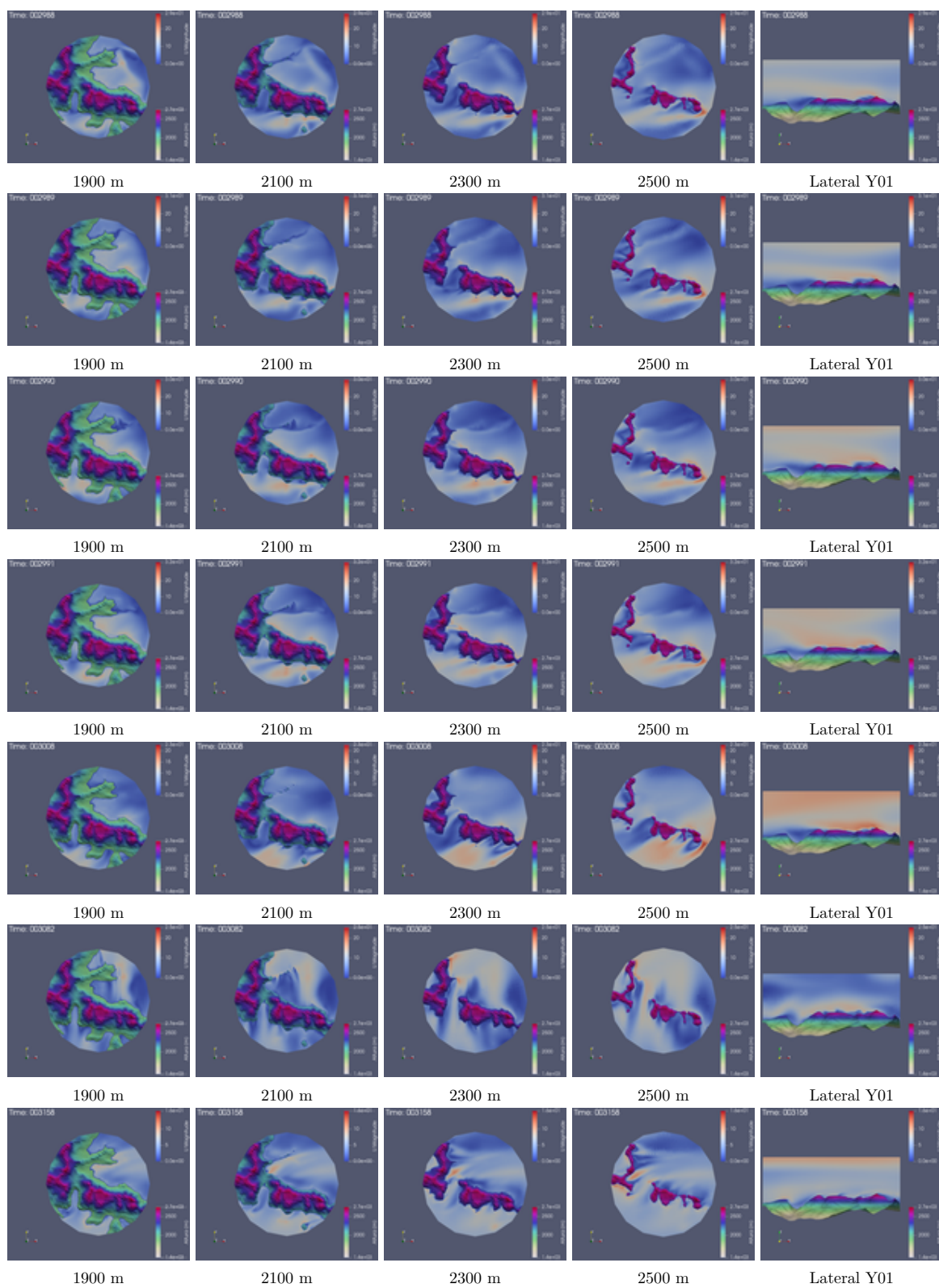


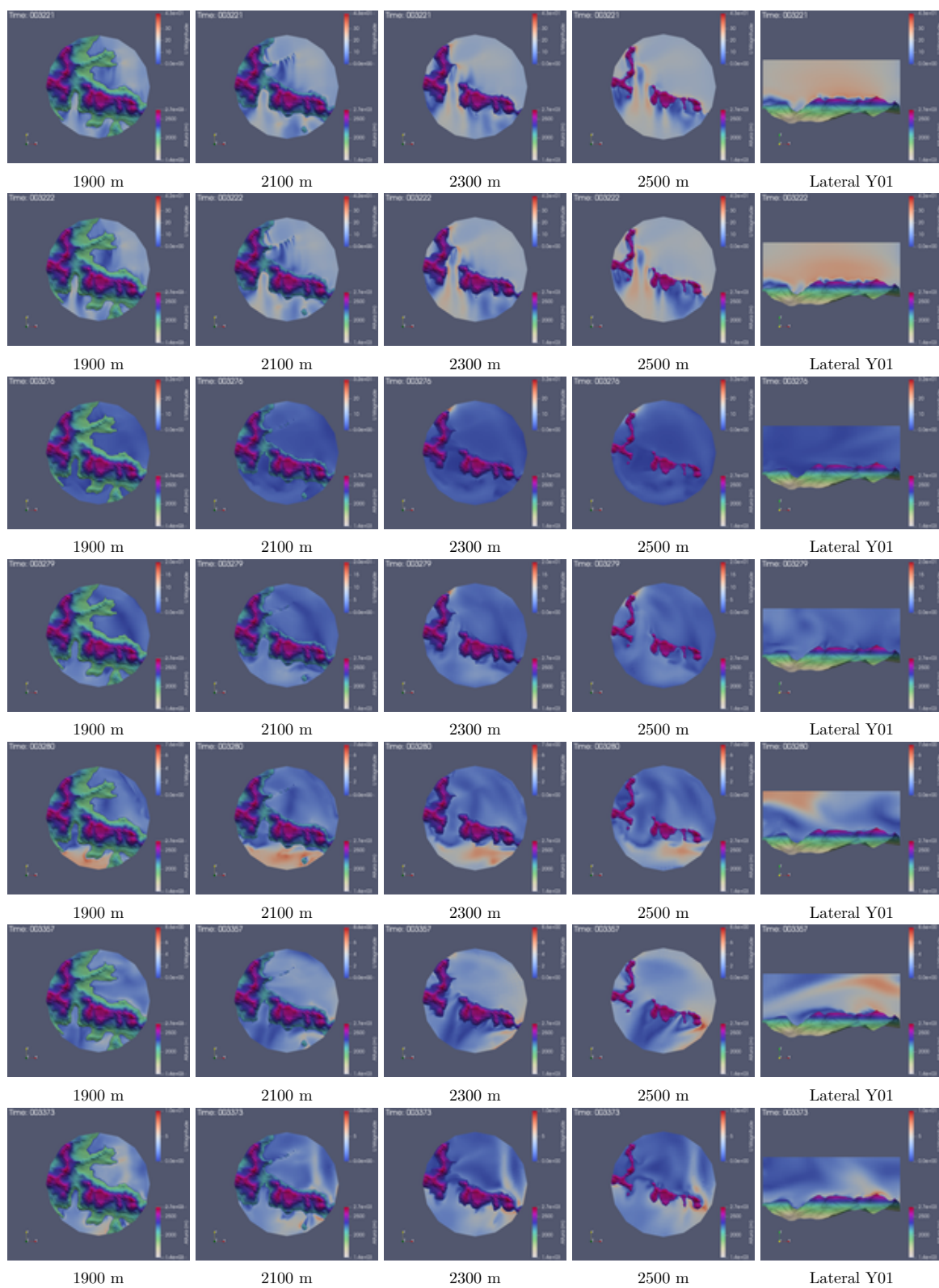


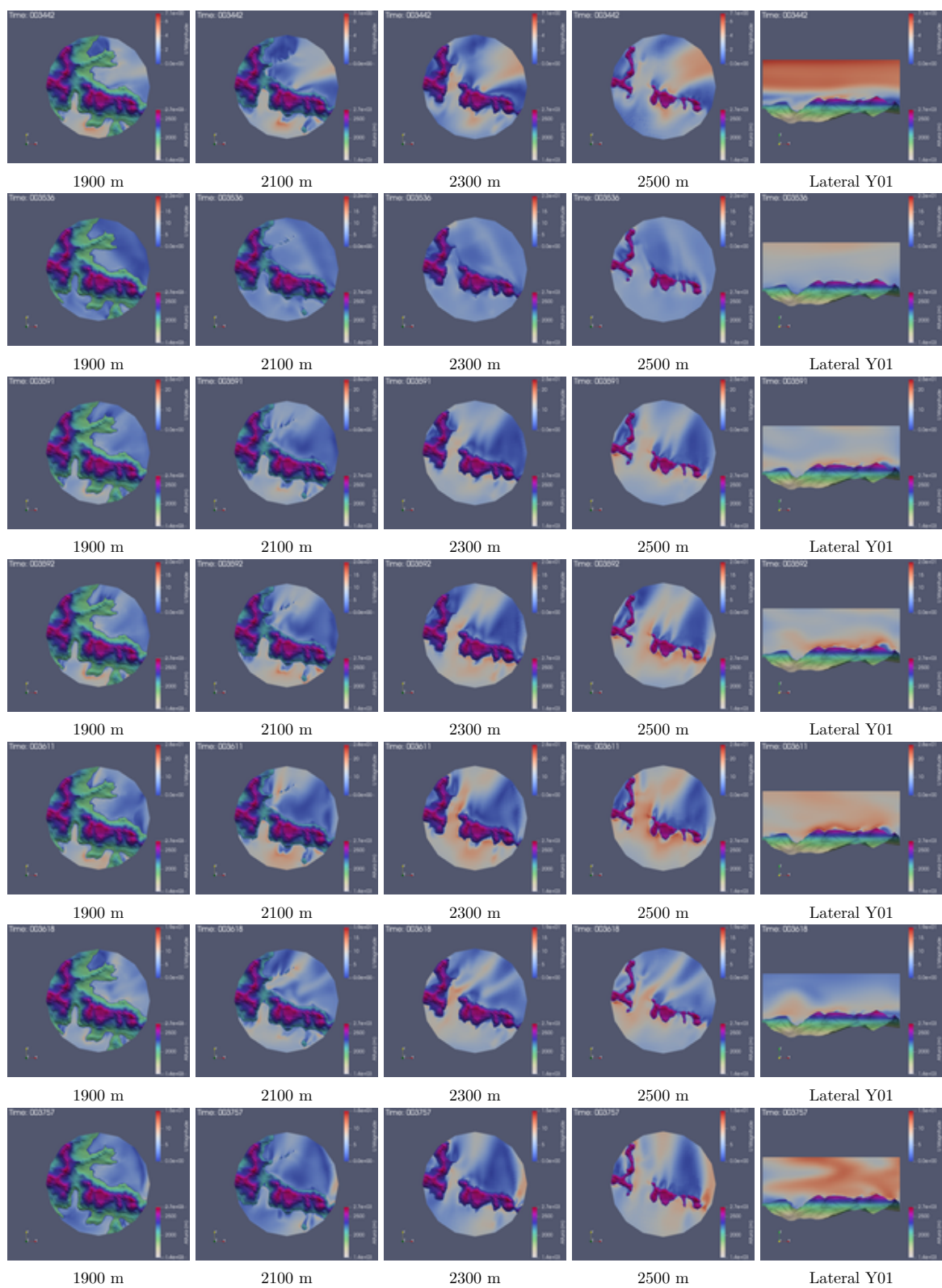


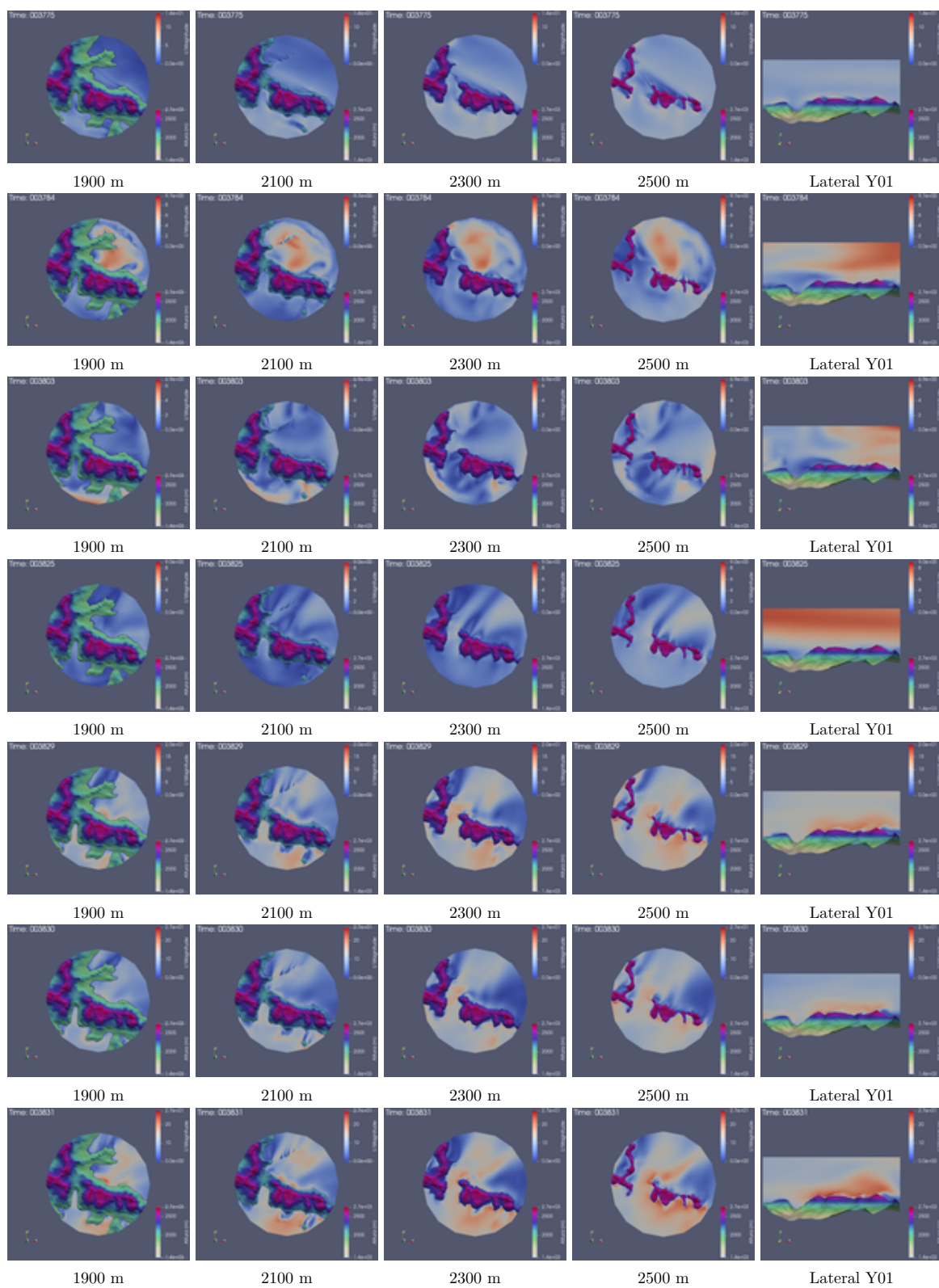


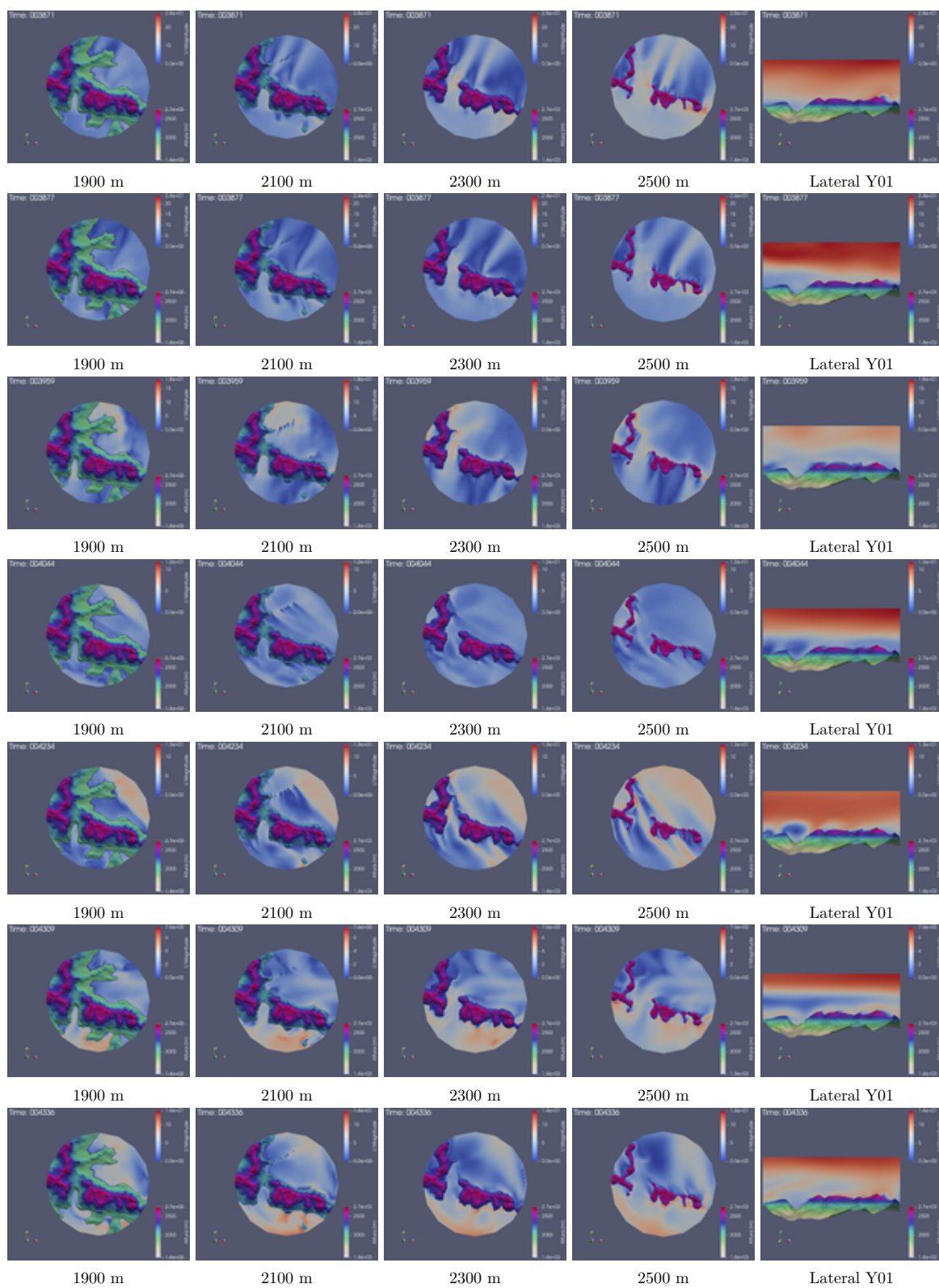


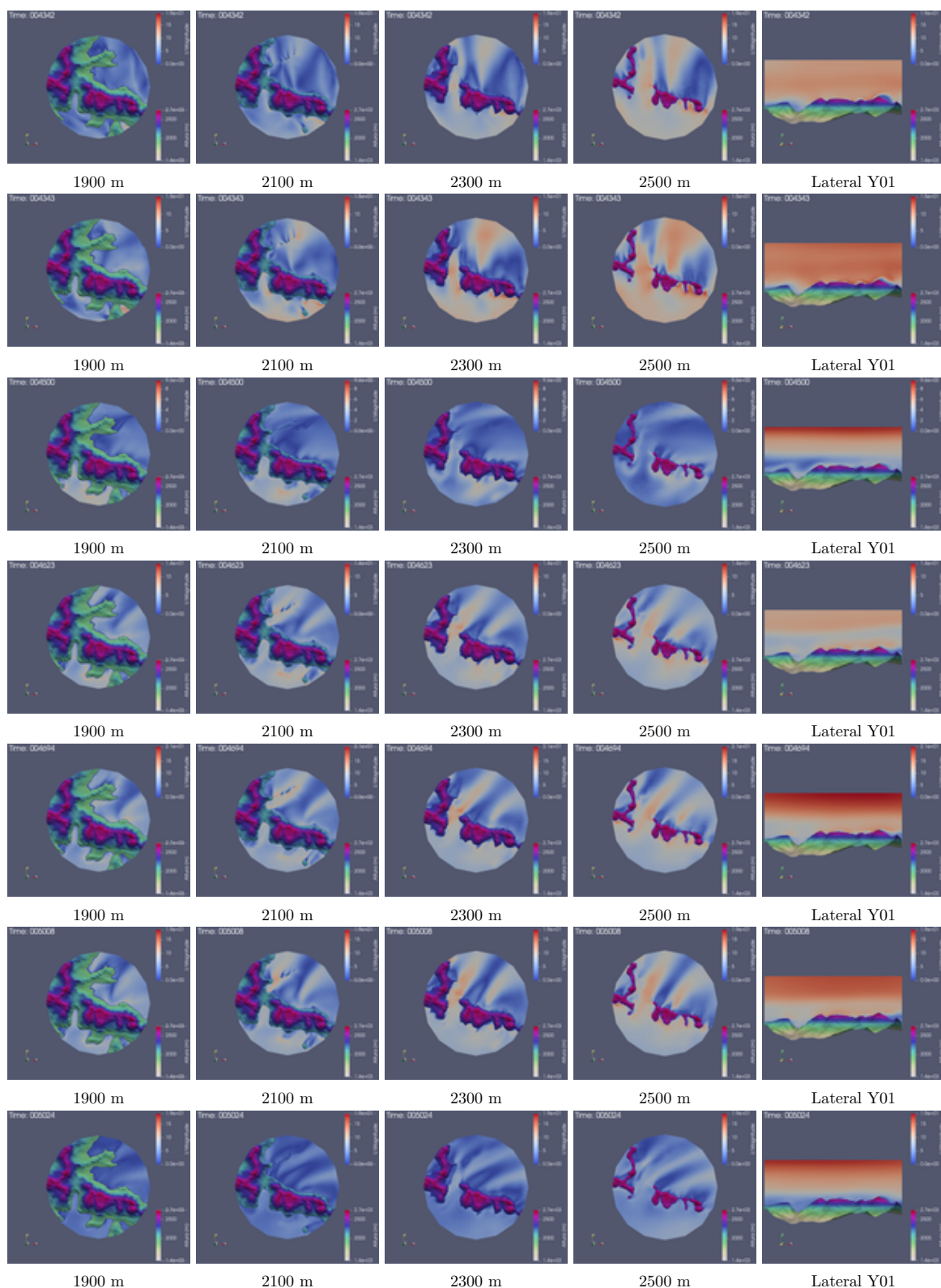


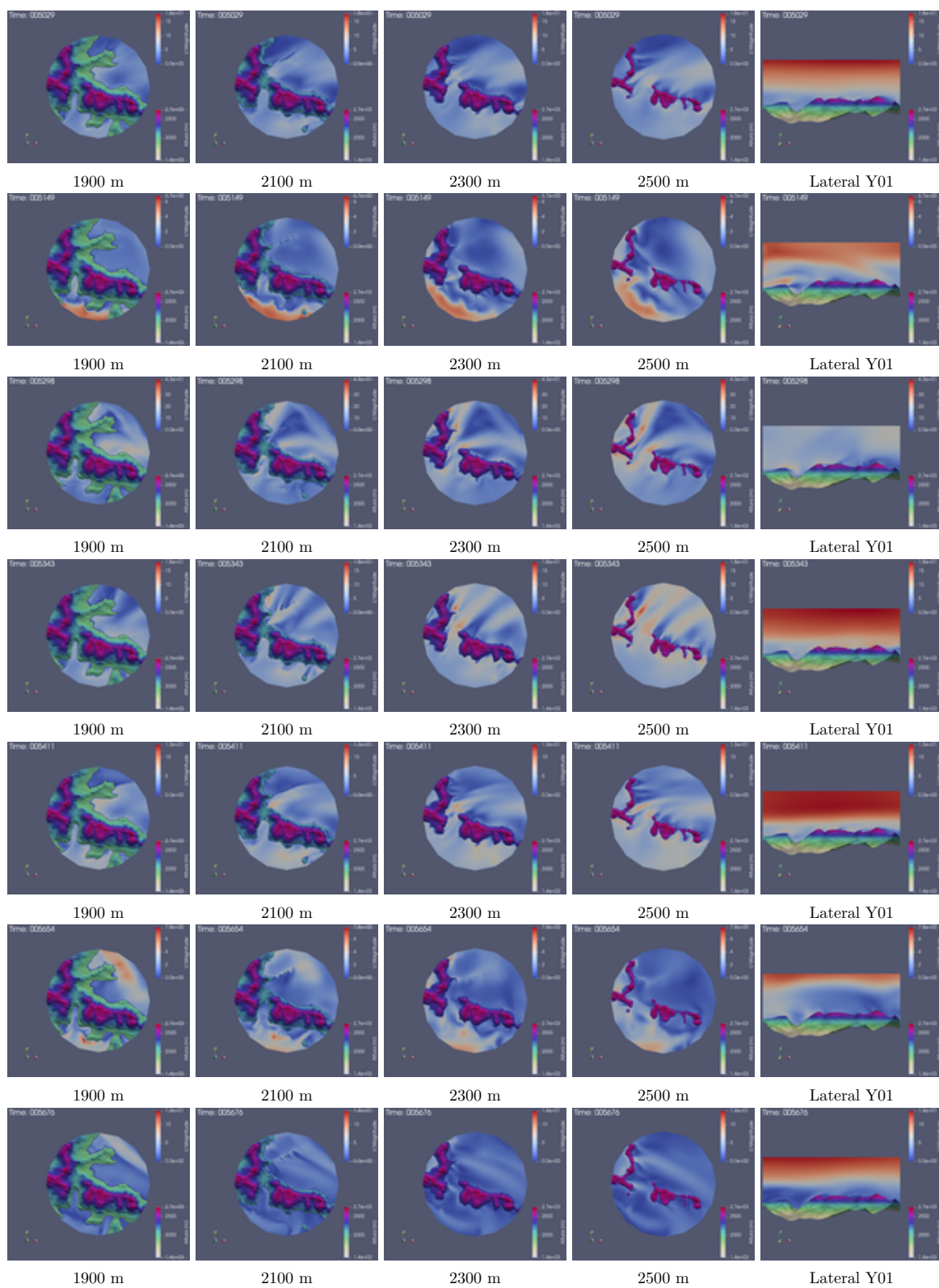


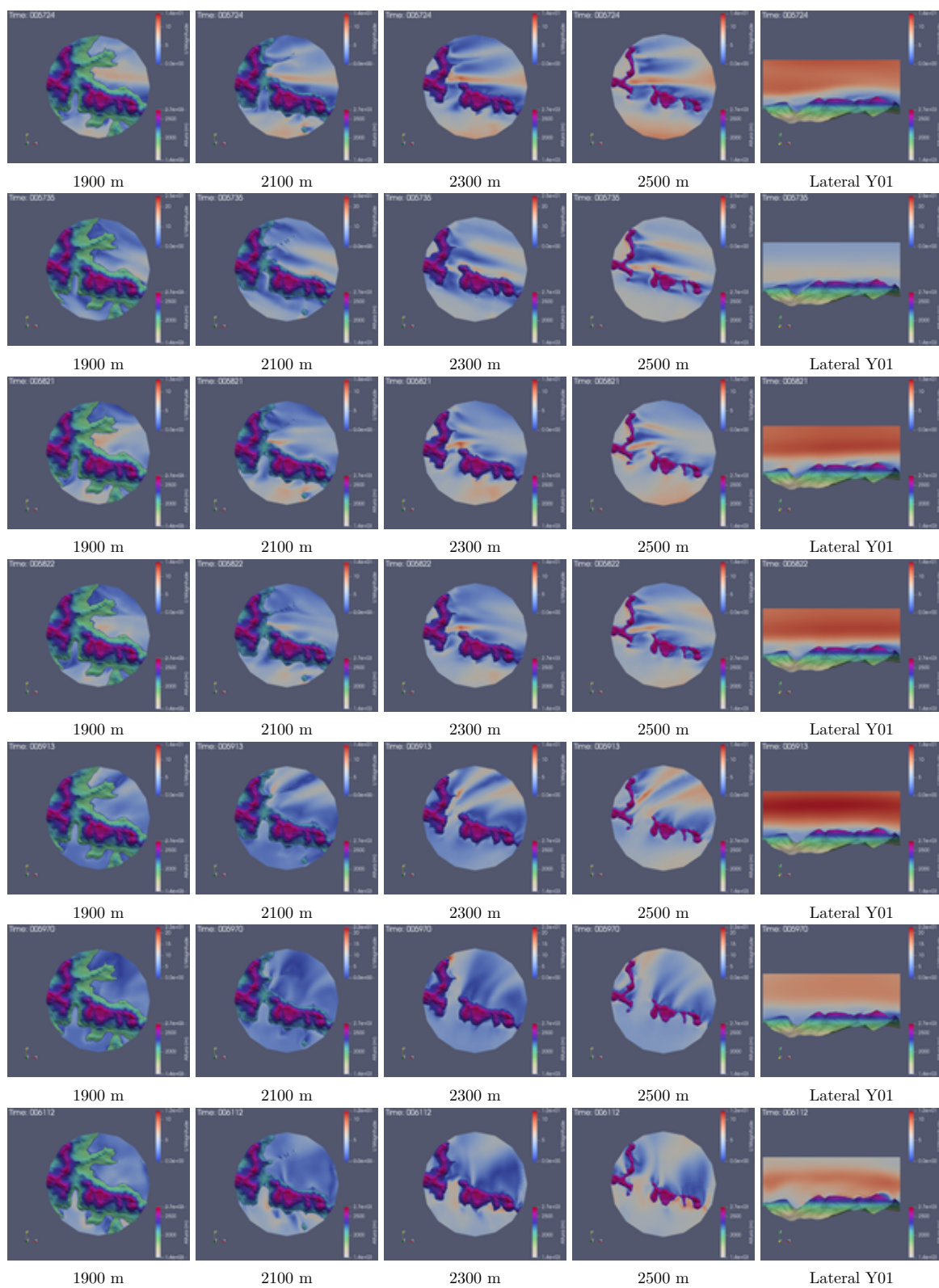


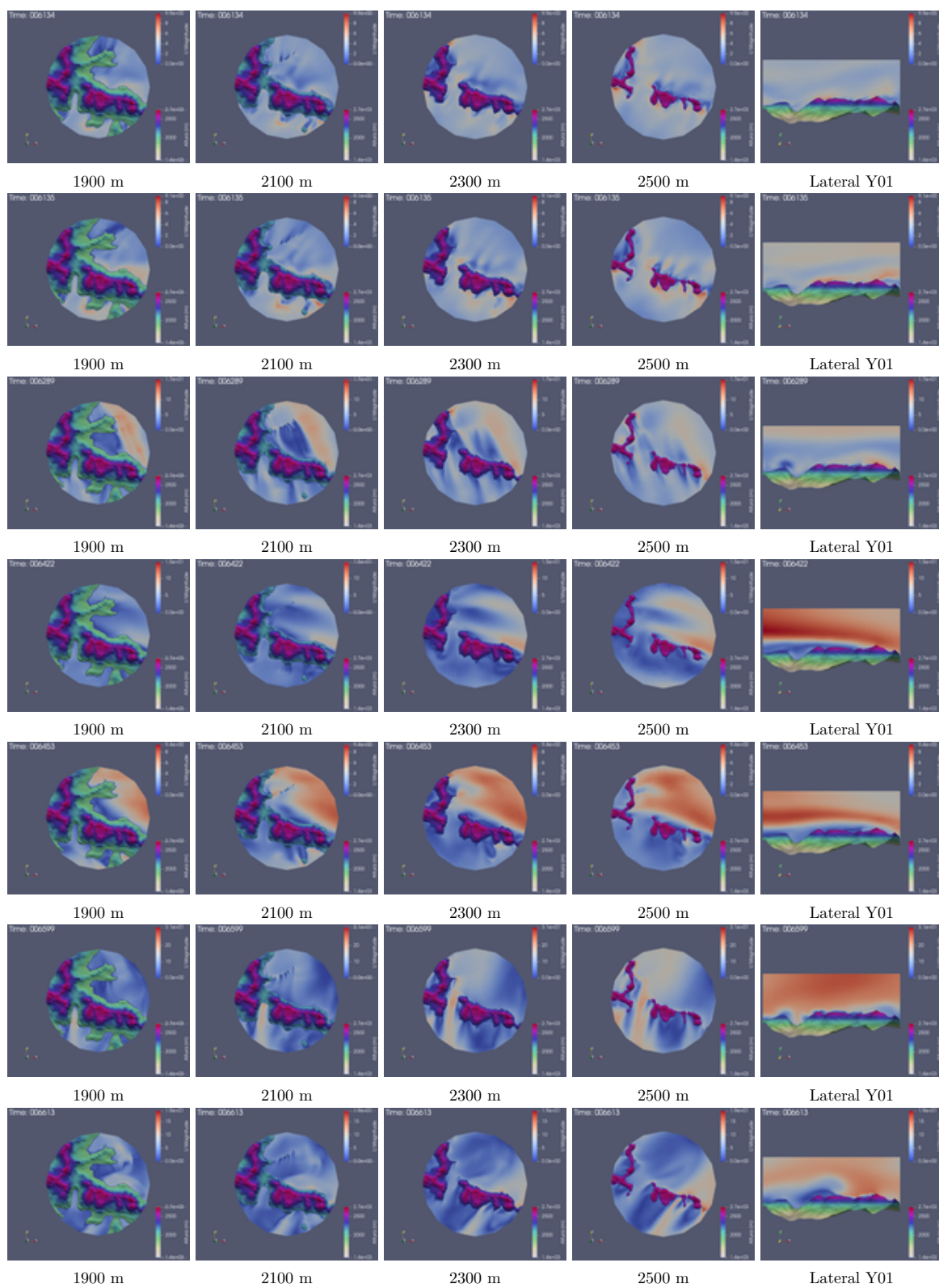


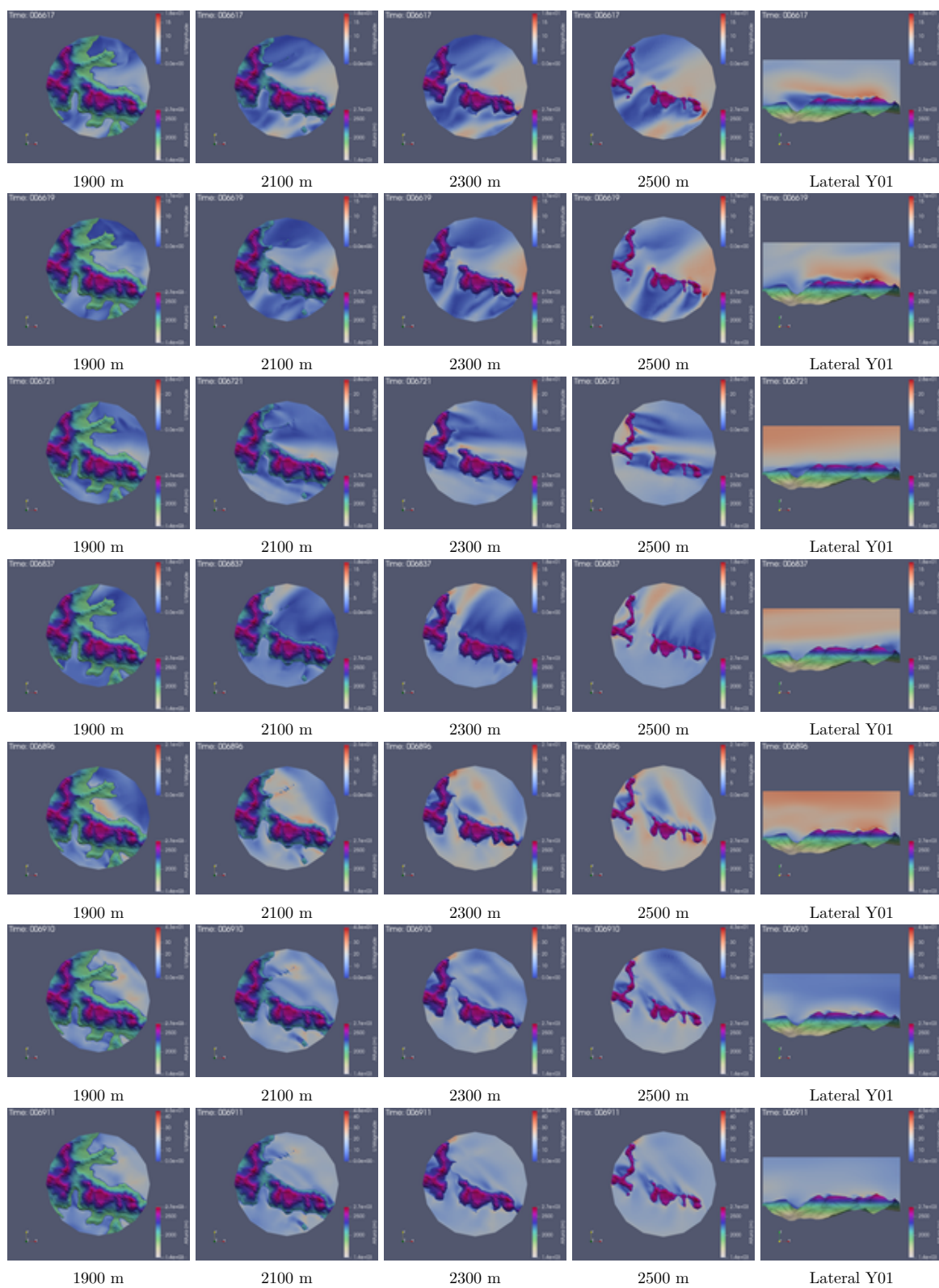


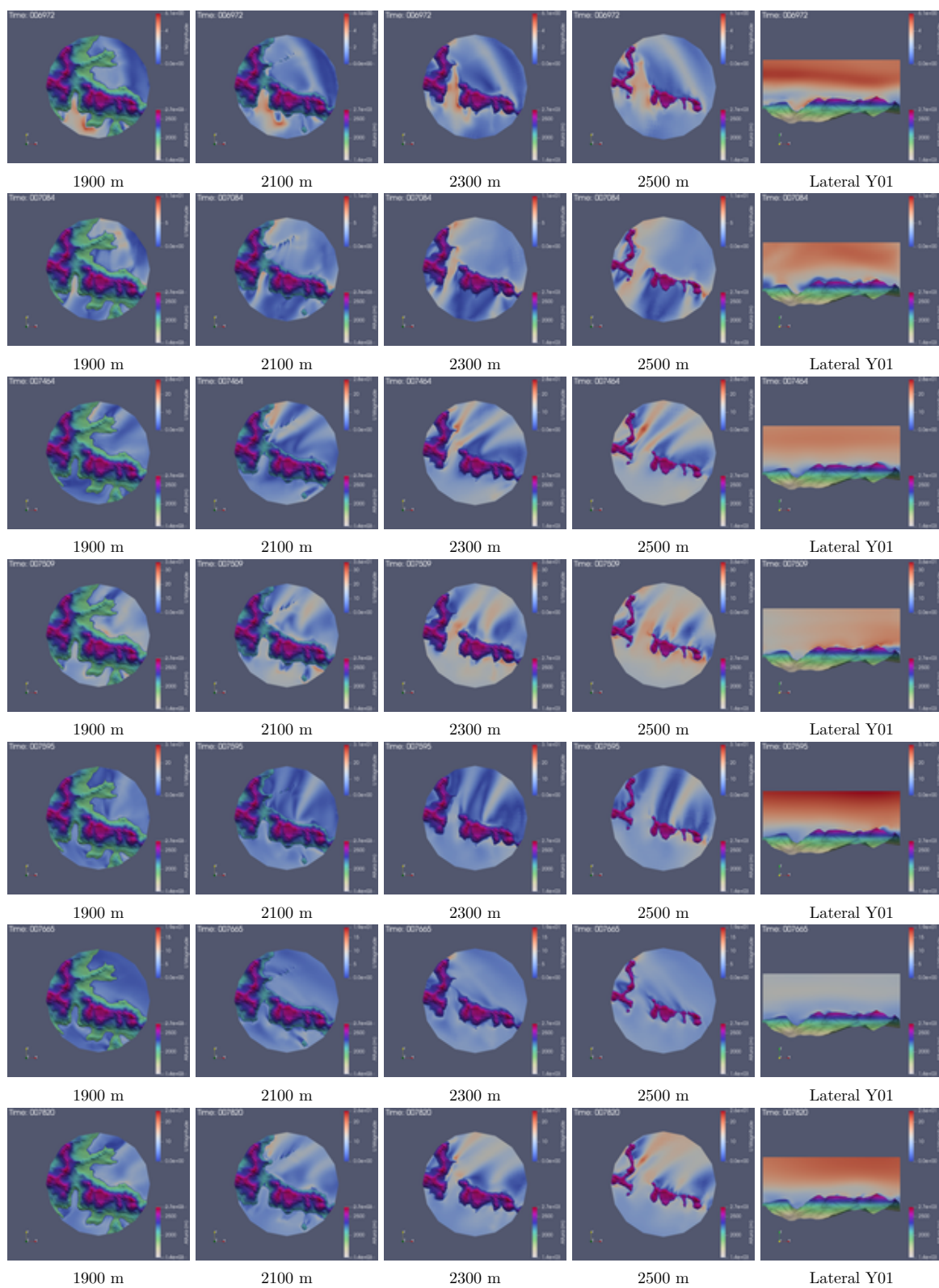


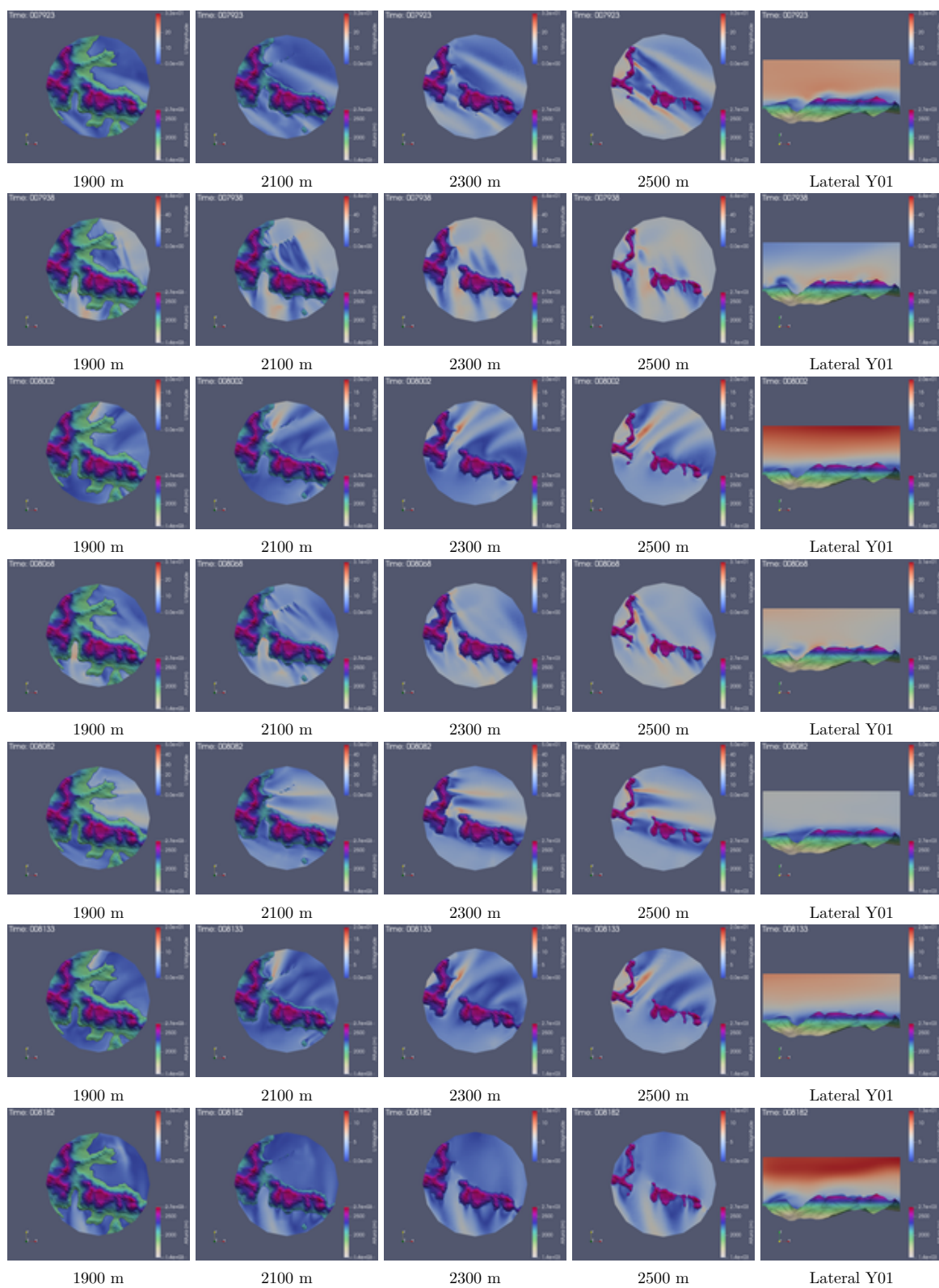


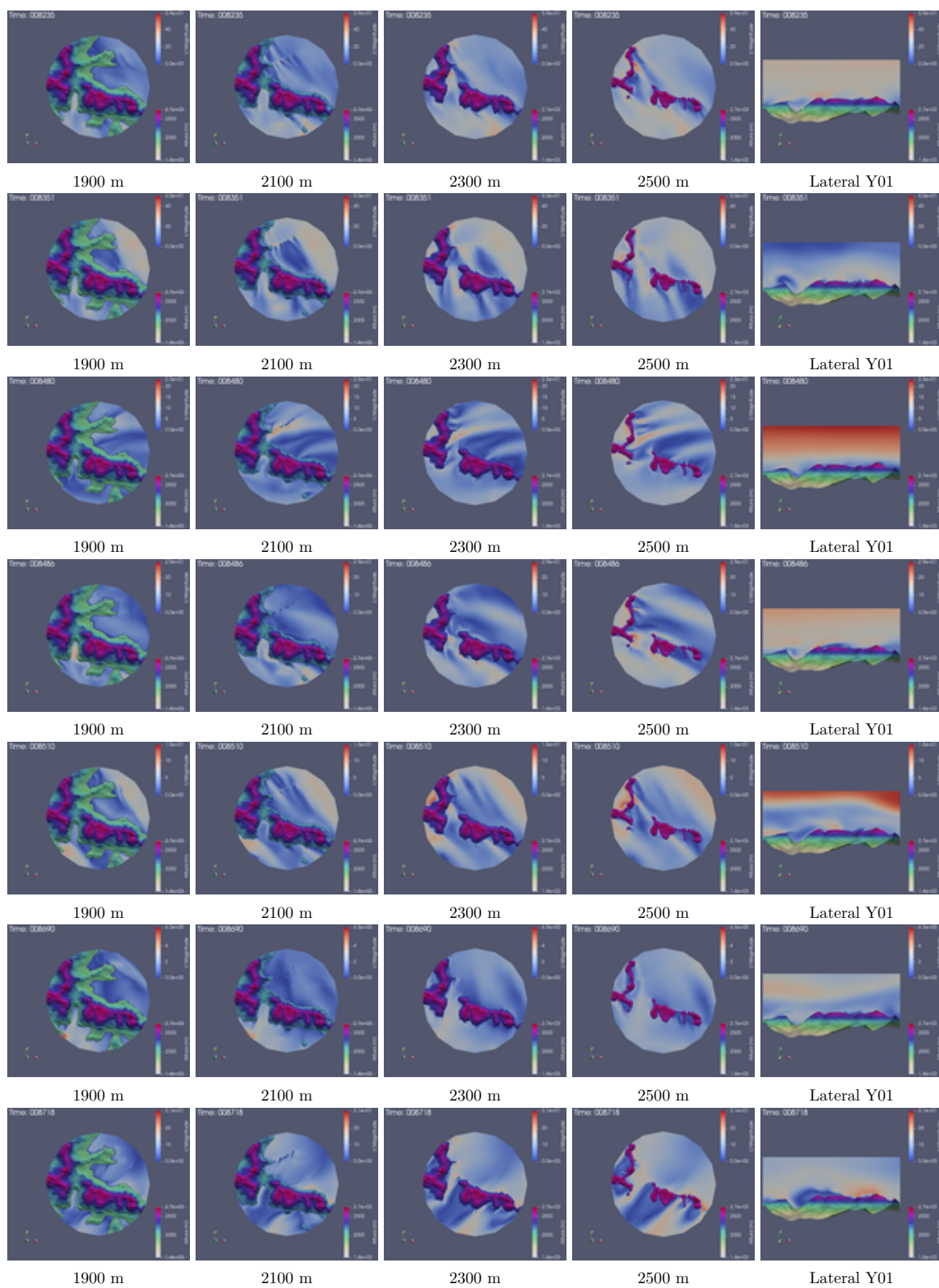


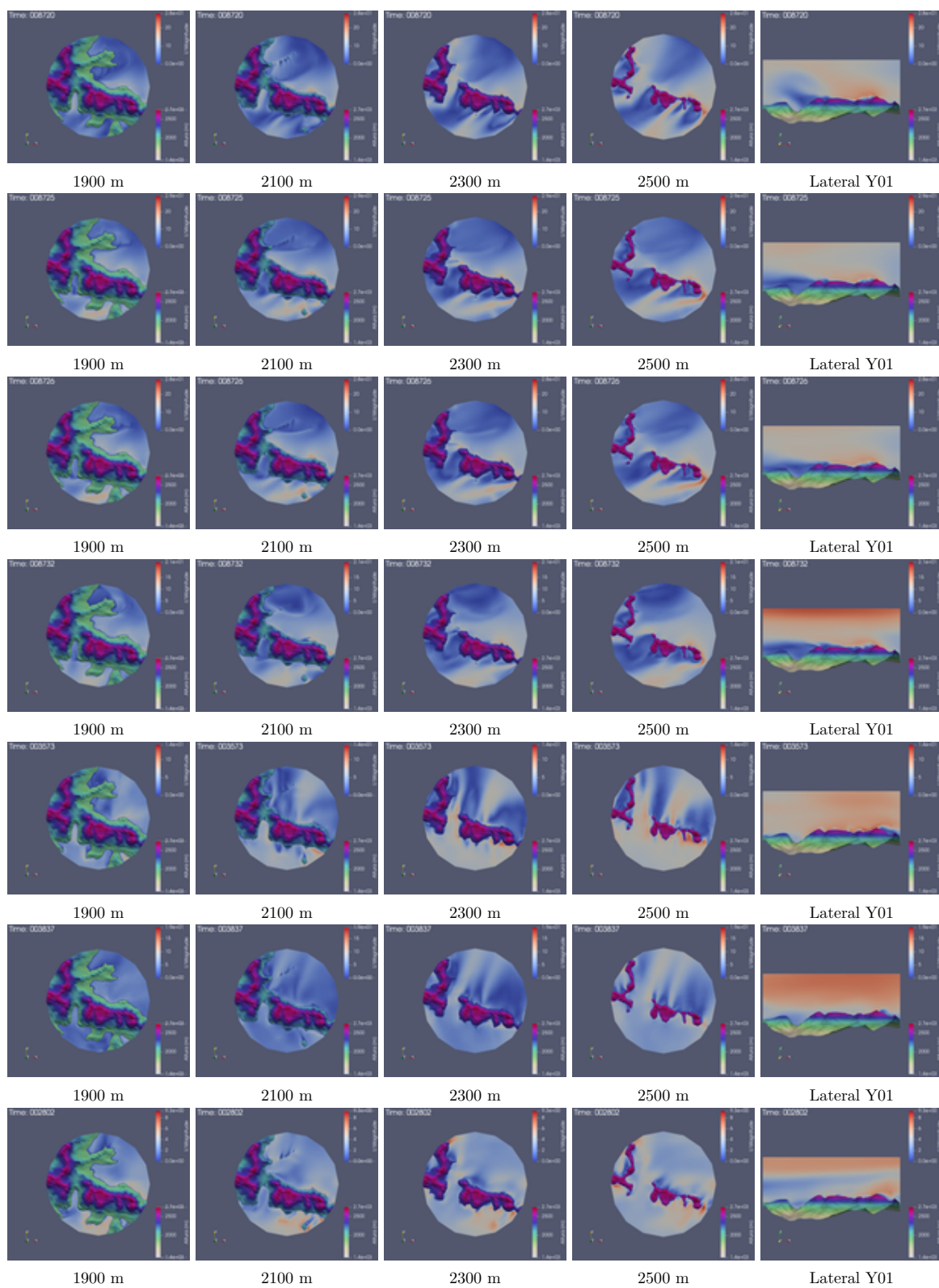


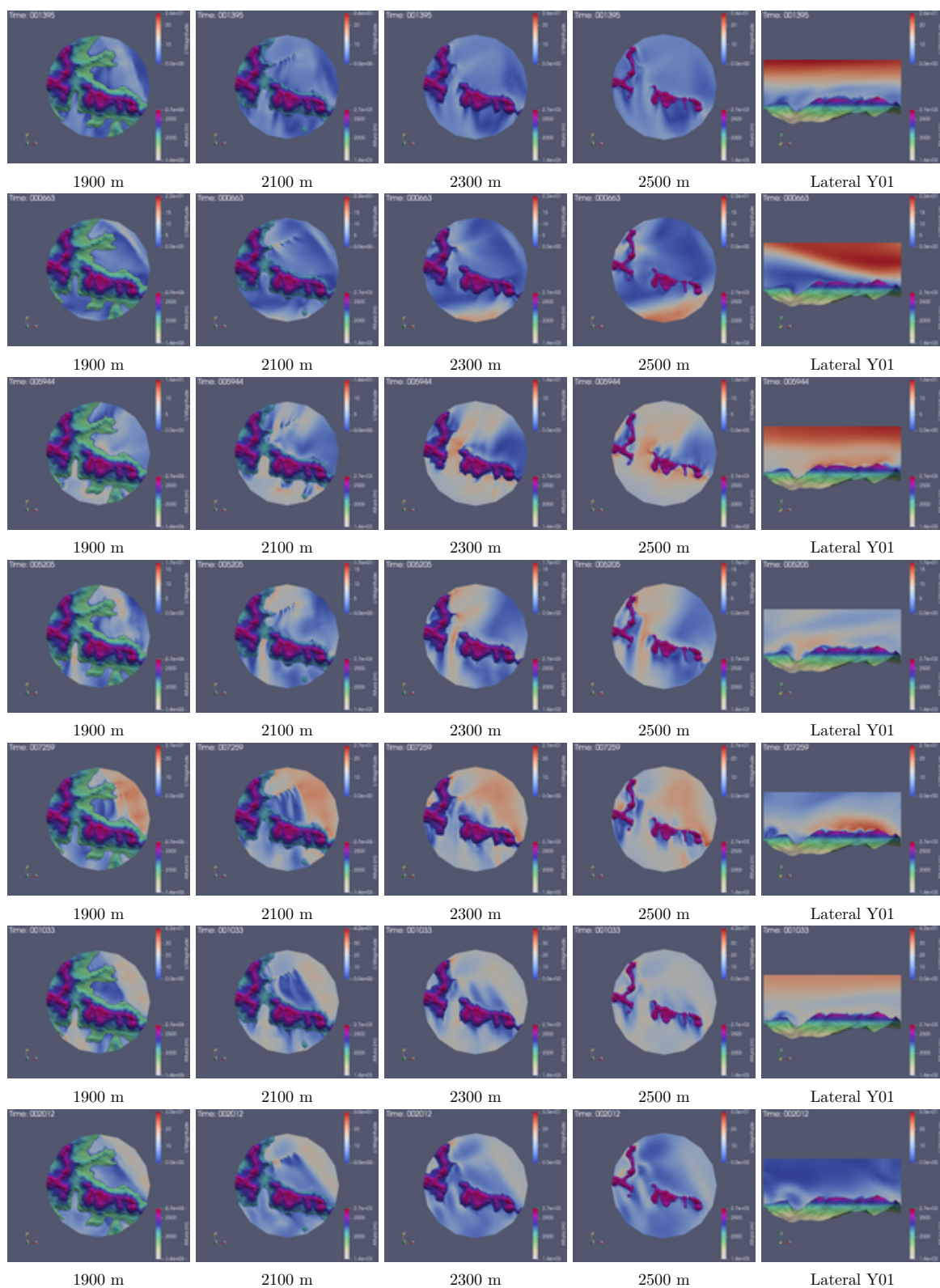


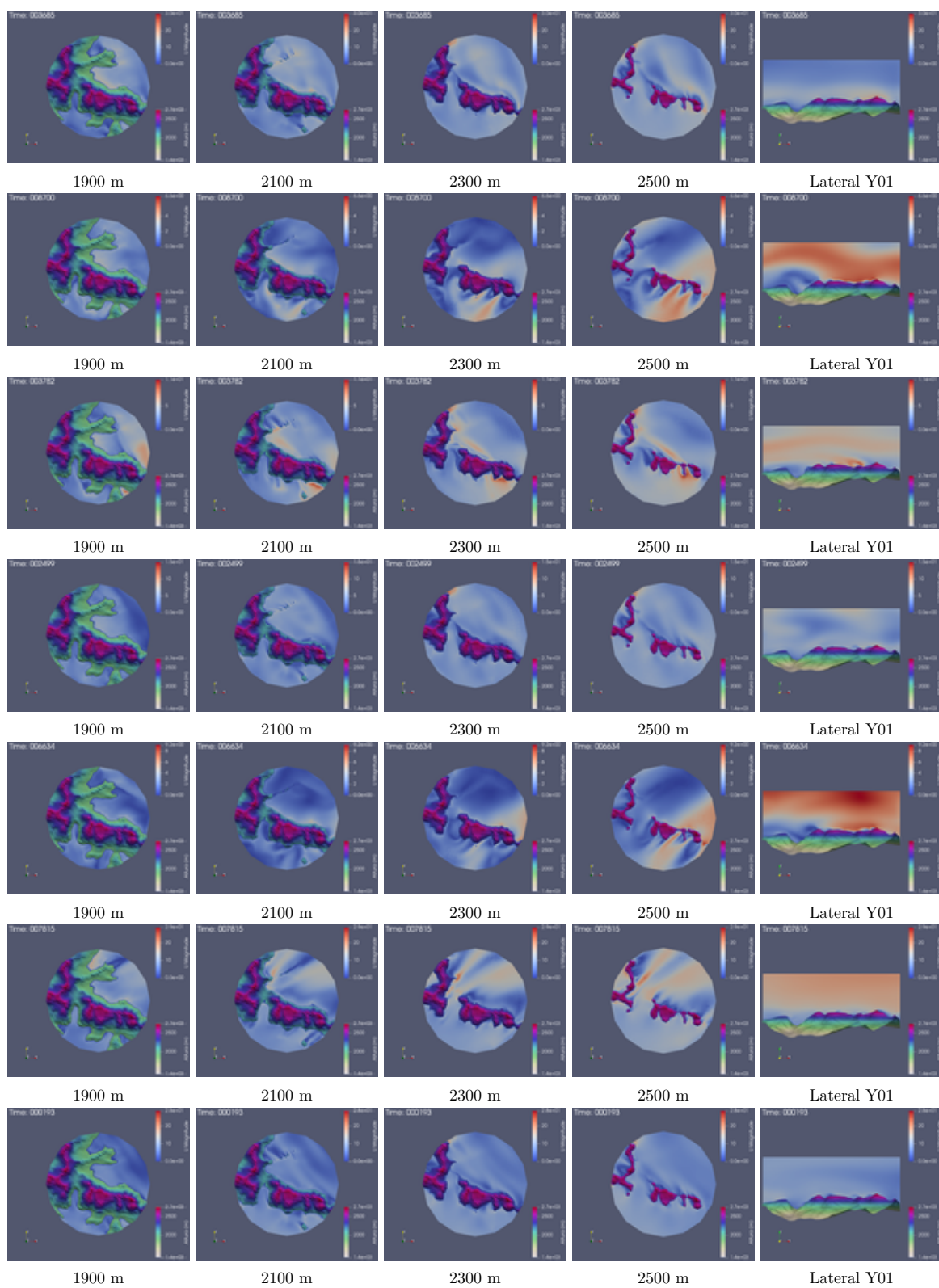


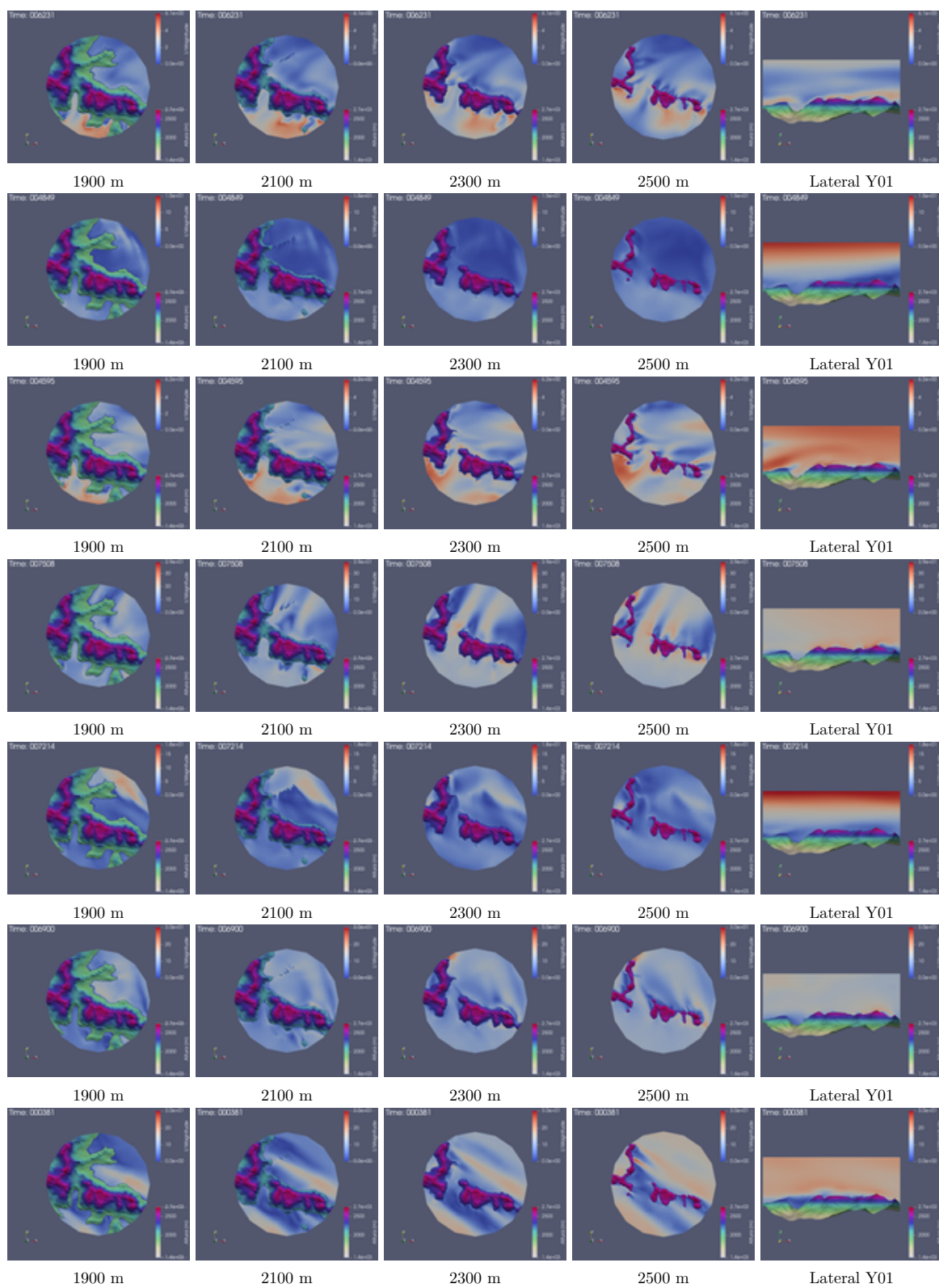


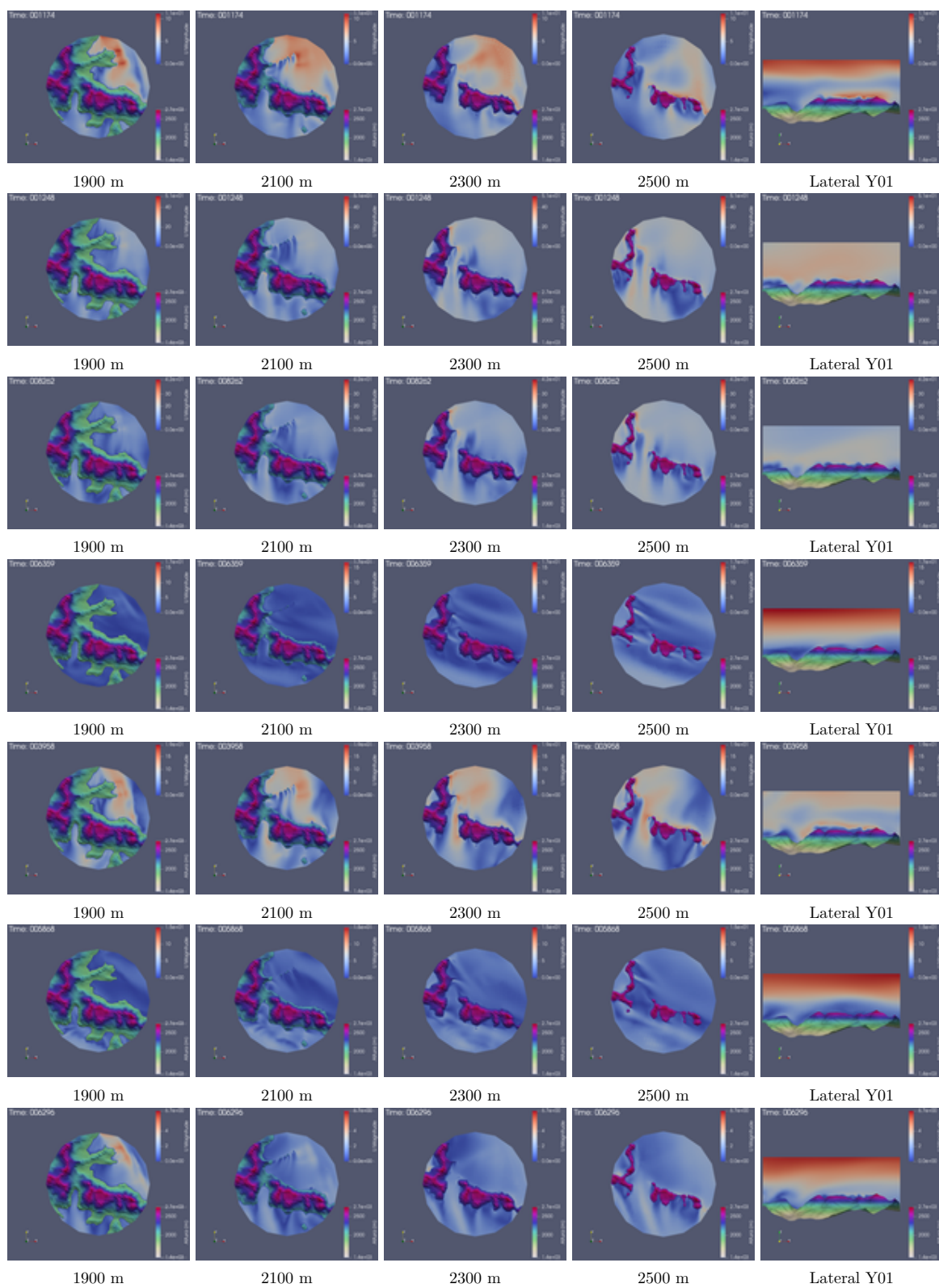


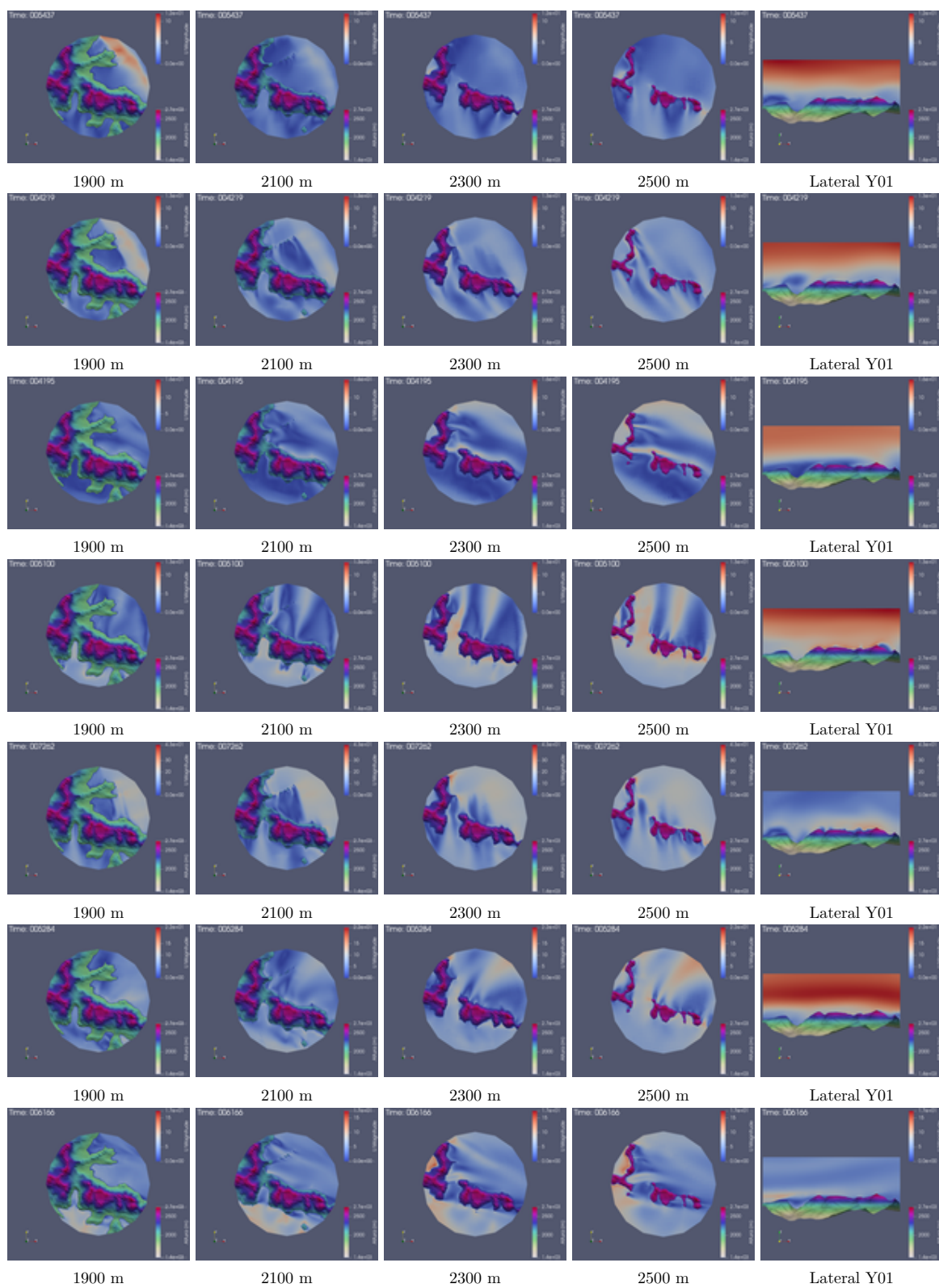


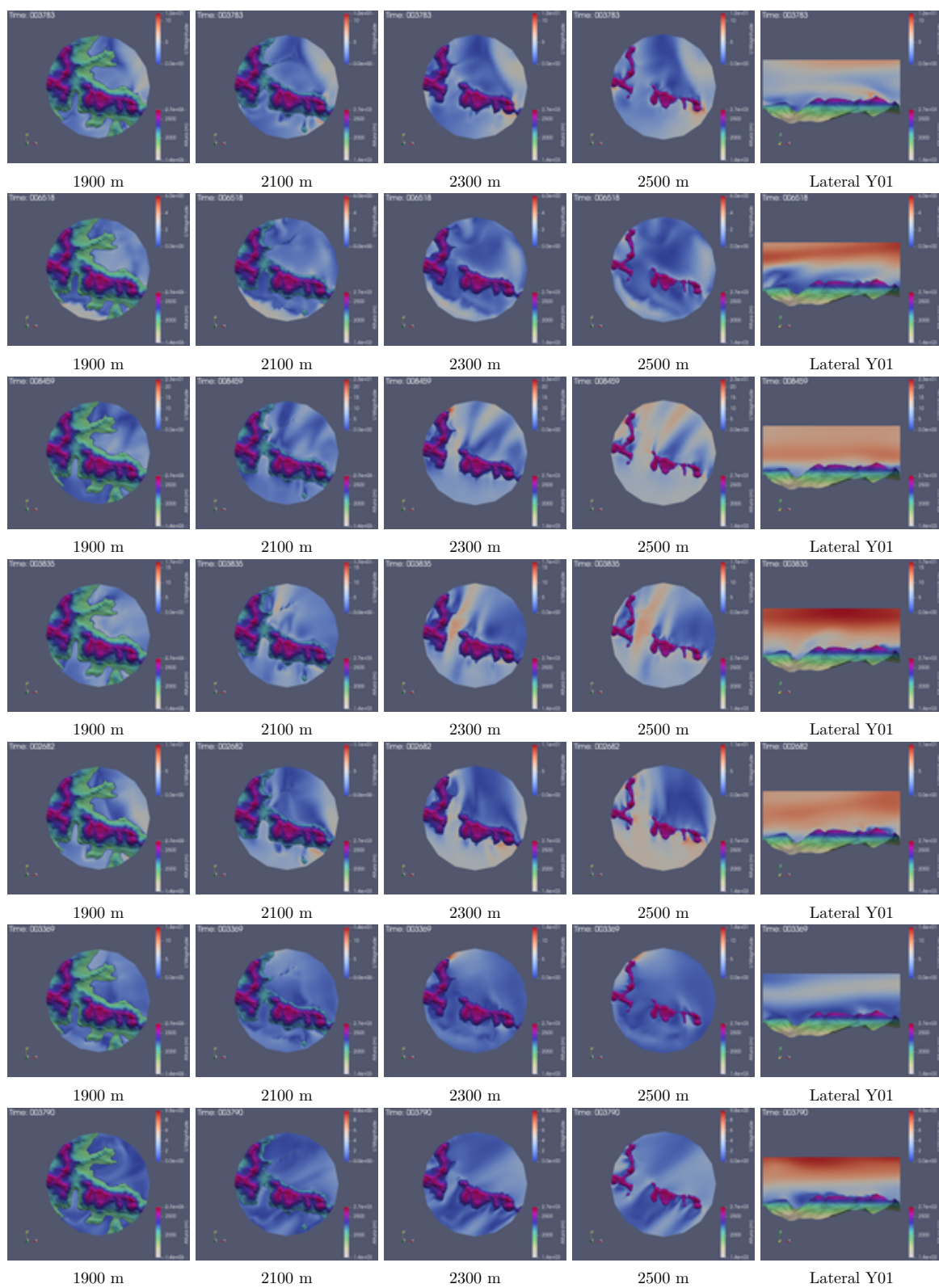


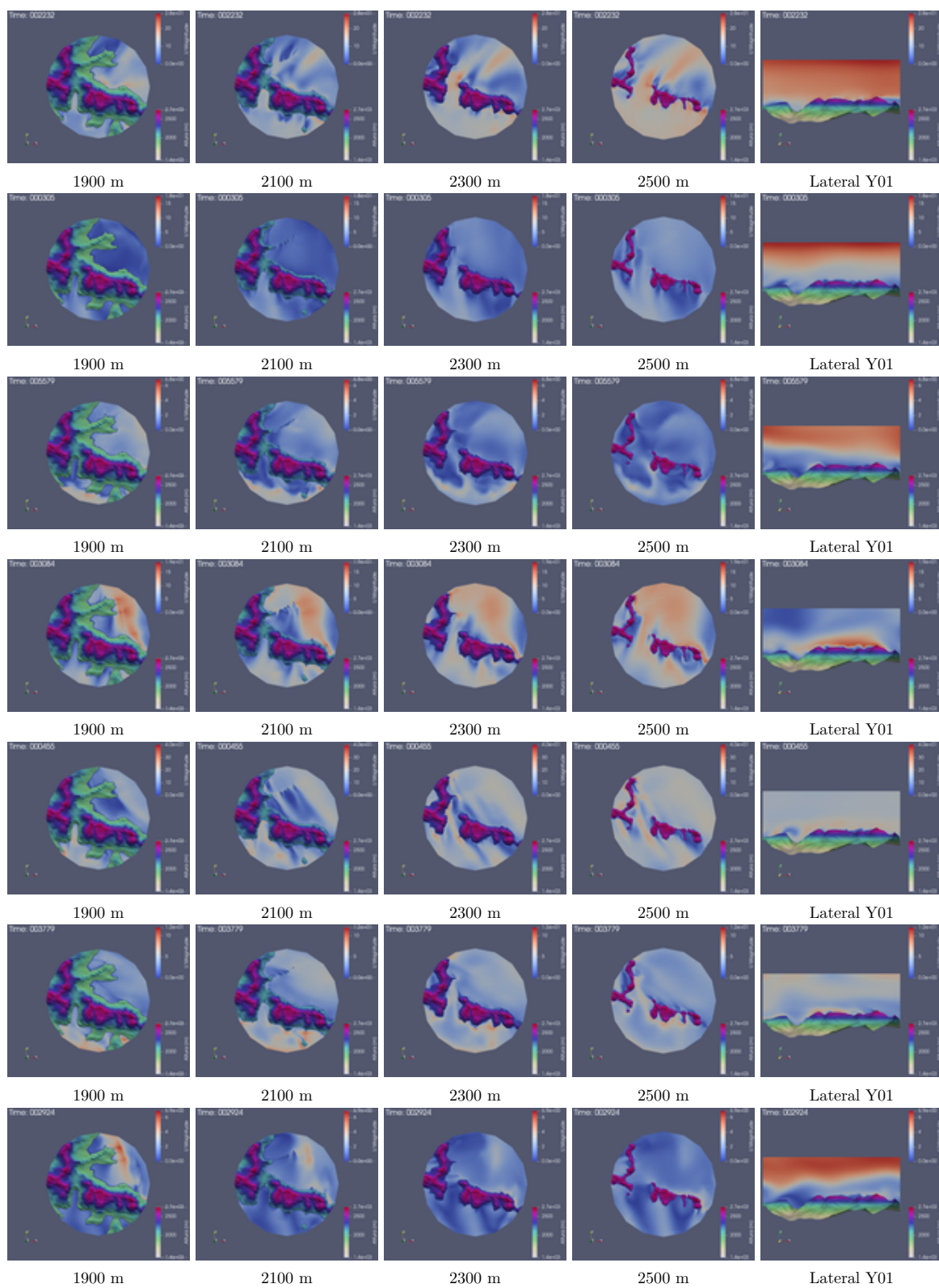


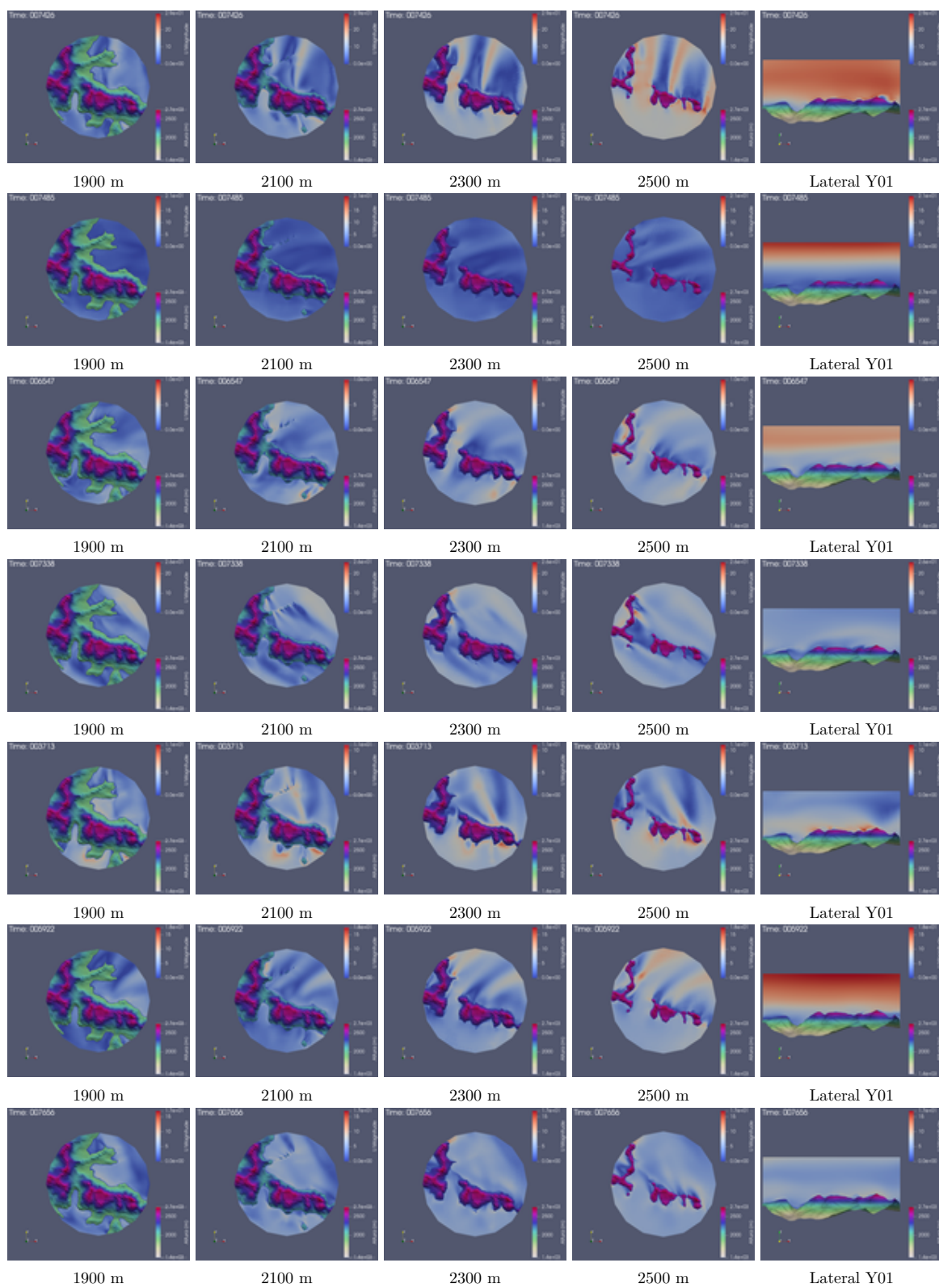


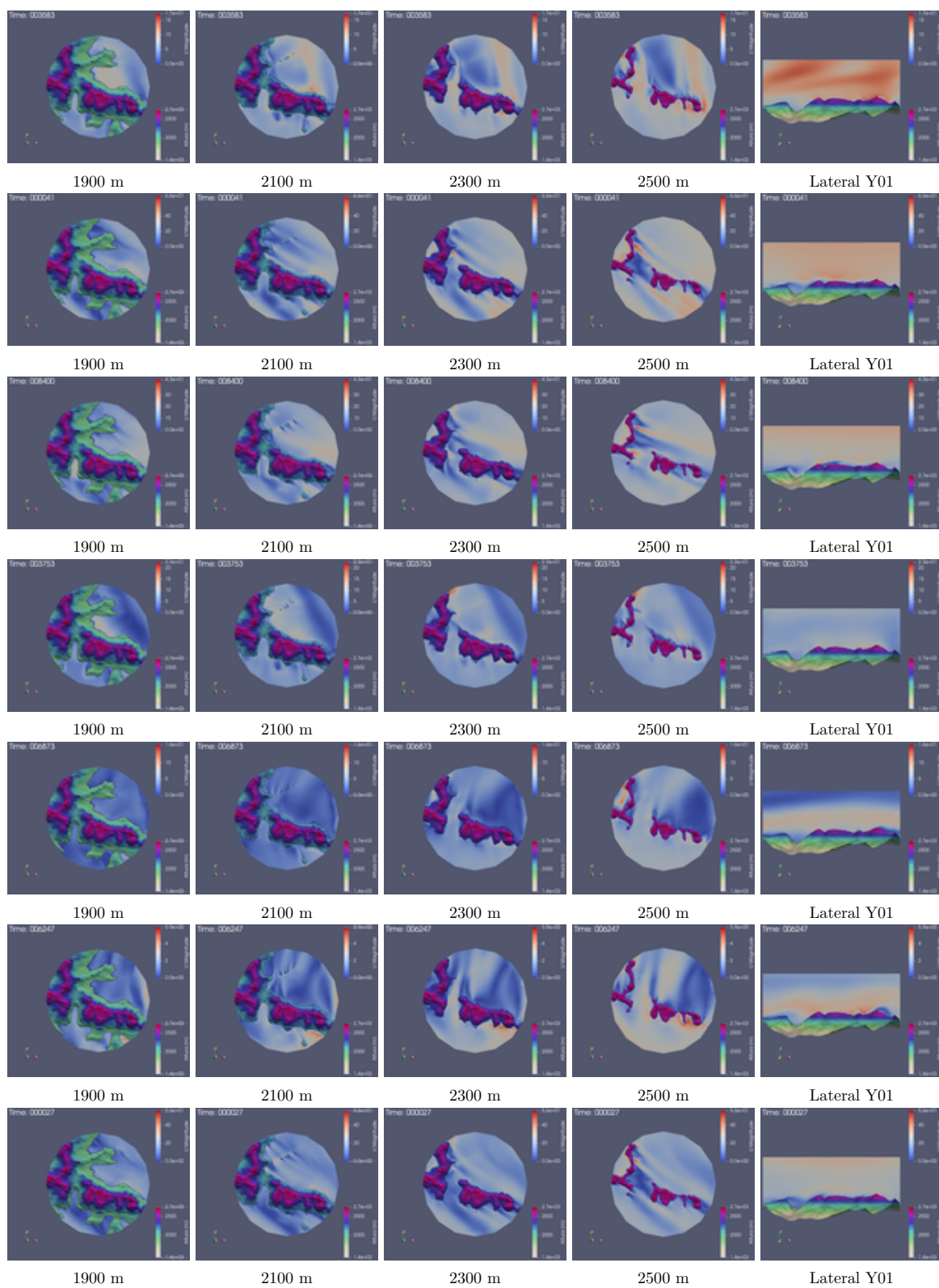


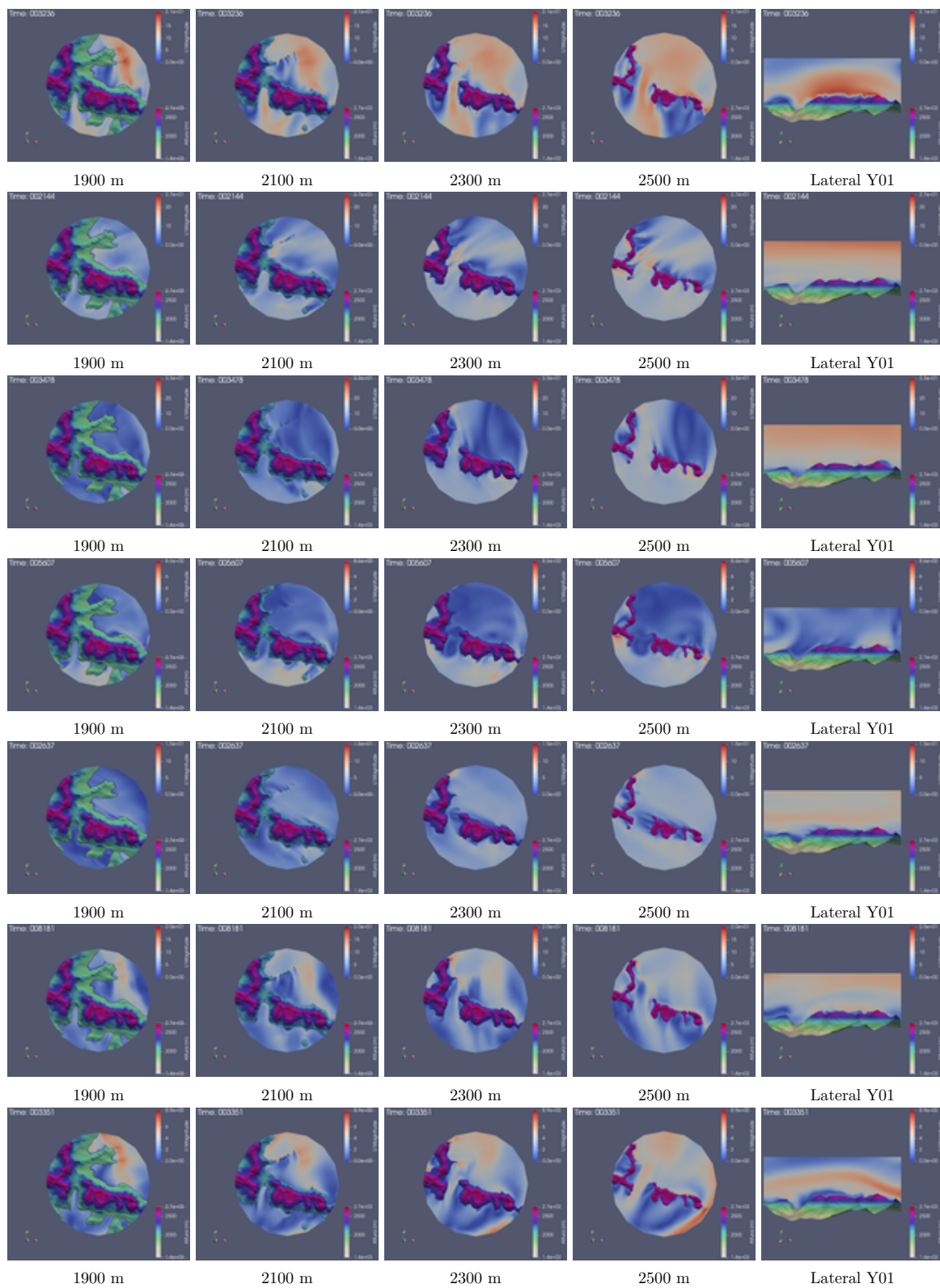


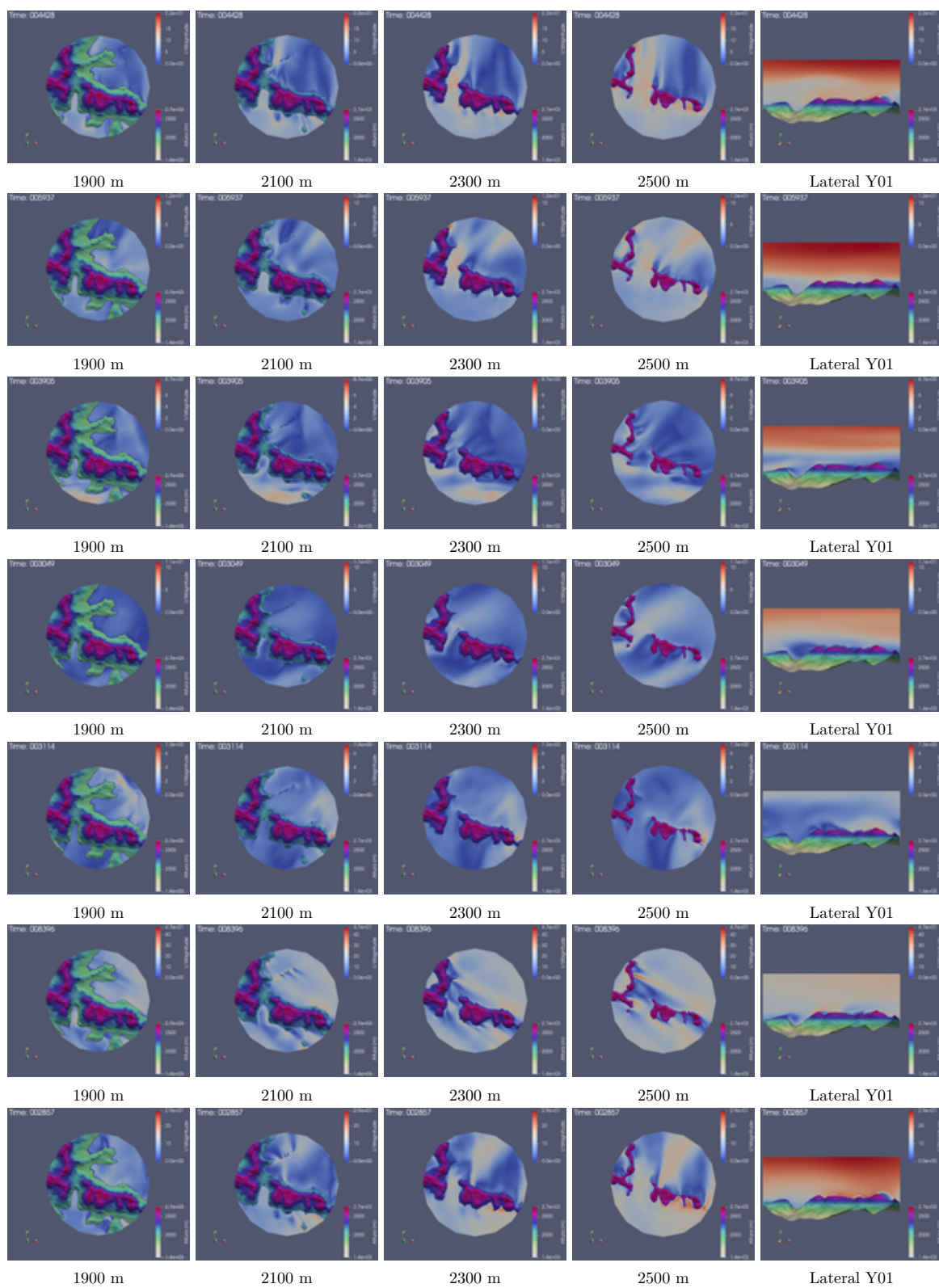


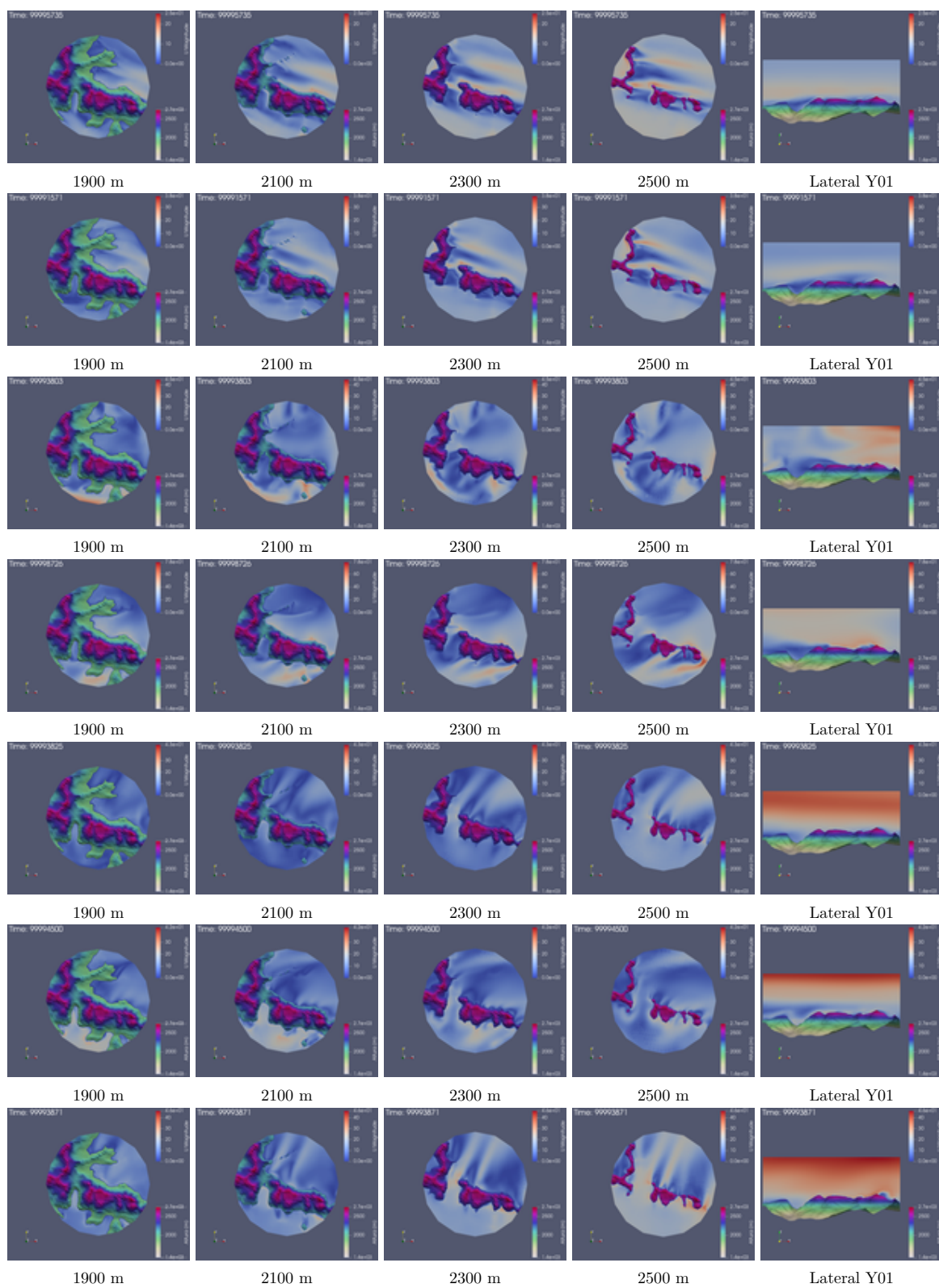


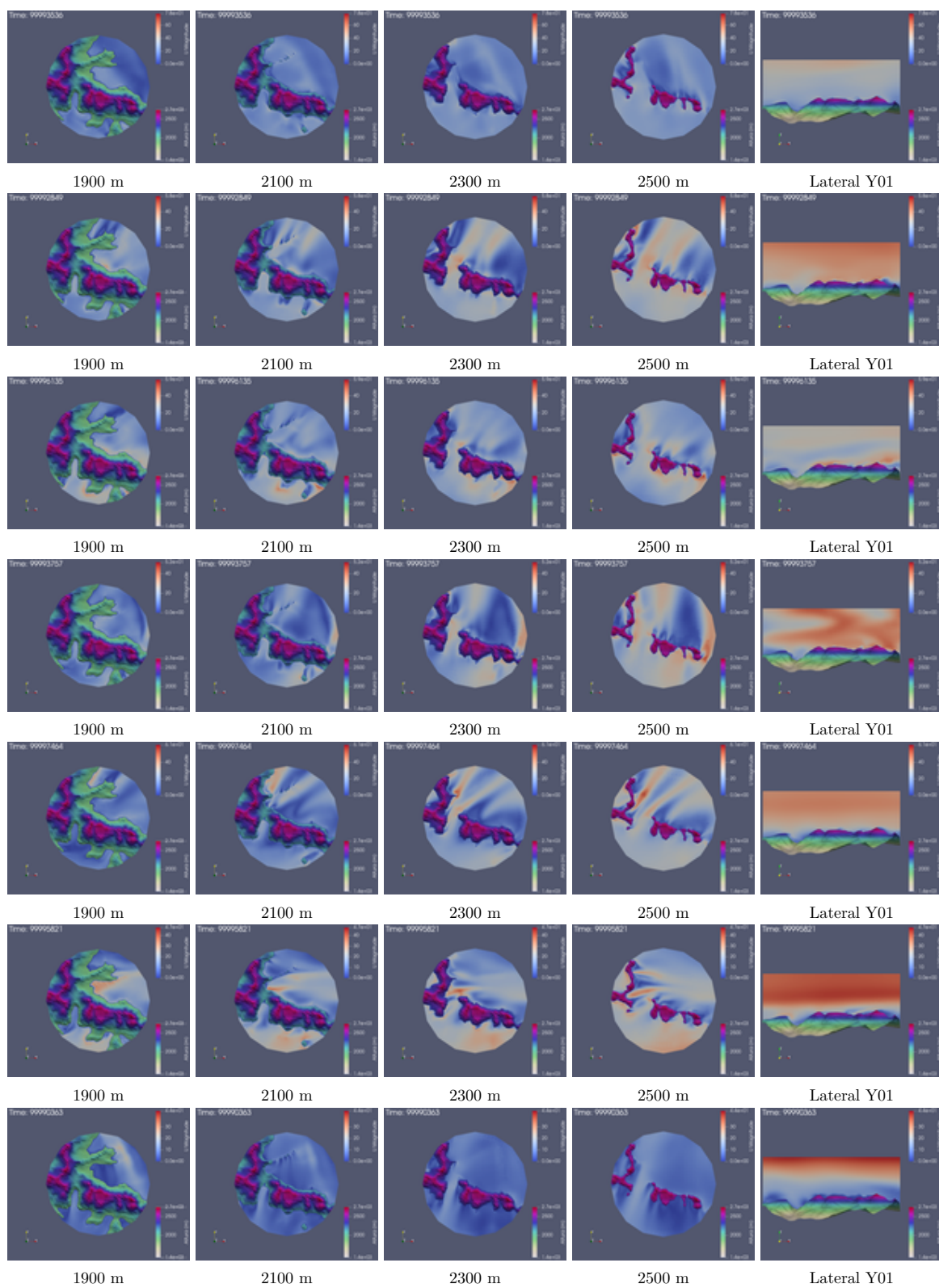


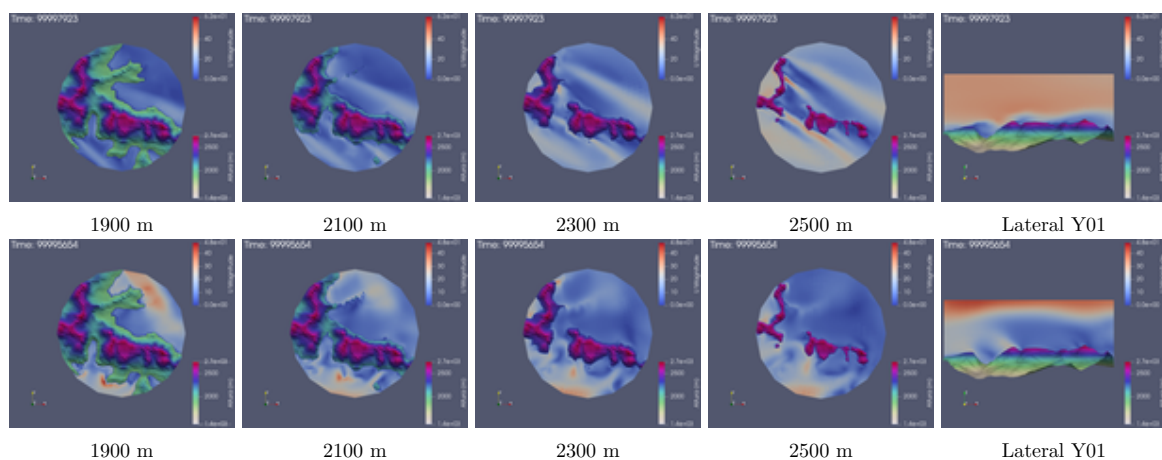












Bibliografía

- [1] Imran Akhtar, Osama A. Marzouk y Ali H. Nayfeh. «A van der Pol–Duffing Oscillator Model of Hydrodynamic Forces on Canonical Structures». En: *Journal of Computational and Nonlinear Dynamics* 4.4 (oct. de 2009). ISSN: 1555-1415. DOI: [10.1115/1.3192127](https://doi.org/10.1115/1.3192127). URL: <https://asmedigitalcollection.asme.org/computationalnonlinear/article/doi/10.1115/1.3192127/424615/A-van-der-PolDuffing-Oscillator-Model-of>.
- [2] Imran Akhtar y col. «Hydrodynamics of a biologically inspired tandem flapping foil configuration». En: *Theoretical and Computational Fluid Dynamics* 21.3 (abr. de 2007), págs. 155-170. ISSN: 0935-4964. DOI: [10.1007/s00162-007-0045-2](https://doi.org/10.1007/s00162-007-0045-2). URL: <http://link.springer.com/10.1007/s00162-007-0045-2>.
- [3] Alonso B y col. *From Numerical Weather Prediction outputs to accurate local surface wind speed : statistical modeling and forecasts*. Inf. téc. 2017.
- [4] Johanna Orellana Alvear. Árboles de decisión y Random Forest. URL: <https://bookdown.org/content/2031/arboles-de-decision-parte-i.html> (visitado 25-08-2020).
- [5] Elsa Aristodemou y col. «How tall buildings affect turbulent air flows and dispersion of pollution within a neighbourhood». En: *Environmental Pollution* 233 (feb. de 2018), págs. 782-796. ISSN: 02697491. DOI: [10.1016/j.envpol.2017.10.041](https://doi.org/10.1016/j.envpol.2017.10.041). URL: <https://linkinghub.elsevier.com/retrieve/pii/S0269749117319322>.
- [6] Nadine Aubry. «On the hidden beauty of the proper orthogonal decomposition». En: *Theoretical and Computational Fluid Dynamics* 2.5-6 (ago. de 1991), págs. 339-352. ISSN: 0935-4964. DOI: [10.1007/BF00271473](https://doi.org/10.1007/BF00271473). URL: <http://link.springer.com/10.1007/BF00271473>.
- [7] Henry P. Bakewell. «Viscous Sublayer and Adjacent Wall Region in Turbulent Pipe Flow». En: *Physics of Fluids* 10.9 (1967), pág. 1880. ISSN: 00319171. DOI: [10.1063/1.1762382](https://doi.org/10.1063/1.1762382). URL: <https://aip.scitation.org/doi/10.1063/1.1762382>.
- [8] C. Bradford Barber, David P. Dobkin y Hannu Huhdanpaa. «The quickhull algorithm for convex hulls». En: *ACM Transactions on Mathematical Software (TOMS)* 22.4 (dic. de 1996), págs. 469-483. ISSN: 0098-3500. DOI: [10.1145/235815.235821](https://doi.org/10.1145/235815.235821). URL: <http://dl.acm.org/doi/10.1145/235815.235821>.
- [9] D Bastine y col. «POD Analysis of a Wind Turbine Wake in a Turbulent Atmospheric Boundary Layer». En: *Journal of Physics: Conference Series* 524 (jun. de 2014), pág. 012153. ISSN: 1742-6596. DOI: [10.1088/1742-6596/524/1/012153](https://doi.org/10.1088/1742-6596/524/1/012153). URL: <https://iopscience.iop.org/article/10.1088/1742-6596/524/1/012153>.
- [10] Mark de Berg y col. *Computational Geometry*. Berlin, Heidelberg: Springer Berlin Heidelberg, 2008. ISBN: 978-3-540-77973-5. DOI: [10.1007/978-3-540-77974-2](https://doi.org/10.1007/978-3-540-77974-2). URL: <http://link.springer.com/10.1007/978-3-540-77974-2>.
- [11] G Berkooz, P Holmes y J L Lumley. «The Proper Orthogonal Decomposition in the Analysis of Turbulent Flows». En: *Annual Review of Fluid Mechanics* 25.1 (ene. de 1993), págs. 539-575. ISSN: 0066-4189. DOI: [10.1146/annurev.fl.25.010193.002543](https://doi.org/10.1146/annurev.fl.25.010193.002543). URL: <http://www.annualreviews.org/doi/10.1146/annurev.fl.25.010193.002543>.

- [12] Christopher M. Bishop. «Sparse Kernel Machines». En: *Pattern recognition and machine learning*. Springer, 2006. Cap. 7, pág. 758. ISBN: 978-0387-31073-2. URL: <https://www.microsoft.com/en-us/research/uploads/prod/2006/01/Bishop-Pattern-Recognition-and-Machine-Learning-2006.pdf>.
- [13] Bert Blocken. «Computational Fluid Dynamics for urban physics: Importance, scales, possibilities, limitations and ten tips and tricks towards accurate and reliable simulations». En: *Building and Environment* 91 (sep. de 2015), págs. 219-245. ISSN: 03601323. DOI: [10.1016/j.buildenv.2015.02.015](https://doi.org/10.1016/j.buildenv.2015.02.015). URL: <https://linkinghub.elsevier.com/retrieve/pii/S0360132315000724>.
- [14] Kevin Q. Brown. «Voronoi diagrams from convex hulls». En: *Information Processing Letters* 9.5 (dic. de 1979), págs. 223-228. ISSN: 00200190. DOI: [10.1016/0020-0190\(79\)90074-7](https://doi.org/10.1016/0020-0190(79)90074-7). URL: <https://linkinghub.elsevier.com/retrieve/pii/0020019079900747>.
- [15] L. S. Caretto y col. «Two calculation procedures for steady, three-dimensional flows with recirculation». En: *Proceedings of the Third International Conference on Numerical Methods in Fluid Mechanics*. Berlin, Heidelberg: Springer Berlin Heidelberg, págs. 60-68. DOI: [10.1007/BFb0112677](https://doi.org/10.1007/BFb0112677). URL: <http://link.springer.com/10.1007/BFb0112677>.
- [16] Ian P. Castro y David D. Apsley. «Flow and dispersion over topography: A comparison between numerical and laboratory data for two-dimensional flows». En: *Atmospheric Environment* 31.6 (mar. de 1997), págs. 839-850. ISSN: 13522310. DOI: [10.1016/S1352-2310\(96\)00248-8](https://doi.org/10.1016/S1352-2310(96)00248-8). URL: <https://linkinghub.elsevier.com/retrieve/pii/S1352231096002488>.
- [17] Ashvinkumar Chaudhari y col. «Large-Eddy Simulations for atmospheric boundary layer flows over complex terrains with applications in wind energy». En: *11th World Congress on Computational Mechanics, WCCM 2014, 5th European Conference on Computational Mechanics, ECCM 2014 and 6th European Conference on Computational Fluid Dynamics, ECFD 2014* Wccm Xi (2014), págs. 5205-5216.
- [18] P. Cignoniz, C. Montaniz y R. Scopigno. «DeWall: A Fast Divide & Conquer Delaunay Triangulation Algorithm in Ed». En: (1997). URL: <http://vcg.isti.cnr.it/publications/papers/dewall.pdf>.
- [19] Science Direct. *Energy Cascade*. URL: <https://www.sciencedirect.com/topics/engineering/energy-cascade> (visitado 05-09-2020).
- [20] M. A. Donelan. «On the limiting aerodynamic roughness of the ocean in very strong winds». En: *Geophysical Research Letters* 31.18 (2004), pág. L18306. ISSN: 0094-8276. DOI: [10.1029/2004GL019460](https://doi.org/10.1029/2004GL019460). URL: <http://doi.wiley.com/10.1029/2004GL019460>.
- [21] Jimy Dudhia. «Numerical Study of Convection Observed during the Winter Monsoon Experiment Using a Mesoscale Two-Dimensional Model». En: *Journal of the Atmospheric Sciences* 46.20 (oct. de 1989), págs. 3077-3107. ISSN: 0022-4928. DOI: [10.1175/1520-0469\(1989\)046<3077:NSOCOD>2.0.CO;2](https://doi.org/10.1175/1520-0469(1989)046<3077:NSOCOD>2.0.CO;2). URL: <http://journals.ametsoc.org/doi/abs/10.1175/1520-0469%281989%29046%3C3077%3ANSOCOD%3E2.0.CO%3B2>.
- [22] Leif Enger. «Simulation of dispersion in moderately complex terrain—Part C. A dispersion model for operational use». En: *Atmospheric Environment. Part A. General Topics* 24.9 (ene. de 1990), págs. 2457-2471. ISSN: 09601686. DOI: [10.1016/0960-1686\(90\)90338-N](https://doi.org/10.1016/0960-1686(90)90338-N). URL: <https://linkinghub.elsevier.com/retrieve/pii/096016869090338N>.
- [23] Leif Enger y Darko Koračin. «Simulations of dispersion in complex terrain using a higher-order closure model». En: *Atmospheric Environment* 29.18 (sep. de 1995), págs. 2449-2465. ISSN: 13522310. DOI: [10.1016/1352-2310\(95\)00160-Z](https://doi.org/10.1016/1352-2310(95)00160-Z). URL: <https://linkinghub.elsevier.com/retrieve/pii/135223109500160Z>.
- [24] European Centre for Medium-Range Weather Forecasts. *ERA-Interim Project*. Boulder CO, 2009. URL: <https://doi.org/10.5065/D6CR5RD9>.

- [25] Joel H. Ferziger y Milovan Perić. *Computational Methods for Fluid Dynamics*. Berlin, Heidelberg: Springer Berlin Heidelberg, 2002. ISBN: 978-3-540-42074-3. DOI: [10.1007/978-3-642-56026-2](https://doi.org/10.1007/978-3-642-56026-2). URL: <http://link.springer.com/10.1007/978-3-642-56026-2>.
- [26] Eivind Fonn y col. «A step towards reduced order modelling of flow characterized by wakes using Proper Orthogonal Decomposition». En: *Energy Procedia* 137 (oct. de 2017), págs. 452-459. ISSN: 18766102. DOI: [10.1016/j.egypro.2017.10.369](https://doi.org/10.1016/j.egypro.2017.10.369). URL: <https://linkinghub.elsevier.com/retrieve/pii/S1876610217353468>.
- [27] Georg A. Grell. «Prognostic Evaluation of Assumptions Used by Cumulus Parameterizations». En: *Monthly Weather Review* 121.3 (mar. de 1993), págs. 764-787. ISSN: 0027-0644. DOI: [10.1175/1520-0493\(1993\)121<0764:PEOAUB>2.0.CO;2](https://doi.org/10.1175/1520-0493(1993)121<0764:PEOAUB>2.0.CO;2). URL: <http://journals.ametsoc.org/doi/abs/10.1175/1520-0493%281993%29121%3C0764%3APEOAUB%3E2.0.CO%3B2>.
- [28] Georg A. Grell y Dezső Dévényi. «A generalized approach to parameterizing convection combining ensemble and data assimilation techniques». En: *Geophysical Research Letters* 29.14 (jul. de 2002), págs. 38-1-38-4. ISSN: 00948276. DOI: [10.1029/2002GL015311](https://doi.org/10.1029/2002GL015311). URL: <http://doi.wiley.com/10.1029/2002GL015311>.
- [29] Fernando F. Grinstein. «On integrating large eddy simulation and laboratory turbulent flow experiments». En: *Philosophical Transactions of the Royal Society A: Mathematical, Physical and Engineering Sciences* 367.1899 (jul. de 2009), págs. 2931-2945. ISSN: 1364-503X. DOI: [10.1098/rsta.2009.0059](https://doi.org/10.1098/rsta.2009.0059). URL: <https://royalsocietypublishing.org/doi/10.1098/rsta.2009.0059>.
- [30] Weihong Guo, Xiao Liu y Xu Yuan. «Study on Natural Ventilation Design Optimization Based on CFD Simulation for Green Buildings». En: *Procedia Engineering* 121 (2015), págs. 573-581. ISSN: 18777058. DOI: [10.1016/j.proeng.2015.08.1036](https://doi.org/10.1016/j.proeng.2015.08.1036). URL: <https://linkinghub.elsevier.com/retrieve/pii/S1877705815027642>.
- [31] Steven R. Hanna y Ruixin Yang. «Evaluations of Mesoscale Models' Simulations of Near-Surface Winds, Temperature Gradients, and Mixing Depths». En: *Journal of Applied Meteorology* 40.6 (ene. de 2001), págs. 1095-1104. ISSN: 0894-8763. DOI: [10.1175/1520-0450\(2001\)040<1095:EOMMS0>2.0.CO;2](https://doi.org/10.1175/1520-0450(2001)040<1095:EOMMS0>2.0.CO;2). URL: <http://journals.ametsoc.org/doi/abs/10.1175/1520-0450%282001%29040%2C1095%2AEOMMS0%2C2.0.CO%3B2>.
- [32] James R. Holton, Renata Dmowska y H. Thomas Rossby. *An Introduction to Dynamic Meteorology*. 4.^a ed. Burlington, MA: Elsevier Academic Press, 2004. ISBN: 978-0-12-354015-7.
- [33] Song-You Hong, Jimy Dudhia y Shu-Hua Chen. «A Revised Approach to Ice Microphysical Processes for the Bulk Parameterization of Clouds and Precipitation». En: *Monthly Weather Review* 132.1 (ene. de 2004), págs. 103-120. ISSN: 0027-0644. DOI: [10.1175/1520-0493\(2004\)132<0103:ARATIM>2.0.CO;2](https://doi.org/10.1175/1520-0493(2004)132<0103:ARATIM>2.0.CO;2). URL: <http://journals.ametsoc.org/doi/abs/10.1175/1520-0493%282004%29132%3C0103%3AARATIM%3E2.0.CO%3B2>.
- [34] Song-You Hong, Yign Noh y Jimy Dudhia. «A New Vertical Diffusion Package with an Explicit Treatment of Entrainment Processes». En: *Monthly Weather Review* 134.9 (sep. de 2006), págs. 2318-2341. ISSN: 1520-0493. DOI: [10.1175/MWR3199.1](https://doi.org/10.1175/MWR3199.1). URL: <https://journals.ametsoc.org/mwr/article/134/9/2318/67717/A-New-Vertical-Diffusion-Package-with-an-Explicit>.
- [35] Michael J. Iacono y col. «Radiative forcing by long-lived greenhouse gases: Calculations with the AER radiative transfer models». En: *Journal of Geophysical Research* 113.D13 (jul. de 2008), pág. D13103. ISSN: 0148-0227. DOI: [10.1029/2008JD009944](https://doi.org/10.1029/2008JD009944). URL: <http://doi.wiley.com/10.1029/2008JD009944>.
- [36] Timothy J. Baker. «Interpolation from a cloud of points». En: *IMR* (2003), págs. 55-63. URL: <https://imr.sandia.gov/papers/imr12/baker03.pdf>.

- [37] Hrvoje Jasak, Aleksandar Jemcov y Zeljko Tukovic. «OpenFOAM : A C ++ Library for Complex Physics Simulations». En: *International Workshop on Coupled Methods in Numerical Dynamics* m.January (2007), págs. 1-20. URL: https://www.researchgate.net/publication/317267666_OpenFOAM_A_C_library_for_complex_physics_simulations.
- [38] John S. Kain. «The Kain–Fritsch Convective Parameterization: An Update». En: *Journal of Applied Meteorology* 43.1 (ene. de 2004), págs. 170-181. ISSN: 0894-8763. DOI: [10.1175/1520-0450\(2004\)043<0170:TKCPAU>2.0.CO;2](https://doi.org/10.1175/1520-0450(2004)043<0170:TKCPAU>2.0.CO;2). URL: <http://journals.ametsoc.org/doi/abs/10.1175/1520-0450%282004%29043%3C0170%3ATKCPAU%3E2.0.CO%3B2>.
- [39] Muhammad Saif Ullah Khalid y col. «Reduced-Order Modeling of Torque on a Vertical-Axis Wind Turbine at Varying Tip Speed Ratios». En: *Journal of Computational and Nonlinear Dynamics* 10.4 (jul. de 2015). ISSN: 1555-1415. DOI: [10.1115/1.4028064](https://doi.org/10.1115/1.4028064). URL: <https://asmedigitalcollection.asme.org/computationalnonlinear/article/doi/10.1115/1.4028064/371023/ReducedOrder-Modeling-of-Torque-on-a-VerticalAxis>.
- [40] MMM: Mesoscale & Microscale Meteorology Laboratory. *Weather Research and Forecasting Model*. URL: <https://www.mmm.ucar.edu/weather-research-and-forecasting-model> (visitado 25-05-2020).
- [41] M. Lateb y col. «On the use of numerical modelling for near-field pollutant dispersion in urban environments - A review». En: *Environmental Pollution* 208 (ene. de 2016), págs. 271-283. ISSN: 02697491. DOI: [10.1016/j.envpol.2015.07.039](https://doi.org/10.1016/j.envpol.2015.07.039). URL: <https://linkinghub.elsevier.com/retrieve/pii/S0269749115003723>.
- [42] Sang-Mi Lee y col. «Implementation of a Stable PBL Turbulence Parameterization for the Mesoscale Model MM5: Nocturnal Flow in Complex Terrain». En: *Boundary-Layer Meteorology* 119.1 (mayo de 2006), págs. 109-134. ISSN: 0006-8314. DOI: [10.1007/s10546-005-9018-4](https://doi.org/10.1007/s10546-005-9018-4). URL: [http://link.springer.com/10.1007/s10546-005-9018-4](https://link.springer.com/10.1007/s10546-005-9018-4).
- [43] Stefano Lorenzi y col. «POD-Galerkin method for finite volume approximation of Navier–Stokes and RANS equations». En: *Computer Methods in Applied Mechanics and Engineering* 311 (nov. de 2016), págs. 151-179. ISSN: 00457825. DOI: [10.1016/j.cma.2016.08.006](https://doi.org/10.1016/j.cma.2016.08.006). URL: <https://linkinghub.elsevier.com/retrieve/pii/S0045782516308829>.
- [44] T. Marić, J. Höpken y K. G. Mooney. *The OpenFOAM Technology Primer*. 2014. DOI: [10.13140/2.1.2532.9600](https://doi.org/10.13140/2.1.2532.9600).
- [45] Eli J. Mlawer y col. «Radiative transfer for inhomogeneous atmospheres: RRTM, a validated correlated-k model for the longwave». En: *Journal of Geophysical Research: Atmospheres* 102.D14 (jul. de 1997), págs. 16663-16682. ISSN: 01480227. DOI: [10.1029/97JD00237](https://doi.org/10.1029/97JD00237). URL: [http://doi.wiley.com/10.1029/97JD00237](https://doi.wiley.com/10.1029/97JD00237).
- [46] Carlos Montañes. «Development of the Flamelet-Generated Manifold model for the simulation of partially-premixed, non-adiabatic, laminar flames.» Tesis doct. Universidad de Zaragoza, 2015, pág. 150. URL: <https://gfn.unizar.es/portfolio-items/development-of-the-flamelet-generated-manifold-model-for-the-simulation-of-partially-premixed-non-adiabatic-laminar-flames-by-carlos-montanes-bernal/?portfolioCats=11>.
- [47] H. Morrison, G. Thompson y V. Tatarki. «Impact of Cloud Microphysics on the Development of Trailing Stratiform Precipitation in a Simulated Squall Line: Comparison of One- and Two-Moment Schemes». En: *Monthly Weather Review* 137.3 (mar. de 2009), págs. 991-1007. ISSN: 1520-0493. DOI: [10.1175/2008MWR2556.1](https://doi.org/10.1175/2008MWR2556.1). URL: <https://journals.ametsoc.org/mwr/article/137/3/991/70576/Impact-of-Cloud-Microphysics-on-the-Development-of>.

- [48] Mikio Nakanishi e Hiroshi Niino. «An Improved Mellor–Yamada Level-3 Model: Its Numerical Stability and Application to a Regional Prediction of Advection Fog». En: *Boundary-Layer Meteorology* 119.2 (mayo de 2006), págs. 397-407. ISSN: 0006-8314. DOI: [10.1007/s10546-005-9030-8](https://doi.org/10.1007/s10546-005-9030-8). URL: <http://link.springer.com/10.1007/s10546-005-9030-8>.
- [49] Mikio NAKANISHI e Hiroshi NIINO. «Development of an Improved Turbulence Closure Model for the Atmospheric Boundary Layer». En: *Journal of the Meteorological Society of Japan* 87.5 (2009), págs. 895-912. ISSN: 0026-1165. DOI: [10.2151/jmsj.87.895](https://doi.org/10.2151/jmsj.87.895). URL: <http://joi.jlc.jst.go.jp/JST.JSTAGE/jmsj/87.895?from=CrossRef>.
- [50] National Centers for Environmental Prediction, National Weather Service, NOAA, U.S. Department of Commerce. *NCEP/NCAR Global Reanalysis Products, 1948-continuing*. Boulder CO, 1994. URL: <https://rda.ucar.edu/datasets/ds090.0/>.
- [51] S. Omrani y col. «Natural ventilation in multi-storey buildings: Design process and review of evaluation tools». En: *Building and Environment* 116 (mayo de 2017), págs. 182-194. ISSN: 03601323. DOI: [10.1016/j.buildenv.2017.02.012](https://doi.org/10.1016/j.buildenv.2017.02.012). URL: <https://linkinghub.elsevier.com/retrieve/pii/S0360132317300720>.
- [52] OpenCFD. *OpenFOAM: User Guide: Reynolds Averaged Simulation (RAS)*. URL: <https://www.openfoam.com/documentation/guides/latest/doc/guide-turbulence-ras.html> (visitado 09-06-2020).
- [53] OpenCFD. *OpenFOAM: User Guide: simpleFOAM*. URL: <https://www.openfoam.com/documentation/guides/latest/doc/guide-applications-solvers-incompressible-simpleFoam.html> (visitado 09-06-2020).
- [54] OpenFOAM. *Standard boundary conditions*. URL: <https://www.openfoam.com/documentation/user-guide/standard-boundaryconditions.php> (visitado 07-09-2020).
- [55] J.M.L.M. Palma y col. «Linear and nonlinear models in wind resource assessment and wind turbine micro-siting in complex terrain». En: *Journal of Wind Engineering and Industrial Aerodynamics* 96.12 (dic. de 2008), págs. 2308-2326. ISSN: 01676105. DOI: [10.1016/j.jweia.2008.03.012](https://doi.org/10.1016/j.jweia.2008.03.012). URL: <https://linkinghub.elsevier.com/retrieve/pii/S0167610508001037>.
- [56] Dora Pancheva y Plamen Mukhtarov. «Global Response of the Ionosphere to Atmospheric Tides Forced from Below: Recent Progress Based on Satellite Measurements». En: *Space Science Reviews* 168.1-4 (ene. de 2012), págs. 175-209. ISSN: 0038-6308. DOI: [10.1007/s11214-011-9837-1](https://doi.org/10.1007/s11214-011-9837-1). URL: <http://link.springer.com/10.1007/s11214-011-9837-1>.
- [57] F. Pedregosa y col. «Scikit-learn: Machine Learning in Python». En: *Journal of Machine Learning Research* 12 (2011), págs. 2825-2830. URL: <http://jmlr.org/papers/v12/pedregosa11a.html>.
- [58] Russell Pflughaupt. *High-Dimensional Linear Data Interpolation*. Inf. téc. UCB/CSD-93-745. EECS Department, University of California, Berkeley, mayo de 1993. URL: <http://www2.eecs.berkeley.edu/Pubs/TechRpts/1993/6278.html>.
- [59] Pasha Piroozmand y col. «Coupled CFD framework with mesoscale urban climate model: Application to microscale urban flows with weak synoptic forcing». En: *Journal of Wind Engineering and Industrial Aerodynamics* 197 (feb. de 2020). ISSN: 01676105. DOI: [10.1016/j.jweia.2019.104059](https://doi.org/10.1016/j.jweia.2019.104059).
- [60] Maziar Raissi, Paris Perdikaris y George E Karniadakis. «Physics-informed neural networks: A deep learning framework for solving forward and inverse problems involving nonlinear partial differential equations». En: *Journal of Computational Physics* 378 (2019), págs. 686-707.
- [61] Maziar Raissi, Paris Perdikaris y George Em Karniadakis. «Physics Informed Deep Learning (Part I): Data-driven Solutions of Nonlinear Partial Differential Equations». En: *arXiv preprint arXiv:1711.10561* (2017).

- [62] Maziar Raissi, Paris Perdikaris y George Em Karniadakis. «Physics Informed Deep Learning (Part II): Data-driven Discovery of Nonlinear Partial Differential Equations». En: *arXiv preprint arXiv:1711.10566* (2017).
- [63] F. J. Santos-Alamillos y col. «Analysis of WRF Model Wind Estimate Sensitivity to Physics Parameterization Choice and Terrain Representation in Andalusia (Southern Spain)». En: *Journal of Applied Meteorology and Climatology* 52.7 (jul. de 2013), págs. 1592-1609. ISSN: 1558-8424. DOI: 10.1175/JAMC-D-12-0204.1. URL: <https://journals.ametsoc.org/jamc/article/52/7/1592/13698/Analysis-of-WRF-Model-Wind-Estimate-Sensitivity-to>.
- [64] Scikit-learn. *Choosing the right estimator*. URL: https://scikit-learn.org/stable/tutorial/machine_learning_map/index.html (visitado 25-08-2020).
- [65] Scikit-learn. *Forests of randomized trees*. URL: <https://scikit-learn.org/stable/modules/ensemble.html#forest> (visitado 25-08-2020).
- [66] Scikit-learn. *Nearest Neighbors*. URL: <https://scikit-learn.org/stable/modules/neighbors.html> (visitado 26-08-2020).
- [67] Scikit-learn. *Standard Scaler*. URL: <https://scikit-learn.org/stable/modules/generated/sklearn.preprocessing.StandardScaler.html> (visitado 07-09-2020).
- [68] Scikit-learn. *Stochastic Gradient Descent*. URL: <https://scikit-learn.org/stable/modules/sgd.html#sgd-mathematical-formulation> (visitado 28-08-2020).
- [69] Scikit-learn. *Support Vector Machines*. URL: <https://scikit-learn.org/stable/modules/svm.html#svm-mathematical-formulation> (visitado 26-08-2020).
- [70] M. Salman Siddiqui y col. «Reduced order model of offshore wind turbine wake by proper orthogonal decomposition». En: *International Journal of Heat and Fluid Flow* 82 (abr. de 2020). ISSN: 0142727X. DOI: 10.1016/j.ijheatfluidflow.2020.108554.
- [71] Lawrence Sirovich. «Turbulence and the dynamics of coherent structures. I. Coherent structures». En: *Quarterly of Applied Mathematics* 45.3 (oct. de 1987), págs. 561-571. ISSN: 0033-569X. DOI: 10.1090/qam/910462. URL: <http://www.ams.org/qam/1987-45-03/S0033-569X-1987-0910462-6/>.
- [72] W.C. Skamarock y col. «A Description of the Advanced Research WRF Model Version 4». En: *NCAR Technical Note NCAR/TN-475+STR* (2019), pág. 145. ISSN: 1477870X. DOI: 10.5065/1dfh-6p97. URL: <http://library.ucar.edu/research/publish-technote>.
- [73] Alex J. Smola y Bernhard Schölkopf. *A tutorial on support vector regression*. 2004.
- [74] Jiyun Song y col. «Natural ventilation in cities: the implications of fluid mechanics». En: *Building Research & Information* 46.8 (nov. de 2018), págs. 809-828. ISSN: 0961-3218. DOI: 10.1080/09613218.2018.1468158. URL: <https://www.tandfonline.com/doi/full/10.1080/09613218.2018.1468158>.
- [75] P. SPALART y S. ALLMARAS. «A one-equation turbulence model for aerodynamic flows». En: *30th Aerospace Sciences Meeting and Exhibit*. Reston, Virigina: American Institute of Aeronautics y Astronautics, 1992. DOI: 10.2514/6.1992-439. URL: <http://arc.aiaa.org/doi/10.2514/6.1992-439>.
- [76] Giovanni Stabile, Hermann G. Matthies y Claudio Borri. «A novel reduced order model for vortex induced vibrations of long flexible cylinders». En: *Ocean Engineering* 156 (mayo de 2018), págs. 191-207. ISSN: 00298018. DOI: 10.1016/j.oceaneng.2018.02.064. URL: <https://linkinghub.elsevier.com/retrieve/pii/S0029801818302130>.

- [77] Giovanni Stabile y col. «POD-Galerkin reduced order methods for CFD using Finite Volume Discretisation: vortex shedding around a circular cylinder». En: *Communications in Applied and Industrial Mathematics* 8.1 (dic. de 2017), págs. 210-236. ISSN: 2038-0909. DOI: [10.1515/caim-2017-0011](https://doi.org/10.1515/caim-2017-0011). URL: <https://content.sciendo.com/view/journals/caim/8/1/article-p210.xml>.
- [78] A. Tallet y col. «A minimum residual projection to build coupled velocity–pressure POD–ROM for incompressible Navier–Stokes equations». En: *Communications in Nonlinear Science and Numerical Simulation* 22.1-3 (mayo de 2015), págs. 909-932. ISSN: 10075704. DOI: [10.1016/j.cnsns.2014.09.009](https://doi.org/10.1016/j.cnsns.2014.09.009). URL: <https://linkinghub.elsevier.com/retrieve/pii/S1007570414004535>.
- [79] Orkun Temel, Laurent Bricteux y Jeroen van Beeck. «Coupled WRF-OpenFOAM study of wind flow over complex terrain». En: *Journal of Wind Engineering and Industrial Aerodynamics* 174 (mar. de 2018), págs. 152-169. ISSN: 01676105. DOI: [10.1016/j.jweia.2018.01.002](https://doi.org/10.1016/j.jweia.2018.01.002).
- [80] Orkun Temel y col. «RANS closures for non-neutral microscale CFD simulations sustained with inflow conditions acquired from mesoscale simulations». En: *Applied Mathematical Modelling* 53 (ene. de 2018), págs. 635-652. ISSN: 0307904X. DOI: [10.1016/j.apm.2017.09.018](https://doi.org/10.1016/j.apm.2017.09.018).
- [81] Gregory Thompson y col. «Explicit Forecasts of Winter Precipitation Using an Improved Bulk Microphysics Scheme. Part II: Implementation of a New Snow Parameterization». En: *Monthly Weather Review* 136.12 (dic. de 2008), págs. 5095-5115. ISSN: 1520-0493. DOI: [10.1175/2008MWR2387.1](https://doi.org/10.1175/2008MWR2387.1). URL: <https://journals.ametsoc.org/mwr/article/136/12/5095/68204/Explicit-Forecasts-of-Winter-Precipitation-Using>.
- [82] Jonathan Tompson y col. «Accelerating Eulerian Fluid Simulation With Convolutional Networks». En: (jul. de 2016). arXiv: [1607.03597](https://arxiv.org/abs/1607.03597). URL: [http://arxiv.org/abs/1607.03597](https://arxiv.org/abs/1607.03597).
- [83] Abraham Albert Ungar. *Barycentric Calculus in Euclidean and Hyperbolic Geometry*. WORLD SCIENTIFIC, ago. de 2010. ISBN: 978-981-4304-93-1. DOI: [10.1142/7740](https://doi.org/10.1142/7740). URL: <https://www.worldscientific.com/worldscibooks/10.1142/7740>.
- [84] H. Versteeg y W. Malalasekera. *An Introduction to Computational Fluid Dynamics: The Finite Volume Method Approach*. Prentice-Hall, 1995, pág. 272. ISBN: 978-0582218840.
- [85] Alan Viladegut Farran. «Assessment of gas-surface interaction modelling for lifting body re-entry flight design». En: *TDX (Tesis Doctorals en Xarxa)* (dic. de 2017). URL: [http://hdl.handle.net/10803/461893](https://hdl.handle.net/10803/461893).
- [86] Pauli Virtanen y col. «SciPy 1.0: Fundamental Algorithms for Scientific Computing in Python». En: *Nature Methods* 17 (2020), págs. 261-272. DOI: <https://doi.org/10.1038/s41592-019-0686-2>.
- [87] Marcel Vonlanthen, Jonas Allegrini y Jan Carmeliet. «Multiscale interaction between a cluster of buildings and the ABL developing over a real terrain». En: *Urban Climate* 20 (jun. de 2017), págs. 1-19. ISSN: 22120955. DOI: [10.1016/j.uclim.2017.02.009](https://doi.org/10.1016/j.uclim.2017.02.009). URL: <https://linkinghub.elsevier.com/retrieve/pii/S2212095517300160>.
- [88] H. G. Weller y col. «A tensorial approach to computational continuum mechanics using object-oriented techniques». En: *Computers in Physics* 12.6 (1998), pág. 620. ISSN: 08941866. DOI: [10.1063/1.168744](https://doi.org/10.1063/1.168744). URL: [http://scitation.aip.org/content/aip/journal/cip/12/6/10.1063/1.168744](https://scitation.aip.org/content/aip/journal/cip/12/6/10.1063/1.168744).
- [89] K. Willcox y J. Peraire. «Balanced Model Reduction via the Proper Orthogonal Decomposition». En: *AIAA Journal* 40.11 (nov. de 2002), págs. 2323-2330. ISSN: 0001-1452. DOI: [10.2514/2.1570](https://doi.org/10.2514/2.1570). URL: <https://arc.aiaa.org/doi/10.2514/2.1570>.

- [90] Nigel Wood. «Wind Flow Over Complex Terrain: A Historical Perspective and the Prospect for Large-Eddy Modelling». En: *Boundary-Layer Meteorology* 96.1-2 (ago. de 2000), págs. 11-32. ISSN: 0006-8314. DOI: [10.1023/A:1002017732694](https://doi.org/10.1023/A:1002017732694). URL: <http://link.springer.com/10.1023/A:1002017732694>.
- [91] XGBoost. *Introduction to Boosted Trees*. URL: <https://xgboost.readthedocs.io/en/latest/tutorials/model.html> (visitado 25-08-2020).
- [92] D. Xiao y col. «A reduced order model for turbulent flows in the urban environment using machine learning». En: *Building and Environment* 148 (ene. de 2019), págs. 323-337. ISSN: 03601323. DOI: [10.1016/j.buildenv.2018.10.035](https://doi.org/10.1016/j.buildenv.2018.10.035).
- [93] Tetsuji Yamada y Katsuyuki Koike. «Downscaling mesoscale meteorological models for computational wind engineering applications». En: *Journal of Wind Engineering and Industrial Aerodynamics* 99.4 (abr. de 2011), págs. 199-216. ISSN: 01676105. DOI: [10.1016/j.jweia.2011.01.024](https://doi.org/10.1016/j.jweia.2011.01.024).
- [94] Frank J. Zajaczkowski, Sue Ellen Haupt y Kerrie J. Schmehl. «A preliminary study of assimilating numerical weather prediction data into computational fluid dynamics models for wind prediction». En: *Journal of Wind Engineering and Industrial Aerodynamics* 99.4 (abr. de 2011), págs. 320-329. ISSN: 01676105. DOI: [10.1016/j.jweia.2011.01.023](https://doi.org/10.1016/j.jweia.2011.01.023).
- [95] Tong Zhang. «Solving Large Scale Linear Prediction Problems Using Stochastic Gradient Descent Algorithms». En: *ICML 2004: PROCEEDINGS OF THE TWENTY-FIRST INTERNATIONAL CONFERENCE ON MACHINE LEARNING*. OMNIPRESS. 2004, págs. 919-926.